

Coupes présentant les concentrations en cuivre (données en bleu-vert, à gauche) et celles du zinc (données en marron, à droite). Les résultats sont exprimés en mg/kg MS.

Annexe 13 :

Résultats des 29 « empreintes PCB » (taux de chloration)

Cette annexe présente les résultats relatifs à la répartition des PCB mesurés en fonction de leur degré de chloration (29 échantillons).

Ces analyses ont été réalisées au laboratoire Métrologie Mesures et Analyses du BRGM.



Géosciences pour une Terre durable

brgm

RAPPORT D'ESSAIS

11-3-069-A

Provenance :	Demandeur : Marc ZYLBERBLAT
Nature échantillon : SEDIMENT	Adresse: COMPAGNIE NATIONALE DU RHONE
Nombre: 29	2 RUE ANDRE BONIN
Echantillons réceptionnés le : 14/11/2011	69316 LYON CEDEX 04 France
Analyses commencées le : 21/11/11	
Référence commande : 4200036242	

Secteur analytique	Ingénieur technique
Analyse des composés organiques	A.BERREHOUC
Préparations et matériaux	H.HAAS

Résultats validés par le(s) ingénieur(s) technique(s)

Visa: D.MARTINEAU Responsable enregistrement et suivi des dossiers d'analyses
Téléphone: 02.38.64.30.17 Télécopie: 02.38.64.39.25

le : 25 JAN-2012

Nombre de pages: 4

Copie à: B. CLOZEL

>>> ATTENTION AUX COMMENTAIRES DU LABORATOIRE

Les résultats exprimés ne concernent que les échantillons soumis à essais.
La reproduction de ce rapport d'essais n'est autorisée que sous sa forme intégrale.

Siège
Tour Mirabeau - 39-43, quai André-Citroën, 75739 Paris Cedex 15 - France
Tél. 01 40 58 89 00 - Fax 01 40 58 89 33

Centre scientifique
3, avenue Claude-Guillemain, BP 36009, 45060 Orléans Cedex 2 - France
Tél. 02 38 64 34 34 - Fax 02.38.64.35.18

brgm Etablissement public à caractère industriel et commercial - RCS 58 b 5614 Paris - SIRET 58205614900419

www.brgm.fr

brgm
LISTE DES MODES OPERATOIRES

Id soumission : 100026095

Rapport d'essais : 11-3-069-A

Les analyses suivantes ont été réalisées dans le secteur analytique : Préparations et matériaux

Le mode opératoire **MO093**

Préparation des sols, sédiments, boues et déchets pour détermination des polluants organiques et minéraux d'après les normes NF ISO 11464, NFX 31-147, XP 33-012

est utilisé pour doser :

ENVORG(Préparation analyses organiques)

Commentaire du laboratoire :

Commentaire général :

brgm
LISTE DES MODES OPERATOIRES

Id soumission : 100026095

Rapport d'essais : 11-3-069-A

Les analyses suivantes ont été réalisées dans le secteur analytique : Analyse des composés organiques

Le mode opératoire	XP X33-012	MAR-00	Analyse des PCB : Extraction à chaud par fluide pressurisé ou Soxhlet, analyse par CPG/Détecteur à capture d'électrons. Analyse des HAP : Extraction à chaud par fluide pressurisé ou Soxhlet, analyse par HPLC/Fluorimétrie et UV/DAD.
est utilisé pour doser :			
Congénère 101		Congénère 118	
Congénère 138		Congénère 153	
Congénère 180		Congénère 28	
Congénère 52			

Commentaire du laboratoire :

Empreinte chromatographique par GC/MS après extraction à l'ASE avec analyse semi-quantitative : les résultats sont indiqués dans le fichier joint.

Commentaire général :

Les échantillons reçus non conditionnés selon les recommandations en vigueur (normes d'analyse ou norme NF EN ISO 5667-3) font l'objet d'un commentaire du laboratoire. Le mode et la durée de conservation avant réception au laboratoire sont de la responsabilité de l'organisme préleveur.

Tout échantillon concernant des études d'environnement est détruit un mois après la remise des résultats sauf demande du client.

Pour les solides : résultats exprimés sur matière sèche.

RESULTATS : les limites de quantification ont été estimées sur des matrices synthétiques ou des solutions étalon. Elles sont susceptibles d'être modifiées en fonction de la nature des échantillons.

Les incertitudes des paramètres accrédités peuvent être fournis sur demande.

UNITES : elles peuvent être différentes selon les éléments

g/l, mg/l, µg/l (1µg/l=0.001mg/l), ng/l (1ng/l=0.001µg/l)

% (pourcentage massique)

mg/kg (1mg/kg=0.0001%), µg/kg (1µg/kg=0.001mg/kg)

µg=microgramme, ng=nanogramme

Commentaire pour les gaz:

- gaz libres: résultats exprimés en % (pourcentage volumique)

- gaz dissous: résultats exprimés en mole/l

RESULTATS SEMI-QUANTITATIF

Client	Labo	Somme µg/kg I.Q. par congénère	Teneur en µg/kg												
			mono	dichloro	trichloro	tetrachloro	pentachloro	hexachloro	heptachloro	octachloro	nonachloro	decachloro			
1E5-1	11-3-069-A 1	206	10	10	10	20	20	20	20	20	20	20	20	30	30
2E5-2	11-3-069-A 2	35	<	<	<	T	<	27	120	59	<	<	<	<	T
3E5-3	11-3-069-A 3	144	<	<	T	<	<	<	35	T	<	<	<	<	<
6E5-6	11-3-069-A 4	538	<	<	<	T	14	22	100	22	<	<	<	<	<
15E1-7	11-3-069-A 5	435	<	<	<	24	75	256	206	170	6	<	<	<	<
19E1-11	11-3-069-A 6	14	<	<	<	T	14	T	14	T	<	<	<	<	<
21E4-1	11-3-069-A 7	292	<	<	<	31	74	121	121	66	<	<	<	<	<
22E4-2	11-3-069-A 8	324	<	<	<	28	115	124	124	57	<	<	<	<	<
34E2-3	11-3-069-A 9	479	<	<	<	7	91	239	143	143	<	<	<	<	<
44E4-1	11-3-069-A 10	195	<	<	<	<	25	124	124	43	3	<	<	<	<
49E7-3	11-3-069-A 11	51	<	<	<	<	T	27	24	24	<	<	<	<	<
54E8-4	11-3-069-A 12	1641	<	<	80	344	598	300	286	286	33	<	<	<	<
60E9-4	11-3-069-A 13	190	<	<	<	<	20	124	46	46	<	<	<	<	<
74E11-7	11-3-069-A 14*	68	<	<	<	20	32	16	T	T	<	<	<	<	<
75E11-8	11-3-069-A 15	2552	<	92	<	502	1090	639	230	230	<	<	<	<	<
83E14-1	11-3-069-A 16	501	<	<	<	24	82	235	147	147	13	<	<	<	<
88E15-4	11-3-069-A 17	1894	<	37	14	409	646	546	242	242	<	<	<	<	<
91E15-7	11-3-069-A 18	2101	<	<	31	449	684	614	303	303	20	<	<	<	<
93E15-9	11-3-069-A 19	2281	<	149	34	577	717	627	178	178	<	<	<	<	<
95E15-11	11-3-069-A 20	58	<	<	<	7	16	35	T	T	<	<	<	<	<
104E16-8	11-3-069-A 21	13	<	<	<	<	<	13	<	<	<	<	<	<	<
126E23-9	11-3-069-A 22	626	<	<	<	16	62	192	232	232	124	<	<	<	<
129E17-3	11-3-069-A 23	685	<	<	2	23	113	333	182	182	31	<	<	<	<
130E17-4	11-3-069-A 24	41	<	<	<	<	<	28	13	13	<	<	<	<	<
153E26-4	11-3-069-A 25	474	<	<	<	14	91	215	154	154	<	<	<	<	<
158E25-4	11-3-069-A 26	654	<	<	<	24	126	281	210	210	14	<	<	<	<
163E27-4	11-3-069-A 27	2714	<	<	16	442	940	858	408	408	49	<	<	<	<
167E27-8	11-3-069-A 28	633	<	<	<	75	201	247	110	110	<	<	<	<	<
217E19-5	11-3-069-A 29	1883	<	<	13	499	686	460	225	225	T	<	<	<	<

* sous estimation probable en raison d'un problème technique rencontré sur l'automate d'extraction pour l'échantillon 14 : 82 % de perte environ.

Impossibilité de réextraire l'échantillon en raison de la quantité de matière disponible.

T : Traces entre LD(2 µg/kg) et LC (10 µg/kg)

INFORMATIONS:

Réalisation d'une empreinte chromatographique pour identifier les fractions des familles de congénères (par nombre de chlore) et estimation semi-quantitative

Le signal obtenu dans les échantillons est comparé au signal observé dans un essai dopé avec le mélange des 209 PCB et extrait et analysé dans les mêmes conditions que les échantillons. Cet essai est dopé entre 10 et 30µg/kg selon les congénères.

Extraction : ASE (à chaud par solvant sous pression)

Analyse : GC/MS

Annexe 14 :

Etude géostatistique

B. Bourgine

1. L'étude géostatistique

La géostatistique est une théorie et une méthodologie, fondée sur l'analyse statistique des corrélations spatiales, pour étudier les variables dites régionalisées c'est à dire dont l'évolution dans l'espace (et/ou le temps) présente un caractère à la fois aléatoire et structuré. Les formations lithologiques et leurs propriétés, comme les pollutions généralement (air, eau, sol), présentent un comportement global que l'on pourrait modéliser par une approche déterministe, néanmoins elles présentent aussi des variations et des irrégularités locales qui échappent à toute représentation fonctionnelle simple et qu'il est plus rigoureux de modéliser par une approche probabiliste.

L'étude de géostatistique a été menée pour voir s'il était possible d'identifier une structuration mathématique des teneurs en PCB au sein du casier et si cette structuration peut permettre de modéliser plus finement les teneurs dans les zones non échantillonnées.

L'étude géostatistique porte sur les teneurs en 7PCB mais il a également été tenté d'employer les données d'autres paramètres chimiques pour contribuer à affiner le modèle. Il s'agit de deux éléments métalliques, le plomb et le cuivre, choisis car présentant de grande similitude comportementale avec les 7 PCB.

1.1. STATISTIQUES DE BASE, ANALYSE DES CORRELATIONS

1.1.1. Données disponibles

Le schéma de reconnaissance du casier forme une grille quasi régulière orientée N30/N120 La distance moyenne entre deux sondes est de l'ordre de 15m. La profondeur d'investigation de ces sondes varie de 0.52 m à 3.74 m, pour une moyenne de 2.14 m.

Les éléments considérés dans la présente étude sont :

- La concentration cumulée de 7 PCB (PCB n° 28, n° 52, n° 101, n° 118, n° 138, n° 153, n° 180), cette variable est notée « 7PCBi » par la suite,
- La concentration en Pb et la concentration en Cu.

Ces éléments ont été échantillonnés verticalement au pas de 30cm depuis la surface jusqu'à la base du casier.

En ce qui concerne les PCB, leur valeur a été fixée à la moitié du seuil de quantification lorsque la quantification n'a pas pu être effectuée.

1.1.2. Statistiques de base, analyse des corrélations

Le tableau suivant (Illustration 1) résume les paramètres statistiques des principaux éléments mesurés sur les sondes.

Elément	Effectif	Minimum	Maximum	Moyenne	Ecart type	Unité
7PCBi	217	0.0035	1.226	0.076	0.114	mg/kg
Plomb (Pb)	216	5	182	45.57	29.87	mg/kg
Cuivre (Cu)	216	4.1	629	67.82	102.88	mg/kg

Illustration 1 : Statistiques de base sur les principaux éléments étudiés

L'histogramme de la variable 7PCBi (somme de 7PCB) présenté sur l'illustration 2 est d'allure très dissymétrique, avec un grand nombre de valeurs « faibles » et une queue d'histogramme assez longue vers les « fortes » valeurs. L'histogramme du logarithme décimal des concentrations fait ressortir une première classe correspondant à la valeur 0.0035 (-2.4 en logarithme décimal), valeur qui elle-même correspond à la somme de 7 concentrations en PCB égales à la moitié du seuil de quantification. L'histogramme des valeurs logarithmiques semble montrer deux populations : une population avec des valeurs en moyenne plus « faibles » (inférieures à -2 en échelle log, c'est-à-dire 0.012 en mg/kg) et une population avec des valeurs plus « fortes ».

L'analyse de la répartition des « faibles » valeurs montre que ces faibles valeurs sont quasiment toutes situées à la base des sondes S16, S20, S24 et S28, ainsi que S04p et S30, donc en bordure est du casier (Illustration 3).

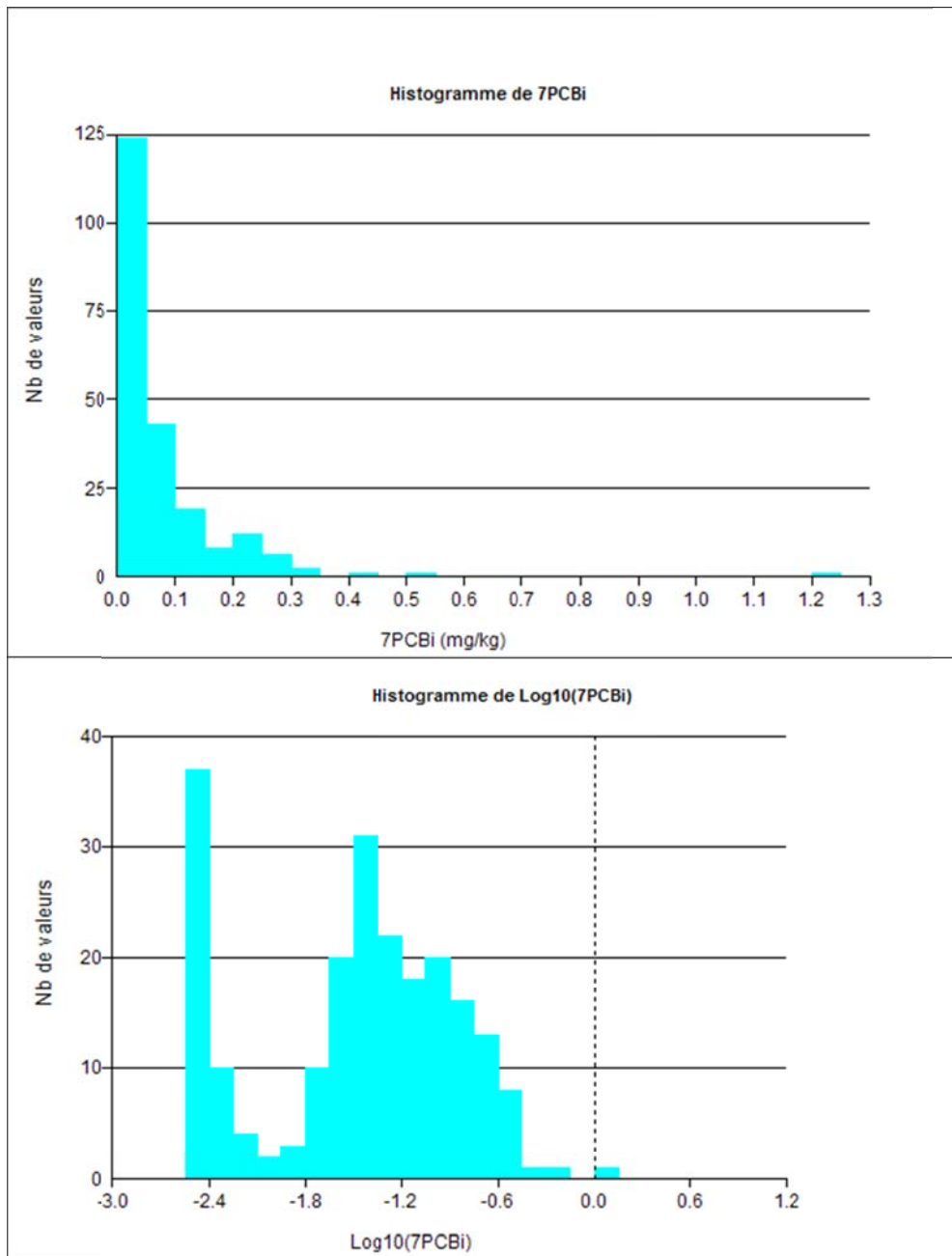


Illustration 2 : Histogramme des concentrations en 7PCBi (concentrations brutes et logarithme)

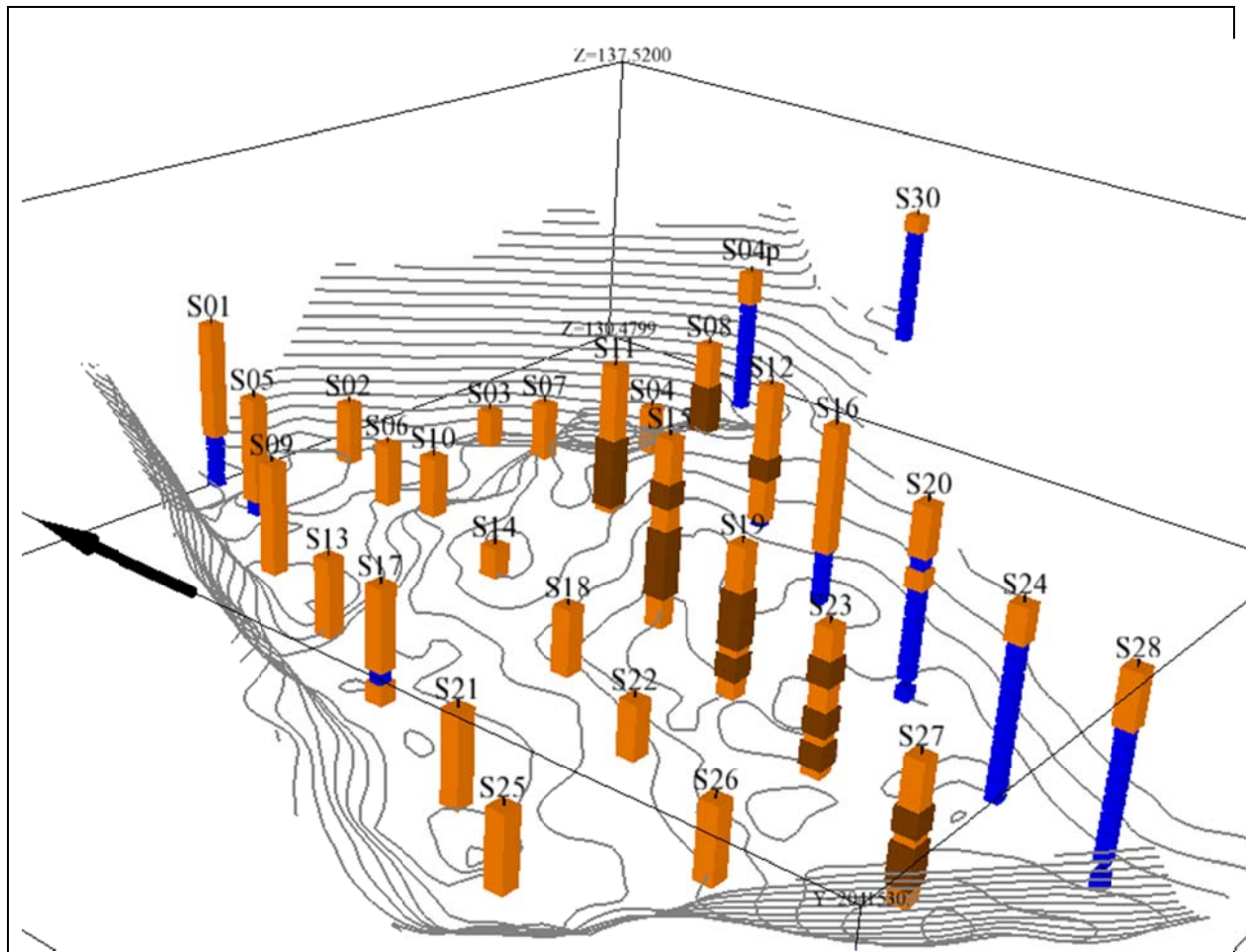
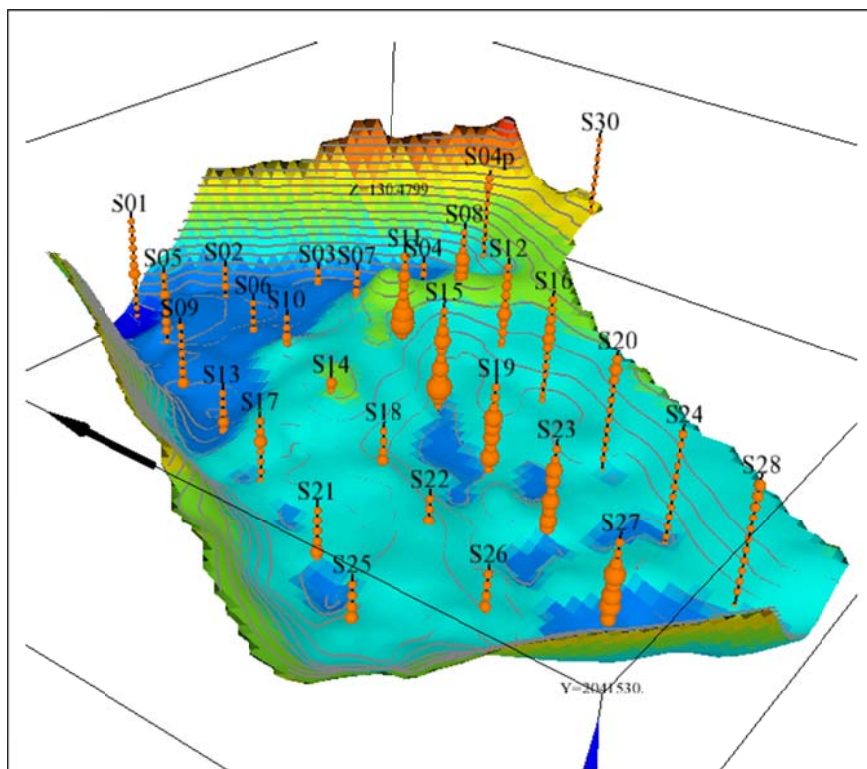


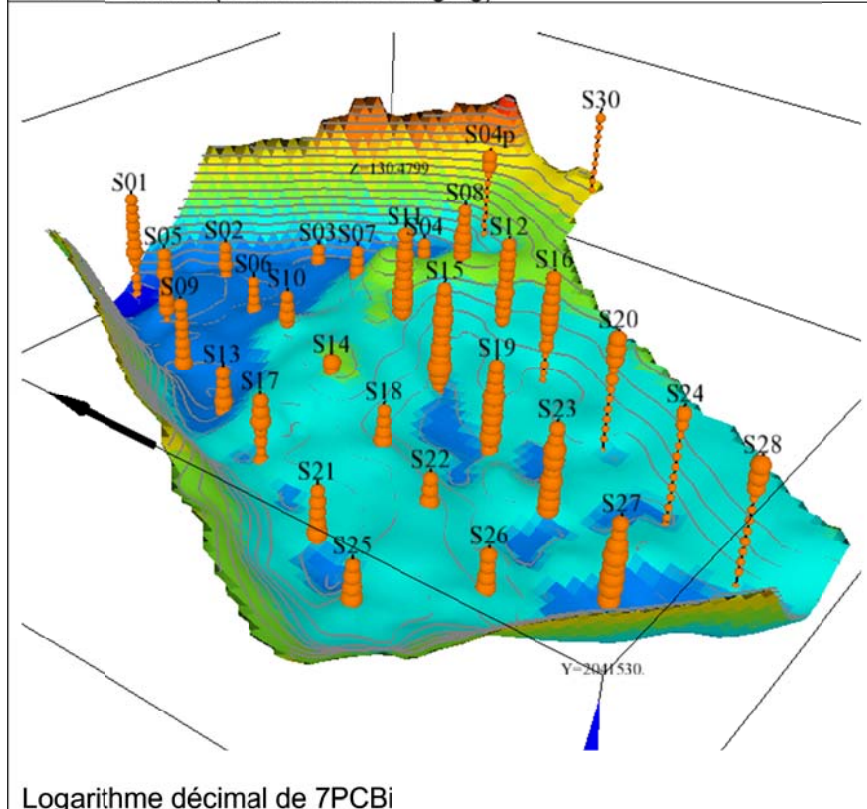
Illustration 3: Localisation des concentrations supérieures à 0.012 mg/kg (en orange), supérieures à 0.2 mg/kg (en marron) et inférieures à 0.012 mg/kg (en bleu), avec report des isohypses de la base du casier

Les 23 valeurs les plus « fortes » (supérieures à 0.2 mg/kg) sont quant à elles presque exclusivement réparties le long d'un même axe (sondes S11, S15, S19, S23, S27).

La répartition 3D des teneurs en 7PCBi est illustrée (Illustration 4) sous forme de symboles de taille proportionnelle soit à la valeur de la concentration en 7PCBi, soit au logarithme décimal de cette concentration. L'examen visuel de cette figure permet de constater que les concentrations évoluent de manière relativement continue le long d'un même axe vertical, mais de façon d'apparence nettement moins continue horizontalement, notamment dans la direction N120 (direction perpendiculaire à l'allongement du casier).



Valeurs brutes (seuillées à 0.5 mg/kg)



Logarithme décimal de 7PCBi

Illustration 4 : Visualisation 3D des concentrations en 7PCBi (sphère proportionnelle à la valeur) avec report de la surface du casier.

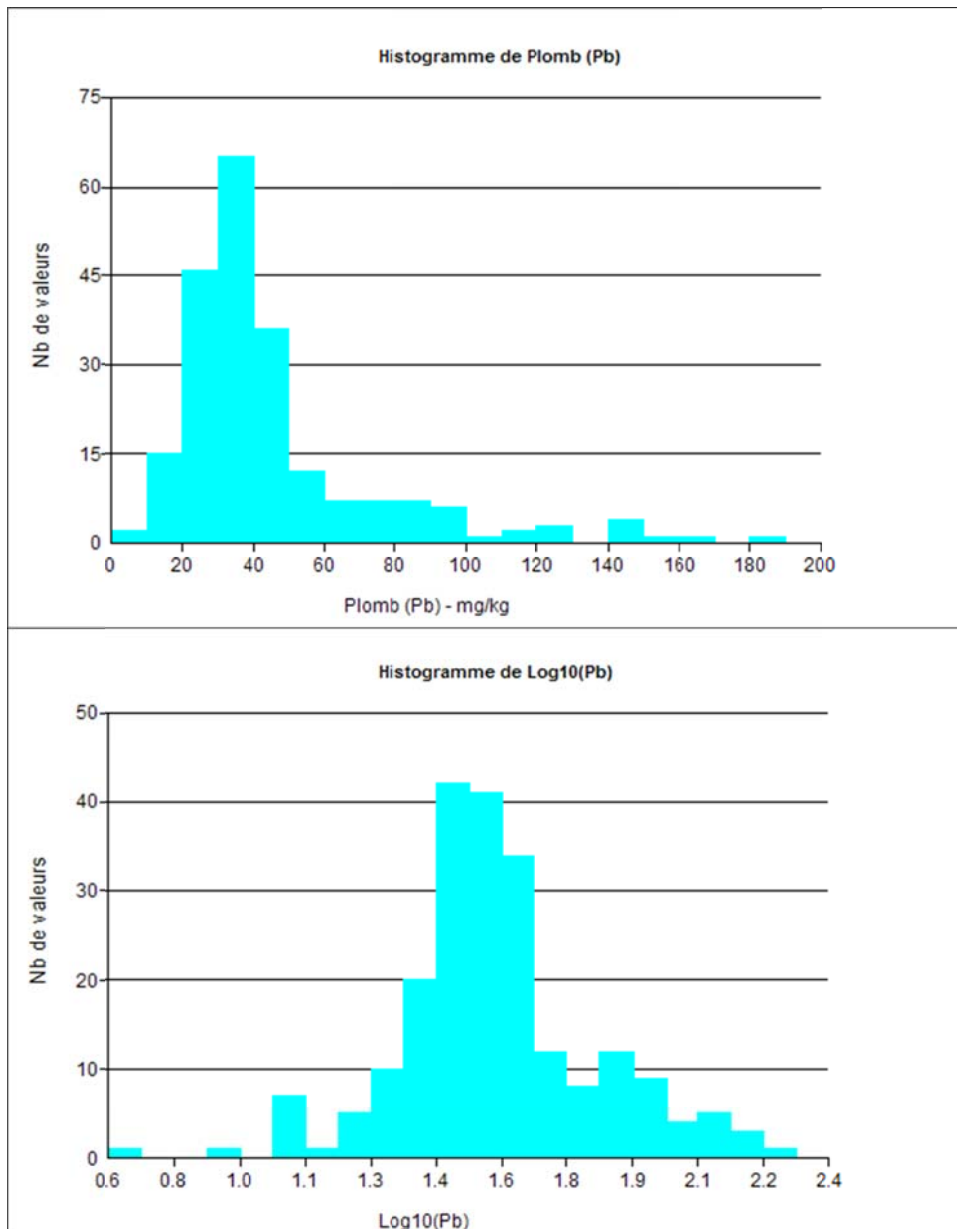


Illustration 5: Histogramme des concentrations en Plomb (concentrations brutes et logarithme)

Les concentrations en Plomb montrent un comportement moins dissymétrique que les PCB, avec un histogramme des teneurs brutes en Pb moins dissymétrique, et un histogramme des logarithmes qui ne fait pas apparaître d'effet de seuil de quantification (Illustration 5).

La répartition 3D des concentrations en Plomb (Illustration 6) montre un comportement similaire de celui observé pour les concentrations en 7PCBi.

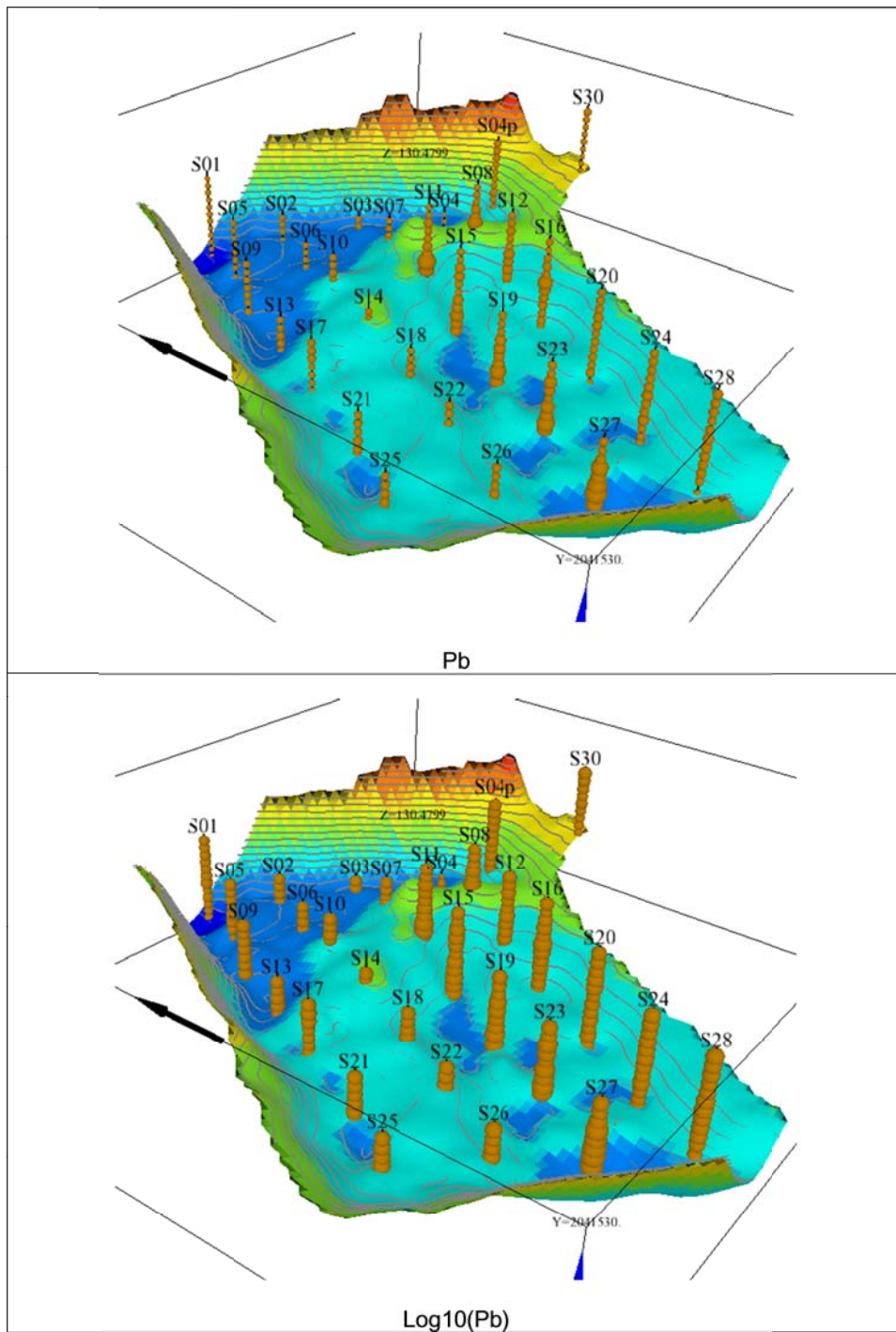


Illustration 6 : Répartition 3D des concentrations en Pb (valeurs brutes et logarithme). Symbole proportionnel à la valeur

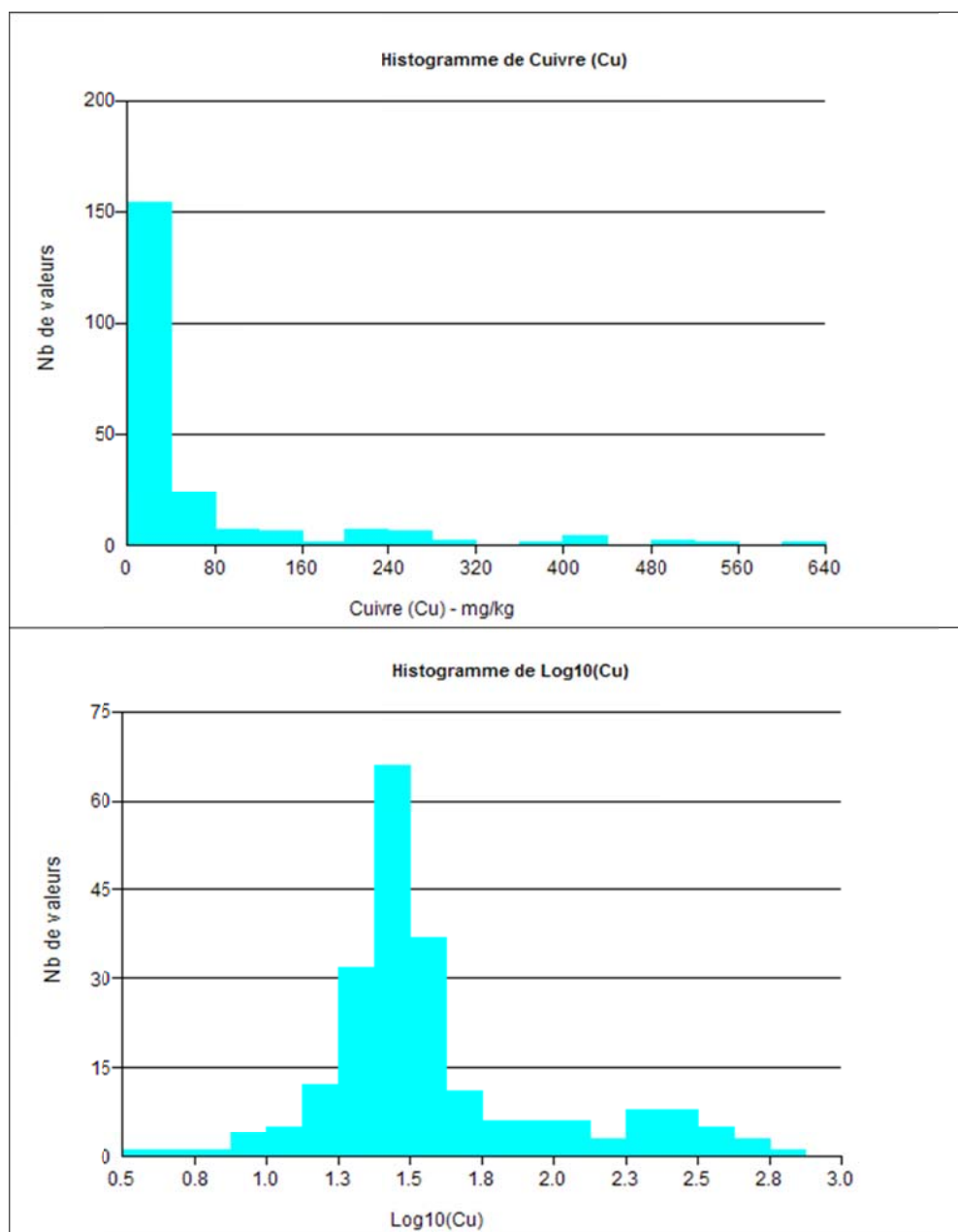


Illustration 7 : Histogramme des concentrations en Cuivre (concentrations brutes et logarithme)

Les concentrations en cuivre se distribuent de façon très dissymétrique (Illustration 7). Toutefois l'effet du seuil de quantification ne joue pas (très peu de valeurs sont en dessous du seuil de quantification).

La répartition 3D des concentrations en cuivre montre un comportement similaire de celui observé pour les concentrations en 7PCBi (Illustration 8).

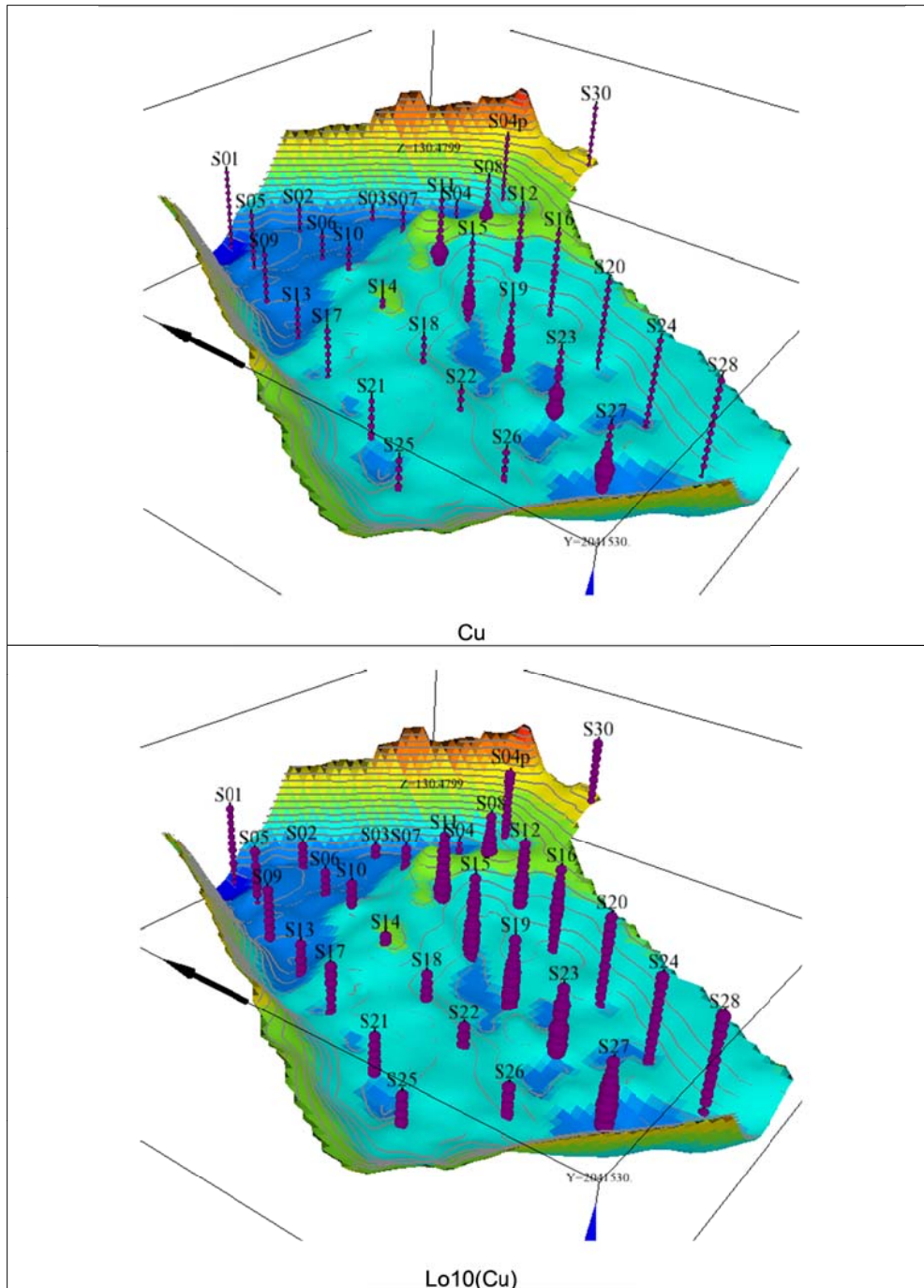


Illustration 8 : Répartition 3D des concentrations en Cu. Symbole proportionnel à la valeur

1.1.3. Corrélation de la variable 7PCBi avec les concentrations en Cuivre et en Plomb

Les coefficients de corrélation entre la variable 7PCBi et les variables Pb et Cu sont reportés ci-dessous.

Elément	Coefficient de corrélation avec 7PCBi
Cuivre (Cu)	0.72
Plomb (Pb)	0.62

Tableau 1: Corrélation de 7PCBi avec Pb et Cu

Malgré des coefficients de corrélation d'apparence relativement forts, l'analyse des nuages de corrélation montre qu'en réalité la corrélation est médiocre, le nuage de dispersion étant relativement dispersé (cf. Illustration 9 et Illustration 10) et cette dispersion ne permet pas d'envisager de complémentarité dans l'étude des concentrations en cuivre et plomb à celle des PCB.

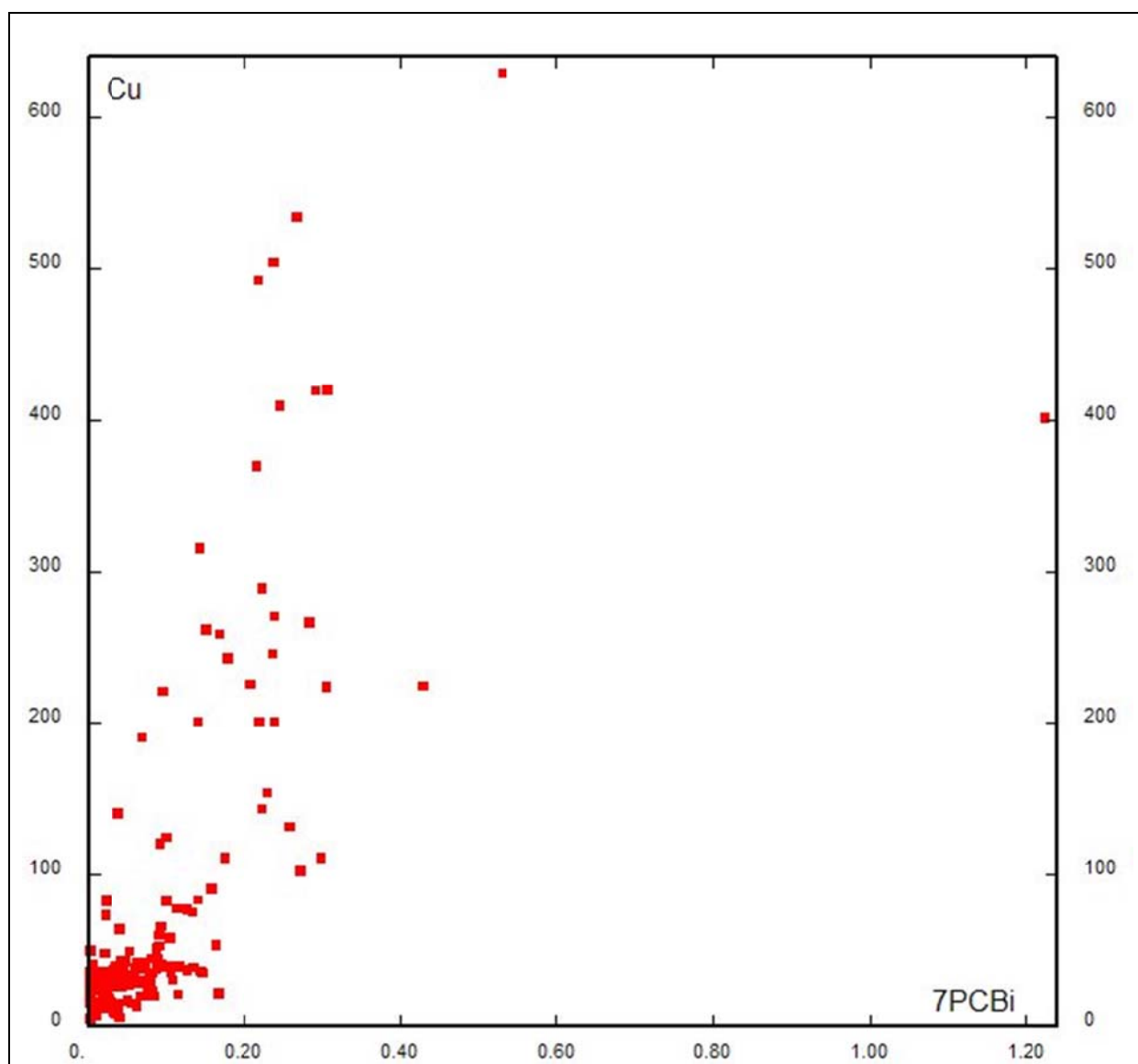


Illustration 9: Nuage de corrélation entre la concentration 7PCBi et la concentration en Cuivre

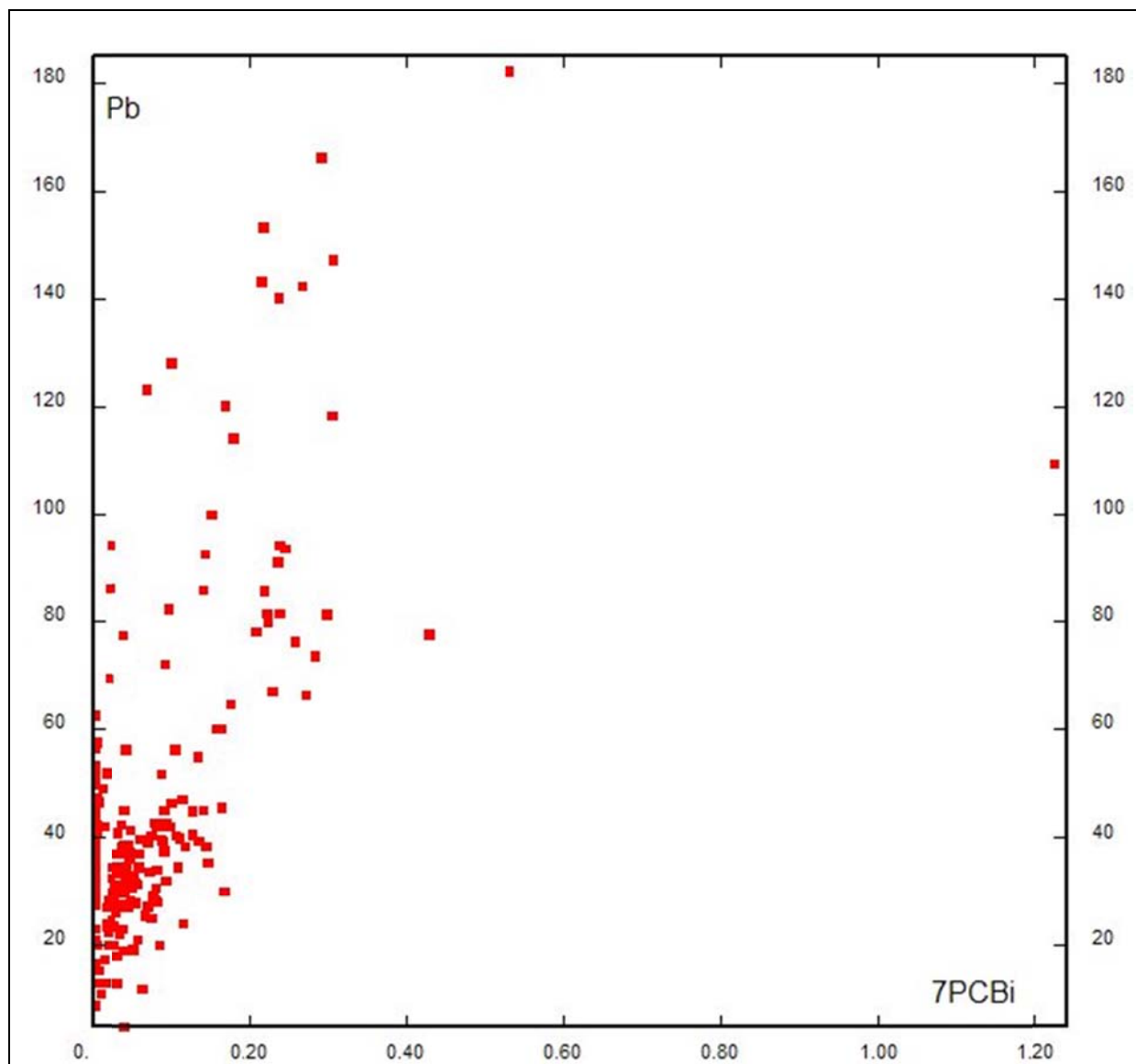


Illustration 10: Nuage de corrélation entre la concentration 7PCBi et la concentration en Plomb

1.1.4. Corrélation des PCB avec la profondeur par rapport au sol, à l'altitude ZNGF ou à la distance par rapport au fond du casier

La teneur en 7PCBi se révèle non corrélée à la profondeur par rapport au sol. Elle n'est pas corrélée non plus à l'altitude ZNGF de la mesure. Les coefficients de corrélation sont proches de zéro et les nuages de corrélation ne montrent aucune structure. Il en est de même pour la corrélation entre la teneur en 7PCBi et la distance verticale de l'échantillon par rapport à la base du casier.

1.2. ANALYSE VARIOGRAPHIQUE

1.2.1. Etude variographique de la concentration en PCB (7PCBi)

Le variogramme des concentrations est calculé au pas de 0,3m selon la verticale le long des sondages, et au pas de 15m horizontalement. Dans le plan horizontal, le variogramme est

calculé selon les 2 axes principaux correspondant aux axes formés par les sondages, axes liés à la forme du casier.

Les variogrammes sont calculés sur différentes variables liées à la concentration en 7PCBi :

- La concentration « brute » en 7PCBi (les concentrations mesurées en sondage),
- La concentration en 7PCBi seuillée à 0.6 mg/kg (les valeurs supérieures à 0.6 mg/kg sont remplacées par la valeur 0.6 mg/kg),
- Les seules données où la concentration est inférieure à 0.02 mg/kg,
- Le logarithme de la concentration en 7PCBi,
- L'indicatrice de la concentration à 60 mg/kg : c'est la variable qui vaut 1 si 7PCBi > 60 mg/kg, ou 0 sinon (cette variable permet le calcul de la probabilité de dépasser ce seuil).

1.2.2. Variogramme des concentrations brutes

Le variogramme vertical des concentrations en 7PCBi fait apparaître une structuration des concentrations, avec une croissance du variogramme. L'effet de pépite¹ reste relativement faible. Ce variogramme peut être ajusté par la somme d'un modèle sphérique et d'un modèle linéaire (Illustration 11).

Le variogramme horizontal est nettement plus délicat à interpréter (Illustration 12). Ce variogramme paraît anisotrope :

- dans la direction N120, soit la direction perpendiculaire au casier (et au Rhône), le variogramme présente des valeurs plus fortes et est d'allure « pépitique » : le variogramme fluctue plus ou moins autour d'une constante, au-dessus de la valeur de la variance (ligne horizontale en pointillée sur le graphique)
- dans la direction N030 (allongement du casier), le variogramme montre une croissance régulière. Toutefois le premier point, à la distance 15 m, a une valeur assez forte, proche de la variance.

Un tel comportement de variogramme peut être la traduction :

- soit de concentrations ayant un comportement aléatoire, sans aucune corrélation latéralement,
- soit d'artefacts liés à la présence de très fortes valeurs et/ou à la répartition particulière de ces fortes valeurs qui engendrent un biais sur le variogramme.

Pour évaluer cette deuxième hypothèse de l'impact des très fortes valeurs, plusieurs calculs de variogramme ont été effectués :

- un calcul basé sur la concentration en 7PCBi seuillée à 0.06 mg/kg (les données supérieures sont remplacées par 0.06) : ceci pour évaluer l'influence de la valeur extrême 1.2 (le variogramme est très sensible aux valeurs extrêmes, même en faible nombre),
- un calcul n'utilisant que les concentrations inférieures à 0.02 mg/kg (les données supérieures à cette valeur sont ignorées) : ceci pour éliminer la plupart des valeurs les plus fortes, le seuil de 0.02 mg/kg étant choisi sur la base de l'histogramme.

Ces variantes de calcul conduisent à des résultats similaires (cf plus loin).

¹ L'effet de pépite représente la variation entre deux mesures effectuées à des emplacements infiniment proches sans qu'il puisse être attendu une quelconque similitude entre ces mesures.

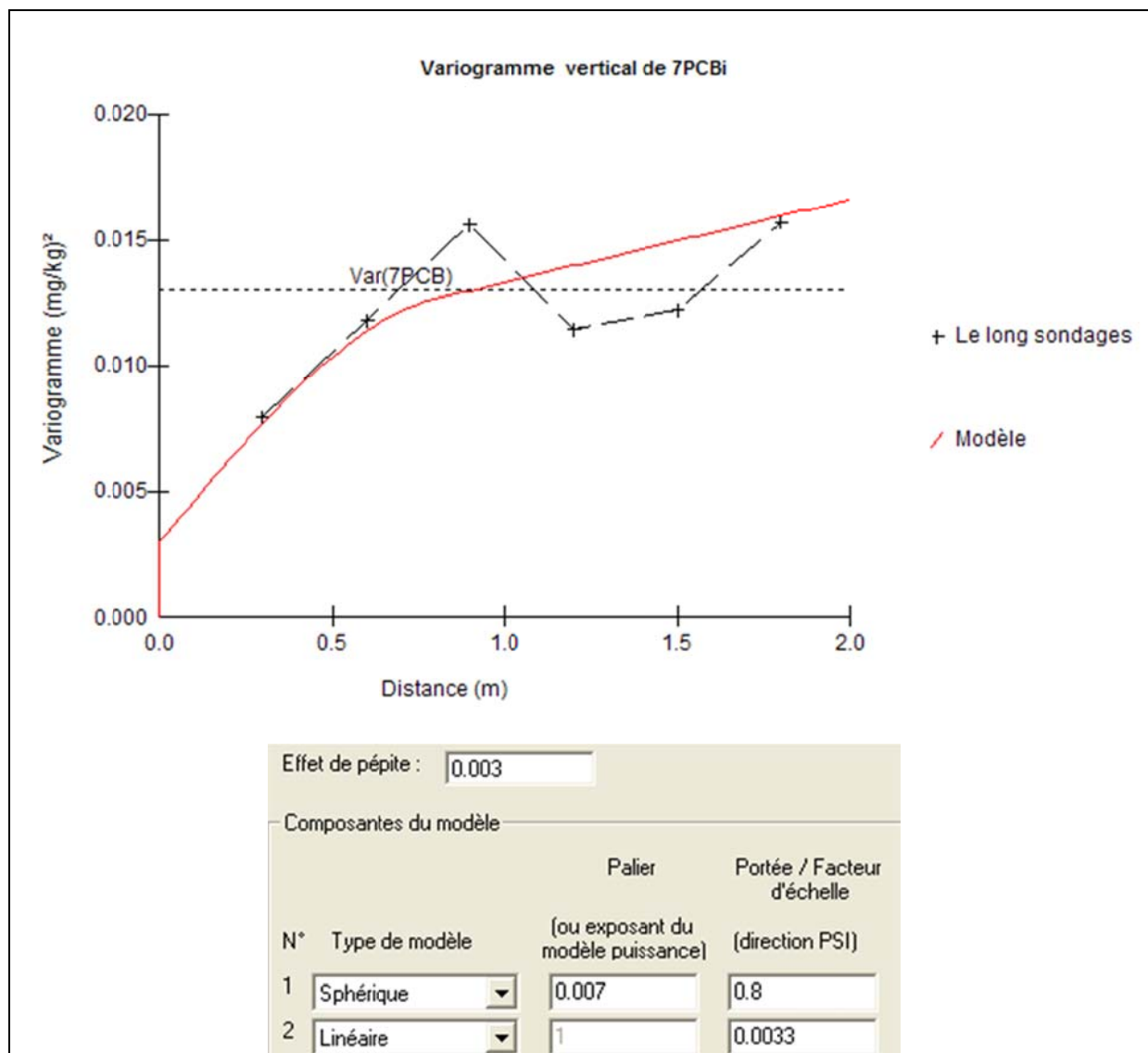


Illustration 11 : Variogramme vertical de la concentration en 7PCBi + ajustement ce de variogramme

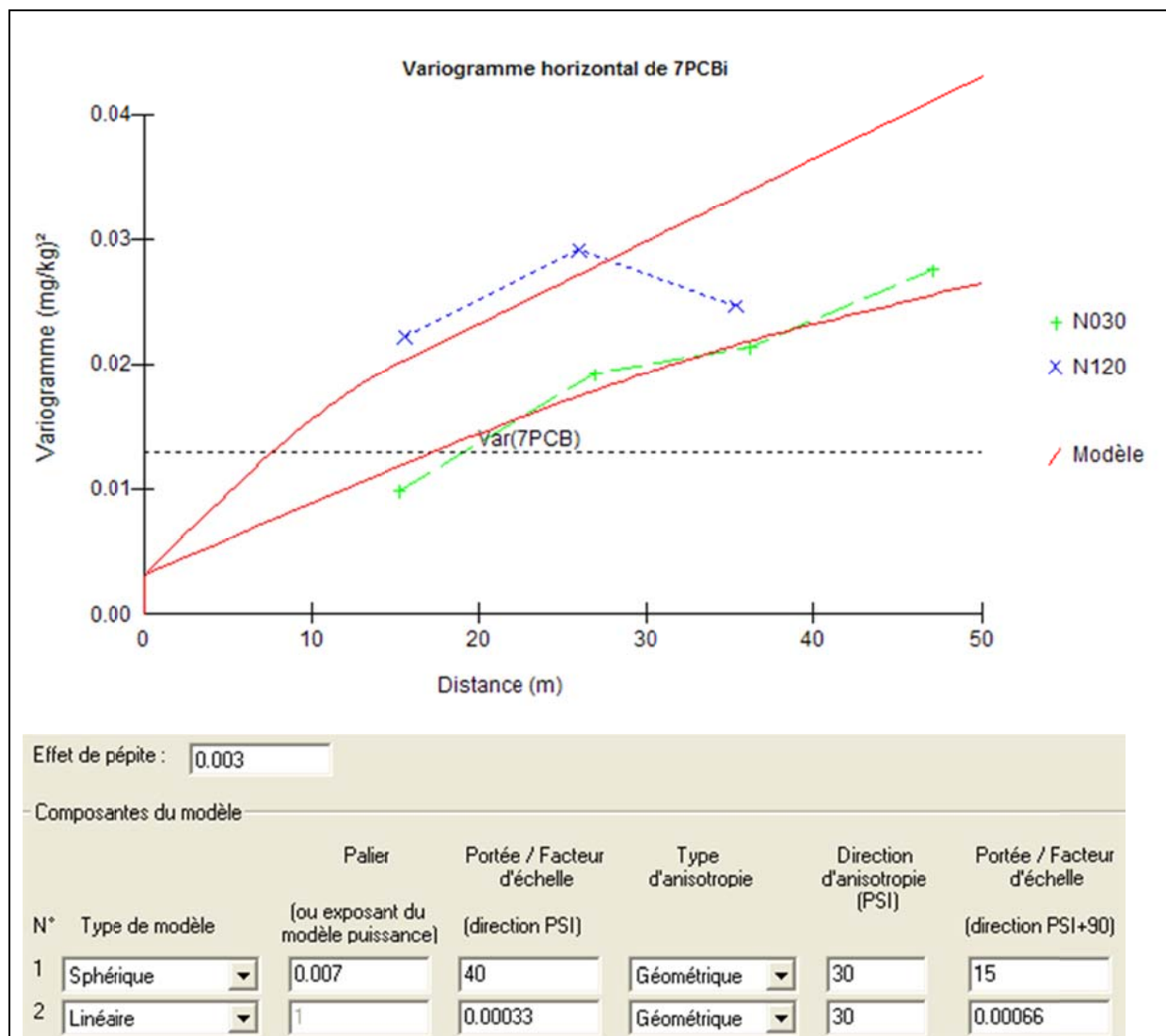


Illustration 12 : Variogramme horizontal de la concentration en 7PCBi + ajustement de ce variogramme

1.2.3. Variogramme des concentrations seuillées à 0.6 mg/kg

Le variogramme vertical des concentrations en 7PCBi seuillées à 0.6 (Illustration 13 et Illustration 14) montre un comportement très similaire à celui calculé à partir des concentrations non seuillées.

Ce n'est donc pas la valeur extrême (1.2 mg/kg) qui est seule responsable du comportement du variogramme.

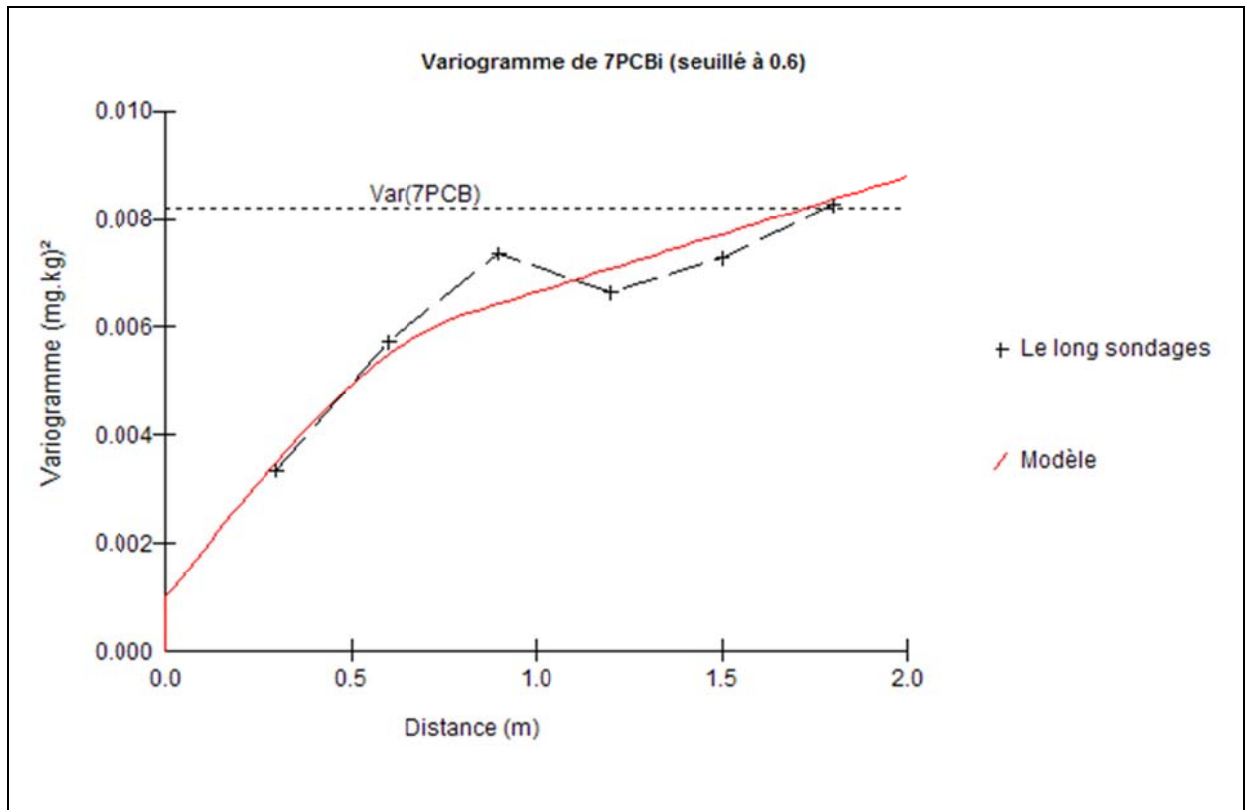


Illustration 13: Variogramme vertical de la concentration 7PCBi seuillée à 0.6 mg/kg

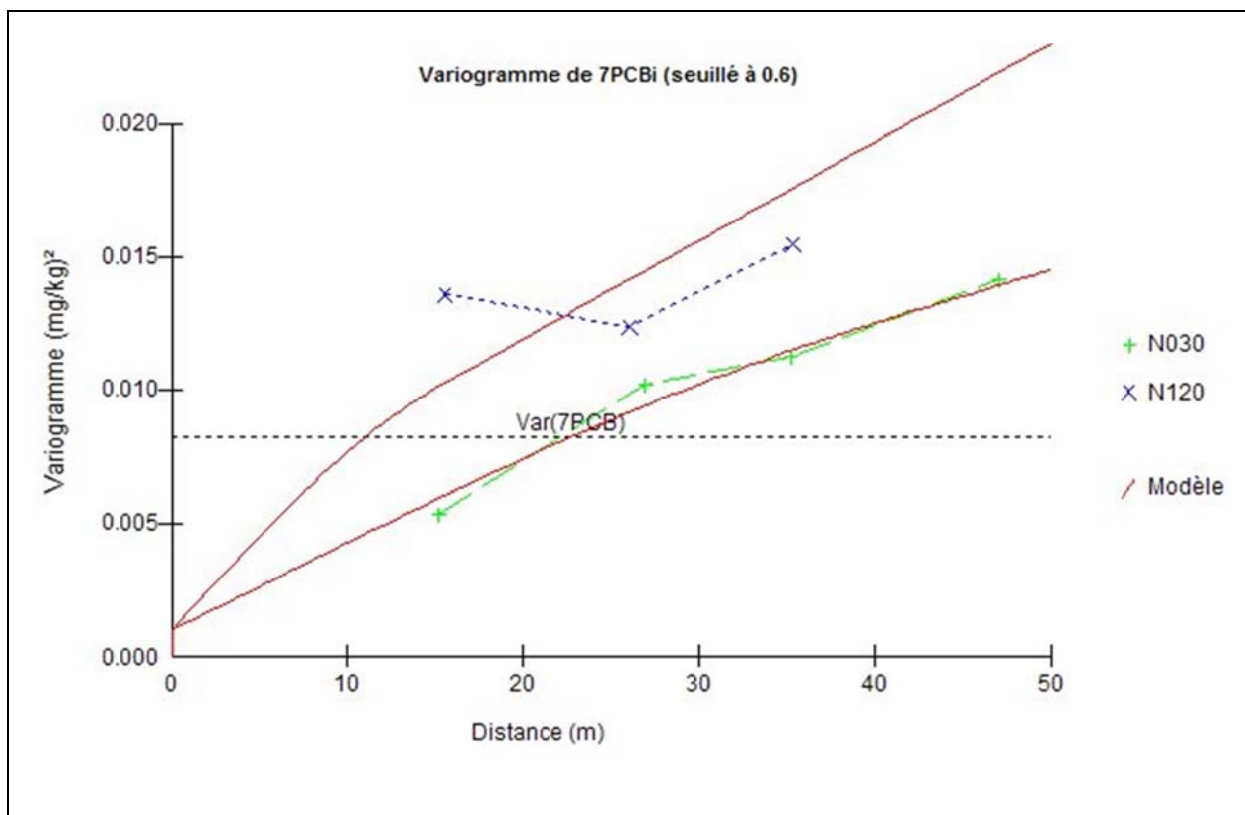


Illustration 14 : Variogramme horizontal de la concentration 7PCBi seuillée à 0.6 mg/kg

1.2.4. Variogramme des données inférieures à 0,2 mg/kg

Pour évaluer l'impact des plus fortes valeurs, le variogramme des seules données inférieures à 0.2 mg/kg a été calculé. Ce variogramme est représenté sur l'illustration 15. Ce variogramme montre que le fait d'ignorer les 23 valeurs les plus fortes modifie en partie le comportement du variogramme horizontal et ne change pas fondamentalement celui du variogramme vertical. Pour ce qui concerne l'horizontale, le variogramme direction N120 conserve son allure pépétique, mais fluctue maintenant aux alentours de la variance. Le variogramme selon la direction N030 montre quant à lui une tendance à l'augmentation, au moins aux « courtes » distances. Il semble donc bien qu'il y ait une meilleure structuration dans la direction N030. Toutefois cette structuration n'est attestée que par un seul point du variogramme : celui à la distance 15m. Pour être certain qu'il ne s'agit pas d'une fluctuation statistique du variogramme, il conviendrait de disposer d'un échantillonnage à distance plus resserrée (par exemple 7.5 m, voir 5 m), afin de confirmer ou non les éventuelles corrélations latérales à petite distance.

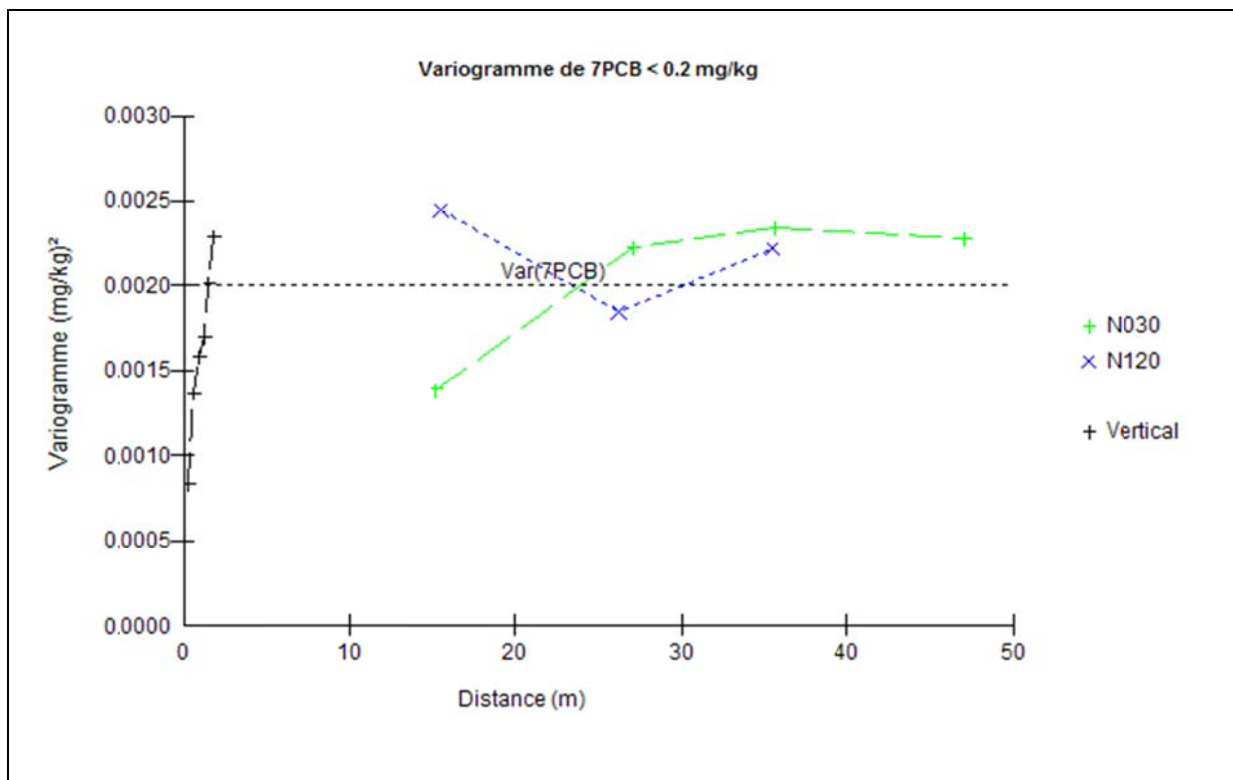


Illustration 15 : Variogramme des valeurs de 7PCBi inférieures à 0.2 mg/kg

1.2.5. Variogramme du logarithme des concentrations

Le variogramme a également été calculé sur le logarithme des concentrations en 7PCBi (le logarithme permet également de limiter d'influence des fortes valeurs). Le variogramme des logarithmes confirme les remarques précédentes et fait ressortir le même type de comportement.

1.2.6. Variogramme de l'indicatrice à 0.06 mg/kg

Pour limiter l'influence des valeurs extrêmes sur le calcul du variogramme, une des méthodes consiste à travailler sur un variable dite « indicatrice » à une certaine coupure.

Une telle variable vaut :

- 1 si la variable est supérieure à une concentration donnée (appelée coupure)
- 0 dans le cas contraire

Un intérêt complémentaire de cette technique est de pouvoir conduire au calcul de la probabilité de dépasser la coupure en question. La coupure étudiée est celle de $60\mu\text{g}/\text{kg}$ ($0.06\text{ mg}/\text{kg}$) qui constitue la valeur seuil des recommandations relatives aux travaux et opérations impliquant des sédiments aquatiques potentiellement contaminés.

L'application d'une coupure à $0.06\text{ mg}/\text{kg}$ montre que 37 % des échantillons ont une concentration en 7PCBi supérieure à la coupure.

Le variogramme (Illustration 16) de la variable indicatrice indique un comportement similaire à celui de la variable brute selon la direction verticale comme selon l'horizontale. Toutefois, selon l'horizontale, l'anisotropie paraît moins marquée (Illustration 17).

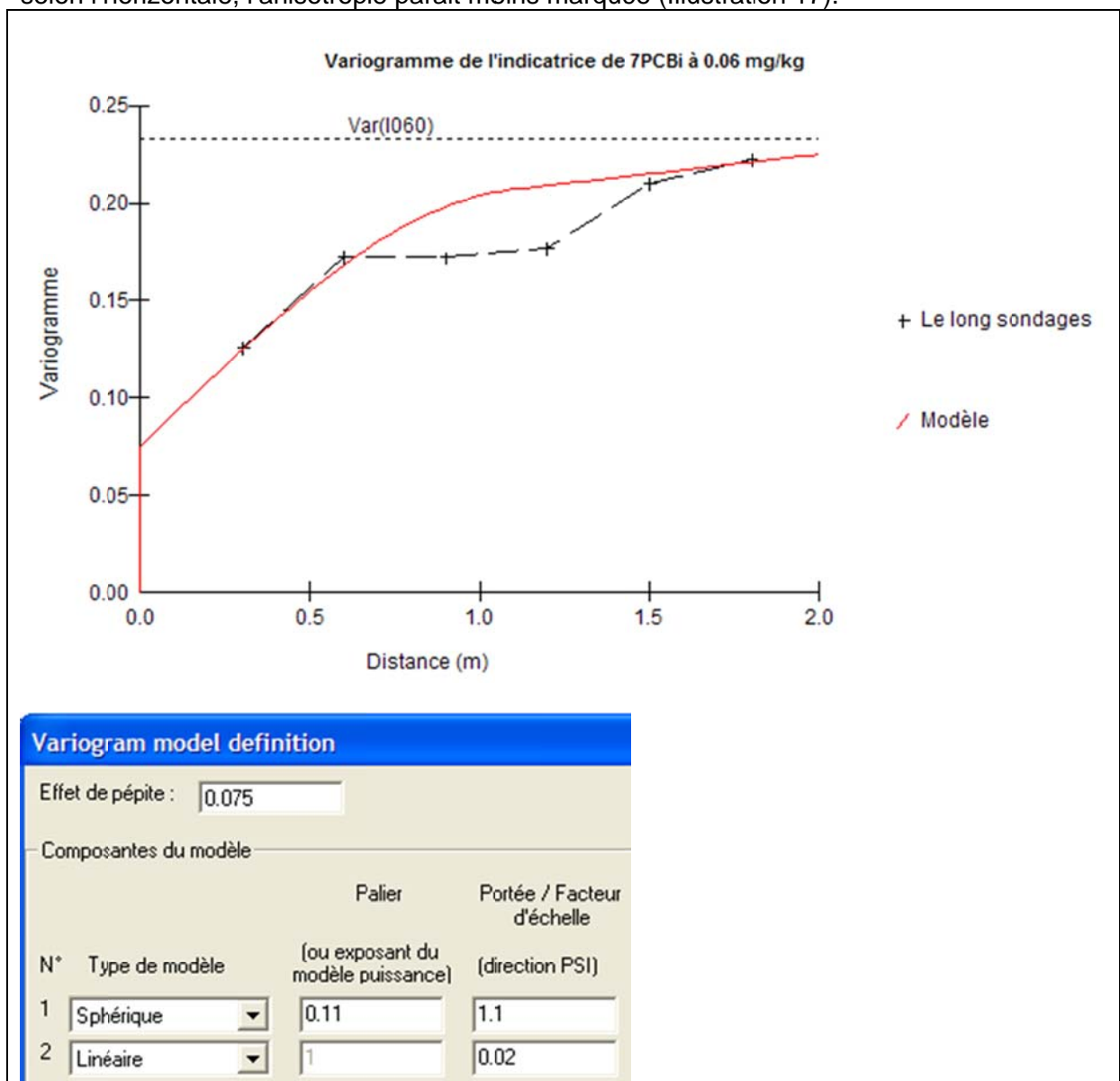


Illustration 16 : Variogramme vertical de l'indicatrice de la concentration 7PCbi à $0.060\text{ mg}/\text{kg}$

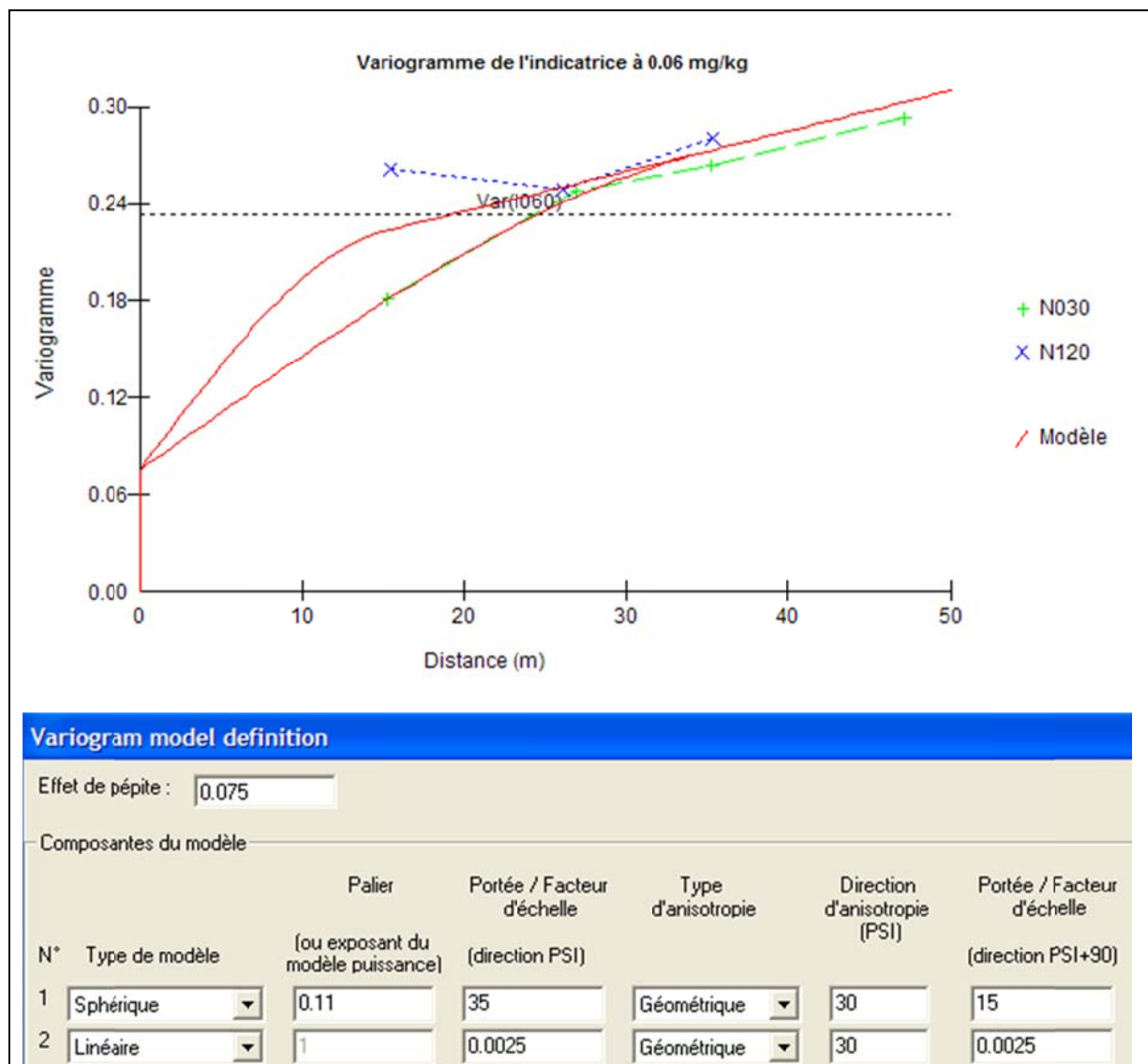


Illustration 17 : Variogramme horizontal de l'indicateur de la concentration 7PCBi à 0.06 mg/kg

Comme pour les concentrations brutes, la continuité latérale à « petite » distances des concentrations en 7PCBi n'est pas franchement attestée par le variogramme, en particulier dans la direction N120.

1.3. CONCLUSION DE L'ANALYSE VARIOGRAPHIQUE

L'analyse variographique des concentrations en 7PCBi montre :

- une certaine « régionalisation » des concentrations selon la verticale : les concentrations le long d'un même axe vertical paraissent en partie corrélées d'un point à l'autre, l'effet de pépité est relativement modéré,
- une apparente faible continuité latérale des concentrations (selon l'horizontale) : la continuité semble meilleure selon la direction N30 (direction d'allongement du casier, parallèle au Rhône), et semble nulle selon la direction N120, à la distance 15m et au-

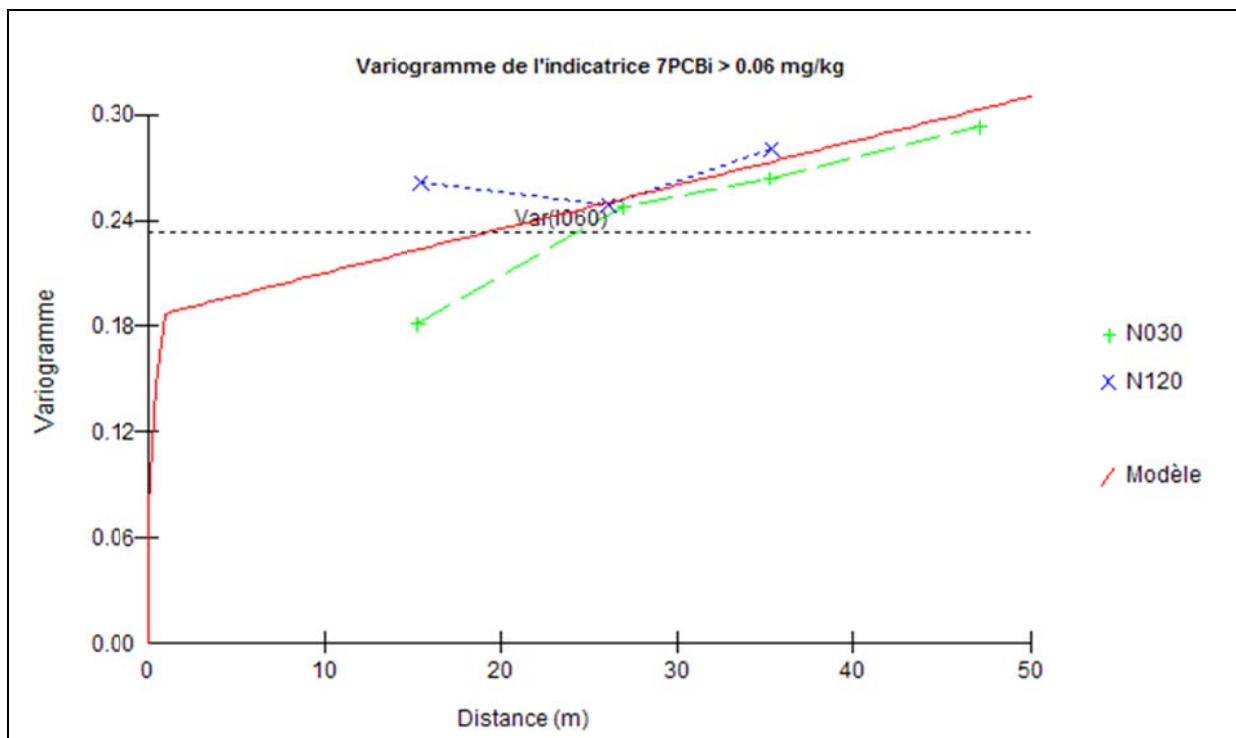
delà, avec une plus forte variabilité perpendiculairement à la direction d'allongement du casier,

- la mise en évidence d'éventuelles corrélations à « faible » distance horizontalement n'est pas possible du fait de la maille d'échantillonnage de 15 m. Pour établir avec certitude l'existence ou non de corrélations horizontales dans les concentrations en 7PCBi, et de leur portée éventuelle, il serait nécessaire de disposer de mesures à un pas plus resserré (par exemple tous les 5m), au moins localement. Avec les informations disponibles au stade actuel, il n'est pas possible de savoir si les concentrations sont corrélées latéralement sur des distances de 50 cm, 5m, 10m, ... ou si elles sont quasiment sans corrélation aucune.

1.4. ESTIMATION 3D DE LA PROBABILITE DE DEPASSEMENT DU SEUIL DE 0.06 MG/KG

A partir de la variable indicatrice, il est possible de réaliser une estimation 3D de la probabilité de dépasser le seuil correspondant à l'indicatrice. Afin d'évaluer l'impact de la continuité éventuelle des concentrations, nous avons effectué deux calculs :

- le premier en se basant sur un modèle de variogramme « optimiste » en termes de continuité, correspondant au modèle de variogramme de l'illustration 16 et l'illustration 17. Ce modèle correspond à l'interprétation la plus continue qu'il est possible de proposer compte tenu du variogramme expérimental disponible au stade actuel,
- le second, en se basant sur un modèle de variogramme relativement « pessimiste » en termes de continuité. Dans cette hypothèse la portée horizontale a été prise égale à la portée verticale, soit 1.1 m (Illustration 18).



Effet de pépite :

Composantes du modèle

N°	Type de modèle	Palier (ou exposant du modèle puissance)	Portée / Facteur d'échelle (direction PSI)
1	Sphérique	0.11	1.1
2	Linéaire	1	0.0025

Illustration 18 : Modèle de variogramme horizontal pour l'indicatrice $7PCBi > 0.06$, hypothèse de faible continuité

Une interpolation 3D a été réalisée aux nœuds d'une grille de maille 1.5 m * 1.5 m * 0.3 m :

	Coordonnée coin inférieur gauche	Coordonnée coin supérieur droit	Taille de la maille (m)	Nombre de mailles
Selon X	790560	790680	1.5	80
Selon Y	2041510	20416669	1.5	106
Selon Z	130.4	137.6	0.3	24

Tableau 2 : caractéristiques de la grille 3D créée

L'indicatrice des concentrations supérieures à 0.06 mg/kg a été interpolée au centre de chacune de ces mailles. Le résultat compris entre 0 et 1, représente la probabilité pour que la concentration au centre de la maille soit supérieure à 0.06 mg/kg.

Les illustrations suivantes (Illustration 19 et Illustration 20) représentent les mailles ayant une probabilité supérieure à 50% de dépasser la concentration de 0.06 mg/kg, avec une échelle de couleur liée à cette probabilité. On note que le modèle de variogramme moins continu conduit à un volume plus faible et moins continu.

Cette différence s'accroît lorsque l'on sélectionne seulement les mailles qui ont une probabilité d'au moins 80 % d'avoir une concentration supérieure à 0.06 mg/kg (Illustration 21 et Illustration 22).

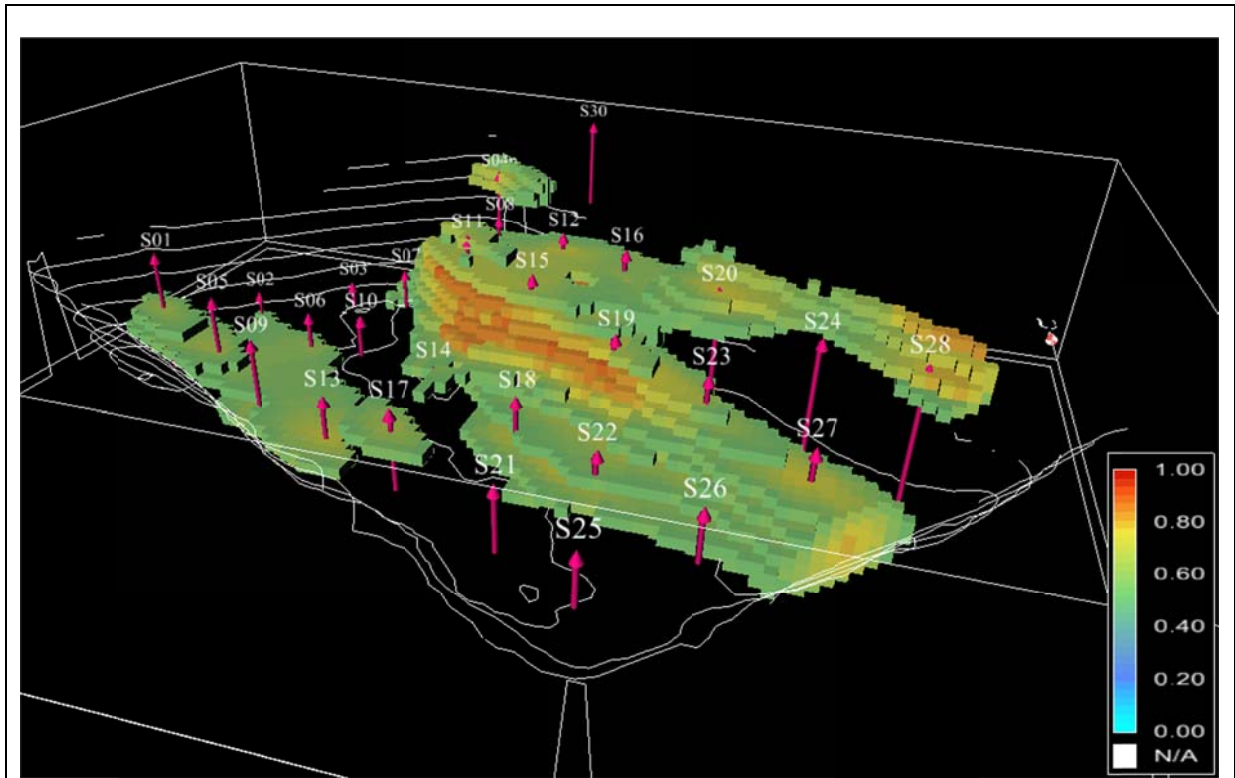


Illustration 19 : Mailles ayant une probabilité >50% de dépasser le seuil de 0.06 mg/kg – modèle de variogramme avec « forte » continuité

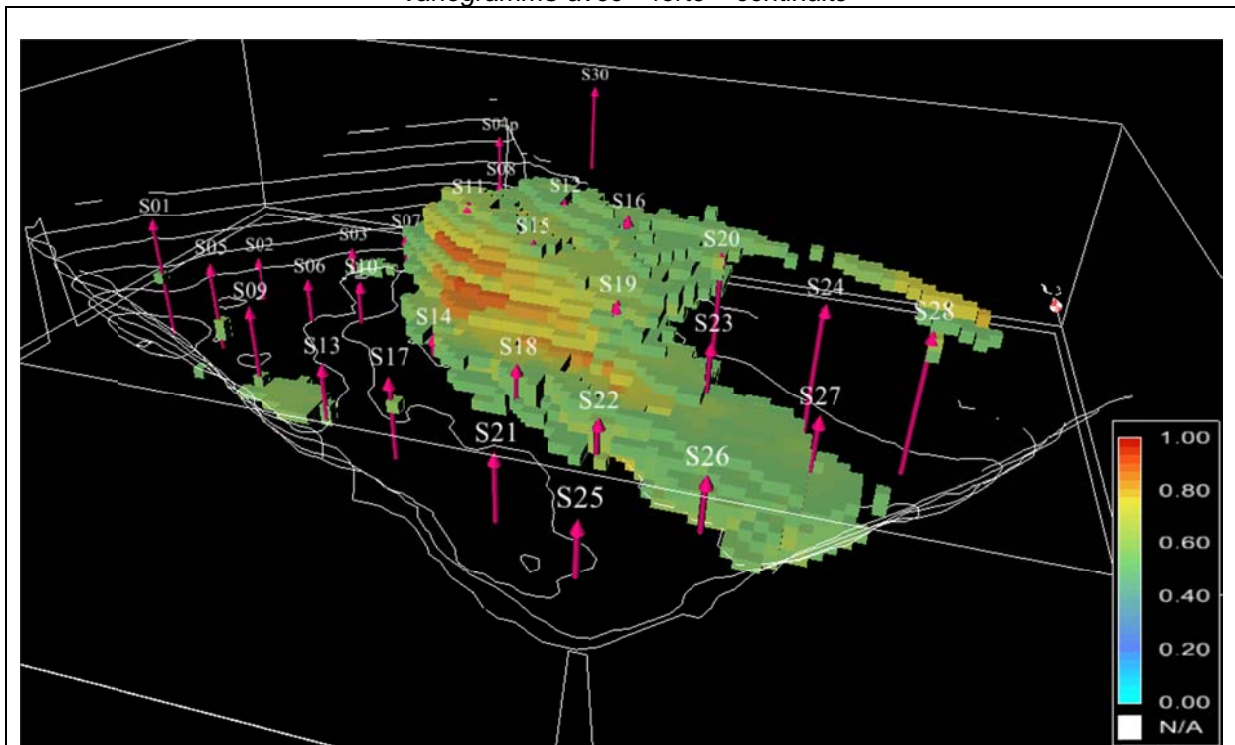


Illustration 20 : Mailles ayant une probabilité >50% de dépasser le seuil de 0.06 mg/kg – modèle de variogramme avec « faible » continuité

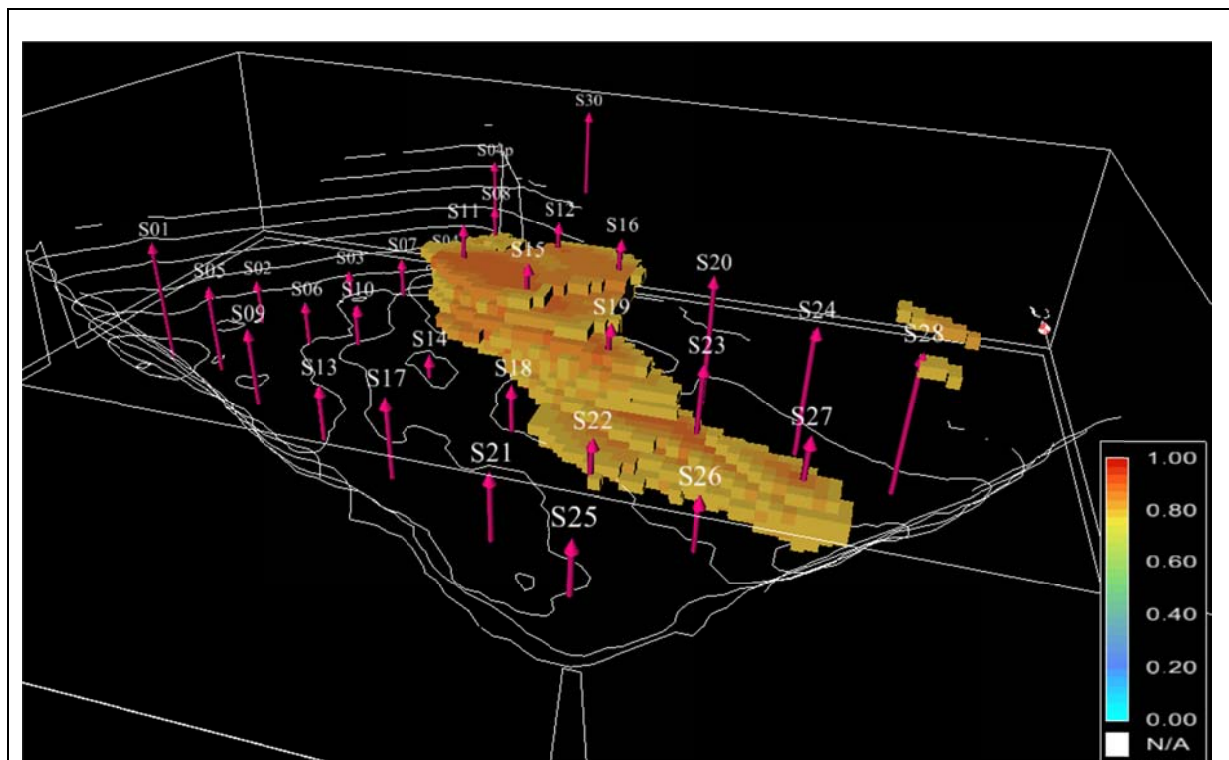


Illustration 21 : Mailles ayant une probabilité >80% de dépasser le seuil de 0.06 mg/kg – modèle de variogramme avec « forte » continuité

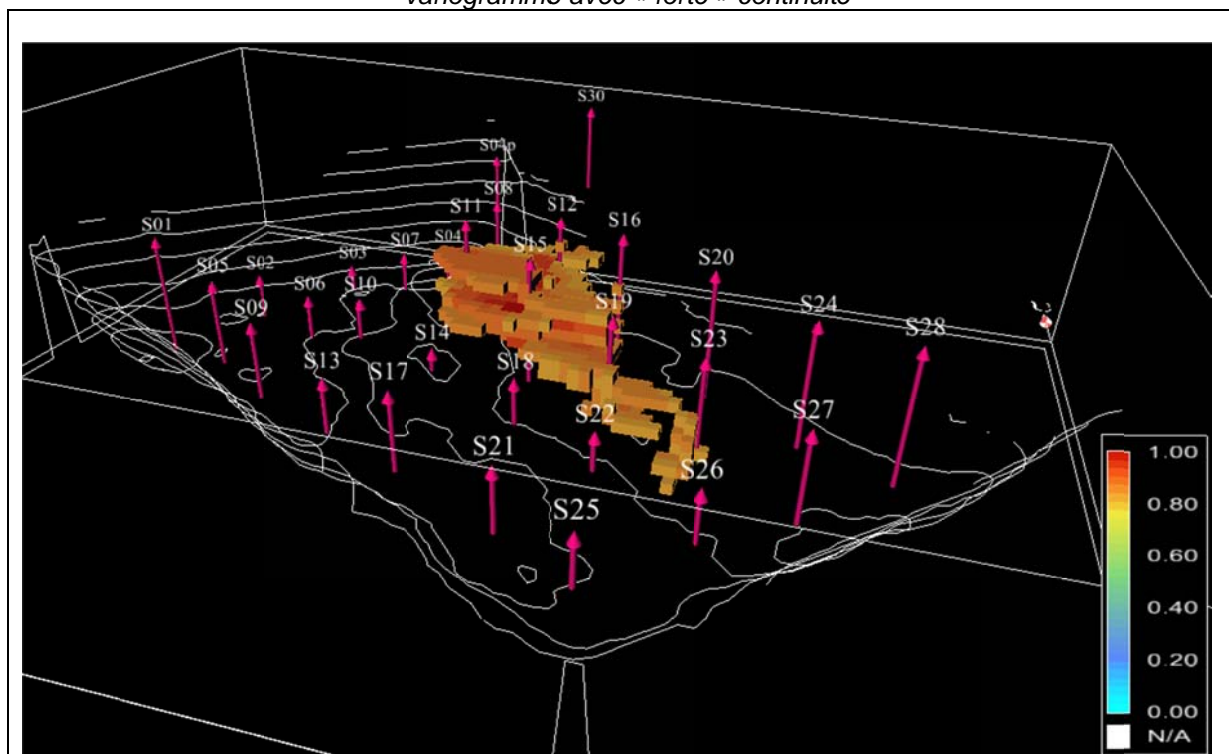
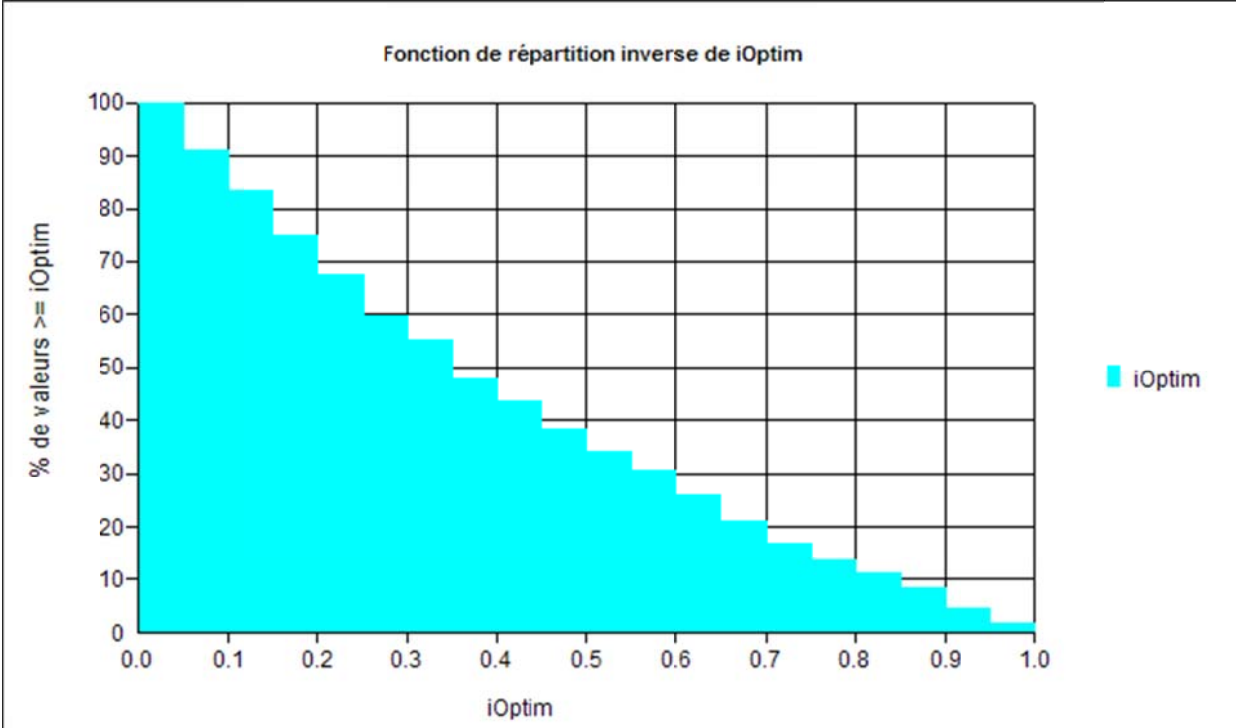


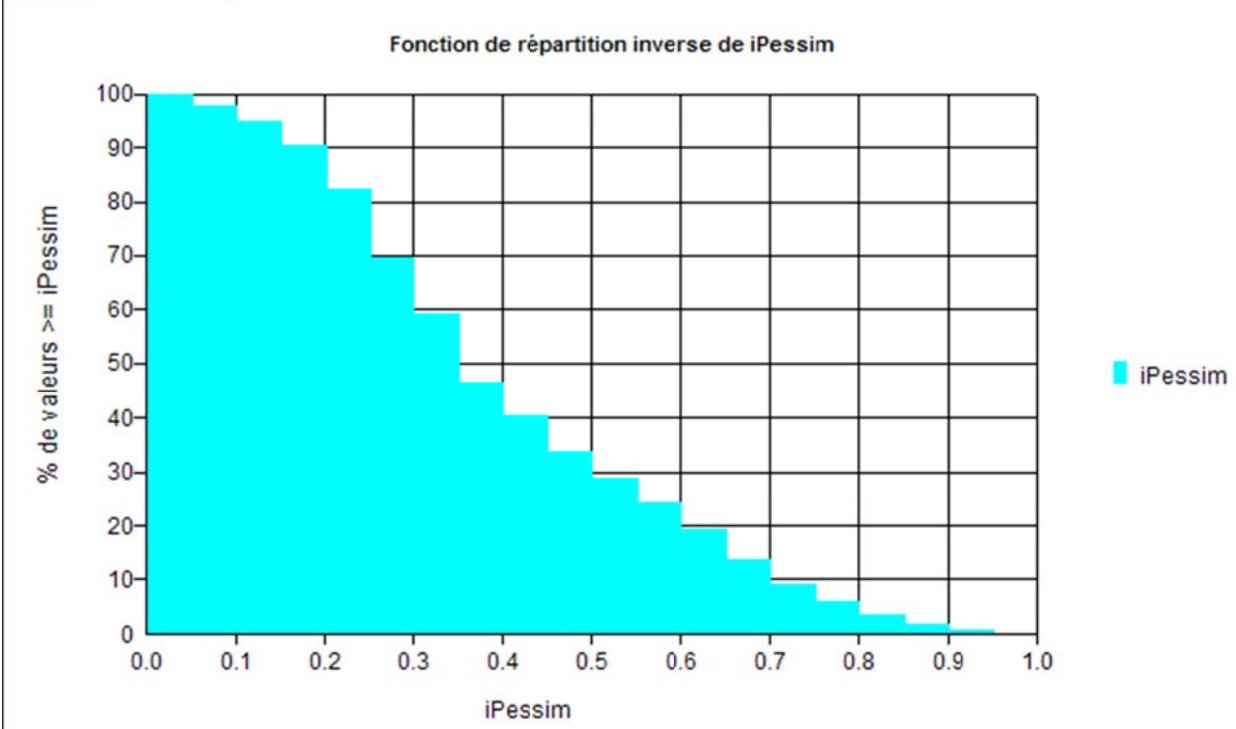
Illustration 22 : Mailles ayant une probabilité >80% de dépasser le seuil de 0.06 mg/kg – modèle de variogramme avec « faible » continuité

L'illustration 23 permet de visualiser la distribution cumulée inverse des probabilités de dépassement de seuil, selon le scénario de continuité du variogramme. Ainsi, dans le scénario le plus continu (variable iOptim) on compte environ 12% du volume avec une

probabilité >80% d'avoir une concentration supérieure à 0.06 mg/kg (38% du volume avec une probabilité >50%). Dans le scénario moins continu (variable iPessim), le pourcentage concerné tombe à environ 6%. D'une façon générale, le scénario le moins continu va avoir tendance à produire des interpolations qui vont se rapprocher de la moyenne des concentrations.



Modèle de variogramme avec « bonne » continuité



Modèle de variogramme avec « faible » continuité

Illustration 23: Distribution cumulée inverse des probabilités d'avoir une concentration supérieure à 0.06 mg/kg

1.5. CALCUL DE VOLUME ET TENEUR MOYENNE

Le volume du casier a été estimé dans l'enveloppe du domaine reconnu par les perches (Illustration 24).

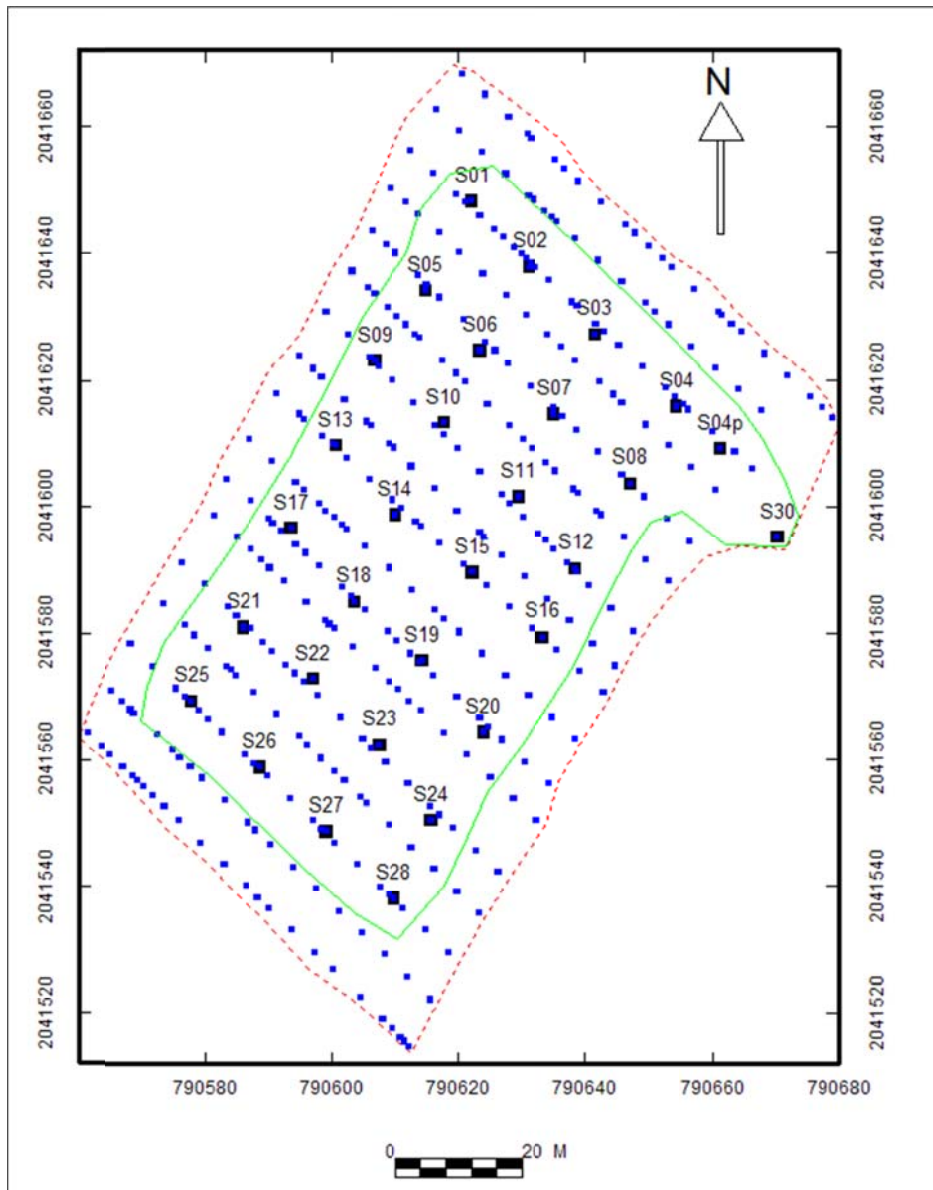


Illustration 24 : Position des perches pour la mesure de la profondeur du casier

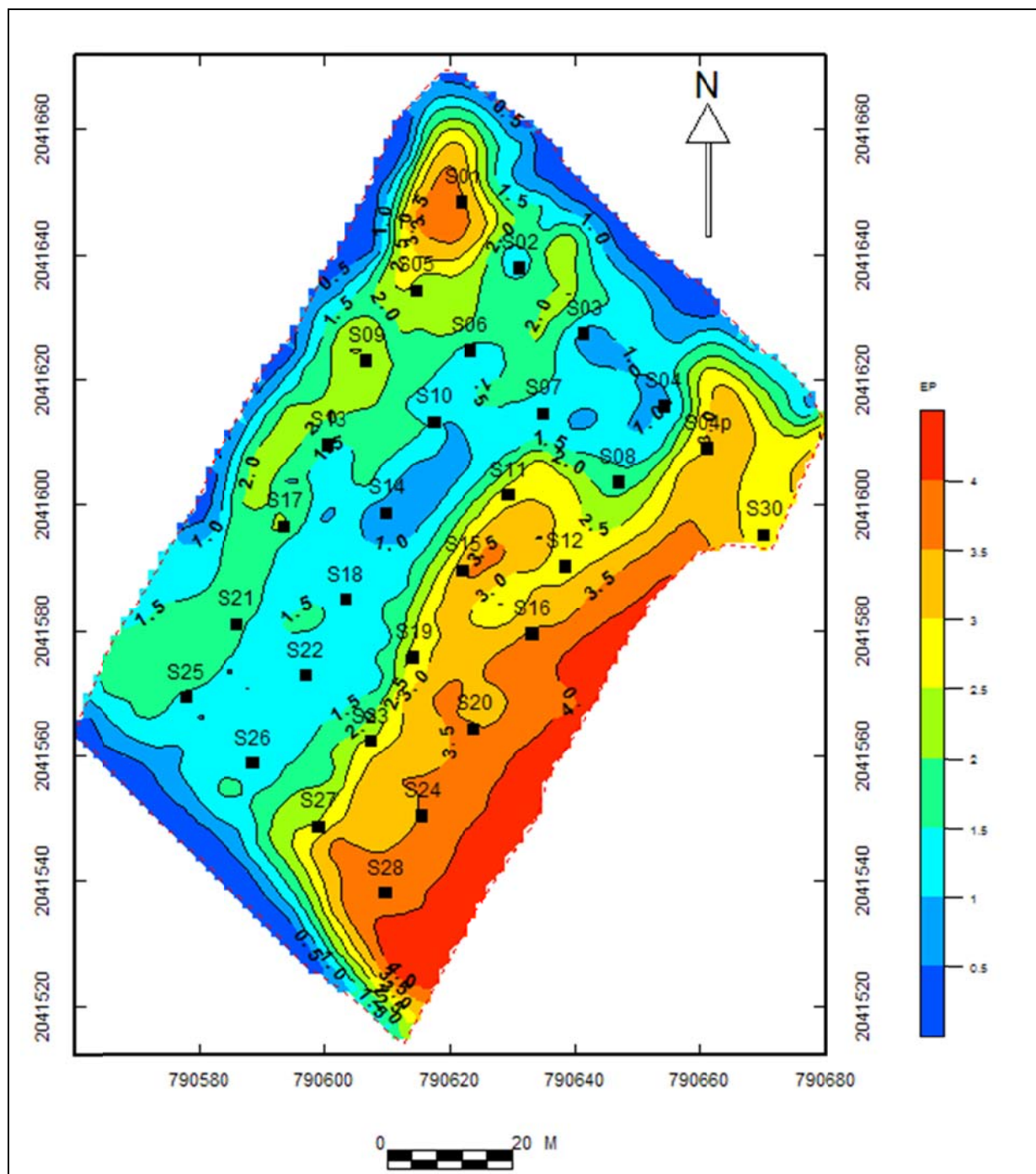


Illustration 25 : Epaisseur du casier

A partir de ces perches on a pu interpoler la cote ZSOL, la cote de la base du casier, ainsi que l'épaisseur du casier (Illustration 25), à l'intérieur d'une enveloppe entourant au mieux les perches (limite en pointillés, Illustration 24) Dans cette enveloppe on arrive à une épaisseur moyenne de 2.08 m et à volume total de 19 240 m³.

Un calcul de teneur moyenne en 7PCBi donne :

- 0.076 à partir de la moyenne des données brutes²

² Rappel : 0.073 mg/kg en ne prenant que les valeurs supérieures à la limite de quantification. La différence est non significative.

- 0.079 par interpolation.

Cette teneur est obtenue par interpolation des concentrations en 7PCBi à l'intérieur de la zone matérialisée en vert sur la l'illustration 24, à l'aide du modèle de variogramme représenté sur les Illustration 12 et Illustration 13, donc avec une hypothèse continue.

La visualisation des concentrations interpolées à une valeur supérieures à 0.060 mg/kg est donnée (Illustration 26). Noter que les valeurs supérieures à 0.060 occupent un volume légèrement plus important que sur l'illustration 19.

Les différences sont liées aux différences sur le modèle de variogramme et particulier sur les hypothèses faites sur la continuité latérale. D'où l'importance de bien caler le modèle de variogramme.

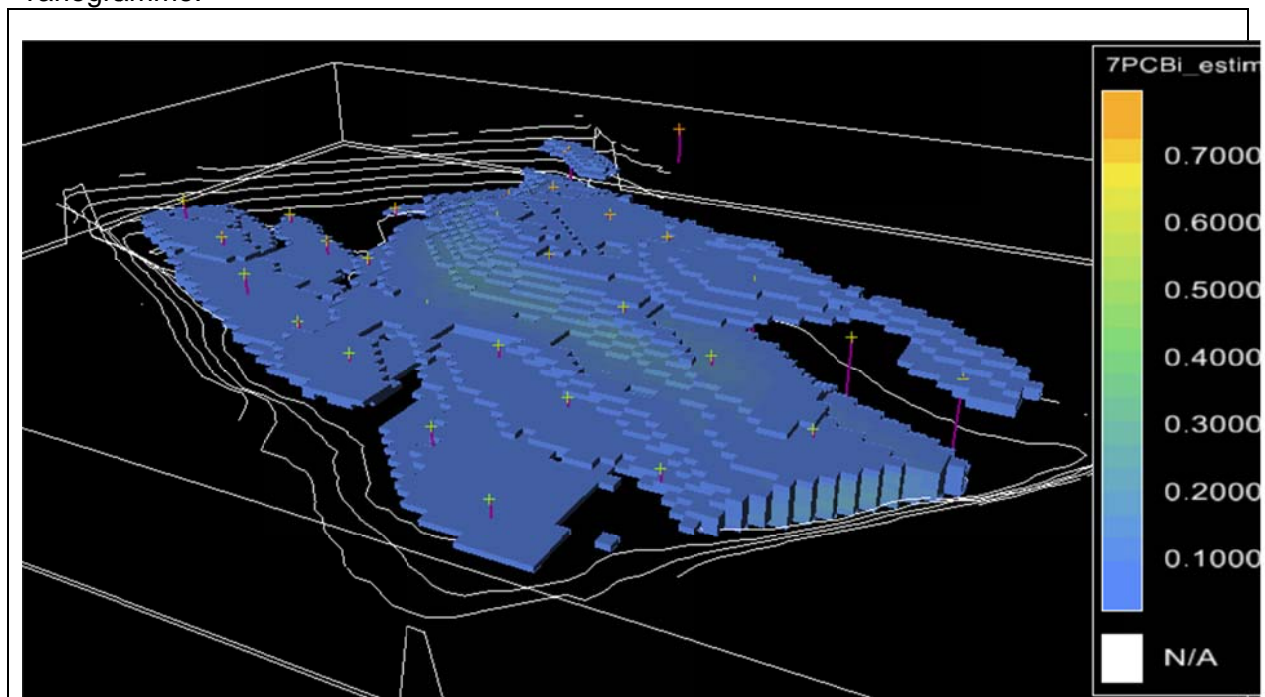


Illustration 26 : Interpolation des concentrations en 7PCBi. Visualisation des concentrations supérieures à 0.060 mg/kg

1.6. CONCLUSIONS

Les analyses et traitements géostatistiques effectués sur les concentrations en PCB dans le casier Girardon amènent les conclusions suivantes :

- Verticalement le phénomène paraît régionalisé, avec une assez bonne corrélation entre les teneurs d'un échantillon au suivant et un effet de pépité modéré, favorable à la réalisation d'un moindre nombre d'échantillons verticalement.
- Latéralement on observe une continuité faible à la première distance de calcul (15m) et au-delà. La continuité semble meilleure selon la direction N30 (direction d'allongement du casier), et paraît nulle dans la direction perpendiculaire,
- Afin de mettre en évidence une éventuelle corrélation spatiale à « petite » distance (inférieure à 15m) latéralement, il conviendrait de disposer d'échantillons à plus petite distance, espacés de 5m par exemple, au moins localement.

2. Rappel sur la géostatistique

2.1. GEOSTATISTIQUE : VARIABLE REGIONALISEE ET CORRELATION

(voir aussi sur Wikipedia : <http://fr.wikipedia.org/wiki/G%C3%A9ostatistique>)

Les formations lithologiques et leurs propriétés présentent un comportement global que l'on pourrait modéliser par une approche déterministe, néanmoins elles présentent aussi des variations et des irrégularités locales qui échappent à toute représentation fonctionnelle simple et qu'il est plus rigoureux de modéliser par une approche probabiliste.

La géostatistique est une théorie et une méthodologie, fondée sur l'analyse statistique des corrélations spatiales, pour étudier les variables dites régionalisées c'est à dire dont l'évolution dans l'espace (et/ou le temps) présente un caractère à la fois aléatoire et structuré.

Deux raisons majeures justifient la mise en œuvre d'une approche géostatistique :

- Elle permet de caractériser la variabilité spatiale du phénomène que l'on étudie, à savoir le comportement des formations retenues. L'outil utilisé est **le variogramme** qui synthétise la structure de la variable. Pour une direction donnée, il indique comment varie l'écart des valeurs prises en 2 points X et $X+h$ en fonction de la distance h . Il renseigne sur les anisotropies éventuelles et sur le degré de régularité de la variable.
- Elle permet de résoudre le problème de l'interpolation optimale, c'est à dire de l'estimation optimale d'une valeur $Z(x_0)$ inconnue à partir des informations disponibles. L'interpolateur utilisé est le **krigeage**, seule technique qui fournit simultanément la valeur estimée et l'erreur associée caractérisée par l'écart-type de krigeage.

La géostatistique est une discipline dont l'objectif est l'étude des phénomènes « régionalisés », c'est-à-dire présentant une certaine « structure » dans l'espace (x,y,z) ou dans le temps. Par « structure » on entend la corrélation spatiale d'une variable entre deux points de mesure à l'intérieur d'une zone d'étude ou au même point en deux instants différents. Ainsi la cote piézométrique en un point A d'un aquifère est en général peu différente de la cote piézométrique en un point B très proche (au même instant) : les deux côtes piézométriques sont très « corrélées ». On comprend aisément que cette corrélation diminue lorsque la distance entre les points A et B augmente. A la limite, on conçoit qu'il y ait des cas où ces côtes piézométriques soient indépendantes l'une de l'autre lorsque les points sont suffisamment éloignés.

2.2. UN OUTIL : LE VARIOGRAMME

La façon dont la corrélation évolue en fonction de l'inter-distance entre les points est mesurée par le « variogramme » expérimental. Calculé à partir des données, le variogramme mesure l'écart carré moyen entre deux mesures, en fonction de l'interdistance entre ces points de mesure.

La définition et le principe de calcul du variogramme sont donnés ci-dessous.

Le variogramme est un outil qui permet de quantifier les plus ou moins bonnes corrélations du phénomène en fonction de l'interdistance entre deux points où l'on observe ce phénomène. C'est ainsi un outil de mesure de la plus ou moins forte continuité du phénomène, de son caractère isotrope ou anisotrope (comportement différent selon la direction).

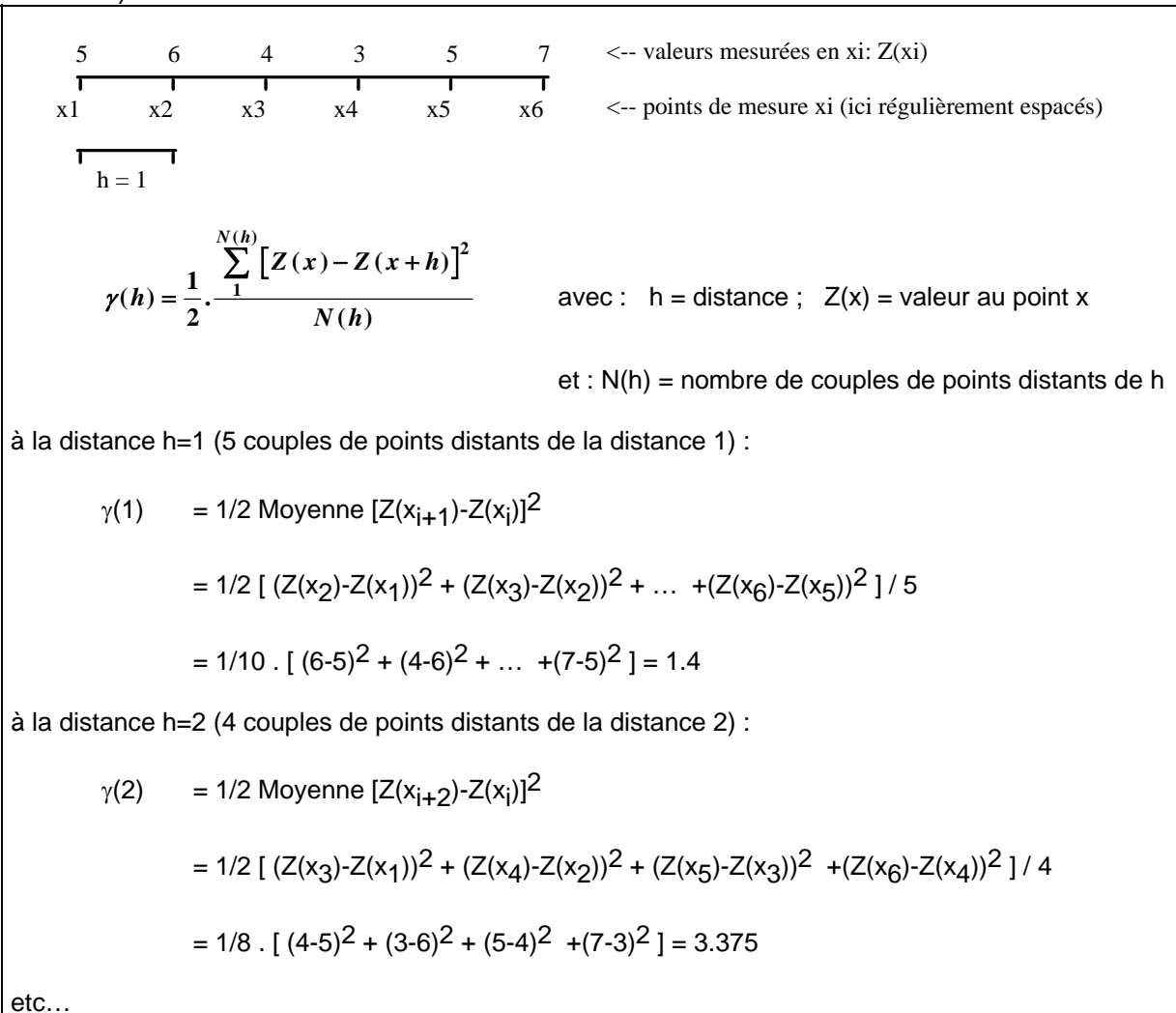


Figure 1: Définition du variogramme expérimental

Propriétés du variogramme

L'allure et le comportement du variogramme expérimental fournissent une image synthétique des principaux traits structuraux du phénomène étudié :

- **Continuité à l'origine.** En principe Z(x) et Z(x+h) sont égaux quand h tend vers 0. En pratique toutefois, ceci n'est pas toujours vérifié. En effet il peut exister une discontinuité apparente à l'origine, qui peut être liée soit à une erreur de mesure, soit à des variations à « petites distances », en tout cas à des distances inférieures à la maille d'échantillonnage. Cette discontinuité à l'origine est appelée « effet de pépite ». Elle traduit la part de variabilité du phénomène que l'on ne peut expliquer soit en raison de la maille d'échantillonnage, qui ne permet pas de mettre en évidence des variabilités locales, soit en raison d'erreurs de mesure. La figure A (b) ci-dessous montre un exemple d'effet de pépite.
- **Continuité spatiale au-delà de l'origine,** traduite par les observations suivantes :

- **portée** (distance de corrélation), phénomène stationnaire - figure A (a) ci-dessous ; classiquement la valeur du variogramme est plus faible à l'origine (Z(x) et Z(x+h) sont voisins quand h est faible, donc la valeur du variogramme est faible) et augmente quand la distance augmente. Au bout d'une certaine distance entre points de mesure, la différence entre Z(x) et Z(x+h) n'augmente plus statistiquement, car les points ne sont plus corrélés. Cette distance limite est appelée portée (distance maximale jusqu'à laquelle des points peuvent être corrélés). A partir de cette distance, la valeur du variogramme se stabilise autour d'un palier,
- **anisotropie**,
- **imbrication d'échelles de variabilité**,
- **absence de portée finie** - figure A (b) ci-dessous, dérive ou tendance régionale, phénomène non stationnaire.

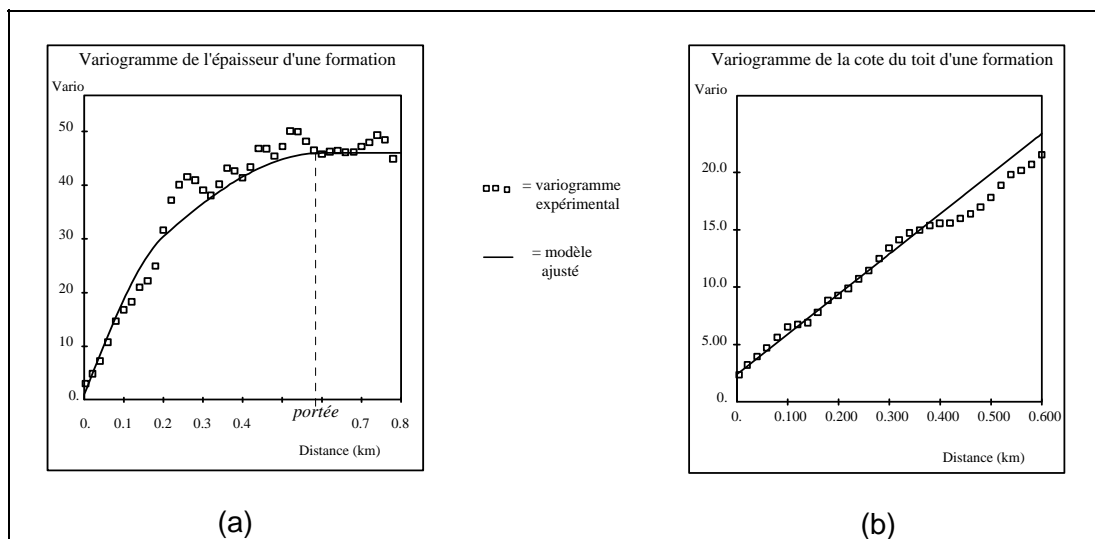


Fig. A : Exemples types de variogrammes : (a) : variable stationnaire avec portée visible, (b) : variable non stationnaire, sans portée.

2.3. KRIGEAGE : LA METHODE D'INTERPOLATION GEOSTATISTIQUE

Le krigeage est une méthode d'interpolation linéaire qui permet d'obtenir une estimation non biaisée et dont l'erreur d'estimation est minimale.

La variable d'étude est notée Z. La valeur estimée au point x, notée $Z^*(x)$ est donnée par :

$$Z^*(x) = \sum_{i=1,n} \lambda_i Z(x_i)$$

$Z^*(x)$ est donc une combinaison linéaire des données de base $Z(x_i)$ mesurées aux points x_i .

Les λ_i sont les poids respectifs (ou pondérateurs) attribués à chaque donnée $Z(x_i)$.

Ces poids sont calculés sous contrainte que leur somme soit égale à 1 (pour des conditions ne non biais) et sous contrainte d'être en accord avec la structure spatiale mise en évidence par le variogramme, de façon à ce que l'erreur d'interpolation soit minimale. Lorsqu'on interpole la valeur en un point x, le poids attribué aux données environnantes sera d'autant plus fort que cette donnée est proche, tout en tenant compte de la densité de données, de

leur disposition vis-à-vis des anisotropies, etc.... Le système d'équation permettant d'obtenir les poids de krigeage est donné en annexe.

Le krigeage est un interpolateur dit « exact » en ce sens qu'il ré-estime correctement les points mesurés (la valeur interpolée est égale à la valeur mesurée). Il prend en compte les points du voisinage en leur attribuant un poids lié à la « structure » du phénomène, c'est-à-dire en fonction des corrélations mises en évidence par le variogramme (palier, portée, anisotropie, dérive, ...).

Le krigeage offre trois avantages principaux par rapport aux autres méthodes d'interpolation :

- il prend en compte la structure du phénomène, à travers le variogramme : il se base donc sur une fonction d'interpolation « objective », c'est-à-dire mesurée sur les données, et non « subjective » = choisie arbitrairement,
- il permet le calcul de l'erreur d'interpolation (ou plus précisément la variance de cette erreur) : c'est actuellement la seule méthode d'interpolation qui permet cela,
- il permet d'intégrer des variables secondaires, corrélées à la variable d'étude, connues soit aux points de données, soit exhaustivement sur une grille. On peut ainsi prendre en compte le fait que la cote piézométrique est dans certains cas (nappes libres) corrélée à la cote topographique. Dans le cas où on utilise plusieurs variables corrélées, disponibles aux points de mesure, on parle de « co-krigeage ». Dans le cas où on utilise une variable connue de façon exhaustive, on utilise une technique appelée « krigeage avec dérive externe ».

Formalisme du krigeage « ordinaire »

Le krigeage le plus utilisé est le « krigeage ordinaire ». Il s'agit d'une interpolation par combinaison linéaire des données de base $Z(x_i)$. La valeur interpolée au point x , notée $Z^*(x)$, est donnée par :

$$Z^*(x) = \sum_{i=1,n} \lambda_i Z(x_i)$$

Le non biais est assuré à la condition que la somme des poids ou pondérateurs λ_i soit égale à 1 :

$$\sum_{i=1,n} \lambda_i = 1$$

Les pondérateurs sont alors choisis de façon à minimiser la variance d'estimation. Ceci conduit aux équations du krigeage ordinaire suivantes :

$$\sum_{j=1,n} \lambda_j \gamma(x_i, x_j) + \mu = \gamma(x_i, x) \quad \forall i \text{ (n équations)}$$

$$\sum_{i=1,n} \lambda_i = 1$$

n = nombre d'informations disponibles,

i, j = indices des points de mesure ; i et j varient de 1 à n ,

x_i, x_j	=	points de mesure x_i et x_j ,
$Z(x_i), Z(x_j)$	=	valeurs mesurées en x_i et x_j ,
x	=	volume à estimer (point ou bloc),
λ_i (ou λ_j)	=	pondérateur (ou poids) affecté à la valeur mesurée en x_i ,
μ	=	paramètre de Lagrange,
$\gamma(x_i, x_j)$	=	valeur du variogramme $\gamma(h)$ pour $h =$ distance entre x_i et x_j ,
$\gamma(x_i, x)$	=	valeur du variogramme $\gamma(h)$ pour $h =$ distance entre x_i et x ,

si x est un volume, on prend la valeur moyenne de γ entre x_i et ce volume.

Enfin la variance de l'erreur d'estimation, appelée **variance d'estimation** ou **variance de krigeage**, vaut :

$$S_k^2 = \sum_{i=1,n} \lambda_i \gamma(x_i, x) - \bar{\gamma}(x, x) + \mu$$

$\bar{\gamma}(x, x)$ est la valeur moyenne du variogramme entre deux points appartenant au volume x . Si le volume se réduit à un point, la distance qui sépare ces points est nulle et on a $\bar{\gamma}(x, x) = 0$.

Dans les expressions ci-dessus on voit que dans le krigeage interviennent :

- les positions des informations x_i par rapport au volume ou au point à estimer x , par le biais des valeurs de $\gamma(x_i, x)$;
- la répartition des informations, par le biais des valeurs de $\gamma(x_i, x_j)$;
- la fonction structurale variogramme γ .

2.4. VALIDATION CROISEE

Le principe de la validation croisée est illustré figure suivante.

La validation croisée consiste, pour chaque point de donnée, à l'enlever temporairement et à ré-estimer sa valeur à partir des données voisines. La différence entre la valeur vraie et la valeur ré-estimée peut alors être calculée et analysée. Cette différence (erreur d'estimation) peut également être comparée à l'écart-type d'estimation fourni par le krigeage. En effet, il est admis que le rapport entre ces deux valeurs, appelé « erreur réduite », se rapproche d'une distribution gaussienne de moyenne nulle et de variance 1.

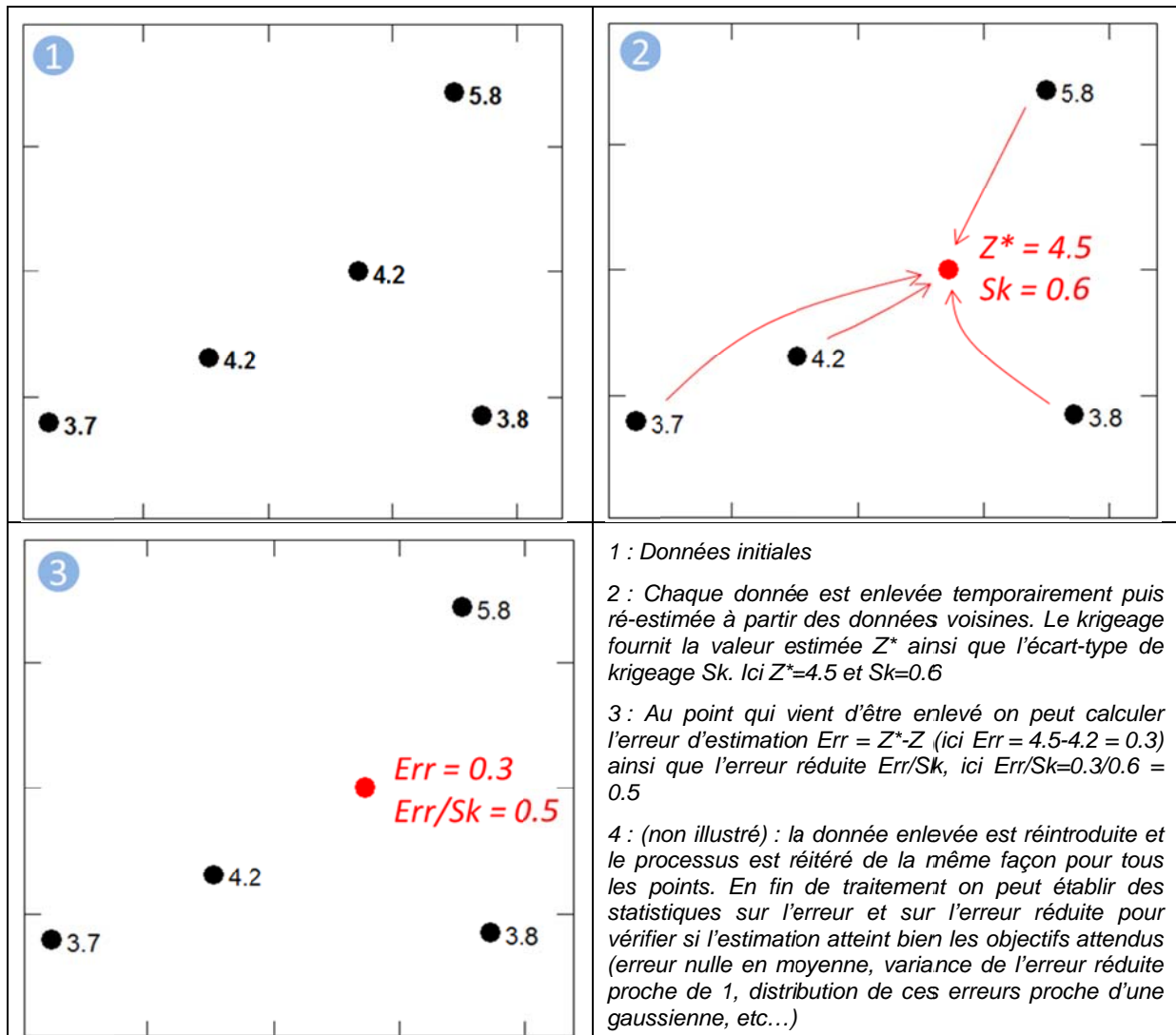


Figure 2: Principe de la validation croisée

Annexe 15 :

Analyses granulométriques de la carotte C27

Cette annexe regroupe les **analyses granulométriques** réalisées sur la carotte de référence C27, soit un total de 230 échantillons.

Ces analyses ont été réalisées au laboratoire LEHNA-IPE.

		27-1 00-01	27-1 02-03	27-1 03-04	27-1 04-05	27-1 05-06	27-1 06-07	27-1 07-08
	ANALYST AND DATE:							
	SIEVING ERROR:							
	SAMPLE TYPE:	Unimodal, Very Poorly Sorted	Unimodal, Very Poorly Sorted	Unimodal, Poorly Sorted	Unimodal, Very Poorly Sorted	Unimodal, Very Poorly Sorted	Unimodal, Very Poorly Sorted	Unimodal, Very Poorly Sorted
	TEXTURAL GROUP:	Slightly Gravelly Sandy Mud	Slightly Gravelly Sandy Mud	Sandy Mud	Sandy Mud	Sandy Mud	Sandy Mud	Sandy Mud
	SEDIMENT NAME:	Fine Gravelly Very Fine Sandy Vel	Fine Gravelly Very Fine Sandy Vel	Very Fine Sandy Very Coarse Silt	Very Fine Sandy Very Coarse Silt	Very Fine Sandy Very Coarse Silt	Very Fine Sandy Very Coarse Silt	Very Fine Sandy Very Coarse Silt
METHOD OF MOMENTS	MEAN	64,99	55,85	47,55	49,98	57,73	49,35	66,62
	SORTING	182,9	112,3	89,11	68,22	71,57	86,06	101,1
Arithmetic (µm)	SKEWNESS	6,865	8,068	8,015	4,472	3,299	8,008	6,267
	KURTOSIS	54,10	90,57	91,05	37,38	21,15	95,40	60,49
METHOD OF MOMENTS	MEAN	21,76	22,96	20,94	22,82	27,08	21,99	31,24
	SORTING	4,263	4,181	3,985	4,098	4,121	4,047	4,069
Geometric (µm)	SKEWNESS	-0,087	-0,325	-0,377	-0,452	-0,563	-0,421	-0,639
	KURTOSIS	3,186	2,743	2,788	2,582	2,693	2,700	3,004
METHOD OF MOMENTS	MEAN	5,522	5,445	5,577	5,453	5,206	5,507	5,001
	SORTING	2,092	2,064	1,995	2,035	2,043	2,017	2,025
Logarithmic (φ)	SKEWNESS	0,087	0,325	0,377	0,452	0,563	0,421	0,639
	KURTOSIS	3,186	2,743	2,788	2,582	2,693	2,700	3,004
FOLK AND WARD METHOD (µm)	MEAN	21,37	23,13	21,14	23,25	27,67	22,27	31,86
	SORTING	4,062	4,169	3,959	4,157	4,166	4,067	4,002
	SKEWNESS	-0,198	-0,206	-0,232	-0,228	-0,275	-0,239	-0,333
	KURTOSIS	0,936	0,908	0,915	0,896	0,926	0,905	0,975
FOLK AND WARD METHOD (φ)	MEAN	5,548	5,434	5,564	5,426	5,176	5,489	4,972
	SORTING	2,022	2,060	1,985	2,055	2,059	2,024	2,001
	SKEWNESS	0,198	0,206	0,232	0,228	0,275	0,239	0,333
	KURTOSIS	0,936	0,908	0,915	0,896	0,926	0,905	0,975
FOLK AND WARD METHOD (Description)	MEAN:	Coarse Silt	Coarse Silt	Coarse Silt	Coarse Silt	Coarse Silt	Coarse Silt	Very Coarse Silt
	SORTING:	Very Poorly Sorted	Very Poorly Sorted	Poorly Sorted	Very Poorly Sorted	Very Poorly Sorted	Very Poorly Sorted	Very Poorly Sorted
	SKEWNESS:	Fine Skewed	Fine Skewed	Fine Skewed	Fine Skewed	Fine Skewed	Fine Skewed	Very Fine Skewed
	KURTOSIS:	Mesokurtic	Mesokurtic	Mesokurtic	Platykurtic	Mesokurtic	Mesokurtic	Mesokurtic
	MODE 1 (µm):	42,76	56,37	49,10	56,37	64,72	56,37	74,31
	MODE 2 (µm):							
	MODE 3 (µm):							
	MODE 1 (φ):	4,551	4,152	4,352	4,152	3,953	4,152	3,754
	MODE 2 (φ):							
	MODE 3 (φ):							
	D ₁₀ (µm):	2,887	2,980	2,855	2,943	3,335	2,868	3,814
	D ₂₀ (µm):	25,70	27,94	25,97	28,65	35,71	27,65	42,80
	D ₃₀ (µm):	107,8	119,4	119,4	117,8	134,8	108,9	139,7
	(D ₃₀ / D ₁₀) (µm):	37,33	40,07	35,29	40,01	40,42	37,98	36,64
	(D ₃₀ - D ₁₀) (µm):	104,9	116,4	97,93	114,8	131,4	106,0	135,9
	(D ₇₅ / D ₂₅) (µm):	7,225	7,826	7,170	7,920	7,567	7,529	6,641
	(D ₇₅ - D ₂₅) (µm):	50,94	58,23	50,36	59,04	68,58	54,98	73,49
	D ₁₀ (φ):	3,214	3,066	3,311	3,086	2,891	3,199	2,839
	D ₂₀ (φ):	5,282	5,162	5,267	5,125	4,808	5,177	4,546
	D ₃₀ (φ):	8,436	8,390	8,452	8,408	8,228	8,446	8,034
	(D ₃₀ / D ₁₀) (φ):	2,625	2,737	2,553	2,725	2,846	2,640	2,830
	(D ₃₀ - D ₁₀) (φ):	5,222	5,324	5,141	5,322	5,337	5,247	5,195
	(D ₇₅ / D ₂₅) (φ):	1,699	1,760	1,694	1,768	1,797	1,732	1,774
	(D ₇₅ - D ₂₅) (φ):	2,853	2,968	2,842	2,986	2,920	2,912	2,731
	% GRAVEL:	0,0%	0,0%	0,0%	0,0%	0,0%	0,0%	0,0%
	% SAND:	23,3%	27,0%	22,9%	27,4%	32,8%	25,5%	37,2%
	% MUD:	76,6%	73,0%	77,1%	72,6%	67,2%	74,5%	62,8%
	% V COARSE GRAVEL:	0,0%	0,0%	0,0%	0,0%	0,0%	0,0%	0,0%
	% COARSE GRAVEL:	0,0%	0,0%	0,0%	0,0%	0,0%	0,0%	0,0%
	% MEDIUM GRAVEL:	0,0%	0,0%	0,0%	0,0%	0,0%	0,0%	0,0%
	% FINE GRAVEL:	0,0%	0,0%	0,0%	0,0%	0,0%	0,0%	0,0%
	% V FINE GRAVEL:	0,0%	0,0%	0,0%	0,0%	0,0%	0,0%	0,0%
	% V COARSE SAND:	1,5%	0,4%	0,2%	0,0%	0,0%	0,2%	0,3%
	% COARSE SAND:	0,6%	0,6%	0,6%	0,4%	0,3%	0,5%	0,8%
	% MEDIUM SAND:	0,5%	1,1%	0,8%	1,2%	1,9%	0,7%	1,4%
	% FINE SAND:	5,0%	7,1%	4,6%	7,3%	9,5%	6,0%	10,5%
	% V FINE SAND:	15,8%	17,8%	16,8%	18,6%	21,1%	18,2%	24,3%
	% V COARSE SILT:	21,1%	20,1%	21,9%	20,3%	20,6%	21,2%	21,3%
	% COARSE SILT:	17,7%	16,3%	17,5%	15,9%	14,7%	16,7%	13,6%
	% MEDIUM SILT:	13,6%	13,1%	13,5%	12,8%	11,3%	12,9%	10,0%
	% FINE SILT:	10,5%	10,3%	10,5%	10,2%	8,9%	10,1%	7,6%
	% V FINE SILT:	7,5%	7,3%	7,5%	7,3%	6,4%	7,4%	5,5%
	% CLAY:	6,1%	5,9%	6,3%	6,0%	5,3%	6,2%	4,7%

		27-1 08-09	27-1 09-10	27-1 10-11	27-1 11-12	27-1 12-13	27-1 13-14	27-1 14-15
ANALYST AND DATE:								
SIEVING ERROR:								
SAMPLE TYPE:		Unimodal, Very Poorly Sorted	Unimodal, Very Poorly Sorted	Unimodal, Very Poorly Sorted	Unimodal, Poorly Sorted	Unimodal, Very Poorly Sorted	Unimodal, Very Poorly Sorted	Unimodal, Poorly Sorted
TEXTURAL GROUP:		Sandy Mud	Sandy Mud	Sandy Mud	Sandy Mud	Slightly Gravelly Sandy Mud	Slightly Gravelly Sandy Mud	Sandy Mud
SEDIMENT NAME:		Very Fine Sandy Very Coarse Silt	Very Fine Sandy Very Coarse Silt	Very Fine Sandy Very Coarse Silt	Very Fine Sandy Very Coarse Silt	Fine Gravelly Very Fine Sandy Vel	Fine Gravelly Very Fine Sandy Vel	Very Fine Sandy Very Coarse Silt
METHOD OF MOMENTS Arithmetic (µm)	MEAN	52,81	58,49	67,96	53,25	65,29	78,97	64,94
	SORTING	86,46	70,68	105,7	57,27	105,2	145,4	63,13
	SKEWNESS	6,127	3,884	5,938	2,371	8,129	6,528	1,704
	KURTOSIS	58,50	31,49	53,94	12,86	101,7	58,56	7,324
METHOD OF MOMENTS Geometric (µm)	MEAN	22,59	28,09	30,21	27,28	29,95	32,57	34,26
	SORTING	4,209	4,102	4,240	3,866	4,172	4,387	3,911
	SKEWNESS	-0,369	-0,625	-0,552	-0,691	-0,623	-0,501	-0,859
	KURTOSIS	2,574	2,713	2,805	2,887	2,877	2,894	3,114
METHOD OF MOMENTS Logarithmic (φ)	MEAN	5,468	5,154	5,049	5,196	5,061	4,940	4,868
	SORTING	2,074	2,036	2,084	1,951	2,061	2,133	1,967
	SKEWNESS	0,369	0,625	0,552	0,691	0,623	0,501	0,859
	KURTOSIS	2,574	2,713	2,805	2,887	2,877	2,894	3,114
FOLK AND WARD METHOD (µm)	MEAN	22,85	28,86	30,79	28,15	30,54	32,85	35,52
	SORTING	4,237	4,126	4,204	3,901	4,145	4,301	3,901
	SKEWNESS	-0,215	-0,317	-0,304	-0,295	-0,336	-0,306	-0,367
	KURTOSIS	0,879	0,908	0,923	0,973	0,938	0,943	1,013
FOLK AND WARD METHOD (φ)	MEAN	5,452	5,115	5,022	5,151	5,033	4,928	4,815
	SORTING	2,083	2,045	2,072	1,964	2,052	2,105	1,964
	SKEWNESS	0,215	0,317	0,304	0,295	0,336	0,306	0,367
	KURTOSIS	0,879	0,908	0,923	0,973	0,938	0,943	1,013
FOLK AND WARD METHOD (Description)	MEAN:	Coarse Silt	Coarse Silt	Coarse Silt	Coarse Silt	Coarse Silt	Very Coarse Silt	Very Coarse Silt
	SORTING:	Very Poorly Sorted	Very Poorly Sorted	Very Poorly Sorted	Poorly Sorted	Very Poorly Sorted	Very Poorly Sorted	Poorly Sorted
	SKEWNESS:	Fine Skewed	Very Fine Skewed	Very Fine Skewed	Fine Skewed	Very Fine Skewed	Very Fine Skewed	Very Fine Skewed
	KURTOSIS:	Platykurtic	Mesokurtic	Mesokurtic	Mesokurtic	Mesokurtic	Mesokurtic	Mesokurtic
MODE 1 (µm):	64,72	74,31	85,32	64,72	74,31	85,32	85,32	
MODE 2 (µm):								
MODE 3 (µm):								
MODE 1 (φ):	3,953	3,754	3,554	3,953	3,754	3,554	3,554	
MODE 2 (φ):								
MODE 3 (φ):								
D ₁₀ (µm):	2,863	3,402	3,560	3,596	3,481	3,672	4,217	
D ₂₀ (µm):	27,98	38,72	40,89	36,09	41,71	44,10	48,50	
D ₃₀ (µm):	119,4	134,2	147,2	124,2	140,2	160,0	147,5	
(D ₃₀ / D ₁₀) (µm):	41,69	39,44	41,36	34,54	40,28	43,57	34,98	
(D ₃₀ - D ₁₀) (µm):	116,5	130,8	143,7	120,6	136,8	156,3	143,3	
(D ₇₅ / D ₂₅) (µm):	8,397	7,672	7,715	6,421	7,321	7,723	6,060	
(D ₇₅ - D ₂₅) (µm):	60,03	71,95	77,40	63,63	74,71	82,76	78,38	
D ₁₀ (φ):	3,067	2,898	2,764	3,009	2,834	2,644	2,761	
D ₂₀ (φ):	5,160	4,691	4,612	4,792	4,584	4,503	4,366	
D ₃₀ (φ):	8,448	8,199	8,134	8,119	8,166	8,089	7,889	
(D ₃₀ / D ₁₀) (φ):	2,755	2,829	2,943	2,698	2,881	3,060	2,858	
(D ₃₀ - D ₁₀) (φ):	5,382	5,302	5,370	5,110	5,332	5,445	5,129	
(D ₇₅ / D ₂₅) (φ):	1,792	1,818	1,844	1,719	1,813	1,869	1,762	
(D ₇₅ - D ₂₅) (φ):	3,070	2,940	2,948	2,683	2,872	2,949	2,599	
% GRAVEL:	0,0%	0,0%	0,0%	0,0%	0,0%	0,0%	0,0%	
% SAND:	27,6%	35,0%	37,2%	31,6%	36,9%	39,4%	41,0%	
% MUD:	72,4%	65,0%	62,8%	68,4%	63,1%	60,5%	59,0%	
% V COARSE GRAVEL:	0,0%	0,0%	0,0%	0,0%	0,0%	0,0%	0,0%	
% COARSE GRAVEL:	0,0%	0,0%	0,0%	0,0%	0,0%	0,0%	0,0%	
% MEDIUM GRAVEL:	0,0%	0,0%	0,0%	0,0%	0,0%	0,0%	0,0%	
% FINE GRAVEL:	0,0%	0,0%	0,0%	0,0%	0,0%	0,0%	0,0%	
% V FINE GRAVEL:	0,0%	0,0%	0,0%	0,0%	0,0%	0,0%	0,0%	
% V COARSE SAND:	0,1%	0,0%	0,3%	0,0%	0,3%	0,7%	0,0%	
% COARSE SAND:	0,6%	0,4%	0,8%	0,1%	0,4%	1,0%	0,0%	
% MEDIUM SAND:	1,1%	1,3%	1,6%	1,1%	1,3%	2,1%	1,7%	
% FINE SAND:	7,2%	10,2%	11,5%	8,7%	10,9%	12,4%	13,0%	
% V FINE SAND:	18,5%	23,2%	23,1%	21,7%	23,9%	23,2%	26,3%	
% V COARSE SILT:	19,6%	20,3%	19,4%	22,6%	20,6%	19,0%	21,2%	
% COARSE SILT:	15,4%	13,6%	13,4%	15,9%	13,2%	12,9%	12,7%	
% MEDIUM SILT:	13,0%	10,9%	10,7%	11,0%	10,1%	10,1%	9,0%	
% FINE SILT:	10,5%	8,7%	8,3%	8,1%	8,1%	8,0%	6,8%	
% V FINE SILT:	7,6%	6,3%	6,0%	5,8%	6,0%	5,8%	5,0%	
% CLAY:	6,2%	5,2%	5,0%	5,0%	5,1%	4,8%	4,3%	

		27-1 15-16	27-1 16-17	27-1 17-18	27-1 18-19	27-1 19-20	27-1 20-21	27-1 21-22
ANALYST AND DATE:								
SIEVING ERROR:								
SAMPLE TYPE:		Unimodal, Very Poorly Sorted	Unimodal, Poorly Sorted	Unimodal, Very Poorly Sorted	Unimodal, Very Poorly Sorted	Unimodal, Very Poorly Sorted	Unimodal, Very Poorly Sorted	Unimodal, Very Poorly Sorted
TEXTURAL GROUP:		Slightly Gravelly Sandy Mud	Sandy Mud	Sandy Mud	Sandy Mud	Sandy Mud	Sandy Mud	Sandy Mud
SEDIMENT NAME:		Fine Gravelly Very Fine Sandy Vel	Very Fine Sandy Very Coarse Silt	Very Fine Sandy Very Coarse Silt	Very Fine Sandy Very Coarse Silt	Very Fine Sandy Very Coarse Silt	Very Fine Sandy Very Coarse Silt	Very Fine Sandy Very Coarse Silt
METHOD OF MOMENTS Arithmetic (µm)	MEAN	70,31	55,50	68,70	48,29	64,80	51,77	59,61
	SORTING	165,1	58,59	85,81	60,50	105,5	59,48	81,38
	SKEWNESS	7,717	2,101	3,128	3,306	5,828	2,481	3,836
	KURTOSIS	70,34	9,880	17,87	22,06	52,30	13,23	26,38
METHOD OF MOMENTS Geometric (µm)	MEAN	27,19	28,16	31,41	22,58	27,64	24,60	25,99
	SORTING	4,335	3,947	4,278	4,046	4,299	4,107	4,336
	SKEWNESS	-0,386	-0,708	-0,594	-0,470	-0,458	-0,554	-0,470
	KURTOSIS	2,939	2,846	2,722	2,571	2,716	2,570	2,566
METHOD OF MOMENTS Logarithmic (φ)	MEAN	5,201	5,150	4,993	5,469	5,177	5,345	5,266
	SORTING	2,116	1,981	2,097	2,016	2,104	2,038	2,117
	SKEWNESS	0,386	0,708	0,594	0,470	0,458	0,554	0,470
	KURTOSIS	2,939	2,846	2,722	2,571	2,716	2,570	2,566
FOLK AND WARD METHOD (µm)	MEAN	27,28	28,99	32,08	23,08	27,97	25,20	26,43
	SORTING	4,245	3,982	4,310	4,133	4,290	4,191	4,407
	SKEWNESS	-0,279	-0,321	-0,299	-0,216	-0,263	-0,271	-0,246
	KURTOSIS	0,922	0,957	0,931	0,906	0,916	0,895	0,900
FOLK AND WARD METHOD (φ)	MEAN	5,196	5,108	4,962	5,437	5,160	5,310	5,241
	SORTING	2,086	1,993	2,108	2,047	2,101	2,067	2,140
	SKEWNESS	0,279	0,321	0,299	0,216	0,263	0,271	0,246
	KURTOSIS	0,922	0,957	0,931	0,906	0,916	0,895	0,900
FOLK AND WARD METHOD (Description)	MEAN:	Coarse Silt	Coarse Silt	Very Coarse Silt	Coarse Silt	Coarse Silt	Coarse Silt	Coarse Silt
	SORTING:	Very Poorly Sorted	Poorly Sorted	Very Poorly Sorted	Very Poorly Sorted	Very Poorly Sorted	Very Poorly Sorted	Very Poorly Sorted
	SKEWNESS:	Fine Skewed	Very Fine Skewed	Fine Skewed	Fine Skewed	Fine Skewed	Fine Skewed	Fine Skewed
	KURTOSIS:	Mesokurtic	Mesokurtic	Mesokurtic	Mesokurtic	Mesokurtic	Platykurtic	Mesokurtic
MODE 1 (µm):	64,72	64,72	85,32	56,37	74,31	64,72	74,31	
MODE 2 (µm):								
MODE 3 (µm):								
MODE 1 (φ):	3,953	3,953	3,554	4,152	3,754	3,953	3,754	
MODE 2 (φ):								
MODE 3 (φ):								
D ₁₀ (µm):	3,186	3,533	3,606	2,944	3,289	3,026	3,025	
D ₂₀ (µm):	35,53	38,49	42,76	27,92	36,04	32,48	33,61	
D ₃₀ (µm):	135,6	128,8	158,2	117,1	141,7	124,4	140,8	
(D ₃₀ / D ₁₀) (µm):	42,56	36,44	43,87	39,78	43,08	41,12	46,55	
(D ₃₀ - D ₁₀) (µm):	132,4	125,2	154,6	114,2	138,4	121,4	137,8	
(D ₇₅ / D ₂₅) (µm):	7,789	6,741	7,886	7,706	8,053	7,995	8,565	
(D ₇₅ - D ₂₅) (µm):	68,93	67,46	81,71	58,05	71,78	64,46	70,52	
D ₁₀ (φ):	2,883	2,957	2,660	3,094	2,819	3,007	2,828	
D ₂₀ (φ):	4,815	4,699	4,547	5,162	4,794	4,944	4,895	
D ₃₀ (φ):	8,294	8,145	8,115	8,408	8,248	8,368	8,369	
(D ₃₀ / D ₁₀) (φ):	2,877	2,754	3,051	2,718	2,926	2,783	2,959	
(D ₃₀ - D ₁₀) (φ):	5,411	5,187	5,455	5,314	5,429	5,362	5,541	
(D ₇₅ / D ₂₅) (φ):	1,809	1,753	1,872	1,754	1,834	1,797	1,850	
(D ₇₅ - D ₂₅) (φ):	2,961	2,753	2,979	2,946	3,009	2,999	3,098	
% GRAVEL:	0,0%	0,0%	0,0%	0,0%	0,0%	0,0%	0,0%	
% SAND:	32,7%	33,7%	38,7%	27,0%	33,8%	30,4%	32,6%	
% MUD:	67,2%	66,3%	61,3%	73,0%	66,2%	69,6%	67,4%	
% V COARSE GRAVEL:	0,0%	0,0%	0,0%	0,0%	0,0%	0,0%	0,0%	
% COARSE GRAVEL:	0,0%	0,0%	0,0%	0,0%	0,0%	0,0%	0,0%	
% MEDIUM GRAVEL:	0,0%	0,0%	0,0%	0,0%	0,0%	0,0%	0,0%	
% FINE GRAVEL:	0,0%	0,0%	0,0%	0,0%	0,0%	0,0%	0,0%	
% V FINE GRAVEL:	0,0%	0,0%	0,0%	0,0%	0,0%	0,0%	0,0%	
% V COARSE SAND:	1,1%	0,0%	0,0%	0,0%	0,2%	0,0%	0,0%	
% COARSE SAND:	0,1%	0,0%	0,7%	0,2%	0,9%	0,1%	0,6%	
% MEDIUM SAND:	1,1%	1,3%	2,8%	1,0%	1,9%	1,2%	2,1%	
% FINE SAND:	9,5%	9,4%	12,4%	7,4%	9,8%	8,6%	9,9%	
% V FINE SAND:	20,9%	23,0%	22,8%	18,3%	21,1%	20,5%	20,0%	
% V COARSE SILT:	20,6%	22,1%	18,9%	20,1%	19,7%	20,6%	19,2%	
% COARSE SILT:	14,5%	14,6%	13,0%	16,6%	14,2%	14,9%	14,4%	
% MEDIUM SILT:	11,1%	10,5%	10,4%	13,1%	11,4%	11,7%	11,7%	
% FINE SILT:	8,9%	8,1%	8,2%	10,0%	9,0%	9,5%	9,4%	
% V FINE SILT:	6,6%	5,9%	5,9%	7,2%	6,5%	7,0%	6,9%	
% CLAY:	5,6%	5,1%	4,9%	6,1%	5,4%	5,9%	5,9%	

		27-1 22-23	27-1 23-24	27-1 24-25	27-1 25-26	27-1 26 27	27-1 27 28	27-1 28-29
ANALYST AND DATE:								
SIEVING ERROR:								
SAMPLE TYPE:		Unimodal, Very Poorly Sorted	Unimodal, Very Poorly Sorted	Unimodal, Very Poorly Sorted	Unimodal, Very Poorly Sorted	Unimodal, Very Poorly Sorted	Unimodal, Very Poorly Sorted	Unimodal, Very Poorly Sorted
TEXTURAL GROUP:		Sandy Mud	Sandy Mud	Sandy Mud	Sandy Mud	Sandy Mud	Sandy Mud	Sandy Mud
SEDIMENT NAME:		Very Fine Sandy Very Coarse Silt	Very Fine Sandy Very Coarse Silt	Very Fine Sandy Very Coarse Silt	Very Fine Sandy Very Coarse Silt	Very Fine Sandy Very Coarse Silt	Very Fine Sandy Very Coarse Silt	Very Fine Sandy Very Coarse Silt
METHOD OF MOMENTS Arithmetic (µm)	MEAN	55,69	58,97	61,05	53,60	52,04	58,45	72,88
	SORTING	62,98	74,18	79,52	61,72	61,36	71,01	77,79
	SKEWNESS	2,020	3,174	4,301	2,272	2,241	2,743	1,586
	KURTOSIS	8,626	19,79	36,04	10,58	10,16	14,75	5,812
METHOD OF MOMENTS Geometric (µm)	MEAN	25,69	26,41	28,05	25,00	23,54	26,91	33,35
	SORTING	4,267	4,313	4,218	4,191	4,272	4,204	4,458
	SKEWNESS	-0,547	-0,516	-0,568	-0,541	-0,480	-0,539	-0,642
	KURTOSIS	2,506	2,553	2,684	2,532	2,437	2,625	2,585
METHOD OF MOMENTS Logarithmic (φ)	MEAN	5,283	5,243	5,156	5,322	5,409	5,216	4,906
	SORTING	2,093	2,109	2,077	2,067	2,095	2,072	2,156
	SKEWNESS	0,547	0,516	0,568	0,541	0,480	0,539	0,642
	KURTOSIS	2,506	2,553	2,684	2,532	2,437	2,625	2,585
FOLK AND WARD METHOD (µm)	MEAN	26,36	26,99	28,72	25,59	24,07	27,53	34,57
	SORTING	4,376	4,394	4,263	4,282	4,392	4,289	4,554
	SKEWNESS	-0,268	-0,263	-0,283	-0,270	-0,239	-0,257	-0,311
	KURTOSIS	0,881	0,893	0,916	0,888	0,869	0,921	0,882
FOLK AND WARD METHOD (φ)	MEAN	5,246	5,211	5,122	5,289	5,376	5,183	4,854
	SORTING	2,130	2,136	2,092	2,098	2,135	2,101	2,187
	SKEWNESS	0,268	0,263	0,283	0,270	0,239	0,257	0,311
	KURTOSIS	0,881	0,893	0,916	0,888	0,869	0,921	0,882
FOLK AND WARD METHOD (Description)	MEAN:	Coarse Silt	Coarse Silt	Coarse Silt	Coarse Silt	Coarse Silt	Coarse Silt	Very Coarse Silt
	SORTING:	Very Poorly Sorted	Very Poorly Sorted	Very Poorly Sorted	Very Poorly Sorted	Very Poorly Sorted	Very Poorly Sorted	Very Poorly Sorted
	SKEWNESS:	Fine Skewed	Fine Skewed	Fine Skewed	Fine Skewed	Fine Skewed	Fine Skewed	Very Fine Skewed
	KURTOSIS:	Platykurtic	Platykurtic	Mesokurtic	Platykurtic	Platykurtic	Mesokurtic	Platykurtic
MODE 1 (µm):	74,31	74,31	74,31	64,72	64,72	64,72	97,96	
MODE 2 (µm):								
MODE 3 (µm):								
MODE 1 (φ):	3,754	3,754	3,754	3,953	3,953	3,953	3,355	
MODE 2 (φ):								
MODE 3 (φ):								
D ₁₀ (µm):	2,983	3,055	3,316	2,993	2,802	3,230	3,539	
D ₂₀ (µm):	34,13	34,87	37,45	33,18	30,39	35,10	46,95	
D ₃₀ (µm):	137,1	141,3	142,3	129,8	129,4	140,9	180,3	
(D ₃₀ / D ₁₀) (µm):	45,96	46,25	42,91	43,36	46,17	43,61	50,95	
(D ₃₀ - D ₁₀) (µm):	134,1	138,2	139,0	126,8	126,6	137,6	176,8	
(D ₇₅ / D ₂₅) (µm):	8,713	8,622	7,938	8,368	8,979	7,946	9,225	
(D ₇₅ - D ₂₅) (µm):	71,16	72,31	73,49	67,14	65,91	70,30	96,97	
D ₁₀ (φ):	2,866	2,823	2,813	2,946	2,951	2,828	2,471	
D ₂₀ (φ):	4,873	4,842	4,739	4,913	5,040	4,832	4,413	
D ₃₀ (φ):	8,389	8,355	8,236	8,384	8,479	8,274	8,142	
(D ₃₀ / D ₁₀) (φ):	2,927	2,959	2,928	2,846	2,874	2,926	3,295	
(D ₃₀ - D ₁₀) (φ):	5,522	5,531	5,423	5,438	5,529	5,447	5,671	
(D ₇₅ / D ₂₅) (φ):	1,859	1,861	1,837	1,825	1,844	1,822	2,001	
(D ₇₅ - D ₂₅) (φ):	3,123	3,108	2,989	3,065	3,166	2,990	3,206	
% GRAVEL:	0,0%	0,0%	0,0%	0,0%	0,0%	0,0%	0,0%	
% SAND:	33,0%	33,5%	34,8%	31,5%	30,2%	33,0%	42,6%	
% MUD:	67,0%	66,5%	65,2%	68,5%	69,8%	67,0%	57,4%	
% V COARSE GRAVEL:	0,0%	0,0%	0,0%	0,0%	0,0%	0,0%	0,0%	
% COARSE GRAVEL:	0,0%	0,0%	0,0%	0,0%	0,0%	0,0%	0,0%	
% MEDIUM GRAVEL:	0,0%	0,0%	0,0%	0,0%	0,0%	0,0%	0,0%	
% FINE GRAVEL:	0,0%	0,0%	0,0%	0,0%	0,0%	0,0%	0,0%	
% V FINE GRAVEL:	0,0%	0,0%	0,0%	0,0%	0,0%	0,0%	0,0%	
% V COARSE SAND:	0,0%	0,0%	0,0%	0,0%	0,0%	0,0%	0,0%	
% COARSE SAND:	0,0%	0,4%	0,5%	0,0%	0,0%	0,2%	0,0%	
% MEDIUM SAND:	1,7%	2,1%	1,8%	1,6%	1,6%	2,2%	3,9%	
% FINE SAND:	10,5%	10,4%	10,8%	9,2%	9,1%	10,2%	16,6%	
% V FINE SAND:	20,8%	20,7%	21,7%	20,7%	19,5%	20,4%	22,1%	
% V COARSE SILT:	19,1%	19,1%	19,7%	20,0%	19,1%	19,9%	16,1%	
% COARSE SILT:	14,0%	14,0%	14,0%	14,3%	14,5%	14,6%	12,0%	
% MEDIUM SILT:	11,4%	11,4%	11,0%	11,6%	12,1%	11,4%	10,1%	
% FINE SILT:	9,4%	9,3%	8,7%	9,5%	10,1%	9,0%	8,2%	
% V FINE SILT:	7,0%	6,9%	6,3%	7,1%	7,6%	6,5%	6,0%	
% CLAY:	6,0%	5,9%	5,4%	5,9%	6,4%	5,5%	5,0%	

		27-1 29-30	27-1 30-31	27-1 31-32	27-1 32-33	27-1 33-34	27-1 34-35	27-1 35-36
ANALYST AND DATE:								
SIEVING ERROR:								
SAMPLE TYPE:		Unimodal, Very Poorly Sorted	Unimodal, Very Poorly Sorted	Unimodal, Very Poorly Sorted	Unimodal, Very Poorly Sorted	Unimodal, Very Poorly Sorted	Unimodal, Very Poorly Sorted	Unimodal, Very Poorly Sorted
TEXTURAL GROUP:		Sandy Mud	Sandy Mud	Sandy Mud	Sandy Mud	Sandy Mud	Sandy Mud	Sandy Mud
SEDIMENT NAME:		Very Fine Sandy Very Coarse Silt	Very Fine Sandy Very Coarse Silt	Very Fine Sandy Very Coarse Silt	Very Fine Sandy Very Coarse Silt	Very Fine Sandy Very Coarse Silt	Very Fine Sandy Very Coarse Silt	Very Fine Sandy Very Coarse Silt
METHOD OF MOMENTS Arithmetic (µm)	MEAN	59,46	58,09	60,00	54,12	60,98	71,30	75,29
	SORTING	69,53	64,15	88,36	61,18	69,16	77,50	83,60
	SKEWNESS	2,247	2,341	6,004	2,337	1,988	1,665	1,724
	KURTOSIS	10,32	11,56	56,80	11,83	8,166	6,216	6,530
METHOD OF MOMENTS Geometric (µm)	MEAN	26,79	28,83	28,27	25,66	27,78	32,12	32,84
	SORTING	4,355	4,002	4,042	4,172	4,352	4,510	4,664
	SKEWNESS	-0,536	-0,676	-0,605	-0,596	-0,570	-0,620	-0,604
	KURTOSIS	2,506	2,845	2,901	2,611	2,540	2,545	2,498
METHOD OF MOMENTS Logarithmic (φ)	MEAN	5,222	5,116	5,145	5,285	5,170	4,960	4,928
	SORTING	2,123	2,001	2,015	2,061	2,122	2,173	2,221
	SKEWNESS	0,536	0,676	0,605	0,596	0,570	0,620	0,604
	KURTOSIS	2,506	2,845	2,901	2,611	2,540	2,545	2,498
FOLK AND WARD METHOD (µm)	MEAN	27,46	29,65	28,84	26,28	28,50	33,24	33,89
	SORTING	4,464	4,043	4,009	4,258	4,467	4,614	4,792
	SKEWNESS	-0,268	-0,301	-0,313	-0,292	-0,279	-0,306	-0,305
	KURTOSIS	0,883	0,968	0,951	0,909	0,894	0,879	0,872
FOLK AND WARD METHOD (φ)	MEAN	5,187	5,076	5,116	5,250	5,133	4,911	4,883
	SORTING	2,158	2,015	2,003	2,090	2,159	2,206	2,261
	SKEWNESS	0,268	0,301	0,313	0,292	0,279	0,306	0,305
	KURTOSIS	0,883	0,968	0,951	0,909	0,894	0,879	0,872
FOLK AND WARD METHOD (Description)	MEAN:	Coarse Silt	Coarse Silt	Coarse Silt	Coarse Silt	Coarse Silt	Very Coarse Silt	Very Coarse Silt
	SORTING:	Very Poorly Sorted	Very Poorly Sorted	Very Poorly Sorted	Very Poorly Sorted	Very Poorly Sorted	Very Poorly Sorted	Very Poorly Sorted
	SKEWNESS:	Fine Skewed	Very Fine Skewed	Very Fine Skewed	Fine Skewed	Fine Skewed	Very Fine Skewed	Very Fine Skewed
	KURTOSIS:	Platykurtic	Mesokurtic	Mesokurtic	Mesokurtic	Platykurtic	Platykurtic	Platykurtic
MODE 1 (µm):	74,31	64,72	64,72	64,72	74,31	97,96	97,96	
MODE 2 (µm):								
MODE 3 (µm):								
MODE 1 (φ):	3,754	3,953	3,953	3,953	3,754	3,355	3,355	
MODE 2 (φ):								
MODE 3 (φ):								
D ₁₀ (µm):	3,032	3,589	3,521	3,010	3,094	3,346	3,225	
D ₂₀ (µm):	35,78	38,71	38,10	34,70	37,53	45,15	46,47	
D ₃₀ (µm):	146,4	135,8	129,7	129,8	150,8	177,1	189,1	
(D ₃₀ / D ₁₀) (µm):	48,29	37,82	36,84	43,14	48,74	52,93	58,63	
(D ₃₀ - D ₁₀) (µm):	143,4	132,2	126,2	126,8	147,7	173,7	185,9	
(D ₇₅ / D ₂₅) (µm):	8,970	6,788	6,888	7,977	8,776	9,459	10,09	
(D ₇₅ - D ₂₅) (µm):	75,21	69,33	67,88	67,51	77,39	94,61	100,4	
D ₁₀ (φ):	2,772	2,881	2,946	2,945	2,730	2,498	2,403	
D ₂₀ (φ):	4,805	4,691	4,714	4,849	4,736	4,469	4,427	
D ₃₀ (φ):	8,365	8,122	8,150	8,376	8,337	8,223	8,276	
(D ₃₀ / D ₁₀) (φ):	3,018	2,819	2,766	2,844	3,054	3,293	3,444	
(D ₃₀ - D ₁₀) (φ):	5,594	5,241	5,203	5,431	5,607	5,726	5,874	
(D ₇₅ / D ₂₅) (φ):	1,888	1,763	1,762	1,811	1,891	2,000	2,053	
(D ₇₅ - D ₂₅) (φ):	3,165	2,763	2,784	2,996	3,134	3,242	3,334	
% GRAVEL:	0,0%	0,0%	0,0%	0,0%	0,0%	0,0%	0,0%	
% SAND:	34,6%	34,3%	33,7%	32,1%	35,7%	41,6%	42,7%	
% MUD:	65,4%	65,7%	66,3%	67,9%	64,3%	58,4%	57,3%	
% V COARSE GRAVEL:	0,0%	0,0%	0,0%	0,0%	0,0%	0,0%	0,0%	
% COARSE GRAVEL:	0,0%	0,0%	0,0%	0,0%	0,0%	0,0%	0,0%	
% MEDIUM GRAVEL:	0,0%	0,0%	0,0%	0,0%	0,0%	0,0%	0,0%	
% FINE GRAVEL:	0,0%	0,0%	0,0%	0,0%	0,0%	0,0%	0,0%	
% V FINE GRAVEL:	0,0%	0,0%	0,0%	0,0%	0,0%	0,0%	0,0%	
% V COARSE SAND:	0,0%	0,0%	0,1%	0,0%	0,0%	0,0%	0,0%	
% COARSE SAND:	0,1%	0,1%	0,7%	0,1%	0,0%	0,0%	0,1%	
% MEDIUM SAND:	2,3%	1,8%	1,0%	1,4%	2,5%	3,8%	4,7%	
% FINE SAND:	11,2%	10,1%	9,0%	9,4%	11,9%	15,8%	16,6%	
% V FINE SAND:	20,9%	22,3%	22,8%	21,2%	21,2%	22,0%	21,3%	
% V COARSE SILT:	18,6%	21,7%	21,7%	20,6%	18,7%	16,2%	15,5%	
% COARSE SILT:	13,5%	14,7%	14,6%	14,4%	13,4%	12,1%	11,7%	
% MEDIUM SILT:	11,2%	10,5%	10,7%	11,1%	10,9%	10,2%	10,0%	
% FINE SILT:	9,3%	8,0%	8,3%	9,0%	8,9%	8,3%	8,2%	
% V FINE SILT:	6,9%	5,8%	5,9%	6,8%	6,7%	6,2%	6,4%	
% CLAY:	5,9%	5,0%	5,1%	6,0%	5,8%	5,4%	5,6%	

		27-1 36-37	27-1 37-38	27-1 38-39	27-1 39-40	27-1 40-41	27-1 41-42	27-1 42-43
ANALYST AND DATE:								
SIEVING ERROR:								
SAMPLE TYPE:		Unimodal, Very Poorly Sorted	Unimodal, Very Poorly Sorted	Unimodal, Very Poorly Sorted	Unimodal, Very Poorly Sorted	Unimodal, Very Poorly Sorted	Unimodal, Very Poorly Sorted	Unimodal, Very Poorly Sorted
TEXTURAL GROUP:		Sandy Mud	Sandy Mud	Sandy Mud	Sandy Mud	Slightly Gravelly Sandy Mud	Sandy Mud	Sandy Mud
SEDIMENT NAME:		Very Fine Sandy Very Coarse Silt	Very Fine Sandy Very Coarse Silt	Very Fine Sandy Very Coarse Silt	Very Fine Sandy Very Coarse Silt	Fine Gravelly Very Fine Sandy Ve	Very Fine Sandy Very Coarse Silt	Very Fine Sandy Very Coarse Silt
METHOD OF MOMENTS Arithmetic (µm)	MEAN	71,95	74,52	57,95	66,58	83,59	71,85	77,16
	SORTING	79,22	80,47	69,37	86,82	149,2	100,3	76,95
	SKEWNESS	1,631	1,584	2,068	2,158	6,018	2,933	1,519
	KURTOSIS	5,979	5,731	8,299	8,447	55,01	15,19	5,875
METHOD OF MOMENTS Geometric (µm)	MEAN	31,42	33,32	25,47	25,78	29,04	27,50	37,48
	SORTING	4,638	4,565	4,370	4,812	5,104	4,842	4,330
	SKEWNESS	-0,577	-0,624	-0,458	-0,330	-0,304	-0,352	-0,795
	KURTOSIS	2,435	2,532	2,448	2,269	2,358	2,342	2,834
METHOD OF MOMENTS Logarithmic (φ)	MEAN	4,992	4,907	5,295	5,278	5,106	5,184	4,738
	SORTING	2,213	2,191	2,128	2,267	2,352	2,276	2,114
	SKEWNESS	0,577	0,624	0,458	0,330	0,304	0,352	0,795
	KURTOSIS	2,435	2,532	2,448	2,269	2,358	2,342	2,834
FOLK AND WARD METHOD (µm)	MEAN	32,49	34,52	26,13	26,36	29,36	27,91	38,90
	SORTING	4,764	4,672	4,524	5,047	5,244	5,020	4,360
	SKEWNESS	-0,298	-0,309	-0,205	-0,144	-0,170	-0,179	-0,388
	KURTOSIS	0,850	0,871	0,884	0,847	0,838	0,863	0,933
FOLK AND WARD METHOD (φ)	MEAN	4,944	4,856	5,258	5,245	5,090	5,163	4,684
	SORTING	2,252	2,224	2,178	2,335	2,391	2,328	2,124
	SKEWNESS	0,298	0,309	0,205	0,144	0,170	0,179	0,388
	KURTOSIS	0,850	0,871	0,884	0,847	0,838	0,863	0,933
FOLK AND WARD METHOD (Description)	MEAN:	Very Coarse Silt	Very Coarse Silt	Coarse Silt	Coarse Silt	Coarse Silt	Coarse Silt	Very Coarse Silt
	SORTING:	Very Poorly Sorted	Very Poorly Sorted	Very Poorly Sorted	Very Poorly Sorted	Very Poorly Sorted	Very Poorly Sorted	Very Poorly Sorted
	SKEWNESS:	Fine Skewed	Very Fine Skewed	Fine Skewed	Fine Skewed	Fine Skewed	Fine Skewed	Very Fine Skewed
	KURTOSIS:	Platykurtic	Platykurtic	Platykurtic	Platykurtic	Platykurtic	Platykurtic	Mesokurtic
MODE 1 (µm):	97,96	97,96	74,31	85,32	112,5	85,32	97,96	
MODE 2 (µm):								
MODE 3 (µm):								
MODE 1 (φ):	3,355	3,355	3,754	3,554	3,156	3,554	3,355	
MODE 2 (φ):								
MODE 3 (φ):								
D ₁₀ (µm):	3,175	3,407	2,975	2,743	2,817	2,850	3,917	
D ₂₀ (µm):	44,21	47,15	31,76	30,40	35,05	33,82	56,58	
D ₃₀ (µm):	181,3	186,1	149,4	182,1	205,7	185,6	180,2	
(D ₃₀ / D ₁₀) (µm):	57,09	54,63	50,22	66,37	73,03	65,11	46,00	
(D ₃₀ - D ₁₀) (µm):	178,1	182,7	146,4	179,4	202,9	182,7	176,3	
(D ₇₅ / D ₂₅) (µm):	10,48	9,757	9,123	11,49	12,40	11,10	7,914	
(D ₇₅ - D ₂₅) (µm):	97,58	100,1	72,72	84,05	98,74	86,79	100,00	
D ₁₀ (φ):	2,464	2,426	2,743	2,457	2,281	2,430	2,473	
D ₂₀ (φ):	4,499	4,406	4,977	5,040	4,834	4,886	4,143	
D ₃₀ (φ):	8,299	8,197	8,393	8,510	8,472	8,455	7,996	
(D ₃₀ / D ₁₀) (φ):	3,368	3,379	3,060	3,463	3,714	3,480	3,234	
(D ₃₀ - D ₁₀) (φ):	5,835	5,772	5,650	6,053	6,190	6,025	5,524	
(D ₇₅ / D ₂₅) (φ):	2,055	2,038	1,883	2,024	2,129	2,024	1,954	
(D ₇₅ - D ₂₅) (φ):	3,390	3,286	3,189	3,522	3,633	3,473	2,984	
% GRAVEL:	0,0%	0,0%	0,0%	0,0%	0,0%	0,0%	0,0%	
% SAND:	41,6%	42,9%	32,5%	34,2%	37,9%	36,0%	47,1%	
% MUD:	58,4%	57,1%	67,5%	65,8%	62,0%	64,0%	52,9%	
% V COARSE GRAVEL:	0,0%	0,0%	0,0%	0,0%	0,0%	0,0%	0,0%	
% COARSE GRAVEL:	0,0%	0,0%	0,0%	0,0%	0,0%	0,0%	0,0%	
% MEDIUM GRAVEL:	0,0%	0,0%	0,0%	0,0%	0,0%	0,0%	0,0%	
% FINE GRAVEL:	0,0%	0,0%	0,0%	0,0%	0,0%	0,0%	0,0%	
% V FINE GRAVEL:	0,0%	0,0%	0,0%	0,0%	0,0%	0,0%	0,0%	
% V COARSE SAND:	0,0%	0,0%	0,0%	0,0%	0,7%	0,0%	0,0%	
% COARSE SAND:	0,0%	0,0%	0,0%	0,2%	0,6%	0,9%	0,0%	
% MEDIUM SAND:	4,0%	4,3%	2,6%	4,8%	5,4%	4,7%	3,7%	
% FINE SAND:	16,3%	16,9%	11,2%	12,7%	14,5%	12,6%	18,0%	
% V FINE SAND:	21,3%	21,7%	18,6%	16,4%	16,7%	17,8%	25,4%	
% V COARSE SILT:	15,3%	15,5%	17,9%	15,2%	14,3%	15,7%	16,1%	
% COARSE SILT:	11,7%	11,8%	14,7%	13,7%	12,9%	13,1%	10,8%	
% MEDIUM SILT:	10,4%	10,1%	12,1%	12,3%	11,5%	11,8%	8,9%	
% FINE SILT:	8,8%	8,3%	9,7%	10,3%	9,6%	9,8%	7,2%	
% V FINE SILT:	6,6%	6,1%	7,1%	7,7%	7,4%	7,4%	5,3%	
% CLAY:	5,6%	5,3%	6,0%	6,6%	6,4%	6,3%	4,6%	

		27-1 43-44	27-1 44-45	27-1 45-46	27-1 46-47	27-1 47-48	27-1 48-49	27-1 49-50
ANALYST AND DATE:								
SIEVING ERROR:								
SAMPLE TYPE:		Unimodal, Very Poorly Sorted	Unimodal, Very Poorly Sorted	Unimodal, Poorly Sorted	Unimodal, Poorly Sorted	Unimodal, Very Poorly Sorted	Unimodal, Poorly Sorted	Unimodal, Poorly Sorted
TEXTURAL GROUP:		Muddy Sand	Sandy Mud	Muddy Sand	Muddy Sand	Muddy Sand	Muddy Sand	Muddy Sand
SEDIMENT NAME:		Very Coarse Silty Very Fine Sand	Very Fine Sandy Very Coarse Silt	Very Coarse Silty Very Fine Sand	Very Coarse Silty Very Fine Sand	Very Coarse Silty Very Fine Sand	Very Coarse Silty Very Fine Sand	Very Coarse Silty Very Fine Sand
METHOD OF MOMENTS Arithmetic (µm)	MEAN	89,03	77,67	80,11	79,25	85,19	100,7	93,18
	SORTING	80,33	75,83	86,57	59,60	80,43	88,07	78,27
	SKEWNESS	1,276	1,449	4,591	0,976	1,364	1,342	1,142
	KURTOSIS	4,934	5,564	43,49	4,009	5,198	5,348	4,480
METHOD OF MOMENTS Geometric (µm)	MEAN	46,92	38,26	43,93	50,32	43,08	55,62	52,48
	SORTING	4,113	4,308	3,792	3,319	4,250	3,948	3,882
	SKEWNESS	-1,016	-0,839	-1,053	-1,418	-0,924	-1,161	-1,197
	KURTOSIS	3,333	2,917	3,751	4,868	3,120	3,821	3,890
METHOD OF MOMENTS Logarithmic (φ)	MEAN	4,414	4,708	4,509	4,313	4,537	4,168	4,252
	SORTING	2,040	2,107	1,923	1,731	2,087	1,981	1,957
	SKEWNESS	1,016	0,839	1,053	1,418	0,924	1,161	1,197
	KURTOSIS	3,333	2,917	3,751	4,868	3,120	3,821	3,890
FOLK AND WARD METHOD (µm)	MEAN	48,92	39,68	46,27	55,29	44,89	58,35	55,64
	SORTING	4,059	4,331	3,633	3,070	4,225	3,822	3,737
	SKEWNESS	-0,441	-0,401	-0,413	-0,416	-0,421	-0,439	-0,452
	KURTOSIS	1,055	0,956	1,171	1,351	0,996	1,205	1,205
FOLK AND WARD METHOD (φ)	MEAN	4,353	4,655	4,434	4,177	4,477	4,099	4,168
	SORTING	2,021	2,115	1,861	1,618	2,079	1,934	1,902
	SKEWNESS	0,441	0,401	0,413	0,416	0,421	0,439	0,452
	KURTOSIS	1,055	0,956	1,171	1,351	0,996	1,205	1,205
FOLK AND WARD METHOD (Description)	MEAN:	Very Coarse Silt	Very Coarse Silt	Very Coarse Silt	Very Coarse Silt	Very Coarse Silt	Very Coarse Silt	Very Coarse Silt
	SORTING:	Very Poorly Sorted	Very Poorly Sorted	Poorly Sorted	Poorly Sorted	Very Poorly Sorted	Poorly Sorted	Poorly Sorted
	SKEWNESS:	Very Fine Skewed	Very Fine Skewed	Very Fine Skewed	Very Fine Skewed	Very Fine Skewed	Very Fine Skewed	Very Fine Skewed
	KURTOSIS:	Mesokurtic	Mesokurtic	Leptokurtic	Leptokurtic	Mesokurtic	Leptokurtic	Leptokurtic
MODE 1 (µm):	112,5	97,96	85,32	97,96	112,5	112,5	112,5	
MODE 2 (µm):								
MODE 3 (µm):								
MODE 1 (φ):	3,156	3,355	3,554	3,355	3,156	3,156	3,156	
MODE 2 (φ):								
MODE 3 (φ):								
D ₁₀ (µm):	5,046	3,947	5,610	8,762	4,505	6,437	6,215	
D ₂₀ (µm):	72,05	58,16	62,87	69,56	66,13	82,68	78,66	
D ₃₀ (µm):	197,9	180,1	166,8	160,0	194,4	218,1	199,6	
(D ₃₀ / D ₁₀) (µm):	39,22	45,62	29,73	18,26	43,16	33,87	32,11	
(D ₃₀ - D ₁₀) (µm):	192,9	176,1	161,2	151,2	189,9	211,6	193,3	
(D ₇₅ / D ₂₅) (µm):	6,005	7,532	4,675	3,413	6,875	4,707	4,621	
(D ₇₅ - D ₂₅) (µm):	109,0	99,96	86,97	79,51	107,7	113,4	105,7	
D ₁₀ (φ):	2,337	2,473	2,584	2,644	2,363	2,197	2,325	
D ₂₀ (φ):	3,795	4,104	3,991	3,846	3,919	3,596	3,668	
D ₃₀ (φ):	7,631	7,985	7,478	6,835	7,794	7,279	7,330	
(D ₃₀ / D ₁₀) (φ):	3,265	3,228	2,894	2,585	3,299	3,313	3,153	
(D ₃₀ - D ₁₀) (φ):	5,294	5,512	4,894	4,190	5,432	5,082	5,005	
(D ₇₅ / D ₂₅) (φ):	1,881	1,935	1,701	1,562	1,931	1,799	1,764	
(D ₇₅ - D ₂₅) (φ):	2,586	2,913	2,225	1,771	2,781	2,235	2,208	
% GRAVEL:	0,0%	0,0%	0,0%	0,0%	0,0%	0,0%	0,0%	
% SAND:	54,8%	47,8%	50,2%	54,9%	51,8%	60,3%	58,6%	
% MUD:	45,2%	52,2%	49,8%	45,1%	48,2%	39,7%	41,4%	
% V COARSE GRAVEL:	0,0%	0,0%	0,0%	0,0%	0,0%	0,0%	0,0%	
% COARSE GRAVEL:	0,0%	0,0%	0,0%	0,0%	0,0%	0,0%	0,0%	
% MEDIUM GRAVEL:	0,0%	0,0%	0,0%	0,0%	0,0%	0,0%	0,0%	
% FINE GRAVEL:	0,0%	0,0%	0,0%	0,0%	0,0%	0,0%	0,0%	
% V FINE GRAVEL:	0,0%	0,0%	0,0%	0,0%	0,0%	0,0%	0,0%	
% V COARSE SAND:	0,0%	0,0%	0,1%	0,0%	0,0%	0,0%	0,0%	
% COARSE SAND:	0,0%	0,0%	0,4%	0,0%	0,0%	0,2%	0,0%	
% MEDIUM SAND:	4,7%	3,5%	2,1%	1,3%	4,5%	6,5%	4,6%	
% FINE SAND:	22,2%	18,3%	17,2%	18,6%	20,8%	24,7%	23,9%	
% V FINE SAND:	27,9%	25,9%	30,4%	35,0%	26,4%	28,9%	30,1%	
% V COARSE SILT:	15,1%	16,4%	19,9%	21,1%	15,4%	14,4%	15,4%	
% COARSE SILT:	9,1%	10,5%	10,4%	9,3%	7,8%	7,8%	8,3%	
% MEDIUM SILT:	7,2%	8,5%	6,8%	5,4%	7,9%	6,1%	6,1%	
% FINE SILT:	5,7%	6,9%	5,0%	3,6%	6,2%	4,7%	4,6%	
% V FINE SILT:	4,3%	5,2%	3,9%	2,8%	4,6%	3,5%	3,6%	
% CLAY:	3,8%	4,7%	3,7%	2,8%	4,2%	3,2%	3,4%	

		27-1 50-51	27-1 51-52	27-1 52-53	27-1 53-54	27-1 54-55	27-1 55-56	27-1 56-57
ANALYST AND DATE:								
SIEVING ERROR:								
SAMPLE TYPE:		Unimodal, Poorly Sorted	Unimodal, Poorly Sorted	Unimodal, Poorly Sorted	Unimodal, Poorly Sorted	Unimodal, Poorly Sorted	Unimodal, Poorly Sorted	Unimodal, Very Poorly Sorted
TEXTURAL GROUP:		Muddy Sand	Muddy Sand	Muddy Sand	Slightly Gravelly Muddy Sand	Muddy Sand	Sandy Mud	Muddy Sand
SEDIMENT NAME:		Very Coarse Silty Very Fine Sand	Very Coarse Silty Very Fine Sand	Very Coarse Silty Fine Sand	Fine Gravelly Very Coarse Silty V	Very Coarse Silty Very Fine Sand	Very Fine Sandy Very Coarse Silt	Very Coarse Silty Fine Sand
METHOD OF MOMENTS Arithmetic (µm)	MEAN	99,72	94,16	113,1	99,50	80,27	83,00	159,8
	SORTING	83,18	81,31	90,91	118,7	82,28	109,1	156,3
	SKEWNESS	1,142	1,361	1,144	5,554	5,238	4,863	1,204
	KURTOSIS	4,515	5,648	4,659	58,21	46,86	39,99	4,132
METHOD OF MOMENTS Geometric (µm)	MEAN	56,27	53,12	66,61	54,25	50,19	42,21	74,44
	SORTING	3,899	3,828	3,728	3,759	3,250	3,889	4,715
	SKEWNESS	-1,226	-1,172	-1,355	-1,086	-1,363	-0,861	-0,925
	KURTOSIS	3,962	3,899	4,461	4,096	5,043	3,558	3,197
METHOD OF MOMENTS Logarithmic (φ)	MEAN	4,152	4,235	3,908	4,204	4,317	4,566	3,748
	SORTING	1,963	1,937	1,898	1,910	1,700	1,959	2,237
	SKEWNESS	1,226	1,172	1,355	1,086	1,363	0,861	0,925
	KURTOSIS	3,962	3,899	4,461	4,096	5,043	3,558	3,197
FOLK AND WARD METHOD (µm)	MEAN	59,34	56,21	71,73	56,55	54,08	42,99	79,02
	SORTING	3,746	3,683	3,497	3,563	2,936	3,759	4,663
	SKEWNESS	-0,459	-0,435	-0,448	-0,387	-0,432	-0,372	-0,367
	KURTOSIS	1,236	1,198	1,366	1,321	1,470	1,179	0,989
FOLK AND WARD METHOD (φ)	MEAN	4,075	4,153	3,801	4,144	4,209	4,540	3,662
	SORTING	1,905	1,881	1,806	1,833	1,554	1,910	2,221
	SKEWNESS	0,459	0,435	0,448	0,387	0,432	0,372	0,367
	KURTOSIS	1,236	1,198	1,366	1,321	1,470	1,179	0,989
FOLK AND WARD METHOD (Description)	MEAN:	Very Coarse Silt	Very Coarse Silt	Very Fine Sand	Very Coarse Silt	Very Coarse Silt	Very Coarse Silt	Very Fine Sand
	SORTING:	Poorly Sorted	Poorly Sorted	Poorly Sorted	Poorly Sorted	Poorly Sorted	Poorly Sorted	Very Poorly Sorted
	SKEWNESS:	Very Fine Skewed	Very Fine Skewed	Very Fine Skewed	Very Fine Skewed	Very Fine Skewed	Very Fine Skewed	Very Fine Skewed
	KURTOSIS:	Leptokurtic	Leptokurtic	Leptokurtic	Leptokurtic	Leptokurtic	Leptokurtic	Mesokurtic
MODE 1 (µm):	112,5	112,5	129,1	97,96	85,32	74,31	257,7	
MODE 2 (µm):								
MODE 3 (µm):								
MODE 1 (φ):	3,156	3,156	2,957	3,355	3,554	3,754	1,960	
MODE 2 (φ):								
MODE 3 (φ):								
D ₁₀ (µm):	6,551	6,623	8,704	7,316	8,971	5,432	7,026	
D ₂₀ (µm):	84,61	78,15	96,97	74,83	68,11	58,55	109,7	
D ₃₀ (µm):	211,8	201,5	234,7	201,9	148,4	167,0	384,9	
(D ₃₀ / D ₁₀) (µm):	32,33	30,42	26,97	27,59	16,55	30,75	54,78	
(D ₃₀ - D ₁₀) (µm):	205,2	194,8	226,0	194,6	139,5	161,6	377,9	
(D ₇₅ / D ₂₅) (µm):	4,469	4,588	3,764	3,972	2,979	4,820	8,002	
(D ₇₅ - D ₂₅) (µm):	111,6	105,4	117,9	95,78	70,00	81,70	218,0	
D ₁₀ (φ):	2,239	2,311	2,091	2,309	2,752	2,582	1,377	
D ₂₀ (φ):	3,563	3,678	3,366	3,740	3,876	4,094	3,189	
D ₃₀ (φ):	7,254	7,238	6,844	7,095	6,801	7,524	7,153	
(D ₃₀ / D ₁₀) (φ):	3,240	3,132	3,273	3,073	2,471	2,914	5,193	
(D ₃₀ - D ₁₀) (φ):	5,015	4,927	4,753	4,786	4,048	4,942	5,776	
(D ₇₅ / D ₂₅) (φ):	1,772	1,760	1,725	1,671	1,485	1,692	2,497	
(D ₇₅ - D ₂₅) (φ):	2,160	2,198	1,912	1,990	1,575	2,269	3,000	
% GRAVEL:	0,0%	0,0%	0,0%	0,0%	0,0%	0,0%	0,0%	
% SAND:	61,3%	58,4%	66,7%	57,6%	54,5%	47,3%	62,6%	
% MUD:	38,7%	41,6%	33,3%	42,4%	45,5%	52,7%	37,4%	
% V COARSE GRAVEL:	0,0%	0,0%	0,0%	0,0%	0,0%	0,0%	0,0%	
% COARSE GRAVEL:	0,0%	0,0%	0,0%	0,0%	0,0%	0,0%	0,0%	
% MEDIUM GRAVEL:	0,0%	0,0%	0,0%	0,0%	0,0%	0,0%	0,0%	
% FINE GRAVEL:	0,0%	0,0%	0,0%	0,0%	0,0%	0,0%	0,0%	
% V FINE GRAVEL:	0,0%	0,0%	0,0%	0,0%	0,0%	0,0%	0,0%	
% V COARSE SAND:	0,0%	0,0%	0,0%	0,3%	0,1%	0,2%	0,0%	
% COARSE SAND:	0,0%	0,1%	0,2%	0,8%	0,8%	1,0%	4,0%	
% MEDIUM SAND:	5,8%	4,9%	8,1%	5,0%	0,5%	3,3%	20,9%	
% FINE SAND:	25,7%	23,4%	29,2%	20,0%	15,2%	13,2%	21,9%	
% V FINE SAND:	29,7%	30,0%	29,2%	31,6%	37,9%	29,5%	15,7%	
% V COARSE SILT:	14,0%	15,7%	12,5%	17,9%	22,9%	21,5%	12,4%	
% COARSE SILT:	7,5%	8,5%	6,6%	8,0%	8,1%	10,4%	8,1%	
% MEDIUM SILT:	5,8%	6,2%	4,9%	6,0%	5,4%	7,7%	6,2%	
% FINE SILT:	4,6%	4,6%	3,8%	4,4%	3,7%	5,6%	4,6%	
% V FINE SILT:	3,5%	3,4%	2,9%	3,2%	2,7%	4,0%	3,3%	
% CLAY:	3,2%	3,2%	2,7%	2,9%	2,7%	3,6%	2,9%	

		27-1 57-58	27-1 58-59	27-1 60-61	27-1 62-63	27-1 63-64	27-1 64-65	27-1 65-66
ANALYST AND DATE:								
SIEVING ERROR:								
SAMPLE TYPE:		Unimodal, Poorly Sorted	Unimodal, Poorly Sorted	Unimodal, Very Poorly Sorted	Unimodal, Poorly Sorted	Unimodal, Poorly Sorted	Unimodal, Poorly Sorted	Unimodal, Poorly Sorted
TEXTURAL GROUP:		Muddy Sand	Muddy Sand	Muddy Sand	Muddy Sand	Muddy Sand	Muddy Sand	Muddy Sand
SEDIMENT NAME:		Very Coarse Silty Fine Sand	Very Coarse Silty Fine Sand	Very Coarse Silty Fine Sand	Very Coarse Silty Fine Sand	Very Coarse Silty Fine Sand	Very Coarse Silty Fine Sand	Very Coarse Silty Fine Sand
METHOD OF MOMENTS Arithmetic (µm)	MEAN	217,2	165,4	115,6	208,9	216,4	179,3	155,8
	SORTING	145,0	119,4	125,5	124,8	146,7	131,6	118,8
	SKEWNESS	0,639	0,768	1,292	0,536	0,545	0,749	0,767
	KURTOSIS	3,284	3,363	4,160	3,207	3,019	3,262	3,193
METHOD OF MOMENTS Geometric (µm)	MEAN	138,6	102,4	45,93	147,2	133,0	108,8	91,59
	SORTING	3,644	3,644	5,318	3,124	3,863	3,733	3,841
	SKEWNESS	-1,901	-1,647	-0,639	-2,255	-1,777	-1,583	-1,452
	KURTOSIS	6,466	5,523	2,468	8,553	5,752	5,267	4,758
METHOD OF MOMENTS Logarithmic (φ)	MEAN	2,851	3,288	4,444	2,764	2,911	3,200	3,449
	SORTING	1,865	1,865	2,411	1,643	1,950	1,900	1,942
	SKEWNESS	1,901	1,647	0,639	2,255	1,777	1,583	1,452
	KURTOSIS	6,466	5,523	2,468	8,553	5,752	5,267	4,758
FOLK AND WARD METHOD (µm)	MEAN	162,4	116,3	47,44	180,0	148,1	121,1	101,3
	SORTING	3,047	3,221	5,486	2,481	3,363	3,351	3,513
	SKEWNESS	-0,484	-0,463	-0,301	-0,389	-0,542	-0,483	-0,484
	KURTOSIS	1,855	1,531	0,847	1,927	1,809	1,439	1,295
FOLK AND WARD METHOD (φ)	MEAN	2,623	3,104	4,398	2,474	2,756	3,045	3,304
	SORTING	1,608	1,688	2,456	1,311	1,750	1,745	1,813
	SKEWNESS	0,484	0,463	0,301	0,389	0,542	0,483	0,484
	KURTOSIS	1,855	1,531	0,847	1,927	1,809	1,439	1,295
FOLK AND WARD METHOD (Description)	MEAN:	Fine Sand	Very Fine Sand	Very Coarse Silt	Fine Sand	Fine Sand	Very Fine Sand	Very Fine Sand
	SORTING:	Poorly Sorted	Poorly Sorted	Very Poorly Sorted	Poorly Sorted	Poorly Sorted	Poorly Sorted	Poorly Sorted
	SKEWNESS:	Very Fine Skewed	Very Fine Skewed	Very Fine Skewed	Very Fine Skewed	Very Fine Skewed	Very Fine Skewed	Very Fine Skewed
	KURTOSIS:	Very Leptokurtic	Very Leptokurtic	Platykurtic	Very Leptokurtic	Very Leptokurtic	Leptokurtic	Leptokurtic
MODE 1 (µm):	257,7	195,5	224,4	224,4	257,7	224,4	195,5	
MODE 2 (µm):								
MODE 3 (µm):								
MODE 1 (φ):	1,960	2,359	2,159	2,159	1,960	2,159	2,359	
MODE 2 (φ):								
MODE 3 (φ):								
D ₁₀ (µm):	21,47	15,26	3,605	37,35	16,51	15,55	12,10	
D ₂₀ (µm):	202,3	149,2	65,19	196,1	205,0	162,5	139,9	
D ₃₀ (µm):	411,8	329,7	302,3	377,3	413,4	359,7	320,2	
(D ₃₀ / D ₁₀) (µm):	19,18	21,61	83,85	10,10	25,05	23,13	26,47	
(D ₃₀ - D ₁₀) (µm):	390,3	314,4	298,7	339,9	396,9	344,2	308,1	
(D ₇₅ / D ₂₅) (µm):	2,634	3,222	12,86	2,264	2,790	3,498	4,108	
(D ₇₅ - D ₂₅) (µm):	187,8	162,6	170,8	157,9	196,5	184,5	172,7	
D ₁₀ (φ):	1,280	1,601	1,726	1,406	1,274	1,475	1,643	
D ₂₀ (φ):	2,305	2,745	3,939	2,350	2,286	2,621	2,838	
D ₃₀ (φ):	5,542	6,034	8,116	4,743	5,921	6,007	6,369	
(D ₃₀ / D ₁₀) (φ):	4,329	3,770	4,702	3,372	4,646	4,073	3,877	
(D ₃₀ - D ₁₀) (φ):	4,262	4,433	6,390	3,336	4,646	4,532	4,727	
(D ₇₅ / D ₂₅) (φ):	1,811	1,810	2,515	1,647	1,867	1,925	1,956	
(D ₇₅ - D ₂₅) (φ):	1,397	1,688	3,685	1,179	1,480	1,807	2,039	
% GRAVEL:	0,0%	0,0%	0,0%	0,0%	0,0%	0,0%	0,0%	
% SAND:	83,6%	77,9%	50,8%	87,6%	81,5%	77,6%	73,1%	
% MUD:	16,4%	22,1%	49,2%	12,4%	18,5%	22,4%	26,9%	
% V COARSE GRAVEL:	0,0%	0,0%	0,0%	0,0%	0,0%	0,0%	0,0%	
% COARSE GRAVEL:	0,0%	0,0%	0,0%	0,0%	0,0%	0,0%	0,0%	
% MEDIUM GRAVEL:	0,0%	0,0%	0,0%	0,0%	0,0%	0,0%	0,0%	
% FINE GRAVEL:	0,0%	0,0%	0,0%	0,0%	0,0%	0,0%	0,0%	
% V FINE GRAVEL:	0,0%	0,0%	0,0%	0,0%	0,0%	0,0%	0,0%	
% V COARSE SAND:	0,0%	0,0%	0,0%	0,0%	0,0%	0,0%	0,0%	
% COARSE SAND:	4,3%	1,1%	1,1%	2,3%	4,3%	2,1%	0,9%	
% MEDIUM SAND:	32,4%	20,9%	14,4%	30,9%	33,4%	24,6%	19,6%	
% FINE SAND:	35,8%	36,4%	20,7%	41,8%	34,3%	34,7%	34,3%	
% V FINE SAND:	11,0%	19,5%	14,6%	12,6%	9,6%	16,1%	18,4%	
% V COARSE SILT:	4,4%	7,6%	12,6%	3,3%	4,9%	7,6%	9,3%	
% COARSE SILT:	3,4%	4,4%	10,5%	2,7%	3,8%	4,9%	6,0%	
% MEDIUM SILT:	2,7%	3,2%	8,3%	2,0%	3,1%	3,4%	3,9%	
% FINE SILT:	2,4%	2,8%	7,0%	1,8%	2,7%	2,8%	3,1%	
% V FINE SILT:	1,8%	2,1%	5,6%	1,4%	2,1%	2,0%	2,3%	
% CLAY:	1,7%	2,0%	5,2%	1,3%	1,9%	1,9%	2,2%	

		27-1 66-67	27-1 67-68	27-1 68-69	27-2 00-01	27-2 01-02	27-2 02-03	27-2 03-04
ANALYST AND DATE:								
SIEVING ERROR:								
SAMPLE TYPE:		Unimodal, Poorly Sorted	Unimodal, Poorly Sorted	Unimodal, Poorly Sorted	Bimodal, Very Poorly Sorted	Unimodal, Very Poorly Sorted	Unimodal, Very Poorly Sorted	Unimodal, Very Poorly Sorted
TEXTURAL GROUP:		Muddy Sand	Muddy Sand	Muddy Sand	Sandy Mud	Muddy Sand	Slightly Gravelly Sandy Mud	Muddy Sand
SEDIMENT NAME:		Very Coarse Silty Fine Sand	Very Coarse Silty Fine Sand	Very Coarse Silty Fine Sand	Fine Sandy Very Coarse Silt	Very Coarse Silty Fine Sand	Very Fine Gravelly Fine Sandy Very	Very Coarse Silty Fine Sand
METHOD OF MOMENTS Arithmetic (µm)	MEAN	126,2	130,8	133,6	95,31	121,0	113,6	134,4
	SORTING	106,4	106,4	109,1	106,8	114,0	162,6	121,5
	SKEWNESS	1,043	1,008	1,003	1,534	1,096	4,663	1,073
	KURTOSIS	3,935	3,881	3,828	5,101	3,796	37,73	3,886
METHOD OF MOMENTS Geometric (µm)	MEAN	69,53	74,98	75,93	40,73	58,09	46,72	66,95
	SORTING	4,032	3,859	3,917	4,744	4,581	4,786	4,509
	SKEWNESS	-1,219	-1,313	-1,317	-0,614	-0,934	-0,629	-1,060
	KURTOSIS	3,983	4,332	4,324	2,646	3,146	2,851	3,443
METHOD OF MOMENTS Logarithmic (φ)	MEAN	3,846	3,737	3,719	4,618	4,106	4,420	3,901
	SORTING	2,012	1,948	1,970	2,246	2,196	2,259	2,173
	SKEWNESS	1,219	1,313	1,317	0,614	0,934	0,629	1,060
	KURTOSIS	3,983	4,332	4,324	2,646	3,146	2,851	3,443
FOLK AND WARD METHOD (µm)	MEAN	74,75	81,59	82,68	42,41	62,06	48,18	71,57
	SORTING	3,842	3,617	3,671	4,895	4,513	4,814	4,385
	SKEWNESS	-0,450	-0,443	-0,446	-0,228	-0,415	-0,268	-0,452
	KURTOSIS	1,174	1,256	1,265	0,902	0,970	0,955	1,037
FOLK AND WARD METHOD (φ)	MEAN	3,742	3,615	3,596	4,559	4,010	4,375	3,804
	SORTING	1,942	1,855	1,876	2,291	2,174	2,267	2,132
	SKEWNESS	0,450	0,443	0,446	0,228	0,415	0,268	0,452
	KURTOSIS	1,174	1,256	1,265	0,902	0,970	0,955	1,037
FOLK AND WARD METHOD (Description)	MEAN:	Very Fine Sand	Very Fine Sand	Very Fine Sand	Very Coarse Silt	Very Coarse Silt	Very Coarse Silt	Very Fine Sand
	SORTING:	Poorly Sorted	Poorly Sorted	Poorly Sorted	Very Poorly Sorted	Very Poorly Sorted	Very Poorly Sorted	Very Poorly Sorted
	SKEWNESS:	Very Fine Skewed	Very Fine Skewed	Very Fine Skewed	Fine Skewed	Very Fine Skewed	Fine Skewed	Very Fine Skewed
	KURTOSIS:	Leptokurtic	Leptokurtic	Leptokurtic	Mesokurtic	Mesokurtic	Mesokurtic	Mesokurtic
MODE 1 (µm):	148,3	170,2	170,2	170,2	170,2	148,3	195,5	
MODE 2 (µm):				49,10				
MODE 3 (µm):								
MODE 1 (φ):	2,757	2,558	2,558	2,558	2,558	2,757	2,359	
MODE 2 (φ):				4,352				
MODE 3 (φ):								
D ₁₀ (µm):	7,976	9,472	9,298	4,081	5,611	4,569	6,382	
D ₂₀ (µm):	105,7	111,0	113,0	51,76	91,16	61,69	107,6	
D ₃₀ (µm):	273,5	277,4	285,3	252,3	283,7	270,9	305,5	
(D ₃₀ / D ₁₀) (µm):	34,29	29,29	30,68	61,82	50,57	59,30	47,87	
(D ₃₀ - D ₁₀) (µm):	265,5	268,0	276,0	248,2	278,1	266,4	299,2	
(D ₇₅ / D ₂₅) (µm):	4,980	4,334	4,368	9,846	7,917	8,786	6,881	
(D ₇₅ - D ₂₅) (µm):	148,5	146,6	150,2	130,1	164,0	137,6	174,5	
D ₁₀ (φ):	1,871	1,850	1,810	1,987	1,817	1,884	1,711	
D ₂₀ (φ):	3,241	3,171	3,145	4,272	3,455	4,019	3,216	
D ₃₀ (φ):	6,970	6,722	6,749	7,937	7,478	7,774	7,292	
(D ₃₀ / D ₁₀) (φ):	3,726	3,634	3,730	3,995	4,115	4,126	4,263	
(D ₃₀ - D ₁₀) (φ):	5,100	4,872	4,939	5,950	5,660	5,890	5,581	
(D ₇₅ / D ₂₅) (φ):	1,954	1,885	1,901	2,183	2,237	2,167	2,214	
(D ₇₅ - D ₂₅) (φ):	2,316	2,116	2,127	3,299	2,985	3,135	2,783	
% GRAVEL:	0,0%	0,0%	0,0%	0,0%	0,0%	0,0%	0,0%	
% SAND:	65,9%	68,4%	68,7%	45,6%	58,3%	49,7%	63,1%	
% MUD:	34,1%	31,6%	31,3%	54,4%	41,7%	50,3%	36,9%	
% V COARSE GRAVEL:	0,0%	0,0%	0,0%	0,0%	0,0%	0,0%	0,0%	
% COARSE GRAVEL:	0,0%	0,0%	0,0%	0,0%	0,0%	0,0%	0,0%	
% MEDIUM GRAVEL:	0,0%	0,0%	0,0%	0,0%	0,0%	0,0%	0,0%	
% FINE GRAVEL:	0,0%	0,0%	0,0%	0,0%	0,0%	0,0%	0,0%	
% V FINE GRAVEL:	0,0%	0,0%	0,0%	0,0%	0,0%	0,0%	0,0%	
% V COARSE SAND:	0,0%	0,0%	0,0%	0,0%	0,0%	0,7%	0,0%	
% COARSE SAND:	0,4%	0,5%	0,5%	0,5%	0,6%	1,3%	1,1%	
% MEDIUM SAND:	12,6%	13,2%	14,0%	9,8%	13,5%	9,9%	15,8%	
% FINE SAND:	30,0%	31,3%	31,2%	18,7%	26,5%	19,5%	28,1%	
% V FINE SAND:	22,9%	23,5%	23,0%	16,7%	17,7%	18,3%	18,2%	
% V COARSE SILT:	11,5%	11,3%	11,0%	16,0%	12,4%	15,6%	11,1%	
% COARSE SILT:	7,4%	6,8%	6,6%	12,6%	9,7%	11,4%	8,2%	
% MEDIUM SILT:	5,3%	4,7%	4,6%	9,2%	6,9%	8,2%	6,0%	
% FINE SILT:	4,1%	3,7%	3,6%	7,1%	5,3%	6,3%	4,8%	
% V FINE SILT:	3,0%	2,7%	2,7%	5,0%	3,8%	4,6%	3,5%	
% CLAY:	2,7%	2,5%	2,6%	4,6%	3,6%	4,2%	3,3%	

		27-2_04-05	27-2_05-06	27-2_06-07	27-2_07-08	27-2_08-09	27-2_09-10	27-2_10-11
ANALYST AND DATE:								
SIEVING ERROR:								
SAMPLE TYPE:		Unimodal, Poorly Sorted	Unimodal, Very Poorly Sorted	Bimodal, Very Poorly Sorted	Unimodal, Very Poorly Sorted	Unimodal, Poorly Sorted	Bimodal, Very Poorly Sorted	Bimodal, Very Poorly Sorted
TEXTURAL GROUP:		Muddy Sand	Muddy Sand	Slightly Gravely Sandy Mud	Sandy Mud	Muddy Sand	Slightly Gravely Sandy Mud	Sandy Mud
SEDIMENT NAME:		Very Coarse Silty Fine Sand	Very Coarse Silty Fine Sand	Very Fine Gravely Fine Sandy Very	Very Fine Sandy Very Coarse Silt	Very Coarse Silty Fine Sand	Fine Gravely Very Fine Sandy Ve	Very Fine Sandy Coarse Silt
METHOD OF MOMENTS Arithmetic (µm)	MEAN	134,2	136,6	92,95	42,33	127,0	84,32	42,86
	SORTING	117,9	129,1	164,8	63,67	108,3	164,4	79,32
	SKEWNESS	1,138	1,104	5,435	3,516	1,004	6,248	3,613
	KURTOSIS	4,232	3,848	46,41	18,79	3,709	54,18	18,42
METHOD OF MOMENTS Geometric (µm)	MEAN	71,92	64,90	29,66	18,43	69,14	28,55	15,26
	SORTING	4,118	4,664	5,411	4,023	4,072	5,044	4,234
	SKEWNESS	-1,157	-0,954	-0,218	-0,292	-1,192	-0,262	0,112
	KURTOSIS	3,879	3,205	2,263	2,719	3,945	2,460	2,775
METHOD OF MOMENTS Logarithmic (φ)	MEAN	3,797	3,946	5,075	5,762	3,854	5,131	6,034
	SORTING	2,042	2,221	2,436	2,008	2,026	2,334	2,082
	SKEWNESS	1,157	0,954	0,218	0,292	1,192	0,262	-0,112
	KURTOSIS	3,879	3,205	2,263	2,719	3,945	2,460	2,775
FOLK AND WARD METHOD (µm)	MEAN	78,20	69,93	30,37	18,34	75,73	29,07	14,84
	SORTING	3,917	4,565	5,666	4,103	3,856	5,181	4,351
	SKEWNESS	-0,424	-0,419	-0,092	-0,158	-0,436	-0,139	0,020
	KURTOSIS	1,117	0,977	0,812	1,012	1,131	0,859	1,117
FOLK AND WARD METHOD (φ)	MEAN	3,677	3,838	5,041	5,769	3,723	5,104	6,074
	SORTING	1,970	2,191	2,502	2,037	1,947	2,373	2,121
	SKEWNESS	0,424	0,419	0,092	0,158	0,436	0,139	-0,020
	KURTOSIS	1,117	0,977	0,812	1,012	1,131	0,859	1,117
FOLK AND WARD METHOD (Description)	MEAN:	Very Fine Sand	Very Fine Sand	Coarse Silt	Coarse Silt	Very Fine Sand	Coarse Silt	Medium Silt
	SORTING:	Poorly Sorted	Very Poorly Sorted	Very Poorly Sorted	Very Poorly Sorted	Poorly Sorted	Very Poorly Sorted	Very Poorly Sorted
	SKEWNESS:	Very Fine Skewed	Very Fine Skewed	Symmetrical	Fine Skewed	Very Fine Skewed	Fine Skewed	Symmetrical
	KURTOSIS:	Leptokurtic	Mesokurtic	Platykurtic	Mesokurtic	Leptokurtic	Platykurtic	Leptokurtic
MODE 1 (µm):	170,2	195,5	195,5	32,44	170,2	42,76	16,26	
MODE 2 (µm):			32,44			129,1	170,2	
MODE 3 (µm):								
MODE 1 (φ):	2,558	2,359	2,359	4,950	2,558	4,551	5,946	
MODE 2 (φ):			4,950			2,957	2,558	
MODE 3 (φ):								
D ₁₀ (µm):	8,343	6,133	2,809	2,585	8,071	2,905	2,311	
D ₂₀ (µm):	108,3	103,0	32,66	21,71	105,0	33,08	15,04	
D ₃₀ (µm):	298,1	319,8	249,1	97,16	278,8	206,2	113,9	
(D ₃₀ / D ₁₀) (µm):	35,72	52,14	88,67	37,59	34,54	71,00	49,30	
(D ₃₀ - D ₁₀) (µm):	289,7	313,6	246,3	94,57	270,7	203,3	111,6	
(D ₇₅ / D ₂₅) (µm):	5,508	8,004	14,67	6,690	5,351	11,61	6,302	
(D ₇₅ - D ₂₅) (µm):	163,3	185,6	113,7	41,13	154,7	93,73	30,94	
D ₁₀ (φ):	1,746	1,645	2,005	3,364	1,843	2,278	3,134	
D ₂₀ (φ):	3,207	3,280	4,936	5,526	3,252	4,918	6,055	
D ₃₀ (φ):	6,905	7,349	8,476	8,596	6,953	8,427	8,758	
(D ₃₀ / D ₁₀) (φ):	3,954	4,468	4,227	2,556	3,773	3,700	2,794	
(D ₃₀ - D ₁₀) (φ):	5,159	5,704	6,470	5,232	5,110	6,150	5,623	
(D ₇₅ / D ₂₅) (φ):	2,059	2,341	2,277	1,627	2,011	2,077	1,557	
(D ₇₅ - D ₂₅) (φ):	2,462	3,001	3,875	2,742	2,420	3,537	2,656	
% GRAVEL:	0,0%	0,0%	0,0%	0,0%	0,0%	0,0%	0,0%	
% SAND:	65,0%	60,3%	37,1%	18,1%	64,4%	35,7%	15,7%	
% MUD:	35,0%	39,7%	62,9%	81,9%	35,6%	64,2%	84,3%	
% V COARSE GRAVEL:	0,0%	0,0%	0,0%	0,0%	0,0%	0,0%	0,0%	
% COARSE GRAVEL:	0,0%	0,0%	0,0%	0,0%	0,0%	0,0%	0,0%	
% MEDIUM GRAVEL:	0,0%	0,0%	0,0%	0,0%	0,0%	0,0%	0,0%	
% FINE GRAVEL:	0,0%	0,0%	0,0%	0,0%	0,0%	0,0%	0,0%	
% V FINE GRAVEL:	0,0%	0,0%	0,0%	0,0%	0,0%	0,0%	0,0%	
% V COARSE SAND:	0,0%	0,0%	0,8%	0,0%	0,0%	1,0%	0,0%	
% COARSE SAND:	1,0%	1,5%	0,7%	0,1%	0,4%	0,3%	0,4%	
% MEDIUM SAND:	14,8%	17,0%	8,5%	2,2%	13,4%	5,4%	3,3%	
% FINE SAND:	28,9%	26,1%	14,6%	4,8%	29,6%	13,9%	5,5%	
% V FINE SAND:	20,3%	15,7%	12,6%	10,9%	21,0%	15,1%	6,4%	
% V COARSE SILT:	12,2%	12,1%	13,8%	20,7%	12,6%	15,5%	13,2%	
% COARSE SILT:	7,9%	9,3%	13,4%	19,9%	8,1%	14,0%	19,9%	
% MEDIUM SILT:	5,3%	6,4%	11,7%	14,8%	5,1%	11,7%	19,4%	
% FINE SILT:	4,0%	4,9%	10,1%	11,3%	4,0%	9,7%	14,3%	
% V FINE SILT:	2,9%	3,6%	7,5%	8,0%	2,9%	7,1%	9,4%	
% CLAY:	2,7%	3,4%	6,4%	7,1%	2,8%	6,3%	8,1%	

		27-2 11-12	27-2 12-13	27-2 13-14	27-2 14-15	27-2 15-16	27-2 16-17	27-2 17-18
ANALYST AND DATE:								
SIEVING ERROR:								
SAMPLE TYPE:		Bimodal, Very Poorly Sorted	Bimodal, Very Poorly Sorted	Unimodal, Poorly Sorted	Unimodal, Very Poorly Sorted	Unimodal, Very Poorly Sorted	Unimodal, Poorly Sorted	Unimodal, Poorly Sorted
TEXTURAL GROUP:		Slightly Gravelly Sandy Mud	Sandy Mud	Slightly Gravelly Muddy Sand	Muddy Sand	Muddy Sand	Muddy Sand	Muddy Sand
SEDIMENT NAME:		Very Fine Gravelly Fine Sandy Me	Fine Sandy Medium Silt	ry Fine Gravelly Very Coarse Silty	Very Coarse Silty Fine Sand	Very Coarse Silty Fine Sand	Very Coarse Silty Fine Sand	Very Coarse Silty Fine Sand
METHOD OF MOMENTS Arithmetic (µm)	MEAN	52,32	80,96	137,6	105,4	125,1	141,7	170,7
	SORTING	148,9	109,5	144,7	95,29	109,9	114,5	135,6
	SKEWNESS	7,650	1,849	4,135	1,229	0,982	0,821	0,799
	KURTOSIS	74,37	6,388	35,87	4,676	3,624	3,243	3,218
METHOD OF MOMENTS Geometric (µm)	MEAN	15,31	27,33	74,45	54,09	63,74	77,82	95,33
	SORTING	4,323	5,245	4,029	4,310	4,405	4,152	4,101
	SKEWNESS	0,326	-0,158	-1,244	-1,053	-1,078	-1,289	-1,358
	KURTOSIS	3,220	2,119	4,287	3,415	3,471	4,098	4,374
METHOD OF MOMENTS Logarithmic (φ)	MEAN	6,030	5,193	3,748	4,208	3,972	3,684	3,391
	SORTING	2,112	2,391	2,010	2,108	2,139	2,054	2,036
	SKEWNESS	-0,326	0,158	1,244	1,053	1,078	1,289	1,358
	KURTOSIS	3,220	2,119	4,287	3,415	3,471	4,098	4,374
FOLK AND WARD METHOD (µm)	MEAN	14,75	28,05	78,89	56,57	68,35	84,47	104,5
	SORTING	4,295	5,510	3,765	4,233	4,260	3,907	3,800
	SKEWNESS	0,060	0,035	-0,440	-0,453	-0,475	-0,494	-0,495
	KURTOSIS	1,206	0,787	1,354	1,061	1,018	1,167	1,200
FOLK AND WARD METHOD (φ)	MEAN	6,083	5,156	3,664	4,144	3,871	3,565	3,258
	SORTING	2,103	2,462	1,913	2,082	2,091	1,966	1,926
	SKEWNESS	-0,060	-0,035	0,440	0,453	0,475	0,494	0,495
	KURTOSIS	1,206	0,787	1,354	1,061	1,018	1,167	1,200
FOLK AND WARD METHOD (Description)	MEAN:	Medium Silt	Coarse Silt	Very Fine Sand	Very Coarse Silt	Very Fine Sand	Very Fine Sand	Very Fine Sand
	SORTING:	Very Poorly Sorted	Very Poorly Sorted	Poorly Sorted	Very Poorly Sorted	Very Poorly Sorted	Poorly Sorted	Poorly Sorted
	SKEWNESS:	Symmetrical	Symmetrical	Very Fine Skewed	Very Fine Skewed	Very Fine Skewed	Very Fine Skewed	Very Fine Skewed
	KURTOSIS:	Leptokurtic	Platykurtic	Leptokurtic	Mesokurtic	Mesokurtic	Leptokurtic	Leptokurtic
MODE 1 (µm):	16,26	14,16	148,3					
MODE 2 (µm):	195,5	170,2						
MODE 3 (µm):								
MODE 1 (φ):	5,946	6,146	2,757	2,957	2,558	2,359	2,159	
MODE 2 (φ):	2,359	2,558						
MODE 3 (φ):								
D ₁₀ (µm):	2,413	2,950	8,572	5,414	6,415	8,494	11,08	
D ₂₀ (µm):	14,37	24,89	109,2	85,17	104,6	124,3	151,4	
D ₃₀ (µm):	126,3	241,3	281,9	235,1	278,7	302,2	359,0	
(D ₃₀ / D ₁₀) (µm):	52,32	81,81	32,89	43,43	43,44	35,58	32,40	
(D ₃₀ - D ₁₀) (µm):	123,8	238,4	273,4	229,7	272,2	293,7	348,0	
(D ₇₅ / D ₂₅) (µm):	5,562	15,25	4,080	6,272	6,872	5,156	4,869	
(D ₇₅ - D ₂₅) (µm):	27,50	115,6	140,5	130,9	162,5	170,6	201,9	
D ₁₀ (φ):	2,986	2,051	1,827	2,088	1,843	1,726	1,478	
D ₂₀ (φ):	6,121	5,329	3,195	3,553	3,257	3,008	2,724	
D ₃₀ (φ):	8,695	8,405	6,866	7,529	7,284	6,879	6,496	
(D ₃₀ / D ₁₀) (φ):	2,912	4,098	3,759	3,605	3,951	3,985	4,396	
(D ₃₀ - D ₁₀) (φ):	5,709	6,354	5,040	5,441	5,441	5,153	5,018	
(D ₇₅ / D ₂₅) (φ):	1,505	2,304	1,836	1,987	2,161	2,056	2,155	
(D ₇₅ - D ₂₅) (φ):	2,476	3,931	2,029	2,649	2,781	2,366	2,284	
% GRAVEL:	0,0%	0,0%	0,0%	0,0%	0,0%	0,0%	0,0%	
% SAND:	15,5%	35,8%	69,0%	59,4%	62,8%	68,8%	72,4%	
% MUD:	84,4%	64,2%	30,9%	40,6%	37,2%	31,2%	27,6%	
% V COARSE GRAVEL:	0,0%	0,0%	0,0%	0,0%	0,0%	0,0%	0,0%	
% COARSE GRAVEL:	0,0%	0,0%	0,0%	0,0%	0,0%	0,0%	0,0%	
% MEDIUM GRAVEL:	0,0%	0,0%	0,0%	0,0%	0,0%	0,0%	0,0%	
% FINE GRAVEL:	0,0%	0,0%	0,0%	0,0%	0,0%	0,0%	0,0%	
% V FINE GRAVEL:	0,0%	0,0%	0,0%	0,0%	0,0%	0,0%	0,0%	
% V COARSE SAND:	0,8%	0,0%	0,4%	0,0%	0,0%	0,0%	0,0%	
% COARSE SAND:	0,2%	0,7%	1,3%	0,2%	0,4%	0,5%	2,2%	
% MEDIUM SAND:	3,1%	8,6%	11,8%	8,2%	13,3%	16,8%	23,6%	
% FINE SAND:	5,9%	15,5%	30,2%	26,2%	29,6%	32,4%	31,4%	
% V FINE SAND:	5,5%	11,0%	25,3%	24,9%	19,4%	19,0%	15,2%	
% V COARSE SILT:	11,1%	9,9%	10,5%	12,6%	10,5%	9,7%	9,0%	
% COARSE SILT:	20,6%	14,8%	6,2%	8,3%	8,8%	7,2%	6,3%	
% MEDIUM SILT:	21,4%	15,3%	4,9%	6,7%	6,4%	4,9%	4,2%	
% FINE SILT:	14,6%	11,0%	3,8%	5,3%	4,8%	3,8%	3,3%	
% V FINE SILT:	9,0%	7,1%	2,9%	4,0%	3,4%	2,9%	2,4%	
% CLAY:	7,7%	6,1%	2,7%	3,7%	3,3%	2,8%	2,3%	

		27-2 18-19	27-2 19-20	27-2 21-22	27-2 22-23	27-2 23-24	27-2 24-25	27-2 25-26
ANALYST AND DATE:								
SIEVING ERROR:								
SAMPLE TYPE:		Unimodal, Poorly Sorted	Unimodal, Very Poorly Sorted	Unimodal, Very Poorly Sorted	Unimodal, Very Poorly Sorted	Bimodal, Very Poorly Sorted	Unimodal, Poorly Sorted	Bimodal, Very Poorly Sorted
TEXTURAL GROUP:		Muddy Sand	Muddy Sand	Sandy Mud	Slightly Gravelly Sandy Mud	Sandy Mud	Mud	Sandy Mud
SEDIMENT NAME:		Very Coarse Silty Fine Sand	Very Coarse Silty Fine Sand	Fine Sandy Very Coarse Silt	Very Fine Gravelly Very Fine Sandy	Very Fine Sandy Coarse Silt	Medium Silt	Fine Sandy Coarse Silt
METHOD OF MOMENTS Arithmetic (µm)	MEAN	195,5	159,4	109,1	55,21	62,79	24,16	90,25
	SORTING	136,5	130,9	121,0	164,3	119,4	36,69	127,7
	SKEWNESS	0,818	0,914	1,392	7,264	4,301	3,894	1,806
	KURTOSIS	3,659	3,550	4,616	62,20	30,84	24,23	5,775
METHOD OF MOMENTS Geometric (µm)	MEAN	125,0	86,36	42,77	16,49	18,32	10,66	26,92
	SORTING	3,550	4,255	5,308	4,496	5,190	3,836	5,804
	SKEWNESS	-1,844	-1,306	-0,585	0,061	0,053	-0,088	-0,127
	KURTOSIS	6,447	4,132	2,369	3,028	2,376	2,424	2,071
METHOD OF MOMENTS Logarithmic (φ)	MEAN	3,000	3,533	4,547	5,922	5,770	6,552	5,215
	SORTING	1,828	2,089	2,408	2,169	2,376	1,940	2,537
	SKEWNESS	1,844	1,306	0,585	-0,061	-0,053	0,088	0,127
	KURTOSIS	6,447	4,132	2,369	3,028	2,376	2,424	2,071
FOLK AND WARD METHOD (µm)	MEAN	146,9	93,32	44,27	16,04	18,49	10,63	28,29
	SORTING	3,010	4,007	5,469	4,369	5,549	3,946	6,319
	SKEWNESS	-0,436	-0,492	-0,297	-0,114	0,016	-0,058	0,005
	KURTOSIS	1,696	1,226	0,817	0,935	0,955	0,891	0,777
FOLK AND WARD METHOD (φ)	MEAN	2,767	3,422	4,498	5,962	5,757	6,555	5,144
	SORTING	1,590	2,003	2,451	2,127	2,472	1,980	2,660
	SKEWNESS	0,436	0,492	0,297	0,114	-0,016	0,058	-0,005
	KURTOSIS	1,696	1,226	0,817	0,935	0,955	0,891	0,777
FOLK AND WARD METHOD (Description)	MEAN:	Fine Sand	Very Fine Sand	Very Coarse Silt	Coarse Silt	Coarse Silt	Medium Silt	Coarse Silt
	SORTING:	Poorly Sorted	Very Poorly Sorted	Very Poorly Sorted	Very Poorly Sorted	Very Poorly Sorted	Poorly Sorted	Very Poorly Sorted
	SKEWNESS:	Very Fine Skewed	Very Fine Skewed	Fine Skewed	Fine Skewed	Symmetrical	Symmetrical	Symmetrical
	KURTOSIS:	Very Leptokurtic	Leptokurtic	Platykurtic	Mesokurtic	Mesokurtic	Platykurtic	Platykurtic
MODE 1 (µm):	224,4	195,5	195,5	32,44	28,25	14,16	257,7	
MODE 2 (µm):					224,4		28,25	
MODE 3 (µm):								
MODE 1 (φ):	2,159	2,359	2,359	4,950	5,149	6,146	1,960	
MODE 2 (φ):					2,159		5,149	
MODE 3 (φ):								
D ₁₀ (µm):	22,15	8,847	3,516	2,158	2,036	1,706	2,454	
D ₂₀ (µm):	176,5	137,9	61,27	18,18	18,24	11,20	26,33	
D ₃₀ (µm):	381,1	341,7	286,1	95,74	190,9	59,02	287,6	
(D ₃₀ / D ₁₀) (µm):	17,20	38,62	81,36	44,37	93,79	34,60	117,2	
(D ₃₀ - D ₁₀) (µm):	359,0	332,8	282,6	93,58	188,9	57,31	285,1	
(D ₇₅ / D ₂₅) (µm):	2,842	4,944	13,81	8,085	10,39	7,411	18,71	
(D ₇₅ - D ₂₅) (µm):	176,9	188,3	159,8	40,43	51,21	25,38	125,2	
D ₁₀ (φ):	1,392	1,549	1,806	3,385	2,389	4,083	1,798	
D ₂₀ (φ):	2,502	2,859	4,029	5,781	5,776	6,480	5,247	
D ₃₀ (φ):	5,496	6,821	8,152	8,856	8,940	9,195	8,671	
(D ₃₀ / D ₁₀) (φ):	3,949	4,403	4,515	2,617	3,742	2,252	4,822	
(D ₃₀ - D ₁₀) (φ):	4,105	5,271	6,346	5,472	6,551	5,113	6,873	
(D ₇₅ / D ₂₅) (φ):	1,804	2,107	2,493	1,679	1,815	1,568	2,448	
(D ₇₅ - D ₂₅) (φ):	1,507	2,306	3,788	3,015	3,377	2,890	4,226	
% GRAVEL:	0,0%	0,0%	0,0%	0,0%	0,0%	0,0%	0,0%	
% SAND:	82,6%	71,2%	49,6%	17,7%	23,3%	9,1%	34,2%	
% MUD:	17,4%	28,8%	50,4%	82,3%	76,7%	90,9%	65,8%	
% V COARSE GRAVEL:	0,0%	0,0%	0,0%	0,0%	0,0%	0,0%	0,0%	
% COARSE GRAVEL:	0,0%	0,0%	0,0%	0,0%	0,0%	0,0%	0,0%	
% MEDIUM GRAVEL:	0,0%	0,0%	0,0%	0,0%	0,0%	0,0%	0,0%	
% FINE GRAVEL:	0,0%	0,0%	0,0%	0,0%	0,0%	0,0%	0,0%	
% V FINE GRAVEL:	0,0%	0,0%	0,0%	0,0%	0,0%	0,0%	0,0%	
% V COARSE SAND:	0,0%	0,0%	0,0%	1,1%	0,2%	0,0%	0,0%	
% COARSE SAND:	3,1%	1,8%	1,0%	0,7%	1,0%	0,0%	1,5%	
% MEDIUM SAND:	26,8%	20,5%	12,7%	1,0%	5,6%	0,5%	11,5%	
% FINE SAND:	36,6%	31,4%	20,7%	4,0%	7,8%	1,9%	12,8%	
% V FINE SAND:	16,1%	17,4%	15,3%	11,0%	8,7%	6,7%	8,5%	
% V COARSE SILT:	5,5%	8,7%	11,9%	17,9%	14,2%	14,4%	12,2%	
% COARSE SILT:	3,4%	6,2%	10,4%	18,1%	15,9%	17,9%	14,1%	
% MEDIUM SILT:	2,6%	4,6%	9,1%	15,2%	14,7%	18,0%	12,7%	
% FINE SILT:	2,3%	3,7%	7,9%	12,7%	12,5%	16,0%	10,9%	
% V FINE SILT:	1,8%	2,8%	5,9%	9,6%	9,8%	12,7%	8,3%	
% CLAY:	1,8%	2,7%	5,1%	8,8%	9,5%	12,0%	7,6%	

		27-2 26-27	27-2 27-28	27-2 28-29	27-2 29-30	27-2 30-31	27-2 31-32	27-2 32-33
ANALYST AND DATE:								
SIEVING ERROR:								
SAMPLE TYPE:		Unimodal, Very Poorly Sorted	Unimodal, Very Poorly Sorted	Unimodal, Very Poorly Sorted	Unimodal, Very Poorly Sorted	Unimodal, Very Poorly Sorted	Unimodal, Very Poorly Sorted	Unimodal, Poorly Sorted
TEXTURAL GROUP:		Sandy Mud	Sandy Mud	Muddy Sand	Muddy Sand	Sandy Mud	Sandy Mud	Sandy Mud
SEDIMENT NAME:		Very Fine Sandy Very Coarse Silt	Very Fine Sandy Very Coarse Silt	Very Coarse Silty Fine Sand	Very Coarse Silty Very Fine Sand	Very Fine Sandy Coarse Silt	Very Fine Sandy Very Coarse Silt	Very Fine Sandy Medium Silt
METHOD OF MOMENTS Arithmetic (µm)	MEAN	66,89	69,77	111,9	95,51	37,52	37,22	25,73
	SORTING	92,35	81,12	118,0	90,79	63,12	52,61	39,89
	SKEWNESS	2,682	1,750	1,384	1,407	3,669	3,781	4,849
	KURTOSIS	12,62	6,317	4,688	5,277	19,98	24,90	39,86
METHOD OF MOMENTS Geometric (µm)	MEAN	25,67	29,48	48,67	48,22	14,16	16,42	11,40
	SORTING	4,804	4,662	4,863	4,292	4,296	4,071	3,851
	SKEWNESS	-0,338	-0,502	-0,726	-0,971	-0,019	-0,294	-0,123
	KURTOSIS	2,361	2,426	2,722	3,270	2,451	2,457	2,426
METHOD OF MOMENTS Logarithmic (φ)	MEAN	5,284	5,084	4,361	4,374	6,142	5,928	6,455
	SORTING	2,264	2,221	2,282	2,102	2,103	2,025	1,945
	SKEWNESS	0,338	0,502	0,726	0,971	0,019	0,294	0,123
	KURTOSIS	2,361	2,426	2,722	3,270	2,451	2,457	2,426
FOLK AND WARD METHOD (µm)	MEAN	26,15	30,45	51,02	50,07	14,09	16,61	11,44
	SORTING	4,998	4,827	4,943	4,270	4,431	4,157	3,966
	SKEWNESS	-0,154	-0,219	-0,329	-0,412	-0,020	-0,151	-0,063
	KURTOSIS	0,870	0,860	0,896	1,055	0,920	0,880	0,883
FOLK AND WARD METHOD (φ)	MEAN	5,257	5,037	4,293	4,320	6,149	5,912	6,449
	SORTING	2,321	2,271	2,305	2,094	2,148	2,055	1,988
	SKEWNESS	0,154	0,219	0,329	0,412	0,020	0,151	0,063
	KURTOSIS	0,870	0,860	0,896	1,055	0,920	0,880	0,883
FOLK AND WARD METHOD (Description)	MEAN:	Coarse Silt	Coarse Silt	Very Coarse Silt	Very Coarse Silt	Medium Silt	Coarse Silt	Medium Silt
	SORTING:	Very Poorly Sorted	Very Poorly Sorted	Very Poorly Sorted	Very Poorly Sorted	Very Poorly Sorted	Very Poorly Sorted	Poorly Sorted
	SKEWNESS:	Fine Skewed	Fine Skewed	Very Fine Skewed	Very Fine Skewed	Symmetrical	Fine Skewed	Symmetrical
	KURTOSIS:	Platykurtic	Platykurtic	Platykurtic	Mesokurtic	Mesokurtic	Platykurtic	Platykurtic
MODE 1 (µm):	85,32	112,5	170,2	112,5	24,61	42,76	12,33	
MODE 2 (µm):								
MODE 3 (µm):								
MODE 1 (φ):	3,554	3,156	2,558	3,156	5,348	4,551	6,345	
MODE 2 (φ):								
MODE 3 (φ):								
D ₁₀ (µm):	2,746	3,093	4,498	4,903	2,032	2,278	1,798	
D ₂₀ (µm):	30,63	37,53	70,81	72,76	14,47	19,07	12,01	
D ₃₀ (µm):	176,8	183,4	282,6	219,7	93,79	90,01	63,63	
(D ₃₀ / D ₁₀) (µm):	64,38	59,31	62,84	44,81	46,16	39,51	35,38	
(D ₃₀ - D ₁₀) (µm):	174,0	180,3	278,1	214,8	91,76	87,73	61,83	
(D ₇₅ / D ₂₅) (µm):	10,88	10,49	10,13	6,361	8,460	8,169	7,524	
(D ₇₅ - D ₂₅) (µm):	80,43	93,33	154,9	117,4	36,24	42,63	27,80	
D ₁₀ (φ):	2,500	2,447	1,823	2,186	3,414	3,474	3,974	
D ₂₀ (φ):	5,029	4,736	3,820	3,781	6,111	5,712	6,380	
D ₃₀ (φ):	8,508	8,337	7,797	7,672	8,943	8,778	9,119	
(D ₃₀ / D ₁₀) (φ):	3,404	3,407	4,277	3,509	2,619	2,527	2,295	
(D ₃₀ - D ₁₀) (φ):	6,009	5,890	5,974	5,486	5,529	5,304	5,145	
(D ₇₅ / D ₂₅) (φ):	1,985	2,035	2,315	1,938	1,669	1,694	1,587	
(D ₇₅ - D ₂₅) (φ):	3,444	3,391	3,340	2,669	3,081	3,030	2,912	
% GRAVEL:	0,0%	0,0%	0,0%	0,0%	0,0%	0,0%	0,0%	
% SAND:	33,6%	38,2%	52,8%	54,8%	16,4%	18,2%	10,3%	
% MUD:	66,4%	61,8%	47,2%	45,2%	83,6%	81,8%	89,7%	
% V COARSE GRAVEL:	0,0%	0,0%	0,0%	0,0%	0,0%	0,0%	0,0%	
% COARSE GRAVEL:	0,0%	0,0%	0,0%	0,0%	0,0%	0,0%	0,0%	
% MEDIUM GRAVEL:	0,0%	0,0%	0,0%	0,0%	0,0%	0,0%	0,0%	
% FINE GRAVEL:	0,0%	0,0%	0,0%	0,0%	0,0%	0,0%	0,0%	
% V FINE GRAVEL:	0,0%	0,0%	0,0%	0,0%	0,0%	0,0%	0,0%	
% V COARSE SAND:	0,0%	0,0%	0,0%	0,0%	0,0%	0,0%	0,0%	
% COARSE SAND:	0,6%	0,0%	0,9%	0,2%	0,1%	0,1%	0,0%	
% MEDIUM SAND:	4,5%	4,4%	12,4%	6,8%	2,1%	1,0%	0,6%	
% FINE SAND:	11,7%	15,3%	21,7%	22,3%	4,6%	4,0%	1,7%	
% V FINE SAND:	16,8%	18,6%	17,7%	25,6%	9,6%	13,1%	8,1%	
% V COARSE SILT:	16,0%	15,7%	13,0%	15,2%	15,1%	19,1%	15,3%	
% COARSE SILT:	13,9%	13,4%	10,3%	9,0%	16,8%	17,3%	17,6%	
% MEDIUM SILT:	12,2%	11,2%	8,4%	7,0%	16,2%	15,0%	17,7%	
% FINE SILT:	10,2%	9,0%	6,6%	5,7%	15,0%	12,7%	15,8%	
% V FINE SILT:	7,5%	6,6%	4,6%	4,3%	11,1%	9,4%	12,1%	
% CLAY:	6,7%	5,9%	4,2%	4,0%	9,5%	8,2%	11,1%	

		27-2 33-34	27-2 34-35	27-2 36-37	27-2 37-38	27-2 38-39	27-2 39-40	27-2 40-41
ANALYST AND DATE:								
SIEVING ERROR:								
SAMPLE TYPE:		Unimodal, Poorly Sorted	Unimodal, Poorly Sorted	Unimodal, Very Poorly Sorted	Unimodal, Very Poorly Sorted	Bimodal, Very Poorly Sorted	Bimodal, Poorly Sorted	Unimodal, Very Poorly Sorted
TEXTURAL GROUP:		Mud	Mud	Sandy Mud	Slightly Gravelly Sandy Mud	Sandy Mud	Muddy Sand	Muddy Sand
SEDIMENT NAME:		Medium Silt	Medium Silt	Very Fine Sandy Coarse Silt	Very Fine Gravelly Very Fine Sandy	Very Fine Sandy Very Coarse Silt	Very Coarse Silty Fine Sand	Very Coarse Silty Fine Sand
METHOD OF MOMENTS Arithmetic (µm)	MEAN	22,84	19,54	33,81	52,91	100,2	169,2	132,8
	SORTING	35,36	32,89	53,42	163,2	114,5	139,6	124,6
	SKEWNESS	4,446	6,413	3,704	7,035	1,715	0,812	0,971
	KURTOSIS	34,04	66,01	21,26	59,14	5,928	3,084	3,338
METHOD OF MOMENTS Geometric (µm)	MEAN	10,03	9,066	13,77	15,55	44,17	92,90	60,26
	SORTING	3,813	3,570	4,132	4,306	4,563	4,063	4,960
	SKEWNESS	-0,039	-0,041	-0,105	0,166	-0,653	-1,231	-0,898
	KURTOSIS	2,375	2,535	2,438	3,332	2,855	4,088	2,881
METHOD OF MOMENTS Logarithmic (φ)	MEAN	6,639	6,785	6,182	6,007	4,501	3,428	4,053
	SORTING	1,931	1,836	2,047	2,106	2,190	2,022	2,310
	SKEWNESS	0,039	0,041	0,105	-0,166	0,653	1,231	0,898
	KURTOSIS	2,375	2,535	2,438	3,332	2,855	4,088	2,881
FOLK AND WARD METHOD (µm)	MEAN	10,02	9,045	13,70	14,89	46,26	104,1	63,07
	SORTING	3,961	3,655	4,261	4,076	4,707	3,778	4,969
	SKEWNESS	-0,030	-0,048	-0,069	-0,108	-0,211	-0,460	-0,461
	KURTOSIS	0,887	0,900	0,912	0,978	0,988	1,073	0,927
FOLK AND WARD METHOD (φ)	MEAN	6,640	6,789	6,190	6,070	4,434	3,264	3,987
	SORTING	1,986	1,870	2,091	2,027	2,235	1,918	2,313
	SKEWNESS	0,030	0,048	0,069	0,108	0,211	0,460	0,461
	KURTOSIS	0,887	0,900	0,912	0,978	0,988	1,073	0,927
FOLK AND WARD METHOD (Description)	MEAN:	Medium Silt	Medium Silt	Medium Silt	Medium Silt	Very Coarse Silt	Very Fine Sand	Very Fine Sand
	SORTING:	Poorly Sorted	Poorly Sorted	Very Poorly Sorted	Very Poorly Sorted	Very Poorly Sorted	Poorly Sorted	Very Poorly Sorted
	SKEWNESS:	Symmetrical	Symmetrical	Symmetrical	Fine Skewed	Fine Skewed	Very Fine Skewed	Very Fine Skewed
	KURTOSIS:	Platykurtic	Mesokurtic	Mesokurtic	Mesokurtic	Mesokurtic	Mesokurtic	Mesokurtic
MODE 1 (µm):	10,74	10,74	28,25	28,25	56,37	224,4	195,5	
MODE 2 (µm):					170,2	56,37		
MODE 3 (µm):								
MODE 1 (φ):	6,544	6,544	5,149	5,149	4,152	2,159	2,359	
MODE 2 (φ):					2,558	4,152		
MODE 3 (φ):								
D ₁₀ (µm):	1,635	1,620	1,975	2,210	4,658	11,87	4,786	
D ₂₀ (µm):	10,27	9,402	14,76	16,76	54,63	145,9	102,5	
D ₃₀ (µm):	57,81	46,24	83,20	79,31	266,1	366,2	312,1	
(D ₃₀ / D ₁₀) (µm):	35,36	28,54	42,12	35,89	57,12	30,85	65,21	
(D ₃₀ - D ₁₀) (µm):	56,17	44,62	81,23	77,10	261,4	354,3	307,3	
(D ₇₅ / D ₂₅) (µm):	7,444	6,513	8,059	6,938	8,019	5,737	9,409	
(D ₇₅ - D ₂₅) (µm):	23,91	19,73	34,47	34,39	126,5	213,1	187,7	
D ₁₀ (φ):	4,113	4,435	3,587	3,656	1,910	1,449	1,680	
D ₂₀ (φ):	6,606	6,733	6,083	5,899	4,194	2,777	3,286	
D ₃₀ (φ):	9,257	9,270	8,984	8,822	7,746	6,396	7,707	
(D ₃₀ / D ₁₀) (φ):	2,251	2,090	2,504	2,413	4,055	4,414	4,587	
(D ₃₀ - D ₁₀) (φ):	5,144	4,835	5,396	5,166	5,836	4,947	6,027	
(D ₇₅ / D ₂₅) (φ):	1,559	1,498	1,645	1,603	2,076	2,290	2,437	
(D ₇₅ - D ₂₅) (φ):	2,896	2,703	3,011	2,794	3,003	2,520	3,234	
% GRAVEL:	0,0%	0,0%	0,0%	0,0%	0,0%	0,0%	0,0%	
% SAND:	8,8%	5,6%	14,8%	14,2%	46,4%	69,1%	59,7%	
% MUD:	91,2%	94,4%	85,2%	85,8%	53,6%	30,9%	40,3%	
% V COARSE GRAVEL:	0,0%	0,0%	0,0%	0,0%	0,0%	0,0%	0,0%	
% COARSE GRAVEL:	0,0%	0,0%	0,0%	0,0%	0,0%	0,0%	0,0%	
% MEDIUM GRAVEL:	0,0%	0,0%	0,0%	0,0%	0,0%	0,0%	0,0%	
% FINE GRAVEL:	0,0%	0,0%	0,0%	0,0%	0,0%	0,0%	0,0%	
% V FINE GRAVEL:	0,0%	0,0%	0,0%	0,0%	0,0%	0,0%	0,0%	
% V COARSE SAND:	0,0%	0,0%	0,0%	1,0%	0,0%	0,0%	0,0%	
% COARSE SAND:	0,0%	0,0%	0,0%	1,1%	1,0%	2,4%	0,9%	
% MEDIUM SAND:	0,4%	0,4%	1,4%	1,2%	10,4%	24,2%	17,0%	
% FINE SAND:	1,5%	0,7%	3,9%	2,2%	17,2%	28,3%	26,6%	
% V FINE SAND:	6,9%	4,5%	9,4%	8,7%	17,7%	14,3%	15,2%	
% V COARSE SILT:	13,4%	12,3%	16,1%	18,0%	18,0%	11,8%	10,9%	
% COARSE SILT:	16,8%	17,7%	17,7%	19,6%	12,7%	7,3%	8,4%	
% MEDIUM SILT:	18,2%	19,6%	16,4%	16,9%	8,1%	4,2%	6,7%	
% FINE SILT:	16,7%	17,8%	14,2%	13,2%	6,2%	3,2%	6,0%	
% V FINE SILT:	13,3%	14,0%	10,9%	9,5%	4,5%	2,3%	4,5%	
% CLAY:	12,8%	13,0%	9,8%	8,6%	4,1%	2,1%	3,9%	

		27-2 42-43	27-2 43-44	27-2 44-45	27-2 45-46	27-2 46-47	27-2 47-48	27-2 48-49
ANALYST AND DATE:								
SIEVING ERROR:								
SAMPLE TYPE:		Unimodal, Very Poorly Sorted	Unimodal, Very Poorly Sorted	Unimodal, Poorly Sorted	Unimodal, Poorly Sorted	Unimodal, Very Poorly Sorted	Unimodal, Very Poorly Sorted	Unimodal, Very Poorly Sorted
TEXTURAL GROUP:		Sandy Mud	Sandy Mud	Mud	Sandy Mud	Sandy Mud	Sandy Mud	Slightly Gravelly Sandy Mud
SEDIMENT NAME:		Very Fine Sandy Very Coarse Silt	Very Fine Sandy Coarse Silt	Medium Silt	Very Fine Sandy Medium Silt	Very Fine Sandy Very Coarse Silt	Very Fine Sandy Very Coarse Silt	Fine Gravelly Very Fine Sandy Ve
METHOD OF MOMENTS Arithmetic (µm)	MEAN	63,54	44,58	19,62	29,09	71,35	47,07	98,98
	SORTING	79,64	69,94	44,90	50,12	93,74	64,38	201,2
	SKEWNESS	2,305	3,144	9,765	4,614	2,599	2,698	4,165
	KURTOSIS	9,526	14,98	123,2	32,66	12,41	12,25	24,36
METHOD OF MOMENTS Geometric (µm)	MEAN	27,79	17,21	9,806	12,40	28,39	19,75	27,94
	SORTING	4,355	4,376	3,071	3,758	4,773	4,299	5,311
	SKEWNESS	-0,487	-0,139	0,023	0,022	-0,413	-0,296	-0,027
	KURTOSIS	2,640	2,469	3,535	2,718	2,379	2,452	2,574
METHOD OF MOMENTS Logarithmic (φ)	MEAN	5,169	5,861	6,672	6,333	5,139	5,662	5,162
	SORTING	2,123	2,130	1,619	1,910	2,255	2,104	2,409
	SKEWNESS	0,487	0,139	-0,023	-0,022	0,413	0,296	0,027
	KURTOSIS	2,640	2,469	3,535	2,718	2,379	2,452	2,574
FOLK AND WARD METHOD (µm)	MEAN	28,46	17,12	9,718	12,37	29,02	20,07	27,89
	SORTING	4,531	4,591	2,980	3,834	4,927	4,465	5,542
	SKEWNESS	-0,192	-0,080	-0,089	0,002	-0,205	-0,126	-0,035
	KURTOSIS	0,971	0,972	1,061	1,002	0,863	0,916	0,991
FOLK AND WARD METHOD (φ)	MEAN	5,135	5,868	6,685	6,337	5,107	5,639	5,164
	SORTING	2,180	2,199	1,575	1,939	2,301	2,159	2,470
	SKEWNESS	0,192	0,080	0,089	-0,002	0,205	0,126	0,035
	KURTOSIS	0,971	0,972	1,061	1,002	0,863	0,916	0,991
FOLK AND WARD METHOD (Description)	MEAN:	Coarse Silt	Coarse Silt	Medium Silt	Medium Silt	Coarse Silt	Coarse Silt	Coarse Silt
	SORTING:	Very Poorly Sorted	Very Poorly Sorted	Poorly Sorted	Poorly Sorted	Very Poorly Sorted	Very Poorly Sorted	Very Poorly Sorted
	SKEWNESS:	Fine Skewed	Symmetrical	Symmetrical	Symmetrical	Fine Skewed	Fine Skewed	Symmetrical
	KURTOSIS:	Mesokurtic	Mesokurtic	Mesokurtic	Mesokurtic	Platykurtic	Mesokurtic	Mesokurtic
MODE 1 (µm):	42,76	28,25	12,33	10,74	85,32	37,24	42,76	
MODE 2 (µm):								
MODE 3 (µm):								
MODE 1 (φ):	4,551	5,149	6,345	6,544	3,554	4,750	4,551	
MODE 2 (φ):								
MODE 3 (φ):								
D ₁₀ (µm):	3,207	2,209	2,208	2,161	2,955	2,527	2,964	
D ₂₀ (µm):	33,94	18,86	10,34	12,32	35,89	22,62	29,55	
D ₃₀ (µm):	165,9	116,4	36,69	70,19	183,1	122,2	249,4	
(D ₃₀ / D ₁₀) (µm):	51,75	52,68	16,62	32,48	61,97	48,34	84,16	
(D ₃₀ - D ₁₀) (µm):	162,7	114,2	34,48	68,03	180,2	119,6	246,5	
(D ₇₅ / D ₂₅) (µm):	7,827	8,086	4,127	6,088	10,83	8,493	10,17	
(D ₇₅ - D ₂₅) (µm):	72,89	42,88	15,25	25,67	89,01	52,75	78,35	
D ₁₀ (φ):	2,591	3,103	4,769	3,833	2,449	3,033	2,003	
D ₂₀ (φ):	4,881	5,728	6,596	6,343	4,800	5,466	5,081	
D ₃₀ (φ):	8,285	8,822	8,823	8,854	8,403	8,628	8,398	
(D ₃₀ / D ₁₀) (φ):	3,197	2,843	1,850	2,310	3,431	2,845	4,192	
(D ₃₀ - D ₁₀) (φ):	5,693	5,719	4,055	5,022	5,954	5,595	6,395	
(D ₇₅ / D ₂₅) (φ):	1,829	1,693	1,363	1,519	2,026	1,759	1,949	
(D ₇₅ - D ₂₅) (φ):	2,968	3,015	2,045	2,606	3,437	3,086	3,346	
% GRAVEL:	0,0%	0,0%	0,0%	0,0%	0,0%	0,0%	0,0%	
% SAND:	32,7%	19,7%	4,0%	11,6%	37,1%	23,9%	31,9%	
% MUD:	67,3%	80,3%	96,0%	88,4%	62,9%	76,1%	68,1%	
% V COARSE GRAVEL:	0,0%	0,0%	0,0%	0,0%	0,0%	0,0%	0,0%	
% COARSE GRAVEL:	0,0%	0,0%	0,0%	0,0%	0,0%	0,0%	0,0%	
% MEDIUM GRAVEL:	0,0%	0,0%	0,0%	0,0%	0,0%	0,0%	0,0%	
% FINE GRAVEL:	0,0%	0,0%	0,0%	0,0%	0,0%	0,0%	0,0%	
% V FINE GRAVEL:	0,0%	0,0%	0,0%	0,0%	0,0%	0,0%	0,0%	
% V COARSE SAND:	0,0%	0,0%	0,0%	0,0%	0,0%	0,0%	1,3%	
% COARSE SAND:	0,2%	0,1%	0,3%	0,1%	0,7%	0,0%	3,3%	
% MEDIUM SAND:	4,0%	2,8%	0,4%	1,0%	4,6%	2,2%	5,4%	
% FINE SAND:	11,4%	6,2%	0,7%	3,1%	13,3%	7,4%	8,8%	
% V FINE SAND:	17,2%	10,6%	2,6%	7,5%	18,6%	14,3%	13,1%	
% V COARSE SILT:	19,5%	16,7%	9,0%	13,0%	15,7%	17,9%	16,8%	
% COARSE SILT:	16,2%	18,3%	20,9%	18,2%	12,9%	16,9%	15,1%	
% MEDIUM SILT:	11,2%	15,4%	26,5%	20,8%	11,5%	14,4%	12,8%	
% FINE SILT:	8,4%	12,1%	19,7%	16,8%	9,5%	11,4%	10,3%	
% V FINE SILT:	6,3%	9,1%	11,3%	10,8%	7,0%	8,2%	7,1%	
% CLAY:	5,7%	8,6%	8,5%	8,7%	6,1%	7,3%	6,1%	

		27-2 49-50	27-2 50-51	27-2 51-52	27-2 53-54	27-2 54-55	27-2 55-56	27-2 56-57
ANALYST AND DATE:								
SIEVING ERROR:								
SAMPLE TYPE:		Unimodal, Poorly Sorted	Unimodal, Very Poorly Sorted	Unimodal, Very Poorly Sorted	Bimodal, Very Poorly Sorted	Unimodal, Very Poorly Sorted	Unimodal, Poorly Sorted	Bimodal, Very Poorly Sorted
TEXTURAL GROUP:		Muddy Sand	Sandy Mud	Slightly Gravelly Sandy Mud	Sandy Mud	Sandy Mud	Mud	Sandy Mud
SEDIMENT NAME:		Very Coarse Silty Fine Sand	Very Fine Sandy Coarse Silt	Very Fine Gravelly Very Fine Sandy Silt	Fine Sandy Medium Silt	Very Fine Sandy Medium Silt	Medium Silt	Fine Sandy Medium Silt
METHOD OF MOMENTS Arithmetic (µm)	MEAN	149,5	56,23	62,95	37,69	33,52	15,54	85,18
	SORTING	127,6	85,21	128,1	72,50	56,84	24,22	99,93
	SKEWNESS	1,070	2,486	6,885	3,596	3,152	6,828	1,622
	KURTOSIS	3,960	9,701	72,45	17,46	14,63	70,08	5,579
METHOD OF MOMENTS Geometric (µm)	MEAN	81,29	19,80	21,01	13,60	12,14	8,588	34,02
	SORTING	4,124	4,764	4,806	4,053	4,288	3,083	4,934
	SKEWNESS	-1,248	-0,086	-0,095	0,144	0,107	-0,312	-0,482
	KURTOSIS	4,107	2,316	2,472	3,157	2,543	3,217	2,434
METHOD OF MOMENTS Logarithmic (φ)	MEAN	3,621	5,658	5,572	6,200	6,364	6,864	4,877
	SORTING	2,044	2,252	2,265	2,019	2,100	1,624	2,303
	SKEWNESS	1,248	0,086	0,095	-0,144	-0,107	0,312	0,482
	KURTOSIS	4,107	2,316	2,472	3,157	2,543	3,217	2,434
FOLK AND WARD METHOD (µm)	MEAN	88,49	20,32	21,25	13,29	12,33	8,613	36,07
	SORTING	3,895	5,085	4,987	4,064	4,531	3,036	4,998
	SKEWNESS	-0,439	-0,004	-0,042	0,047	0,083	-0,179	-0,179
	KURTOSIS	1,204	0,915	0,903	1,330	1,025	1,076	0,833
FOLK AND WARD METHOD (φ)	MEAN	3,498	5,621	5,557	6,234	6,342	6,859	4,793
	SORTING	1,962	2,346	2,318	2,023	2,180	1,602	2,321
	SKEWNESS	0,439	0,004	0,042	-0,047	-0,083	0,179	0,179
	KURTOSIS	1,204	0,915	0,903	1,330	1,025	1,076	0,833
FOLK AND WARD METHOD (Description)	MEAN:	Very Fine Sand	Coarse Silt	Coarse Silt	Medium Silt	Medium Silt	Medium Silt	Very Coarse Silt
	SORTING:	Poorly Sorted	Very Poorly Sorted	Very Poorly Sorted	Very Poorly Sorted	Very Poorly Sorted	Poorly Sorted	Very Poorly Sorted
	SKEWNESS:	Very Fine Skewed	Symmetrical	Symmetrical	Symmetrical	Symmetrical	Fine Skewed	Fine Skewed
	KURTOSIS:	Leptokurtic	Mesokurtic	Mesokurtic	Leptokurtic	Mesokurtic	Mesokurtic	Platykurtic
MODE 1 (µm):	195,5	24,61	24,61	12,33	195,5	12,33	148,3	14,16
MODE 2 (µm):								
MODE 3 (µm):								
MODE 1 (φ):	2,359	5,348	5,348	6,345	6,743	6,345	2,757	6,146
MODE 2 (φ):				2,359				
MODE 3 (φ):								
D ₁₀ (µm):	9,092	2,410	2,485	2,284	1,823	1,748	3,712	
D ₂₀ (µm):	122,9	20,07	21,87	13,07	11,13	9,723	41,65	
D ₃₀ (µm):	327,7	169,0	160,3	96,58	95,10	31,11	228,4	
(D ₃₀ / D ₁₀) (µm):	36,05	70,14	64,52	42,28	52,17	17,79	61,52	
(D ₃₀ - D ₁₀) (µm):	318,6	166,6	157,8	94,30	93,28	29,36	224,7	
(D ₇₅ / D ₂₅) (µm):	4,958	10,03	10,11	4,766	7,208	4,135	12,19	
(D ₇₅ - D ₂₅) (µm):	175,8	57,47	62,05	22,65	28,24	13,83	120,0	
D ₁₀ (φ):	1,609	2,565	2,641	3,372	3,394	5,007	2,131	
D ₂₀ (φ):	3,024	5,639	5,515	6,258	6,490	6,684	4,586	
D ₃₀ (φ):	6,781	8,697	8,653	8,774	9,100	9,160	8,073	
(D ₃₀ / D ₁₀) (φ):	4,213	3,391	3,276	2,602	2,681	1,830	3,789	
(D ₃₀ - D ₁₀) (φ):	5,172	6,132	6,012	5,402	5,705	4,153	5,943	
(D ₇₅ / D ₂₅) (φ):	2,058	1,838	1,865	1,440	1,578	1,355	2,229	
(D ₇₅ - D ₂₅) (φ):	2,310	3,327	3,337	2,253	2,849	2,048	3,608	
% GRAVEL:	0,0%	0,0%	0,0%	0,0%	0,0%	0,0%	0,0%	0,0%
% SAND:	69,1%	25,4%	26,9%	13,2%	15,4%	2,5%	42,9%	
% MUD:	30,9%	74,6%	73,1%	86,8%	84,6%	97,5%	57,1%	
% V COARSE GRAVEL:	0,0%	0,0%	0,0%	0,0%	0,0%	0,0%	0,0%	
% COARSE GRAVEL:	0,0%	0,0%	0,0%	0,0%	0,0%	0,0%	0,0%	
% MEDIUM GRAVEL:	0,0%	0,0%	0,0%	0,0%	0,0%	0,0%	0,0%	
% FINE GRAVEL:	0,0%	0,0%	0,0%	0,0%	0,0%	0,0%	0,0%	
% V FINE GRAVEL:	0,0%	0,0%	0,0%	0,0%	0,0%	0,0%	0,0%	
% V COARSE SAND:	0,0%	0,0%	0,4%	0,0%	0,0%	0,0%	0,0%	
% COARSE SAND:	1,7%	0,2%	0,6%	0,2%	0,0%	0,0%	0,3%	
% MEDIUM SAND:	17,9%	4,8%	3,6%	3,2%	1,7%	0,2%	7,7%	
% FINE SAND:	29,7%	9,2%	9,3%	5,0%	5,4%	0,7%	18,2%	
% V FINE SAND:	19,7%	11,1%	12,9%	4,9%	8,3%	1,6%	16,6%	
% V COARSE SILT:	10,6%	14,3%	14,8%	9,9%	10,4%	7,4%	12,0%	
% COARSE SILT:	6,6%	16,1%	16,0%	20,5%	14,7%	20,9%	12,9%	
% MEDIUM SILT:	4,7%	15,2%	14,7%	24,3%	20,2%	27,5%	13,0%	
% FINE SILT:	3,7%	12,5%	11,7%	15,6%	17,6%	19,3%	8,9%	
% V FINE SILT:	2,8%	8,9%	8,4%	8,0%	10,9%	11,1%	5,1%	
% CLAY:	2,5%	7,7%	7,5%	8,5%	10,8%	11,4%	5,4%	

		27-2 58-59	27-2 59-60	27-2 60-61	27-2 61-62	27-2 62-63	27-2 65-66	27-2 66-67
ANALYST AND DATE:								
SIEVING ERROR:								
SAMPLE TYPE:		Unimodal, Poorly Sorted	Bimodal, Very Poorly Sorted	Unimodal, Very Poorly Sorted	Unimodal, Very Poorly Sorted	Unimodal, Very Poorly Sorted	Unimodal, Poorly Sorted	Bimodal, Very Poorly Sorted
TEXTURAL GROUP:		Sandy Mud	Sandy Mud	Sandy Mud	Sandy Mud	Sandy Mud	Mud	Sandy Mud
SEDIMENT NAME:		Very Fine Sandy Coarse Silt	Very Fine Sandy Medium Silt	Very Fine Sandy Very Coarse Silt	Very Fine Sandy Very Coarse Silt	Very Fine Sandy Very Coarse Silt	Medium Silt	Fine Sandy Medium Silt
METHOD OF MOMENTS Arithmetic (µm)	MEAN	32,29	45,33	38,59	65,92	44,87	17,75	39,81
	SORTING	46,60	66,61	52,78	94,90	49,77	24,62	83,92
	SKEWNESS	3,341	3,048	2,860	4,156	1,999	8,427	3,447
	KURTOSIS	17,18	15,68	14,87	28,79	8,909	105,5	15,36
METHOD OF MOMENTS Geometric (µm)	MEAN	15,74	18,59	16,08	27,77	21,46	11,09	12,65
	SORTING	3,540	4,214	4,298	4,488	4,076	2,859	4,157
	SKEWNESS	-0,347	-0,221	-0,240	-0,501	-0,540	-0,817	0,353
	KURTOSIS	3,424	2,723	2,320	2,686	2,557	4,424	3,431
METHOD OF MOMENTS Logarithmic (φ)	MEAN	5,989	5,749	5,959	5,170	5,542	6,495	6,305
	SORTING	1,824	2,075	2,104	2,166	2,027	1,515	2,056
	SKEWNESS	0,347	0,221	0,240	0,501	0,540	0,817	-0,353
	KURTOSIS	3,424	2,723	2,320	2,686	2,557	4,424	3,431
FOLK AND WARD METHOD (µm)	MEAN	16,45	19,73	16,31	28,55	22,23	11,77	11,89
	SORTING	3,499	4,330	4,481	4,474	4,154	2,666	4,033
	SKEWNESS	-0,043	0,021	-0,094	-0,251	-0,237	-0,239	0,078
	KURTOSIS	1,286	0,990	0,867	0,915	0,885	1,287	1,563
FOLK AND WARD METHOD (φ)	MEAN	5,926	5,664	5,938	5,130	5,491	6,409	6,394
	SORTING	1,807	2,114	2,164	2,162	2,055	1,415	2,012
	SKEWNESS	0,043	-0,021	0,094	0,251	0,237	0,239	-0,078
	KURTOSIS	1,286	0,990	0,867	0,915	0,885	1,287	1,563
FOLK AND WARD METHOD (Description)	MEAN:	Coarse Silt	Coarse Silt	Coarse Silt	Coarse Silt	Coarse Silt	Medium Silt	Medium Silt
	SORTING:	Poorly Sorted	Very Poorly Sorted	Very Poorly Sorted	Very Poorly Sorted	Very Poorly Sorted	Poorly Sorted	Very Poorly Sorted
	SKEWNESS:	Symmetrical	Symmetrical	Symmetrical	Fine Skewed	Fine Skewed	Fine Skewed	Symmetrical
	KURTOSIS:	Leptokurtic	Mesokurtic	Platykurtic	Mesokurtic	Platykurtic	Leptokurtic	Very Leptokurtic
MODE 1 (µm):	16,26	14,16	49,10	85,32	64,72	14,16	12,33	
MODE 2 (µm):		85,32					257,7	
MODE 3 (µm):								
MODE 1 (φ):	5,946	6,146	4,352	3,554	3,953	6,146	6,345	
MODE 2 (φ):		3,554					1,960	
MODE 3 (φ):								
D ₁₀ (µm):	3,154	2,853	2,087	3,149	2,759	2,736	2,224	
D ₂₀ (µm):	16,44	17,93	17,61	36,04	27,27	12,95	11,71	
D ₃₀ (µm):	79,99	123,7	101,6	151,0	110,6	33,35	109,4	
(D ₃₀ / D ₁₀) (µm):	25,36	43,37	48,66	47,97	40,09	12,19	49,20	
(D ₃₀ - D ₁₀) (µm):	76,84	120,9	99,48	147,9	107,9	30,62	107,2	
(D ₇₅ / D ₂₅) (µm):	4,192	7,386	9,244	8,704	8,106	3,100	4,042	
(D ₇₅ - D ₂₅) (µm):	25,59	48,42	45,83	77,46	57,66	14,64	17,60	
D ₁₀ (φ):	3,644	3,015	3,299	2,727	3,176	4,906	3,192	
D ₂₀ (φ):	5,927	5,802	5,827	4,794	5,197	6,271	6,416	
D ₃₀ (φ):	8,309	8,453	8,904	8,311	8,502	8,514	8,812	
(D ₃₀ / D ₁₀) (φ):	2,280	2,804	2,699	3,048	2,676	1,735	2,761	
(D ₃₀ - D ₁₀) (φ):	4,665	5,439	5,605	5,584	5,325	3,608	5,621	
(D ₇₅ / D ₂₅) (φ):	1,422	1,694	1,749	1,888	1,769	1,295	1,372	
(D ₇₅ - D ₂₅) (φ):	2,068	2,885	3,208	3,122	3,019	1,632	2,015	
% GRAVEL:	0,0%	0,0%	0,0%	0,0%	0,0%	0,0%	0,0%	
% SAND:	13,2%	23,0%	20,4%	35,6%	26,6%	2,0%	12,6%	
% MUD:	86,8%	77,0%	79,6%	64,4%	73,4%	98,0%	87,4%	
% V COARSE GRAVEL:	0,0%	0,0%	0,0%	0,0%	0,0%	0,0%	0,0%	
% COARSE GRAVEL:	0,0%	0,0%	0,0%	0,0%	0,0%	0,0%	0,0%	
% MEDIUM GRAVEL:	0,0%	0,0%	0,0%	0,0%	0,0%	0,0%	0,0%	
% FINE GRAVEL:	0,0%	0,0%	0,0%	0,0%	0,0%	0,0%	0,0%	
% V FINE GRAVEL:	0,0%	0,0%	0,0%	0,0%	0,0%	0,0%	0,0%	
% V COARSE SAND:	0,0%	0,0%	0,0%	0,0%	0,0%	0,0%	0,0%	
% COARSE SAND:	0,0%	0,2%	0,0%	1,0%	0,0%	0,0%	0,4%	
% MEDIUM SAND:	0,9%	1,9%	1,0%	2,4%	0,6%	0,3%	4,3%	
% FINE SAND:	4,4%	7,7%	5,6%	11,0%	6,8%	0,4%	4,6%	
% V FINE SAND:	7,9%	13,2%	13,8%	21,2%	19,3%	1,4%	3,3%	
% V COARSE SILT:	13,9%	12,8%	16,3%	17,5%	20,0%	9,6%	6,3%	
% COARSE SILT:	25,0%	18,3%	16,0%	13,9%	15,6%	28,9%	19,4%	
% MEDIUM SILT:	23,7%	20,1%	15,5%	12,0%	13,4%	30,9%	27,4%	
% FINE SILT:	12,2%	12,5%	12,9%	8,8%	10,4%	15,0%	17,4%	
% V FINE SILT:	5,4%	6,2%	9,6%	6,0%	7,2%	6,0%	8,0%	
% CLAY:	6,7%	7,1%	9,2%	6,1%	6,7%	7,6%	8,8%	

		27-2 67-68	27-2 68-69	27-2 69-70	27-2 70-71	27-03 00-01	27-03 01-02	27-03 02-03
ANALYST AND DATE:								
SIEVING ERROR:								
SAMPLE TYPE:		Bimodal, Very Poorly Sorted	Unimodal, Poorly Sorted	Unimodal, Poorly Sorted	Unimodal, Poorly Sorted	Bimodal, Very Poorly Sorted	Unimodal, Poorly Sorted	Unimodal, Poorly Sorted
TEXTURAL GROUP:		Muddy Sand	Muddy Sand	Muddy Sand	Muddy Sand	Muddy Sand	Muddy Sand	Muddy Sand
SEDIMENT NAME:		Very Coarse Silty Fine Sand	Very Coarse Silty Medium Sand	Very Coarse Silty Medium Sand	Very Coarse Silty Medium Sand	Very Coarse Silty Fine Sand	Very Coarse Silty Medium Sand	Very Coarse Silty Medium Sand
METHOD OF MOMENTS Arithmetic (µm)	MEAN	153,8	264,0	251,4	242,9	200,0	233,9	241,8
	SORTING	149,8	159,0	138,6	141,3	153,7	146,5	137,0
	SKEWNESS	1,007	0,281	0,331	0,354	0,679	0,369	0,315
	KURTOSIS	3,416	2,798	2,982	2,907	3,134	2,902	2,971
METHOD OF MOMENTS Geometric (µm)	MEAN	66,30	172,5	180,7	168,2	106,7	147,7	168,0
	SORTING	5,165	3,648	3,123	3,291	4,567	3,842	3,331
	SKEWNESS	-0,822	-2,051	-2,499	-2,265	-1,396	-1,949	-2,337
	KURTOSIS	2,784	6,881	9,667	8,278	4,139	6,292	8,464
METHOD OF MOMENTS Logarithmic (φ)	MEAN	3,915	2,535	2,468	2,571	3,228	2,759	2,574
	SORTING	2,369	1,867	1,643	1,719	2,191	1,942	1,736
	SKEWNESS	0,822	2,051	2,499	2,265	1,396	1,949	2,337
	KURTOSIS	2,784	6,881	9,667	8,278	4,139	6,292	8,464
FOLK AND WARD METHOD (µm)	MEAN	71,39	207,9	226,8	212,2	111,3	167,9	216,6
	SORTING	5,085	2,870	2,383	2,526	4,271	3,206	2,501
	SKEWNESS	-0,437	-0,524	-0,388	-0,420	-0,584	-0,560	-0,412
	KURTOSIS	0,842	2,204	2,170	2,101	1,299	2,209	2,284
FOLK AND WARD METHOD (φ)	MEAN	3,808	2,266	2,140	2,236	3,167	2,574	2,207
	SORTING	2,346	1,521	1,252	1,337	2,095	1,681	1,322
	SKEWNESS	0,437	0,524	0,388	0,420	0,584	0,560	0,412
	KURTOSIS	0,842	2,204	2,170	2,101	1,299	2,209	2,284
FOLK AND WARD METHOD (Description)	MEAN:	Very Fine Sand	Fine Sand	Fine Sand	Fine Sand	Very Fine Sand	Fine Sand	Fine Sand
	SORTING:	Very Poorly Sorted	Poorly Sorted	Poorly Sorted	Poorly Sorted	Very Poorly Sorted	Poorly Sorted	Poorly Sorted
	SKEWNESS:	Very Fine Skewed	Very Fine Skewed	Very Fine Skewed	Very Fine Skewed	Very Fine Skewed	Very Fine Skewed	Very Fine Skewed
	KURTOSIS:	Platykurtic	Very Leptokurtic	Very Leptokurtic	Very Leptokurtic	Leptokurtic	Very Leptokurtic	Very Leptokurtic
MODE 1 (µm):	257,7	295,8	257,7	257,7	257,7	257,7	257,7	
MODE 2 (µm):	24,61				42,76			
MODE 3 (µm):								
MODE 1 (φ):	1,960	1,761	1,960	1,960	1,960	1,960	1,960	
MODE 2 (φ):	5,348				4,551			
MODE 3 (φ):								
D ₁₀ (µm):	5,800	23,21	50,32	34,21	8,517	17,41	33,88	
D ₂₀ (µm):	113,8	257,3	240,7	232,8	187,2	226,3	232,5	
D ₃₀ (µm):	370,0	473,5	437,7	432,8	407,6	427,9	423,3	
(D ₃₀ / D ₁₀) (µm):	63,80	20,40	8,699	12,65	47,85	24,59	12,49	
(D ₃₀ - D ₁₀) (µm):	364,2	450,3	387,4	398,6	399,1	410,5	389,4	
(D ₇₅ / D ₂₅) (µm):	12,03	2,219	2,072	2,188	4,731	2,316	2,092	
(D ₇₅ - D ₂₅) (µm):	226,9	199,5	174,0	179,2	232,3	184,1	169,8	
D ₁₀ (φ):	1,434	1,079	1,192	1,208	1,295	1,225	1,240	
D ₂₀ (φ):	3,136	1,958	2,055	2,103	2,417	2,144	2,105	
D ₃₀ (φ):	7,430	5,429	4,313	4,869	6,875	5,844	4,884	
(D ₃₀ / D ₁₀) (φ):	5,180	5,034	3,618	4,030	5,310	4,773	3,937	
(D ₃₀ - D ₁₀) (φ):	5,995	4,351	3,121	3,661	5,581	4,620	3,643	
(D ₇₅ / D ₂₅) (φ):	2,781	1,787	1,668	1,706	2,271	1,745	1,657	
(D ₇₅ - D ₂₅) (φ):	3,588	1,150	1,051	1,130	2,242	1,211	1,065	
% GRAVEL:	0,0%	0,0%	0,0%	0,0%	0,0%	0,0%	0,0%	
% SAND:	60,0%	84,8%	89,4%	87,4%	75,0%	83,5%	87,8%	
% MUD:	40,0%	15,2%	10,6%	12,6%	25,0%	16,5%	12,2%	
% V COARSE GRAVEL:	0,0%	0,0%	0,0%	0,0%	0,0%	0,0%	0,0%	
% COARSE GRAVEL:	0,0%	0,0%	0,0%	0,0%	0,0%	0,0%	0,0%	
% MEDIUM GRAVEL:	0,0%	0,0%	0,0%	0,0%	0,0%	0,0%	0,0%	
% FINE GRAVEL:	0,0%	0,0%	0,0%	0,0%	0,0%	0,0%	0,0%	
% V FINE GRAVEL:	0,0%	0,0%	0,0%	0,0%	0,0%	0,0%	0,0%	
% V COARSE SAND:	0,0%	0,0%	0,0%	0,0%	0,0%	0,0%	0,0%	
% COARSE SAND:	3,0%	7,9%	5,1%	4,9%	4,3%	4,8%	4,3%	
% MEDIUM SAND:	21,6%	44,2%	42,0%	39,9%	29,9%	38,3%	40,2%	
% FINE SAND:	23,3%	29,3%	36,9%	36,2%	31,0%	34,9%	37,9%	
% V FINE SAND:	12,1%	3,5%	5,4%	6,4%	9,7%	5,6%	5,4%	
% V COARSE SILT:	9,4%	3,7%	2,5%	3,0%	6,0%	3,6%	2,6%	
% COARSE SILT:	9,3%	3,2%	2,1%	2,7%	5,1%	3,4%	2,5%	
% MEDIUM SILT:	8,4%	3,1%	1,9%	2,3%	4,5%	3,0%	2,2%	
% FINE SILT:	5,8%	2,4%	1,7%	1,9%	3,9%	2,7%	2,0%	
% V FINE SILT:	3,5%	1,4%	1,2%	1,3%	2,9%	2,0%	1,5%	
% CLAY:	3,5%	1,4%	1,2%	1,3%	2,6%	1,8%	1,4%	

		27-03 03-04	27-03 04-05	27-03 05-06	27-03 06-07	27-03 08-09	27-03 09-10	27-03 10-11
ANALYST AND DATE:								
SIEVING ERROR:								
SAMPLE TYPE:		Unimodal, Poorly Sorted	Unimodal, Very Poorly Sorted	Unimodal, Poorly Sorted	Unimodal, Poorly Sorted	Unimodal, Poorly Sorted	Unimodal, Poorly Sorted	Unimodal, Moderately Well Sorted
TEXTURAL GROUP:		Muddy Sand	Muddy Sand	Muddy Sand	Muddy Sand	Muddy Sand	Sand	Sand
SEDIMENT NAME:		Very Coarse Silty Medium Sand	Medium Silty Medium Sand	Coarse Silty Medium Sand	Very Coarse Silty Medium Sand	Coarse Silty Medium Sand	Poorly Sorted Medium Sand	oderately Well Sorted Medium Sar
METHOD OF MOMENTS Arithmetic (µm)	MEAN	235,0	204,6	244,8	261,1	239,1	268,9	287,4
	SORTING	149,0	149,2	141,4	147,8	147,6	131,6	125,6
	SKEWNESS	0,367	0,427	0,370	0,336	0,327	0,304	0,412
	KURTOSIS	2,862	2,637	3,034	3,039	2,837	3,326	3,483
METHOD OF MOMENTS Geometric (µm)	MEAN	147,0	107,8	169,3	180,9	151,8	208,6	242,8
	SORTING	3,876	4,772	3,326	3,369	3,832	2,720	2,185
	SKEWNESS	-1,899	-1,410	-2,285	-2,362	-1,980	-2,981	-3,615
	KURTOSIS	6,085	3,997	8,266	8,553	6,408	13,13	20,47
METHOD OF MOMENTS Logarithmic (φ)	MEAN	2,766	3,213	2,562	2,467	2,719	2,261	2,042
	SORTING	1,955	2,254	1,734	1,752	1,938	1,444	1,128
	SKEWNESS	1,899	1,410	2,285	2,362	1,980	2,981	3,615
	KURTOSIS	6,085	3,997	8,266	8,553	6,408	13,13	20,47
FOLK AND WARD METHOD (µm)	MEAN	162,1	107,1	216,9	234,4	180,4	251,3	269,3
	SORTING	3,307	4,507	2,516	2,519	3,069	2,028	1,553
	SKEWNESS	-0,574	-0,639	-0,410	-0,408	-0,541	-0,325	-0,095
	KURTOSIS	2,150	1,307	2,213	2,328	2,222	2,061	1,072
FOLK AND WARD METHOD (φ)	MEAN	2,625	3,224	2,205	2,093	2,470	1,992	1,893
	SORTING	1,726	2,172	1,331	1,333	1,618	1,020	0,635
	SKEWNESS	0,574	0,639	0,410	0,408	0,541	0,325	0,095
	KURTOSIS	2,150	1,307	2,213	2,328	2,222	2,061	1,072
FOLK AND WARD METHOD (Description)	MEAN:	Fine Sand	Very Fine Sand	Fine Sand	Fine Sand	Fine Sand	Medium Sand	Medium Sand
	SORTING:	Poorly Sorted	Very Poorly Sorted	Poorly Sorted	Poorly Sorted	Poorly Sorted	Poorly Sorted	Moderately Well Sorted
	SKEWNESS:	Very Fine Skewed	Very Fine Skewed	Very Fine Skewed	Very Fine Skewed	Very Fine Skewed	Very Fine Skewed	Symmetrical
	KURTOSIS:	Very Leptokurtic	Leptokurtic	Very Leptokurtic	Very Leptokurtic	Very Leptokurtic	Very Leptokurtic	Mesokurtic
MODE 1 (µm):	257,7	257,7	257,7	295,8	257,7	257,7	295,8	
MODE 2 (µm):								
MODE 3 (µm):								
MODE 1 (φ):	1,960	1,960	1,960	1,761	1,960	1,960	1,761	
MODE 2 (φ):								
MODE 3 (φ):								
D ₁₀ (µm):	16,58	7,575	32,78	36,95	17,13	123,9	151,2	
D ₂₀ (µm):	227,8	200,4	234,3	250,5	231,8	257,6	272,7	
D ₃₀ (µm):	433,0	404,8	433,3	457,8	435,5	443,0	456,6	
(D ₃₀ / D ₁₀) (µm):	26,12	53,44	13,22	12,39	25,42	3,576	3,020	
(D ₃₀ - D ₁₀) (µm):	416,4	397,2	400,6	420,9	418,4	319,1	305,4	
(D ₇₅ / D ₂₅) (µm):	2,361	4,726	2,131	2,089	2,288	1,862	1,777	
(D ₇₅ - D ₂₅) (µm):	188,8	237,6	175,3	182,7	186,4	160,6	157,6	
D ₁₀ (φ):	1,208	1,305	1,206	1,127	1,199	1,175	1,131	
D ₂₀ (φ):	2,134	2,319	2,094	1,997	2,109	1,957	1,874	
D ₃₀ (φ):	5,915	7,045	4,931	4,758	5,867	3,013	2,726	
(D ₃₀ / D ₁₀) (φ):	4,898	5,399	4,087	4,222	4,892	2,565	2,410	
(D ₃₀ - D ₁₀) (φ):	4,707	5,740	3,725	3,631	4,668	1,839	1,595	
(D ₇₅ / D ₂₅) (φ):	1,770	2,295	1,683	1,703	1,749	1,587	1,563	
(D ₇₅ - D ₂₅) (φ):	1,239	2,241	1,091	1,063	1,194	0,897	0,829	
% GRAVEL:	0,0%	0,0%	0,0%	0,0%	0,0%	0,0%	0,0%	
% SAND:	82,9%	75,1%	87,6%	88,3%	84,1%	92,3%	95,7%	
% MUD:	17,1%	24,9%	12,4%	11,7%	15,9%	7,7%	4,3%	
% V COARSE GRAVEL:	0,0%	0,0%	0,0%	0,0%	0,0%	0,0%	0,0%	
% COARSE GRAVEL:	0,0%	0,0%	0,0%	0,0%	0,0%	0,0%	0,0%	
% MEDIUM GRAVEL:	0,0%	0,0%	0,0%	0,0%	0,0%	0,0%	0,0%	
% FINE GRAVEL:	0,0%	0,0%	0,0%	0,0%	0,0%	0,0%	0,0%	
% V FINE GRAVEL:	0,0%	0,0%	0,0%	0,0%	0,0%	0,0%	0,0%	
% V COARSE SAND:	0,0%	0,0%	0,0%	0,0%	0,0%	0,0%	0,0%	
% COARSE SAND:	5,0%	3,6%	5,0%	6,6%	5,1%	5,3%	6,2%	
% MEDIUM SAND:	38,6%	33,0%	40,2%	43,6%	39,6%	47,4%	51,8%	
% FINE SAND:	33,9%	32,1%	36,9%	34,2%	34,3%	37,2%	36,2%	
% V FINE SAND:	5,4%	6,4%	5,5%	3,9%	5,2%	2,4%	1,5%	
% V COARSE SILT:	3,8%	4,6%	2,7%	2,4%	3,0%	1,8%	1,3%	
% COARSE SILT:	3,6%	5,0%	2,7%	2,2%	3,2%	1,6%	0,8%	
% MEDIUM SILT:	3,2%	5,1%	2,3%	2,3%	3,2%	1,3%	0,6%	
% FINE SILT:	2,8%	4,4%	2,0%	2,1%	2,7%	1,2%	0,7%	
% V FINE SILT:	1,9%	3,0%	1,4%	1,4%	1,9%	0,9%	0,4%	
% CLAY:	1,8%	2,8%	1,3%	1,4%	1,8%	0,9%	0,5%	

		27-03_11-12	27-03_12-13	27-03_13-14	27-03_14-15	27-03_15-16	27-03_16-17	27-03_17-18
ANALYST AND DATE:								
SIEVING ERROR:								
SAMPLE TYPE:		Unimodal, Moderately Well Sorted	Unimodal, Moderately Well Sorted	Unimodal, Poorly Sorted	Unimodal, Poorly Sorted	Unimodal, Poorly Sorted	Unimodal, Poorly Sorted	Unimodal, Poorly Sorted
TEXTURAL GROUP:		Sand	Sand	Sand	Muddy Sand	Sand	Muddy Sand	Muddy Sand
SEDIMENT NAME:		oderately Well Sorted Medium Sar	oderately Well Sorted Medium Sar	Poorly Sorted Fine Sand	Very Coarse Silty Fine Sand	Poorly Sorted Fine Sand	Very Coarse Silty Fine Sand	Coarse Silty Fine Sand
METHOD OF MOMENTS Arithmetic (µm)	MEAN	283,6	264,3	244,2	197,9	238,1	194,7	222,2
	SORTING	125,9	116,7	126,5	137,6	130,1	137,6	134,5
	SKEWNESS	0,404	0,438	0,462	0,553	0,471	0,637	0,448
	KURTOSIS	3,502	3,502	3,263	2,950	3,157	3,058	3,083
METHOD OF MOMENTS Geometric (µm)	MEAN	236,9	221,5	189,3	119,2	180,2	120,5	150,2
	SORTING	2,266	2,257	2,651	3,912	2,729	3,661	3,396
	SKEWNESS	-3,582	-3,698	-2,856	-1,662	-2,585	-1,640	-2,118
	KURTOSIS	19,67	20,71	12,88	5,270	11,15	5,488	7,432
METHOD OF MOMENTS Logarithmic (φ)	MEAN	2,078	2,175	2,401	3,068	2,472	3,053	2,735
	SORTING	1,180	1,175	1,407	1,968	1,448	1,872	1,764
	SKEWNESS	3,582	3,698	2,856	1,662	2,585	1,640	2,118
	KURTOSIS	19,67	20,71	12,88	5,270	11,15	5,488	7,432
FOLK AND WARD METHOD (µm)	MEAN	265,6	247,5	222,7	129,5	213,1	131,5	189,8
	SORTING	1,573	1,554	2,028	3,492	2,123	3,271	2,612
	SKEWNESS	-0,112	-0,088	-0,301	-0,548	-0,328	-0,506	-0,429
	KURTOSIS	1,108	1,053	1,772	1,670	1,727	1,481	2,099
FOLK AND WARD METHOD (φ)	MEAN	1,913	2,015	2,167	2,949	2,230	2,927	2,397
	SORTING	0,653	0,636	1,020	1,804	1,086	1,710	1,385
	SKEWNESS	0,112	0,088	0,301	0,548	0,328	0,506	0,429
	KURTOSIS	1,108	1,053	1,772	1,670	1,727	1,481	2,099
FOLK AND WARD METHOD (Description)	MEAN:	Medium Sand	Fine Sand	Fine Sand	Fine Sand	Fine Sand	Fine Sand	Fine Sand
	SORTING:	Moderately Well Sorted	Moderately Well Sorted	Poorly Sorted	Poorly Sorted	Poorly Sorted	Poorly Sorted	Poorly Sorted
	SKEWNESS:	Fine Skewed	Symmetrical	Very Fine Skewed	Very Fine Skewed	Very Fine Skewed	Very Fine Skewed	Very Fine Skewed
	KURTOSIS:	Mesokurtic	Mesokurtic	Very Leptokurtic	Very Leptokurtic	Very Leptokurtic	Leptokurtic	Very Leptokurtic
MODE 1 (µm):	295,8	257,7	257,7	224,4	257,7	224,4	224,4	
MODE 2 (µm):								
MODE 3 (µm):								
MODE 1 (φ):	1,761	1,960	1,960	2,159	1,960	2,159	2,159	
MODE 2 (φ):								
MODE 3 (φ):								
D ₁₀ (µm):	147,5	139,1	102,7	13,47	76,83	17,27	25,33	
D ₂₀ (µm):	269,3	250,1	229,8	187,0	224,5	181,2	211,6	
D ₃₀ (µm):	452,6	419,4	413,8	385,1	412,8	383,3	401,7	
(D ₃₀ / D ₁₀) (µm):	3,069	3,016	4,029	28,58	5,373	22,19	15,86	
(D ₃₀ - D ₁₀) (µm):	305,1	280,4	311,1	371,6	335,9	366,0	376,3	
(D ₇₅ / D ₂₅) (µm):	1,787	1,790	1,985	3,021	2,091	3,229	2,232	
(D ₇₅ - D ₂₅) (µm):	157,2	146,7	158,0	189,4	164,5	192,4	167,1	
D ₁₀ (φ):	1,144	1,254	1,273	1,377	1,277	1,383	1,316	
D ₂₀ (φ):	1,893	1,999	2,122	2,419	2,155	2,464	2,240	
D ₃₀ (φ):	2,761	2,846	3,284	6,214	3,702	5,855	5,303	
(D ₃₀ / D ₁₀) (φ):	2,414	2,271	2,579	4,513	2,900	4,232	4,030	
(D ₃₀ - D ₁₀) (φ):	1,618	1,593	2,011	4,837	2,426	4,472	3,987	
(D ₇₅ / D ₂₅) (φ):	1,564	1,529	1,599	1,876	1,639	1,918	1,672	
(D ₇₅ - D ₂₅) (φ):	0,838	0,840	0,989	1,595	1,064	1,691	1,158	
% GRAVEL:	0,0%	0,0%	0,0%	0,0%	0,0%	0,0%	0,0%	
% SAND:	95,3%	95,8%	92,6%	79,6%	90,9%	79,2%	86,0%	
% MUD:	4,7%	4,2%	7,4%	20,4%	9,1%	20,8%	14,0%	
% V COARSE GRAVEL:	0,0%	0,0%	0,0%	0,0%	0,0%	0,0%	0,0%	
% COARSE GRAVEL:	0,0%	0,0%	0,0%	0,0%	0,0%	0,0%	0,0%	
% MEDIUM GRAVEL:	0,0%	0,0%	0,0%	0,0%	0,0%	0,0%	0,0%	
% FINE GRAVEL:	0,0%	0,0%	0,0%	0,0%	0,0%	0,0%	0,0%	
% V FINE GRAVEL:	0,0%	0,0%	0,0%	0,0%	0,0%	0,0%	0,0%	
% V COARSE SAND:	0,0%	0,0%	0,0%	0,0%	0,0%	0,0%	0,0%	
% COARSE SAND:	5,9%	3,8%	3,8%	2,8%	3,8%	2,8%	3,4%	
% MEDIUM SAND:	50,9%	46,3%	39,6%	29,7%	38,1%	28,5%	34,7%	
% FINE SAND:	36,8%	42,6%	42,2%	35,6%	40,4%	34,9%	39,6%	
% V FINE SAND:	1,7%	3,2%	7,1%	11,5%	8,6%	12,9%	8,3%	
% V COARSE SILT:	1,3%	0,8%	1,6%	5,1%	2,8%	6,5%	2,9%	
% COARSE SILT:	0,9%	0,9%	1,7%	4,4%	2,0%	4,9%	3,3%	
% MEDIUM SILT:	0,7%	0,6%	1,2%	3,7%	1,4%	3,6%	2,7%	
% FINE SILT:	0,7%	0,7%	1,2%	3,0%	1,2%	2,6%	2,2%	
% V FINE SILT:	0,5%	0,5%	0,8%	2,1%	0,8%	1,6%	1,5%	
% CLAY:	0,6%	0,7%	0,9%	1,9%	0,9%	1,6%	1,4%	

		27-03_18-19	27-03_19-20	27-03_20-21	27-03_21-22	27-03_23-24	27-03_24-25	27-03_25-26
ANALYST AND DATE:								
SIEVING ERROR:								
SAMPLE TYPE:		Unimodal, Poorly Sorted	Unimodal, Poorly Sorted	Unimodal, Poorly Sorted	Unimodal, Very Poorly Sorted	Unimodal, Very Poorly Sorted	Bimodal, Very Poorly Sorted	Unimodal, Very Poorly Sorted
TEXTURAL GROUP:		Muddy Sand	Muddy Sand	Slightly Gravelly Muddy Sand	Muddy Sand	Sandy Mud	Sandy Mud	Sandy Mud
SEDIMENT NAME:		Coarse Silty Fine Sand	Coarse Silty Fine Sand	Very Fine Gravelly Coarse Silty Fi	Medium Silty Fine Sand	Very Fine Sandy Medium Silt	Fine Sandy Medium Silt	Very Fine Sandy Medium Silt
METHOD OF MOMENTS Arithmetic (µm)	MEAN	188,5	188,6	185,3	169,5	50,27	103,4	50,22
	SORTING	126,7	131,2	195,6	134,4	87,93	118,6	88,38
	SKEWNESS	0,542	0,600	4,354	0,778	3,655	1,316	2,892
	KURTOSIS	3,120	3,125	31,22	3,417	21,08	4,154	12,07
METHOD OF MOMENTS Geometric (µm)	MEAN	115,9	113,2	103,9	88,01	16,73	37,40	15,13
	SORTING	3,846	3,968	3,990	4,663	4,722	5,567	4,976
	SKEWNESS	-1,730	-1,678	-1,464	-1,306	0,036	-0,448	0,142
	KURTOSIS	5,447	5,272	4,960	3,821	2,415	2,168	2,372
METHOD OF MOMENTS Logarithmic (φ)	MEAN	3,109	3,143	3,267	3,506	5,902	4,741	6,046
	SORTING	1,944	1,988	1,996	2,221	2,239	2,477	2,315
	SKEWNESS	1,730	1,678	1,464	1,306	-0,036	0,448	-0,142
	KURTOSIS	5,447	5,272	4,960	3,821	2,415	2,168	2,372
FOLK AND WARD METHOD (µm)	MEAN	122,2	120,9	108,3	88,39	16,93	39,02	15,25
	SORTING	3,442	3,554	3,559	4,491	4,957	5,658	5,320
	SKEWNESS	-0,564	-0,553	-0,523	-0,581	0,062	-0,204	0,114
	KURTOSIS	1,921	1,794	1,690	1,234	0,929	0,760	0,955
FOLK AND WARD METHOD (φ)	MEAN	3,033	3,049	3,207	3,500	5,884	4,680	6,035
	SORTING	1,783	1,829	1,831	2,167	2,310	2,500	2,412
	SKEWNESS	0,564	0,553	0,523	0,581	-0,062	0,204	-0,114
	KURTOSIS	1,921	1,794	1,690	1,234	0,929	0,760	0,955
FOLK AND WARD METHOD (Description)	MEAN:	Very Fine Sand	Very Fine Sand	Very Fine Sand	Very Fine Sand	Coarse Silt	Very Coarse Silt	Medium Silt
	SORTING:	Poorly Sorted	Poorly Sorted	Poorly Sorted	Very Poorly Sorted	Very Poorly Sorted	Very Poorly Sorted	Very Poorly Sorted
	SKEWNESS:	Very Fine Skewed	Very Fine Skewed	Very Fine Skewed	Very Fine Skewed	Symmetrical	Fine Skewed	Coarse Skewed
	KURTOSIS:	Very Leptokurtic	Very Leptokurtic	Very Leptokurtic	Leptokurtic	Mesokurtic	Platykurtic	Mesokurtic
MODE 1 (µm):	224,4	224,4	195,5	224,4	10,74	195,5	9,355	
MODE 2 (µm):						12,33		
MODE 3 (µm):								
MODE 1 (φ):	2,159	2,159	2,359	2,159	6,544	2,359	6,743	
MODE 2 (φ):						6,345		
MODE 3 (φ):								
D ₁₀ (µm):	12,83	11,96	11,55	6,771	2,195	3,255	1,917	
D ₂₀ (µm):	179,1	177,0	156,9	155,7	15,42	47,66	13,16	
D ₃₀ (µm):	357,1	364,7	339,8	351,3	139,6	279,7	152,1	
(D ₃₀ / D ₁₀) (µm):	27,82	30,50	29,44	51,88	63,59	85,95	79,33	
(D ₃₀ - D ₁₀) (µm):	344,2	352,8	328,3	344,5	137,4	276,5	150,2	
(D ₇₅ / D ₂₅) (µm):	2,578	2,834	2,988	5,147	9,601	17,34	10,04	
(D ₇₅ - D ₂₅) (µm):	161,9	173,1	160,4	201,3	48,12	160,8	43,88	
D ₁₀ (φ):	1,486	1,455	1,557	1,509	2,841	1,838	2,717	
D ₂₀ (φ):	2,481	2,498	2,673	2,683	6,019	4,391	6,248	
D ₃₀ (φ):	6,284	6,386	6,437	7,206	8,831	8,263	9,027	
(D ₃₀ / D ₁₀) (φ):	4,229	4,389	4,134	4,775	3,109	4,496	3,322	
(D ₃₀ - D ₁₀) (φ):	4,798	4,931	4,880	5,697	5,991	6,425	6,310	
(D ₇₅ / D ₂₅) (φ):	1,712	1,790	1,769	2,181	1,774	2,613	1,764	
(D ₇₅ - D ₂₅) (φ):	1,367	1,503	1,579	2,364	3,263	4,116	3,328	
% GRAVEL:	0,0%	0,0%	0,0%	0,0%	0,0%	0,0%	0,0%	
% SAND:	80,9%	80,0%	78,4%	73,0%	22,4%	46,3%	21,3%	
% MUD:	19,1%	20,0%	21,6%	27,0%	77,6%	53,7%	78,7%	
% V COARSE GRAVEL:	0,0%	0,0%	0,0%	0,0%	0,0%	0,0%	0,0%	
% COARSE GRAVEL:	0,0%	0,0%	0,0%	0,0%	0,0%	0,0%	0,0%	
% MEDIUM GRAVEL:	0,0%	0,0%	0,0%	0,0%	0,0%	0,0%	0,0%	
% FINE GRAVEL:	0,0%	0,0%	0,0%	0,0%	0,0%	0,0%	0,0%	
% V FINE GRAVEL:	0,0%	0,0%	0,0%	0,0%	0,0%	0,0%	0,0%	
% V COARSE SAND:	0,0%	0,0%	1,4%	0,0%	0,0%	0,0%	0,0%	
% COARSE SAND:	1,8%	2,1%	1,1%	2,0%	0,7%	0,7%	0,4%	
% MEDIUM SAND:	26,7%	26,9%	20,5%	22,9%	3,3%	12,5%	4,7%	
% FINE SAND:	40,2%	38,0%	38,3%	34,3%	7,5%	20,6%	7,1%	
% V FINE SAND:	12,2%	13,1%	17,0%	13,8%	10,9%	12,5%	9,1%	
% V COARSE SILT:	3,4%	4,0%	4,8%	5,1%	12,3%	9,8%	10,9%	
% COARSE SILT:	4,5%	4,4%	4,9%	5,4%	14,9%	11,1%	13,7%	
% MEDIUM SILT:	4,0%	3,9%	4,2%	5,4%	17,6%	11,7%	17,8%	
% FINE SILT:	3,1%	3,2%	3,3%	4,7%	14,5%	9,3%	15,6%	
% V FINE SILT:	2,1%	2,3%	2,3%	3,3%	9,5%	6,2%	10,5%	
% CLAY:	2,0%	2,2%	2,1%	3,1%	8,7%	5,7%	10,2%	

		27-03 26-27	27-03 27-28	27-03 28-29	27-03 29-30	27-03 30-31	27-03 31-32	27-03 32-33
ANALYST AND DATE:								
SIEVING ERROR:								
SAMPLE TYPE:		Bimodal, Very Poorly Sorted	Bimodal, Very Poorly Sorted	Unimodal, Very Poorly Sorted	Unimodal, Very Poorly Sorted	Unimodal, Poorly Sorted	Unimodal, Poorly Sorted	Unimodal, Poorly Sorted
TEXTURAL GROUP:		Sandy Mud	Slightly Gravelly Sandy Mud	Sandy Mud	Slightly Gravelly Sandy Mud	Mud	Muddy Sand	Slightly Gravelly Sandy Mud
SEDIMENT NAME:		Fine Sandy Medium Silt	Fine Gravelly Very Fine Sandy Ve	Very Fine Sandy Medium Silt	ry Fine Gravelly Very Fine Sandy N	Medium Silt	Very Coarse Silty Fine Sand	ry Fine Gravelly Very Fine Sandy C
METHOD OF MOMENTS Arithmetic (µm)	MEAN	112,4	62,45	35,56	48,10	30,64	140,3	48,64
	SORTING	138,5	126,7	64,57	170,6	58,34	102,8	139,6
	SKEWNESS	1,602	8,063	4,118	7,178	3,905	0,842	8,730
	KURTOSIS	5,339	91,03	26,03	60,30	19,48	3,661	91,23
METHOD OF MOMENTS Geometric (µm)	MEAN	38,75	21,28	12,31	10,77	12,50	86,22	18,00
	SORTING	5,681	5,019	4,449	4,564	3,690	3,655	3,836
	SKEWNESS	-0,409	-0,221	0,110	0,554	0,074	-1,577	-0,032
	KURTOSIS	2,222	2,292	2,442	3,543	3,359	5,199	3,689
METHOD OF MOMENTS Logarithmic (φ)	MEAN	4,690	5,554	6,345	6,536	6,321	3,536	5,796
	SORTING	2,506	2,328	2,153	2,190	1,884	1,870	1,940
	SKEWNESS	0,409	0,221	-0,110	-0,554	-0,074	1,577	0,032
	KURTOSIS	2,222	2,292	2,442	3,543	3,359	5,199	3,689
FOLK AND WARD METHOD (µm)	MEAN	40,80	21,48	12,38	10,20	12,15	93,54	18,12
	SORTING	5,843	5,090	4,674	4,442	3,668	3,317	3,673
	SKEWNESS	-0,163	-0,118	0,068	0,088	-0,009	-0,481	-0,044
	KURTOSIS	0,788	0,804	0,930	1,088	1,317	1,552	1,207
FOLK AND WARD METHOD (φ)	MEAN	4,615	5,541	6,336	6,615	6,362	3,418	5,786
	SORTING	2,547	2,348	2,225	2,151	1,875	1,730	1,877
	SKEWNESS	0,163	0,118	-0,068	-0,088	0,009	0,481	0,044
	KURTOSIS	0,788	0,804	0,930	1,088	1,317	1,552	1,207
FOLK AND WARD METHOD (Description)	MEAN:	Very Coarse Silt	Coarse Silt	Medium Silt	Medium Silt	Medium Silt	Very Fine Sand	Coarse Silt
	SORTING:	Very Poorly Sorted	Very Poorly Sorted	Very Poorly Sorted	Very Poorly Sorted	Poorly Sorted	Poorly Sorted	Poorly Sorted
	SKEWNESS:	Fine Skewed	Fine Skewed	Symmetrical	Symmetrical	Symmetrical	Very Fine Skewed	Symmetrical
	KURTOSIS:	Platykurtic	Platykurtic	Mesokurtic	Mesokurtic	Leptokurtic	Very Leptokurtic	Leptokurtic
MODE 1 (µm):	224,4	85,32	9,355	9,355	14,16	148,3	18,67	
MODE 2 (µm):	14,16	9,355						
MODE 3 (µm):								
MODE 1 (φ):	2,159	3,554	6,743	6,743	6,146	2,757	5,747	
MODE 2 (φ):	6,146	6,743						
MODE 3 (φ):								
D ₁₀ (µm):	3,363	2,260	1,751	1,660	2,300	11,86	3,215	
D ₂₀ (µm):	47,16	23,80	11,33	9,691	12,67	126,4	18,56	
D ₃₀ (µm):	315,9	150,1	95,80	76,96	60,66	279,3	92,94	
(D ₃₀ / D ₁₀) (µm):	93,94	66,44	54,72	46,36	26,37	23,56	28,91	
(D ₃₀ - D ₁₀) (µm):	312,5	147,9	94,05	75,30	58,36	267,4	89,73	
(D ₇₅ / D ₂₅) (µm):	16,99	13,01	8,694	6,646	4,367	3,131	4,740	
(D ₇₅ - D ₂₅) (µm):	166,0	75,24	32,54	21,73	19,88	135,2	31,41	
D ₁₀ (φ):	1,662	2,736	3,384	3,700	4,043	1,840	3,428	
D ₂₀ (φ):	4,406	5,393	6,464	6,689	6,303	2,984	5,752	
D ₃₀ (φ):	8,216	8,790	9,158	9,234	8,764	6,398	8,281	
(D ₃₀ / D ₁₀) (φ):	4,942	3,213	2,706	2,496	2,168	3,477	2,416	
(D ₃₀ - D ₁₀) (φ):	6,554	6,054	5,774	5,535	4,721	4,558	4,853	
(D ₇₅ / D ₂₅) (φ):	2,632	2,023	1,655	1,517	1,403	1,706	1,483	
(D ₇₅ - D ₂₅) (φ):	4,087	3,701	3,120	2,732	2,127	1,647	2,245	
% GRAVEL:	0,0%	0,0%	0,0%	0,0%	0,0%	0,0%	0,0%	
% SAND:	45,6%	31,7%	16,3%	12,0%	9,8%	75,3%	15,4%	
% MUD:	54,4%	68,3%	83,7%	87,9%	90,2%	24,7%	84,6%	
% V COARSE GRAVEL:	0,0%	0,0%	0,0%	0,0%	0,0%	0,0%	0,0%	
% COARSE GRAVEL:	0,0%	0,0%	0,0%	0,0%	0,0%	0,0%	0,0%	
% MEDIUM GRAVEL:	0,0%	0,0%	0,0%	0,0%	0,0%	0,0%	0,0%	
% FINE GRAVEL:	0,0%	0,0%	0,0%	0,0%	0,0%	0,0%	0,0%	
% V FINE GRAVEL:	0,0%	0,0%	0,0%	0,0%	0,0%	0,0%	0,0%	
% V COARSE SAND:	0,0%	0,5%	0,0%	1,2%	0,0%	0,0%	0,8%	
% COARSE SAND:	2,2%	0,1%	0,3%	0,7%	0,0%	0,3%	0,2%	
% MEDIUM SAND:	13,7%	2,2%	1,6%	1,4%	2,4%	13,9%	1,4%	
% FINE SAND:	17,2%	11,1%	4,9%	3,2%	3,3%	36,4%	4,6%	
% V FINE SAND:	12,6%	17,7%	9,6%	5,6%	4,1%	24,7%	8,4%	
% V COARSE SILT:	10,7%	13,8%	11,4%	9,4%	10,3%	7,6%	16,6%	
% COARSE SILT:	11,5%	11,7%	14,0%	14,7%	21,9%	5,3%	24,1%	
% MEDIUM SILT:	11,8%	13,5%	18,3%	20,4%	25,2%	4,3%	20,6%	
% FINE SILT:	8,9%	12,1%	16,5%	18,1%	16,0%	3,1%	11,3%	
% V FINE SILT:	5,7%	8,7%	11,9%	12,9%	8,4%	2,2%	5,9%	
% CLAY:	5,7%	8,4%	11,5%	12,4%	8,4%	2,2%	6,1%	

		27-03 33-34	27-03 34-35	27-03 35-36	27-03 36-37	27-03 38-39	27-03 39-40	27-03 40-41
ANALYST AND DATE:								
SIEVING ERROR:								
SAMPLE TYPE:		Unimodal, Very Poorly Sorted	Bimodal, Very Poorly Sorted	Bimodal, Very Poorly Sorted	Bimodal, Very Poorly Sorted	Bimodal, Very Poorly Sorted	Bimodal, Very Poorly Sorted	Unimodal, Very Poorly Sorted
TEXTURAL GROUP:		Slightly Gravelly Sandy Mud	Slightly Gravelly Sandy Mud	Sandy Mud	Sandy Mud	Slightly Gravelly Sandy Mud	Slightly Gravelly Muddy Sand	Slightly Gravelly Muddy Sand
SEDIMENT NAME:		Very Fine Gravelly Very Fine Sandy	Very Fine Gravelly Very Fine Sandy	Very Fine Sandy Coarse Silt	Very Fine Sandy Medium Silt	Very Fine Gravelly Fine Sandy Coarse	Very Fine Gravelly Coarse Silty Med	Very Fine Gravelly Very Coarse Silty
METHOD OF MOMENTS Arithmetic (µm)	MEAN	79,06	90,47	68,12	74,57	93,84	181,5	174,6
	SORTING	222,5	191,9	100,6	101,9	164,0	210,3	238,5
	SKEWNESS	5,336	4,987	3,103	2,508	4,865	2,178	3,047
	KURTOSIS	33,89	35,09	15,74	11,06	38,84	11,43	15,50
METHOD OF MOMENTS Geometric (µm)	MEAN	21,02	25,12	26,49	28,01	32,34	69,89	68,47
	SORTING	4,483	5,252	4,574	4,919	4,874	5,498	5,132
	SKEWNESS	0,280	0,056	-0,298	-0,336	-0,202	-0,668	-0,695
	KURTOSIS	3,691	2,565	2,586	2,362	2,651	2,626	3,008
METHOD OF MOMENTS Logarithmic (φ)	MEAN	5,572	5,315	5,238	5,158	4,950	3,839	3,868
	SORTING	2,164	2,393	2,193	2,298	2,285	2,459	2,360
	SKEWNESS	-0,280	-0,056	0,298	0,336	0,202	0,668	0,695
	KURTOSIS	3,691	2,565	2,586	2,362	2,651	2,626	3,008
FOLK AND WARD METHOD (µm)	MEAN	20,61	26,13	27,31	28,91	34,01	75,25	71,75
	SORTING	4,206	5,432	4,653	5,042	4,930	5,388	5,118
	SKEWNESS	0,047	0,081	-0,075	-0,124	0,024	-0,348	-0,301
	KURTOSIS	1,304	0,952	0,929	0,858	0,919	0,823	1,012
FOLK AND WARD METHOD (φ)	MEAN	5,601	5,258	5,195	5,112	4,878	3,732	3,801
	SORTING	2,073	2,442	2,218	2,334	2,302	2,430	2,355
	SKEWNESS	-0,047	-0,081	0,075	0,124	-0,024	0,348	0,301
	KURTOSIS	1,304	0,952	0,929	0,858	0,919	0,823	1,012
FOLK AND WARD METHOD (Description)	MEAN:	Coarse Silt	Coarse Silt	Coarse Silt	Coarse Silt	Very Coarse Silt	Very Fine Sand	Very Fine Sand
	SORTING:	Very Poorly Sorted	Very Poorly Sorted	Very Poorly Sorted	Very Poorly Sorted	Very Poorly Sorted	Very Poorly Sorted	Very Poorly Sorted
	SKEWNESS:	Symmetrical	Symmetrical	Symmetrical	Fine Skewed	Symmetrical	Very Fine Skewed	Very Fine Skewed
	KURTOSIS:	Leptokurtic	Mesokurtic	Mesokurtic	Platykurtic	Mesokurtic	Platykurtic	Mesokurtic
MODE 1 (µm):	18,67	14,16	85,32	97,96	18,67	295,8	170,2	
MODE 2 (µm):		195,5	16,26	12,33	148,3	28,25		
MODE 3 (µm):								
MODE 1 (φ):	5,747	6,146	3,554	3,355	5,747	1,761	2,558	
MODE 2 (φ):		2,359	5,946	6,345	2,757	5,149		
MODE 3 (φ):								
D ₁₀ (µm):	3,418	3,016	3,360	3,052	4,313	6,177	6,199	
D ₂₀ (µm):	19,85	22,47	28,35	32,07	30,60	109,1	97,48	
D ₃₀ (µm):	146,1	244,7	174,5	197,4	252,4	446,7	420,4	
(D ₃₀ / D ₁₀) (µm):	42,74	81,15	51,92	64,70	58,51	72,32	67,82	
(D ₃₀ - D ₁₀) (µm):	142,7	241,7	171,1	194,4	248,1	440,5	414,2	
(D ₇₅ / D ₂₅) (µm):	5,068	10,44	9,123	11,61	10,14	14,00	8,973	
(D ₇₅ - D ₂₅) (µm):	36,27	76,54	76,90	93,63	103,2	262,1	198,0	
D ₁₀ (φ):	2,775	2,031	2,519	2,341	1,986	1,163	1,250	
D ₂₀ (φ):	5,655	5,476	5,141	4,962	5,030	3,196	3,359	
D ₃₀ (φ):	8,193	8,373	8,217	8,356	7,857	7,339	7,334	
(D ₃₀ / D ₁₀) (φ):	2,952	4,123	3,262	3,570	3,956	6,312	5,866	
(D ₃₀ - D ₁₀) (φ):	5,418	6,343	5,698	6,016	5,871	6,176	6,084	
(D ₇₅ / D ₂₅) (φ):	1,524	1,950	1,903	2,076	2,069	3,086	2,461	
(D ₇₅ - D ₂₅) (φ):	2,341	3,384	3,189	3,537	3,342	3,807	3,166	
% GRAVEL:	0,0%	0,0%	0,0%	0,0%	0,0%	0,0%	0,0%	
% SAND:	18,9%	29,7%	32,7%	36,9%	36,0%	57,8%	60,0%	
% MUD:	81,1%	70,3%	67,3%	63,1%	63,9%	42,1%	40,0%	
% V COARSE GRAVEL:	0,0%	0,0%	0,0%	0,0%	0,0%	0,0%	0,0%	
% COARSE GRAVEL:	0,0%	0,0%	0,0%	0,0%	0,0%	0,0%	0,0%	
% MEDIUM GRAVEL:	0,0%	0,0%	0,0%	0,0%	0,0%	0,0%	0,0%	
% FINE GRAVEL:	0,0%	0,0%	0,0%	0,0%	0,0%	0,0%	0,0%	
% V FINE GRAVEL:	0,0%	0,0%	0,0%	0,0%	0,0%	0,0%	0,0%	
% V COARSE SAND:	2,1%	1,2%	0,0%	0,0%	0,6%	0,7%	1,8%	
% COARSE SAND:	1,2%	1,7%	1,1%	0,9%	1,6%	6,6%	5,6%	
% MEDIUM SAND:	2,7%	6,8%	4,3%	5,4%	7,9%	22,0%	14,3%	
% FINE SAND:	5,3%	9,7%	10,9%	13,6%	13,1%	18,4%	21,3%	
% V FINE SAND:	7,6%	10,3%	16,4%	17,0%	12,8%	10,1%	17,1%	
% V COARSE SILT:	15,9%	12,9%	15,1%	13,5%	13,5%	10,4%	11,5%	
% COARSE SILT:	23,4%	16,3%	15,9%	13,2%	17,5%	10,6%	9,6%	
% MEDIUM SILT:	19,8%	16,9%	15,0%	13,6%	15,5%	8,9%	7,0%	
% FINE SILT:	10,6%	11,4%	9,8%	10,2%	8,4%	5,6%	4,9%	
% V FINE SILT:	5,5%	6,5%	5,8%	6,4%	4,3%	3,3%	3,5%	
% CLAY:	5,8%	6,3%	5,7%	6,2%	4,9%	3,4%	3,4%	

		27-03 41-42	27-03 42-43	27-03 43-44	27-03 44-45	27-03 45-46	27-03 47-48	27-03 48-49
ANALYST AND DATE:								
SIEVING ERROR:								
SAMPLE TYPE:		Unimodal, Very Poorly Sorted	Unimodal, Very Poorly Sorted	Unimodal, Very Poorly Sorted	Bimodal, Very Poorly Sorted	Trimodal, Very Poorly Sorted	Unimodal, Poorly Sorted	Unimodal, Moderately Sorted
TEXTURAL GROUP:		Slightly Gravelly Sandy Mud	Slightly Gravelly Sandy Mud	Sandy Mud	Slightly Gravelly Sandy Mud	Slightly Gravelly Sandy Mud	Muddy Sand	Sand
SEDIMENT NAME:		Fine Gravelly Very Fine Sandy Ve	ry Fine Gravelly Very Fine Sandy	Very Fine Sandy Medium Silt	Fine Gravelly Very Fine Sandy Ve	ry Fine Gravelly Medium Sandy M	Very Coarse Silty Medium Sand	Moderately Sorted Medium Sand
METHOD OF MOMENTS Arithmetic (µm)	MEAN	78,67	52,48	26,09	94,78	153,0	312,6	327,2
	SORTING	196,0	123,6	36,46	214,2	221,0	181,3	144,9
	SKEWNESS	5,436	8,048	2,786	5,080	3,064	0,413	0,230
	KURTOSIS	37,03	89,98	12,69	32,96	17,46	3,114	3,296
METHOD OF MOMENTS Geometric (µm)	MEAN	23,73	19,48	11,36	25,22	44,08	217,4	268,0
	SORTING	4,604	4,154	3,949	5,599	6,569	3,283	2,421
	SKEWNESS	0,007	-0,126	-0,101	-0,055	-0,322	-2,321	-3,505
	KURTOSIS	3,205	3,084	2,315	2,426	2,042	8,663	17,95
METHOD OF MOMENTS Logarithmic (φ)	MEAN	5,397	5,682	6,459	5,310	4,504	2,201	1,899
	SORTING	2,203	2,054	1,981	2,485	2,716	1,715	1,276
	SKEWNESS	-0,007	0,126	0,101	0,055	0,322	2,321	3,505
	KURTOSIS	3,205	3,084	2,315	2,426	2,042	8,663	17,95
FOLK AND WARD METHOD (µm)	MEAN	23,33	19,35	11,40	24,70	43,98	276,8	308,7
	SORTING	4,498	4,111	4,123	5,636	6,619	2,460	1,796
	SKEWNESS	-0,066	-0,108	-0,042	-0,097	-0,146	-0,399	-0,279
	KURTOSIS	1,123	1,071	0,885	0,872	0,731	2,149	1,761
FOLK AND WARD METHOD (φ)	MEAN	5,422	5,691	6,455	5,340	4,507	1,853	1,696
	SORTING	2,169	2,039	2,044	2,495	2,727	1,299	0,845
	SKEWNESS	0,066	0,108	0,042	0,097	0,146	0,399	0,279
	KURTOSIS	1,123	1,071	0,885	0,872	0,731	2,149	1,761
FOLK AND WARD METHOD (Description)	MEAN:	Coarse Silt	Coarse Silt	Medium Silt	Coarse Silt	Very Coarse Silt	Medium Sand	Medium Sand
	SORTING:	Very Poorly Sorted	Very Poorly Sorted	Very Poorly Sorted	Very Poorly Sorted	Very Poorly Sorted	Poorly Sorted	Moderately Sorted
	SKEWNESS:	Symmetrical	Fine Skewed	Symmetrical	Symmetrical	Fine Skewed	Very Fine Skewed	Fine Skewed
	KURTOSIS:	Leptokurtic	Mesokurtic	Platykurtic	Platykurtic	Platykurtic	Very Leptokurtic	Very Leptokurtic
MODE 1 (µm):	32,44	32,44	12,33	74,31	257,7	339,7	339,7	
MODE 2 (µm):				10,74	10,74			
MODE 3 (µm):					32,44			
MODE 1 (φ):	4,950	4,950	6,345	3,754	1,960	1,561	1,561	
MODE 2 (φ):				6,544	6,544			
MODE 3 (φ):					4,950			
D ₁₀ (µm):	3,172	2,836	1,742	2,385	3,133	42,17	169,3	
D ₂₀ (µm):	25,23	21,60	11,81	28,07	50,86	298,0	314,6	
D ₃₀ (µm):	144,2	105,0	67,88	204,6	397,0	551,7	520,4	
(D ₃₀ / D ₁₀) (µm):	45,45	37,02	38,96	85,81	126,7	13,08	3,073	
(D ₃₀ - D ₁₀) (µm):	141,0	102,2	66,13	202,3	393,9	509,5	351,1	
(D ₇₅ / D ₂₅) (µm):	6,677	6,286	7,958	13,29	24,54	2,125	1,772	
(D ₇₅ - D ₂₅) (µm):	51,76	41,43	28,52	84,52	228,1	222,2	180,3	
D ₁₀ (φ):	2,794	3,252	3,881	2,289	1,333	0,858	0,942	
D ₂₀ (φ):	5,309	5,533	6,404	5,155	4,297	1,747	1,669	
D ₃₀ (φ):	8,300	8,462	9,165	8,712	8,318	4,567	2,562	
(D ₃₀ / D ₁₀) (φ):	2,971	2,602	2,361	3,806	6,241	5,322	2,719	
(D ₃₀ - D ₁₀) (φ):	5,506	5,210	5,284	6,423	6,986	3,709	1,620	
(D ₇₅ / D ₂₅) (φ):	1,678	1,611	1,606	2,081	3,228	1,868	1,649	
(D ₇₅ - D ₂₅) (φ):	2,739	2,652	2,992	3,733	4,617	1,087	0,826	
% GRAVEL:	0,0%	0,0%	0,0%	0,0%	0,0%	0,0%	0,0%	
% SAND:	24,4%	19,0%	11,4%	34,1%	47,3%	88,2%	94,5%	
% MUD:	75,6%	81,0%	88,6%	65,9%	52,7%	11,8%	5,5%	
% V COARSE GRAVEL:	0,0%	0,0%	0,0%	0,0%	0,0%	0,0%	0,0%	
% COARSE GRAVEL:	0,0%	0,0%	0,0%	0,0%	0,0%	0,0%	0,0%	
% MEDIUM GRAVEL:	0,0%	0,0%	0,0%	0,0%	0,0%	0,0%	0,0%	
% FINE GRAVEL:	0,0%	0,0%	0,0%	0,0%	0,0%	0,0%	0,0%	
% V FINE GRAVEL:	0,0%	0,0%	0,0%	0,0%	0,0%	0,0%	0,0%	
% V COARSE SAND:	1,4%	0,4%	0,0%	1,8%	1,2%	0,0%	0,0%	
% COARSE SAND:	1,9%	0,7%	0,0%	1,4%	4,3%	14,8%	12,1%	
% MEDIUM SAND:	2,5%	2,5%	0,1%	4,5%	17,9%	47,5%	57,9%	
% FINE SAND:	5,9%	4,5%	2,9%	10,3%	16,0%	23,8%	24,1%	
% V FINE SAND:	12,7%	10,9%	8,3%	16,1%	7,9%	2,2%	0,4%	
% V COARSE SILT:	19,3%	19,6%	14,6%	14,0%	9,9%	3,3%	1,7%	
% COARSE SILT:	19,3%	20,4%	17,0%	11,9%	10,4%	2,7%	0,9%	
% MEDIUM SILT:	15,0%	16,0%	17,4%	12,7%	10,8%	2,2%	0,9%	
% FINE SILT:	10,0%	11,3%	15,7%	11,1%	9,3%	1,6%	0,8%	
% V FINE SILT:	6,0%	7,0%	12,4%	8,3%	6,4%	1,0%	0,6%	
% CLAY:	6,1%	6,7%	11,6%	7,9%	5,9%	1,0%	0,6%	

		27-03 49-50	27-03 50-51	27-03 51-52	27-03 53-54	27-03 54-55	27-03 55-56	27-03 56-57
ANALYST AND DATE:								
SIEVING ERROR:								
SAMPLE TYPE:		Unimodal, Very Poorly Sorted	Unimodal, Very Poorly Sorted	Bimodal, Very Poorly Sorted	Unimodal, Very Poorly Sorted	Unimodal, Poorly Sorted	Bimodal, Very Poorly Sorted	Trimodal, Very Poorly Sorted
TEXTURAL GROUP:		Sandy Mud	Slightly Gravelly Sandy Mud	Slightly Gravelly Sandy Mud	Slightly Gravelly Sandy Mud	Sand	Muddy Sand	Slightly Gravelly Sandy Mud
SEDIMENT NAME:		Very Fine Sandy Coarse Silt	Very Fine Gravelly Very Fine Sandy	Fine Gravelly Medium Sandy Ver	Fine Gravelly Very Fine Sandy Ve	Poorly Sorted Medium Sand	Coarse Silty Medium Sand	Very Fine Gravelly Very Fine Sandy
METHOD OF MOMENTS Arithmetic (µm)	MEAN	47,33	90,41	183,2	111,9	271,3	190,0	133,0
	SORTING	74,09	224,3	307,8	225,7	138,9	155,2	284,0
	SKEWNESS	3,317	4,794	2,661	4,095	0,271	0,504	3,667
	KURTOSIS	16,19	28,66	10,91	22,99	3,274	2,507	17,40
METHOD OF MOMENTS Geometric (µm)	MEAN	19,38	25,93	42,84	33,45	203,5	90,83	33,94
	SORTING	4,179	4,584	6,936	5,085	2,889	4,932	5,357
	SKEWNESS	-0,233	0,108	-0,112	-0,095	-2,686	-1,023	0,103
	KURTOSIS	2,750	3,461	2,136	2,834	10,92	3,023	2,884
METHOD OF MOMENTS Logarithmic (φ)	MEAN	5,689	5,269	4,545	4,902	2,297	3,461	4,881
	SORTING	2,063	2,197	2,794	2,346	1,531	2,302	2,421
	SKEWNESS	0,233	-0,108	0,112	0,095	2,686	1,023	-0,103
	KURTOSIS	2,750	3,461	2,136	2,834	10,92	3,023	2,884
FOLK AND WARD METHOD (µm)	MEAN	19,51	25,13	44,07	33,65	253,1	96,12	35,09
	SORTING	4,302	4,435	7,440	5,227	2,146	4,602	5,509
	SKEWNESS	-0,096	-0,017	-0,003	-0,023	-0,355	-0,616	0,142
	KURTOSIS	1,056	1,289	0,810	1,088	2,228	0,784	1,072
FOLK AND WARD METHOD (φ)	MEAN	5,680	5,314	4,504	4,893	1,982	3,379	4,833
	SORTING	2,105	2,149	2,895	2,386	1,102	2,202	2,462
	SKEWNESS	0,096	0,017	0,003	0,023	0,355	0,616	-0,142
	KURTOSIS	1,056	1,289	0,810	1,088	2,228	0,784	1,072
FOLK AND WARD METHOD (Description)	MEAN:	Coarse Silt	Coarse Silt	Very Coarse Silt	Very Coarse Silt	Medium Sand	Very Fine Sand	Very Coarse Silt
	SORTING:	Very Poorly Sorted	Very Poorly Sorted	Very Poorly Sorted	Very Poorly Sorted	Poorly Sorted	Very Poorly Sorted	Very Poorly Sorted
	SKEWNESS:	Symmetrical	Symmetrical	Symmetrical	Symmetrical	Very Fine Skewed	Very Fine Skewed	Coarse Skewed
	KURTOSIS:	Mesokurtic	Leptokurtic	Platykurtic	Mesokurtic	Very Leptokurtic	Platykurtic	Mesokurtic
MODE 1 (µm):		28,25	32,44	339,7	32,44	295,8	257,7	18,67
MODE 2 (µm):				37,24			18,67	170,2
MODE 3 (µm):								1177,7
MODE 1 (φ):		5,149	4,950	1,561	4,950	1,761	1,960	5,747
MODE 2 (φ):				4,750			5,747	2,558
MODE 3 (φ):								-0,233
D ₁₀ (µm):		2,649	3,871	3,143	3,858	93,73	8,362	4,728
D ₂₀ (µm):		21,44	26,45	42,44	34,33	261,9	187,9	29,00
D ₃₀ (µm):		116,8	173,8	547,3	280,1	452,7	401,1	317,2
(D ₃₀ / D ₁₀) (µm):		44,07	44,89	174,1	72,59	4,830	47,97	67,10
(D ₃₀ - D ₁₀) (µm):		114,1	169,9	544,2	276,2	359,0	392,8	312,5
(D ₇₅ / D ₂₅) (µm):		6,631	5,560	23,18	8,185	1,884	11,70	9,350
(D ₇₅ - D ₂₅) (µm):		43,44	47,98	216,5	85,37	165,7	270,0	95,97
D ₁₀ (φ):		3,098	2,525	0,870	1,836	1,143	1,318	1,656
D ₂₀ (φ):		5,544	5,241	4,558	4,865	1,933	2,412	5,108
D ₃₀ (φ):		8,560	8,013	8,314	8,018	3,415	6,902	7,725
(D ₃₀ / D ₁₀) (φ):		2,763	3,174	9,560	4,367	2,987	5,237	4,664
(D ₃₀ - D ₁₀) (φ):		5,462	5,488	7,444	6,182	2,272	5,584	6,068
(D ₇₅ / D ₂₅) (φ):		1,636	1,604	3,115	1,902	1,609	3,016	2,002
(D ₇₅ - D ₂₅) (φ):		2,729	2,475	4,535	3,033	0,914	3,548	3,225
% GRAVEL:		0,0%	0,0%	0,1%	0,0%	0,0%	0,0%	0,1%
% SAND:		20,5%	23,4%	43,3%	34,3%	90,0%	66,4%	33,2%
% MUD:		79,5%	76,6%	56,7%	65,7%	10,0%	33,6%	66,7%
% V COARSE GRAVEL:		0,0%	0,0%	0,0%	0,0%	0,0%	0,0%	0,0%
% COARSE GRAVEL:		0,0%	0,0%	0,0%	0,0%	0,0%	0,0%	0,0%
% MEDIUM GRAVEL:		0,0%	0,0%	0,0%	0,0%	0,0%	0,0%	0,0%
% FINE GRAVEL:		0,0%	0,0%	0,0%	0,0%	0,0%	0,0%	0,0%
% V FINE GRAVEL:		0,0%	0,0%	0,1%	0,0%	0,0%	0,0%	0,1%
% V COARSE SAND:		0,0%	2,0%	3,6%	1,8%	0,0%	0,0%	3,4%
% COARSE SAND:		0,2%	2,3%	7,6%	3,4%	6,1%	3,5%	3,1%
% MEDIUM SAND:		3,1%	3,3%	12,0%	6,0%	48,0%	31,2%	6,2%
% FINE SAND:		5,8%	5,1%	9,8%	9,3%	34,4%	28,0%	10,0%
% V FINE SAND:		11,3%	10,7%	10,2%	13,8%	1,6%	3,8%	10,5%
% V COARSE SILT:		18,1%	20,9%	12,0%	18,3%	2,7%	5,7%	14,8%
% COARSE SILT:		20,4%	21,4%	11,8%	17,2%	2,4%	9,7%	18,9%
% MEDIUM SILT:		15,8%	15,0%	11,4%	11,9%	1,7%	8,8%	16,2%
% FINE SILT:		10,8%	9,2%	9,2%	8,2%	1,4%	4,7%	8,4%
% V FINE SILT:		7,3%	4,9%	6,3%	5,1%	0,9%	2,2%	3,8%
% CLAY:		7,1%	5,2%	5,9%	5,0%	0,9%	2,5%	4,6%

		27-03 57-58	27-03 58-59	27-03 59-60	27-03 60-61	27-03 61-62	27-03 62-63	27-03 63-64
ANALYST AND DATE:								
SIEVING ERROR:								
SAMPLE TYPE:		Bimodal, Very Poorly Sorted	Unimodal, Very Poorly Sorted	Unimodal, Poorly Sorted	Unimodal, Very Poorly Sorted	Unimodal, Very Poorly Sorted	Unimodal, Poorly Sorted	Bimodal, Very Poorly Sorted
TEXTURAL GROUP:		Slightly Gravelly Sandy Mud	Slightly Gravelly Sandy Mud	Slightly Gravelly Muddy Sand	Slightly Gravelly Sandy Mud	Slightly Gravelly Sandy Mud	Sandy Mud	Slightly Gravelly Sandy Mud
SEDIMENT NAME:		Fine Gravelly Very Fine Sandy	Fine Gravelly Very Fine Sandy	Fine Gravelly Very Coarse Silty	Fine Gravelly Very Fine Sandy	Fine Gravelly Very Fine Sandy	Very Fine Sandy Coarse Silt	Fine Gravelly Very Fine Sandy
METHOD OF MOMENTS Arithmetic (µm)	MEAN	93,79	87,98	151,0	96,55	68,19	39,44	138,7
	SORTING	278,4	240,1	188,1	207,3	196,7	63,18	279,0
	SKEWNESS	4,353	4,480	5,100	5,168	5,766	3,637	3,620
	KURTOSIS	21,96	24,81	36,94	34,21	39,88	19,54	17,33
METHOD OF MOMENTS Geometric (µm)	MEAN	17,76	19,42	86,35	30,31	17,69	16,79	34,89
	SORTING	5,161	4,890	3,612	5,040	4,699	3,946	5,972
	SKEWNESS	0,516	0,458	-1,393	-0,193	0,230	-0,200	-0,067
	KURTOSIS	3,550	3,603	5,425	2,713	3,240	2,933	2,451
METHOD OF MOMENTS Logarithmic (φ)	MEAN	5,815	5,686	3,534	5,044	5,821	5,896	4,841
	SORTING	2,368	2,290	1,853	2,333	2,232	1,981	2,578
	SKEWNESS	-0,516	-0,458	1,393	0,193	-0,230	0,200	0,067
	KURTOSIS	3,550	3,603	5,425	2,713	3,240	2,933	2,451
FOLK AND WARD METHOD (µm)	MEAN	16,23	18,51	94,59	30,15	17,11	17,10	34,37
	SORTING	5,364	4,776	3,097	4,967	4,527	3,978	6,285
	SKEWNESS	0,086	0,130	-0,410	-0,136	-0,010	-0,050	-0,038
	KURTOSIS	1,292	1,418	1,694	0,924	1,046	1,098	0,955
FOLK AND WARD METHOD (φ)	MEAN	5,945	5,756	3,402	5,052	5,869	5,870	4,863
	SORTING	2,423	2,256	1,631	2,312	2,178	1,992	2,652
	SKEWNESS	-0,086	-0,130	0,410	0,136	0,010	0,050	0,038
	KURTOSIS	1,292	1,418	1,694	0,924	1,046	1,098	0,955
FOLK AND WARD METHOD (Description)	MEAN:	Coarse Silt	Coarse Silt	Very Fine Sand	Coarse Silt	Coarse Silt	Coarse Silt	Very Coarse Silt
	SORTING:	Very Poorly Sorted	Very Poorly Sorted	Poorly Sorted	Very Poorly Sorted	Very Poorly Sorted	Poorly Sorted	Very Poorly Sorted
	SKEWNESS:	Symmetrical	Coarse Skewed	Very Fine Skewed	Fine Skewed	Symmetrical	Symmetrical	Symmetrical
	KURTOSIS:	Leptokurtic	Leptokurtic	Very Leptokurtic	Mesokurtic	Mesokurtic	Mesokurtic	Mesokurtic
MODE 1 (µm):	18,67	14,16	129,1	97,96	16,26	18,67	97,96	
MODE 2 (µm):	1177,7						1177,7	
MODE 3 (µm):								
MODE 1 (φ):	5,747	6,146	2,957	3,355	5,946	5,747	3,355	
MODE 2 (φ):	-0,233						-0,233	
MODE 3 (φ):								
D ₁₀ (µm):	2,325	3,045	13,37	3,260	2,390	2,680	3,087	
D ₂₀ (µm):	16,65	17,06	116,5	34,53	17,39	17,61	36,87	
D ₃₀ (µm):	117,2	151,1	267,1	197,9	112,7	94,42	329,7	
(D ₃₀ / D ₁₀) (µm):	50,39	49,61	19,98	60,71	47,17	35,23	106,8	
(D ₃₀ - D ₁₀) (µm):	114,8	148,0	253,7	194,7	110,3	91,74	326,6	
(D ₇₅ / D ₂₅) (µm):	7,168	5,468	2,823	10,04	7,308	5,846	13,44	
(D ₇₅ - D ₂₅) (µm):	37,42	34,36	117,4	89,57	40,57	34,89	119,1	
D ₁₀ (φ):	3,093	2,727	1,905	2,337	3,149	3,405	1,601	
D ₂₀ (φ):	5,908	5,873	3,102	4,856	5,845	5,827	4,761	
D ₃₀ (φ):	8,748	8,360	6,225	8,261	8,709	8,543	8,340	
(D ₃₀ / D ₁₀) (φ):	2,828	3,066	3,268	3,535	2,766	2,509	5,209	
(D ₃₀ - D ₁₀) (φ):	5,655	5,633	4,320	5,924	5,560	5,139	6,739	
(D ₇₅ / D ₂₅) (φ):	1,628	1,536	1,609	1,999	1,650	1,557	2,267	
(D ₇₅ - D ₂₅) (φ):	2,842	2,451	1,497	3,328	2,869	2,547	3,748	
% GRAVEL:	0,1%	0,0%	0,0%	0,0%	0,0%	0,0%	0,1%	
% SAND:	17,8%	18,2%	75,7%	36,7%	19,2%	16,3%	39,6%	
% MUD:	82,1%	81,8%	24,2%	63,2%	80,8%	83,7%	60,3%	
% V COARSE GRAVEL:	0,0%	0,0%	0,0%	0,0%	0,0%	0,0%	0,0%	
% COARSE GRAVEL:	0,0%	0,0%	0,0%	0,0%	0,0%	0,0%	0,0%	
% MEDIUM GRAVEL:	0,0%	0,0%	0,0%	0,0%	0,0%	0,0%	0,0%	
% FINE GRAVEL:	0,0%	0,0%	0,0%	0,0%	0,0%	0,0%	0,0%	
% V FINE GRAVEL:	0,1%	0,0%	0,0%	0,0%	0,0%	0,0%	0,1%	
% V COARSE SAND:	3,5%	2,2%	1,4%	1,7%	1,5%	0,0%	3,3%	
% COARSE SAND:	1,7%	3,0%	0,9%	1,5%	1,5%	0,1%	3,5%	
% MEDIUM SAND:	0,9%	2,6%	9,6%	3,8%	1,4%	2,2%	6,6%	
% FINE SAND:	3,2%	3,3%	34,0%	12,2%	4,3%	4,7%	12,2%	
% V FINE SAND:	8,4%	7,1%	29,8%	17,5%	10,4%	9,3%	14,1%	
% V COARSE SILT:	15,0%	13,6%	8,5%	15,4%	15,3%	16,7%	13,5%	
% COARSE SILT:	18,8%	21,1%	4,7%	14,4%	18,4%	20,6%	13,1%	
% MEDIUM SILT:	17,7%	21,6%	3,8%	12,4%	17,8%	19,5%	12,0%	
% FINE SILT:	13,5%	12,9%	2,9%	9,2%	13,1%	12,8%	9,2%	
% V FINE SILT:	8,9%	5,9%	2,2%	6,1%	8,2%	6,9%	6,4%	
% CLAY:	8,1%	6,7%	2,1%	5,7%	8,0%	7,3%	6,0%	

		27-03 64-65	27-03 65-66	27-03 66-67	27-03 68-69	27-03 69-70	27-03 70-71	27-03 71-72
ANALYST AND DATE:								
SIEVING ERROR:								
SAMPLE TYPE:		Unimodal, Very Poorly Sorted	Bimodal, Very Poorly Sorted	Trimodal, Very Poorly Sorted	Unimodal, Moderately Well Sorted	Unimodal, Moderately Sorted	Unimodal, Poorly Sorted	Unimodal, Moderately Sorted
TEXTURAL GROUP:		Sandy Mud	Slightly Gravelly Sandy Mud	Slightly Gravelly Muddy Sand	Sand	Sand	Slightly Gravelly Muddy Sand	Slightly Gravelly Sand
SEDIMENT NAME:		Very Fine Sandy Coarse Silt	Fine Gravelly Very Fine Sandy Very	Fine Gravelly Medium Silty Med	Moderately Well Sorted Fine Sand	Moderately Sorted Fine Sand	Very Fine Gravelly Coarse Silty Fill	lightly Very Fine Gravelly Fine Sand
METHOD OF MOMENTS Arithmetic (µm)	MEAN	39,48	164,3	259,9	252,2	227,5	264,6	241,1
	SORTING	59,70	306,5	291,3	113,5	107,7	269,3	194,1
	SKEWNESS	2,790	3,053	2,267	0,442	0,482	2,990	3,868
	KURTOSIS	11,60	12,90	9,843	3,567	3,691	13,91	25,60
METHOD OF MOMENTS Geometric (µm)	MEAN	16,22	43,25	105,6	208,7	184,3	167,6	182,8
	SORTING	4,083	5,792	5,777	2,338	2,432	3,199	2,443
	SKEWNESS	-0,121	-0,084	-1,003	-3,566	-3,235	-1,749	-2,295
	KURTOSIS	2,662	2,621	3,172	18,96	15,95	7,930	12,50
METHOD OF MOMENTS Logarithmic (φ)	MEAN	5,946	4,531	3,244	2,261	2,440	2,577	2,451
	SORTING	2,030	2,534	2,530	1,225	1,282	1,677	1,289
	SKEWNESS	0,121	0,084	1,003	3,566	3,235	1,749	2,295
	KURTOSIS	2,662	2,621	3,172	18,96	15,95	7,930	12,50
FOLK AND WARD METHOD (µm)	MEAN	16,44	44,06	103,3	235,6	212,0	192,2	200,0
	SORTING	4,239	6,124	5,760	1,575	1,860	2,601	1,942
	SKEWNESS	-0,019	0,027	-0,507	-0,103	-0,266	-0,166	-0,156
	KURTOSIS	1,058	1,039	1,036	1,106	1,776	1,952	1,467
FOLK AND WARD METHOD (φ)	MEAN	5,926	4,504	3,276	2,086	2,238	2,379	2,322
	SORTING	2,084	2,614	2,526	0,656	0,895	1,379	0,958
	SKEWNESS	0,019	-0,027	0,507	0,103	0,266	0,166	0,156
	KURTOSIS	1,058	1,039	1,036	1,106	1,776	1,952	1,467
FOLK AND WARD METHOD (Description)	MEAN:	Coarse Silt	Very Coarse Silt	Very Fine Sand	Fine Sand	Fine Sand	Fine Sand	Fine Sand
	SORTING:	Very Poorly Sorted	Very Poorly Sorted	Very Poorly Sorted	Moderately Well Sorted	Moderately Sorted	Poorly Sorted	Moderately Sorted
	SKEWNESS:	Symmetrical	Symmetrical	Very Fine Skewed	Fine Skewed	Fine Skewed	Fine Skewed	Fine Skewed
	KURTOSIS:	Mesokurtic	Mesokurtic	Mesokurtic	Mesokurtic	Very Leptokurtic	Very Leptokurtic	Leptokurtic
MODE 1 (µm):	18,67	32,44	257,7	257,7	224,4	195,5	195,5	
MODE 2 (µm):		893,4	10,74					
MODE 3 (µm):			32,44					
MODE 1 (φ):	5,747	4,950	1,960	1,960	2,159	2,359	2,359	
MODE 2 (φ):		0,166	6,544					
MODE 3 (φ):			4,950					
D ₁₀ (µm):	2,457	4,298	6,347	131,0	113,0	59,20	95,49	
D ₂₀ (µm):	16,64	41,77	194,2	238,5	215,1	195,2	201,4	
D ₃₀ (µm):	108,0	475,1	580,2	403,8	368,9	484,5	401,7	
(D ₃₀ / D ₁₀) (µm):	43,97	110,5	91,41	3,082	3,264	8,184	4,207	
(D ₃₀ - D ₁₀) (µm):	105,6	470,8	573,8	272,8	255,9	425,3	306,2	
(D ₇₅ / D ₂₅) (µm):	6,505	10,84	9,420	1,792	1,828	2,360	2,063	
(D ₇₅ - D ₂₅) (µm):	35,52	134,7	308,3	140,1	130,8	171,8	148,6	
D ₁₀ (φ):	3,210	1,074	0,785	1,308	1,439	1,045	1,316	
D ₂₀ (φ):	5,909	4,581	2,365	2,068	2,217	2,357	2,312	
D ₃₀ (φ):	8,669	7,862	7,300	2,932	3,145	4,078	3,389	
(D ₃₀ / D ₁₀) (φ):	2,700	7,322	9,294	2,241	2,186	3,901	2,575	
(D ₃₀ - D ₁₀) (φ):	5,458	6,788	6,514	1,624	1,707	3,033	2,073	
(D ₇₅ / D ₂₅) (φ):	1,591	2,249	3,107	1,508	1,486	1,709	1,582	
(D ₇₅ - D ₂₅) (φ):	2,702	3,439	3,236	0,842	0,870	1,239	1,045	
% GRAVEL:	0,0%	0,1%	0,1%	0,0%	0,0%	0,1%	0,0%	
% SAND:	17,3%	40,8%	70,9%	95,3%	94,2%	89,7%	94,4%	
% MUD:	82,7%	59,2%	29,1%	4,7%	5,8%	10,3%	5,6%	
% V COARSE GRAVEL:	0,0%	0,0%	0,0%	0,0%	0,0%	0,0%	0,0%	
% COARSE GRAVEL:	0,0%	0,0%	0,0%	0,0%	0,0%	0,0%	0,0%	
% MEDIUM GRAVEL:	0,0%	0,0%	0,0%	0,0%	0,0%	0,0%	0,0%	
% FINE GRAVEL:	0,0%	0,0%	0,0%	0,0%	0,0%	0,0%	0,0%	
% V FINE GRAVEL:	0,0%	0,1%	0,1%	0,0%	0,0%	0,1%	0,0%	
% V COARSE SAND:	0,0%	3,9%	3,4%	0,0%	0,0%	3,5%	1,4%	
% COARSE SAND:	0,0%	5,5%	9,7%	2,9%	1,6%	6,0%	3,6%	
% MEDIUM SAND:	2,0%	7,5%	25,9%	42,8%	35,0%	24,9%	29,1%	
% FINE SAND:	6,4%	10,8%	24,5%	45,7%	50,2%	41,0%	46,5%	
% V FINE SAND:	8,9%	13,0%	7,4%	4,0%	7,3%	14,3%	13,7%	
% V COARSE SILT:	14,9%	16,3%	5,4%	0,7%	0,8%	2,3%	1,0%	
% COARSE SILT:	19,6%	15,4%	5,8%	1,1%	1,6%	2,6%	1,8%	
% MEDIUM SILT:	18,8%	10,9%	6,1%	0,7%	0,9%	1,7%	0,9%	
% FINE SILT:	13,5%	7,3%	5,1%	0,8%	1,0%	1,5%	0,8%	
% V FINE SILT:	8,2%	4,6%	3,3%	0,6%	0,7%	1,1%	0,6%	
% CLAY:	7,7%	4,6%	3,3%	0,8%	0,8%	1,1%	0,6%	

		27-03 72-73	27-03 73-74	27-03 74-75	27-04 00-01	27-04 01-02	27-04 02-03	27-04 03-04
ANALYST AND DATE:								
SIEVING ERROR:								
SAMPLE TYPE:		Unimodal, Poorly Sorted	Bimodal, Poorly Sorted	Bimodal, Very Poorly Sorted	Bimodal, Very Poorly Sorted	Bimodal, Very Poorly Sorted	Bimodal, Very Poorly Sorted	Bimodal, Very Poorly Sorted
TEXTURAL GROUP:		Slightly Gravelly Sand	Slightly Gravelly Muddy Sand	Slightly Gravelly Muddy Sand	Slightly Gravelly Sandy Mud	Sandy Mud	Slightly Gravelly Sandy Mud	Slightly Gravelly Sandy Mud
SEDIMENT NAME:		lightly Very Fine Gravelly Fine Sandry	Fine Gravelly Very Coarse Silty	Fine Gravelly Very Coarse Silty	Fine Gravelly Very Fine Sandy N	Very Fine Sandy Medium Silt	Fine Gravelly Very Fine Sandy N	Fine Gravelly Very Fine Sandy N
METHOD OF MOMENTS	MEAN	230,8	381,3	553,1	64,72	61,76	76,43	105,7
Arithmetic (µm)	SORTING	211,1	392,1	487,4	156,4	153,1	205,4	306,2
	SKEWNESS	3,969	1,626	0,762	5,699	3,900	4,495	3,638
	KURTOSIS	24,36	5,188	2,653	45,75	19,53	26,64	15,93
	MEAN	166,6	213,0	271,8	15,49	12,32	13,50	12,41
METHOD OF MOMENTS	MEAN	166,6	213,0	271,8	15,49	12,32	13,50	12,41
Geometric (µm)	SORTING	2,618	3,536	4,736	5,438	5,427	5,653	6,303
	SKEWNESS	-2,098	-1,114	-1,247	0,260	0,552	0,605	0,850
	KURTOSIS	11,02	5,450	4,362	2,496	2,938	3,044	3,505
	MEAN	2,585	2,231	1,880	6,012	6,343	6,211	6,333
METHOD OF MOMENTS	MEAN	2,585	2,231	1,880	6,012	6,343	6,211	6,333
Logarithmic (φ)	SORTING	1,389	1,822	2,244	2,443	2,440	2,499	2,656
	SKEWNESS	2,098	1,114	1,247	-0,260	-0,552	-0,605	-0,850
	KURTOSIS	11,02	5,450	4,362	2,496	2,938	3,044	3,505
	MEAN	183,8	244,8	320,1	15,20	11,79	12,75	10,76
FOLK AND WARD METHOD	MEAN	183,8	244,8	320,1	15,20	11,79	12,75	10,76
(µm)	SORTING	2,071	3,229	4,226	5,656	5,696	5,790	6,410
	SKEWNESS	-0,173	-0,001	-0,426	0,133	0,208	0,216	0,236
	KURTOSIS	1,591	1,162	1,018	0,923	1,168	1,185	1,287
	MEAN	2,444	2,030	1,643	6,040	6,406	6,293	6,538
FOLK AND WARD METHOD	MEAN	2,444	2,030	1,643	6,040	6,406	6,293	6,538
(φ)	SORTING	1,050	1,691	2,079	2,500	2,510	2,534	2,680
	SKEWNESS	0,173	0,001	0,426	-0,133	-0,208	-0,216	-0,236
	KURTOSIS	1,591	1,162	1,018	0,923	1,168	1,185	1,287
	MEAN:	Fine Sand	Fine Sand	Medium Sand	Medium Silt	Medium Silt	Medium Silt	Medium Silt
FOLK AND WARD METHOD	MEAN:	Fine Sand	Fine Sand	Medium Sand	Medium Silt	Medium Silt	Medium Silt	Medium Silt
(Description)	SORTING:	Poorly Sorted	Poorly Sorted	Very Poorly Sorted	Very Poorly Sorted	Very Poorly Sorted	Very Poorly Sorted	Very Poorly Sorted
	SKEWNESS:	Fine Skewed	Symmetrical	Very Fine Skewed	Coarse Skewed	Coarse Skewed	Coarse Skewed	Coarse Skewed
	KURTOSIS:	Very Leptokurtic	Leptokurtic	Mesokurtic	Mesokurtic	Leptokurtic	Leptokurtic	Leptokurtic
	MODE 1 (µm):	195,5	170,2	893,4	8,148	8,148	9,355	8,148
MODE 2 (µm):		778,1	170,2	49,10	514,1	390,0	1025,7	
MODE 3 (µm):								
MODE 1 (φ):	2,359	2,558	0,166	6,943	6,943	6,743	6,943	
MODE 2 (φ):		0,365	2,558	4,352	0,963	1,362	-0,033	
MODE 3 (φ):								
D ₁₀ (µm):	83,31	57,31	30,96	1,826	1,614	1,735	1,514	
D ₂₀ (µm):	185,4	218,1	439,7	12,85	9,713	10,41	9,330	
D ₃₀ (µm):	384,2	981,9	1267,7	164,2	144,7	183,9	127,2	
(D ₃₀ / D ₁₀) (µm):	4,611	17,13	40,95	89,94	89,65	106,0	84,05	
(D ₃₀ - D ₁₀) (µm):	300,9	924,6	1236,8	162,4	143,1	182,2	125,7	
(D ₇₅ / D ₂₅) (µm):	2,131	4,351	7,317	11,79	8,167	8,178	8,782	
(D ₇₅ - D ₂₅) (µm):	142,9	402,3	769,9	49,03	28,28	30,61	27,60	
D ₁₀ (φ):	1,380	0,026	-0,342	2,607	2,789	2,443	2,974	
D ₂₀ (φ):	2,431	2,197	1,185	6,282	6,686	6,586	6,744	
D ₃₀ (φ):	3,585	4,125	5,014	9,097	9,275	9,171	9,367	
(D ₃₀ / D ₁₀) (φ):	2,598	156,2	-14,649	3,490	3,326	3,754	3,149	
(D ₃₀ - D ₁₀) (φ):	2,205	4,099	5,356	6,491	6,486	6,728	6,393	
(D ₇₅ / D ₂₅) (φ):	1,576	3,264	18,37	1,843	1,611	1,626	1,626	
(D ₇₅ - D ₂₅) (φ):	1,092	2,121	2,871	3,560	3,030	3,032	3,135	
% GRAVEL:	0,0%	0,1%	0,3%	0,0%	0,0%	0,0%	0,1%	
% SAND:	93,2%	89,1%	84,6%	22,6%	17,0%	17,9%	15,5%	
% MUD:	6,7%	10,8%	15,1%	77,4%	83,0%	82,1%	84,4%	
% V COARSE GRAVEL:	0,0%	0,0%	0,0%	0,0%	0,0%	0,0%	0,0%	
% COARSE GRAVEL:	0,0%	0,0%	0,0%	0,0%	0,0%	0,0%	0,0%	
% MEDIUM GRAVEL:	0,0%	0,0%	0,0%	0,0%	0,0%	0,0%	0,0%	
% FINE GRAVEL:	0,0%	0,0%	0,0%	0,0%	0,0%	0,0%	0,0%	
% V FINE GRAVEL:	0,0%	0,1%	0,3%	0,0%	0,0%	0,0%	0,1%	
% V COARSE SAND:	1,9%	9,5%	19,5%	0,7%	0,3%	1,3%	4,1%	
% COARSE SAND:	3,1%	16,4%	27,2%	1,4%	3,3%	3,2%	3,7%	
% MEDIUM SAND:	24,4%	18,7%	12,8%	4,1%	3,8%	3,9%	0,6%	
% FINE SAND:	46,1%	28,7%	14,7%	6,7%	3,5%	3,5%	1,6%	
% V FINE SAND:	17,7%	15,8%	10,4%	9,6%	6,2%	5,9%	5,5%	
% V COARSE SILT:	1,3%	3,8%	5,0%	10,8%	8,4%	8,6%	9,4%	
% COARSE SILT:	1,9%	2,7%	3,6%	12,3%	11,9%	12,5%	12,0%	
% MEDIUM SILT:	1,1%	1,7%	2,4%	16,6%	19,3%	19,7%	18,1%	
% FINE SILT:	1,0%	1,1%	1,7%	15,8%	18,6%	18,2%	17,9%	
% V FINE SILT:	0,7%	0,8%	1,2%	11,1%	12,2%	11,6%	13,3%	
% CLAY:	0,7%	0,7%	1,1%	10,9%	12,5%	11,5%	13,8%	

		27-04 04-05	27-04 05-06	27-04 06-08	27-04 08-09	27-04 09-10	27-04 10-11	27-04 11-12
ANALYST AND DATE:								
SIEVING ERROR:								
SAMPLE TYPE:		Bimodal, Very Poorly Sorted	Bimodal, Very Poorly Sorted	Unimodal, Very Poorly Sorted	Trimodal, Very Poorly Sorted	Trimodal, Very Poorly Sorted	Bimodal, Very Poorly Sorted	Bimodal, Very Poorly Sorted
TEXTURAL GROUP:		Slightly Gravelly Sandy Mud	Slightly Gravelly Muddy Sand	Slightly Gravelly Sandy Mud	Slightly Gravelly Sandy Mud	Slightly Gravelly Sandy Mud	Slightly Gravelly Muddy Sand	Sandy Mud
SEDIMENT NAME:		Fine Gravelly Very Fine Sandy	Fine Gravelly Very Coarse Silty	Fine Gravelly Very Fine Sandy	Fine Gravelly Very Fine Sandy	Fine Gravelly Very Fine Sandy	Fine Gravelly Very Coarse Silty	Very Fine Sandy Very Coarse Silt
METHOD OF MOMENTS Arithmetic (µm)	MEAN	107,9	242,0	52,55	117,2	106,5	156,3	110,0
	SORTING	205,9	340,1	140,0	261,3	243,8	244,6	154,1
	SKEWNESS	3,808	2,319	6,341	3,410	4,150	3,490	2,751
	KURTOSIS	21,44	8,706	56,57	15,99	22,67	17,85	12,69
METHOD OF MOMENTS Geometric (µm)	MEAN	27,51	73,34	13,06	18,59	20,61	52,03	37,42
	SORTING	6,062	6,661	4,909	7,084	6,508	5,934	5,701
	SKEWNESS	-0,042	-0,556	0,376	0,399	0,243	-0,591	-0,446
	KURTOSIS	2,229	2,443	2,882	2,355	2,299	2,583	2,292
METHOD OF MOMENTS Logarithmic (φ)	MEAN	5,184	3,769	6,259	5,749	5,600	4,265	4,740
	SORTING	2,600	2,736	2,296	2,824	2,702	2,569	2,511
	SKEWNESS	0,042	0,556	-0,376	-0,399	-0,243	0,591	0,446
	KURTOSIS	2,229	2,443	2,882	2,355	2,299	2,583	2,292
FOLK AND WARD METHOD (µm)	MEAN	27,34	74,96	12,76	18,34	19,77	50,95	38,87
	SORTING	6,332	6,977	5,052	7,581	6,771	6,089	5,803
	SKEWNESS	-0,027	-0,323	0,143	0,261	0,177	-0,384	-0,298
	KURTOSIS	0,862	0,899	1,053	0,932	0,862	0,935	0,833
FOLK AND WARD METHOD (φ)	MEAN	5,193	3,738	6,292	5,769	5,661	4,295	4,685
	SORTING	2,663	2,803	2,337	2,922	2,759	2,606	2,537
	SKEWNESS	0,027	0,323	-0,143	-0,261	-0,177	0,384	0,298
	KURTOSIS	0,862	0,899	1,053	0,932	0,862	0,935	0,833
FOLK AND WARD METHOD (Description)	MEAN:	Coarse Silt	Very Fine Sand	Medium Silt	Coarse Silt	Coarse Silt	Very Coarse Silt	Very Coarse Silt
	SORTING:	Very Poorly Sorted	Very Poorly Sorted	Very Poorly Sorted	Very Poorly Sorted	Very Poorly Sorted	Very Poorly Sorted	Very Poorly Sorted
	SKEWNESS:	Symmetrical	Very Fine Skewed	Coarse Skewed	Coarse Skewed	Coarse Skewed	Very Fine Skewed	Fine Skewed
	KURTOSIS:	Platykurtic	Platykurtic	Mesokurtic	Mesokurtic	Platykurtic	Mesokurtic	Platykurtic
MODE 1 (µm):	85,32	224,4	9,355	8,148	9,355	129,1	129,1	
MODE 2 (µm):	9,355	10,74		85,32	112,5	8,148	9,355	
MODE 3 (µm):				590,2	1177,7			
MODE 1 (φ):	3,554	2,159	6,743	6,943	6,743	2,957	2,957	
MODE 2 (φ):	6,743	6,544		3,554	3,156	6,943	6,743	
MODE 3 (φ):				0,764	-0,233			
D ₁₀ (µm):	2,465	4,299	1,803	1,755	1,976	3,431	3,008	
D ₂₀ (µm):	28,60	119,1	11,02	12,40	15,29	87,41	57,13	
D ₃₀ (µm):	288,2	673,0	114,6	377,6	261,0	341,6	271,8	
(D ₃₀ / D ₁₀) (µm):	116,9	156,5	63,57	215,2	132,1	99,56	90,36	
(D ₃₀ - D ₁₀) (µm):	285,7	668,7	112,8	375,9	259,0	338,2	268,8	
(D ₇₅ / D ₂₅) (µm):	16,20	16,71	8,211	17,45	18,07	13,05	15,30	
(D ₇₅ - D ₂₅) (µm):	103,9	280,9	32,12	75,63	88,03	165,3	135,9	
D ₁₀ (φ):	1,795	0,571	3,125	1,405	1,938	1,550	1,880	
D ₂₀ (φ):	5,128	3,070	6,504	6,333	6,031	3,516	4,130	
D ₃₀ (φ):	8,664	7,862	9,115	9,155	8,983	8,187	8,377	
(D ₃₀ / D ₁₀) (φ):	4,827	13,76	2,917	6,516	4,635	5,283	4,457	
(D ₃₀ - D ₁₀) (φ):	6,870	7,290	5,990	7,750	7,045	6,637	6,498	
(D ₇₅ / D ₂₅) (φ):	2,266	3,331	1,636	2,133	2,220	2,493	2,415	
(D ₇₅ - D ₂₅) (φ):	4,018	4,063	3,038	4,125	4,176	3,706	3,936	
% GRAVEL:	0,0%	0,1%	0,0%	0,0%	0,0%	0,0%	0,0%	
% SAND:	36,5%	60,3%	17,1%	27,9%	31,0%	58,1%	48,3%	
% MUD:	63,5%	39,6%	82,8%	72,1%	69,0%	41,9%	51,7%	
% V COARSE GRAVEL:	0,0%	0,0%	0,0%	0,0%	0,0%	0,0%	0,0%	
% COARSE GRAVEL:	0,0%	0,0%	0,0%	0,0%	0,0%	0,0%	0,0%	
% MEDIUM GRAVEL:	0,0%	0,0%	0,0%	0,0%	0,0%	0,0%	0,0%	
% FINE GRAVEL:	0,0%	0,0%	0,0%	0,0%	0,0%	0,0%	0,0%	
% V FINE GRAVEL:	0,0%	0,1%	0,0%	0,0%	0,0%	0,0%	0,0%	
% V COARSE SAND:	1,2%	5,3%	0,5%	2,4%	2,2%	2,3%	0,2%	
% COARSE SAND:	3,9%	8,7%	1,4%	5,4%	2,9%	4,2%	3,4%	
% MEDIUM SAND:	6,5%	16,0%	3,0%	5,3%	5,2%	9,0%	7,8%	
% FINE SAND:	11,0%	18,9%	4,3%	6,7%	9,7%	22,5%	18,3%	
% V FINE SAND:	13,9%	11,5%	7,9%	8,2%	10,9%	20,1%	18,6%	
% V COARSE SILT:	12,1%	8,4%	10,3%	7,4%	8,4%	9,0%	10,4%	
% COARSE SILT:	11,3%	7,6%	13,3%	9,8%	10,2%	6,6%	9,0%	
% MEDIUM SILT:	12,7%	7,7%	19,4%	16,9%	15,9%	7,7%	10,3%	
% FINE SILT:	11,6%	6,6%	17,6%	16,4%	14,8%	7,5%	9,3%	
% V FINE SILT:	8,3%	4,7%	11,2%	10,4%	9,9%	5,6%	6,5%	
% CLAY:	7,6%	4,5%	11,0%	11,2%	9,9%	5,6%	6,3%	

		27-04 12-13	27-04 13-14	27-04 14-15	27-04 15-16	27-04 16-17	27-04 17-18	27-04 18-19
ANALYST AND DATE:								
SIEVING ERROR:								
SAMPLE TYPE:		Bimodal, Very Poorly Sorted	Trimodal, Very Poorly Sorted	Bimodal, Very Poorly Sorted	Bimodal, Very Poorly Sorted	Trimodal, Very Poorly Sorted	Bimodal, Very Poorly Sorted	Trimodal, Very Poorly Sorted
TEXTURAL GROUP:		Sandy Mud	Slightly Gravelly Sandy Mud	Slightly Gravelly Sandy Mud	Slightly Gravelly Sandy Mud	Slightly Gravelly Muddy Sand	Slightly Gravelly Sandy Mud	Slightly Gravelly Sandy Mud
SEDIMENT NAME:		Very Fine Sandy Medium Silt	Very Fine Gravelly Very Fine Sandy M	Very Fine Gravelly Very Fine Sandy M	Very Fine Gravelly Very Fine Sandy M	Fine Gravelly Very Coarse Silty Ve	Fine Gravelly Very Fine Sandy M	Fine Gravelly Very Fine Sandy Ve
METHOD OF MOMENTS Arithmetic (µm)	MEAN	43,28	168,2	147,2	111,0	235,2	79,82	261,5
	SORTING	86,49	330,8	314,1	246,9	386,2	256,3	406,8
	SKEWNESS	3,869	2,780	2,938	3,985	2,180	4,593	1,932
	KURTOSIS	21,23	10,70	11,81	20,93	7,224	24,56	6,094
METHOD OF MOMENTS Geometric (µm)	MEAN	12,71	30,02	22,54	24,00	48,69	12,45	52,94
	SORTING	4,804	7,466	7,325	6,217	8,021	5,354	8,345
	SKEWNESS	0,233	0,138	0,394	0,119	-0,186	0,727	-0,175
	KURTOSIS	2,579	2,160	2,346	2,381	2,077	3,736	1,994
METHOD OF MOMENTS Logarithmic (φ)	MEAN	6,298	5,058	5,472	5,381	4,360	6,328	4,239
	SORTING	2,264	2,900	2,873	2,636	3,004	2,421	3,061
	SKEWNESS	-0,233	-0,138	-0,394	-0,119	0,186	-0,727	0,175
	KURTOSIS	2,579	2,160	2,346	2,381	2,077	3,736	1,994
FOLK AND WARD METHOD (µm)	MEAN	12,90	29,75	22,94	22,91	53,61	11,45	57,37
	SORTING	5,075	7,993	7,918	6,452	9,036	5,555	9,327
	SKEWNESS	0,141	0,094	0,268	0,047	-0,118	0,187	-0,077
	KURTOSIS	1,013	0,898	0,963	0,926	0,843	1,303	0,768
FOLK AND WARD METHOD (φ)	MEAN	6,277	5,071	5,446	5,448	4,221	6,449	4,124
	SORTING	2,344	2,999	2,985	2,690	3,176	2,474	3,221
	SKEWNESS	-0,141	-0,094	-0,268	-0,047	0,118	-0,187	0,077
	KURTOSIS	1,013	0,898	0,963	0,926	0,843	1,303	0,768
FOLK AND WARD METHOD (Description)	MEAN:	Medium Silt	Coarse Silt	Coarse Silt	Coarse Silt	Very Coarse Silt	Medium Silt	Very Coarse Silt
	SORTING:	Very Poorly Sorted	Very Poorly Sorted	Very Poorly Sorted	Very Poorly Sorted	Very Poorly Sorted	Very Poorly Sorted	Very Poorly Sorted
	SKEWNESS:	Coarse Skewed	Symmetrical	Coarse Skewed	Symmetrical	Fine Skewed	Coarse Skewed	Symmetrical
	KURTOSIS:	Mesokurtic	Platykurtic	Mesokurtic	Mesokurtic	Platykurtic	Leptokurtic	Platykurtic
MODE 1 (µm):	8,148	9,355	9,355	9,355	112,5	9,355	97,96	
MODE 2 (µm):	56,37	97,96	778,1	85,32	893,4	1177,7	893,4	
MODE 3 (µm):		893,4			8,148		9,355	
MODE 1 (φ):	6,943	6,743	6,743	6,743	3,156	6,743	3,355	
MODE 2 (φ):	4,152	3,355	0,365	3,554	0,166	-0,233	0,166	
MODE 3 (φ):		0,166			6,943		6,743	
D ₁₀ (µm):	1,728	2,274	2,098	2,222	2,646	1,697	2,779	
D ₂₀ (µm):	10,74	26,10	15,00	22,29	63,58	10,28	62,09	
D ₃₀ (µm):	118,2	601,2	538,2	263,0	838,0	95,43	905,3	
(D ₃₀ / D ₁₀) (µm):	68,40	264,4	256,5	118,3	316,7	56,23	325,7	
(D ₃₀ - D ₁₀) (µm):	116,5	599,0	536,1	260,7	835,3	93,73	902,5	
(D ₇₅ / D ₂₅) (µm):	8,512	20,43	16,77	15,03	25,65	7,173	34,87	
(D ₇₅ - D ₂₅) (µm):	33,33	123,6	86,02	85,61	218,4	26,06	316,9	
D ₁₀ (φ):	3,081	0,734	0,894	1,927	0,255	3,389	0,144	
D ₂₀ (φ):	6,540	5,260	6,058	5,487	3,975	6,604	4,010	
D ₃₀ (φ):	9,177	8,781	8,896	8,814	8,562	9,203	8,491	
(D ₃₀ / D ₁₀) (φ):	2,979	11,96	9,953	4,574	33,57	2,715	59,16	
(D ₃₀ - D ₁₀) (φ):	6,096	8,047	8,003	6,887	8,307	5,813	8,347	
(D ₇₅ / D ₂₅) (φ):	1,654	2,479	2,179	2,134	3,190	1,563	4,171	
(D ₇₅ - D ₂₅) (φ):	3,089	4,353	4,068	3,910	4,681	2,843	5,124	
% GRAVEL:	0,0%	0,1%	0,1%	0,0%	0,1%	0,1%	0,1%	
% SAND:	18,1%	37,6%	29,4%	32,7%	50,2%	14,5%	49,8%	
% MUD:	81,9%	62,3%	70,6%	67,3%	49,7%	85,5%	50,1%	
% V COARSE GRAVEL:	0,0%	0,0%	0,0%	0,0%	0,0%	0,0%	0,0%	
% COARSE GRAVEL:	0,0%	0,0%	0,0%	0,0%	0,0%	0,0%	0,0%	
% MEDIUM GRAVEL:	0,0%	0,0%	0,0%	0,0%	0,0%	0,0%	0,0%	
% FINE GRAVEL:	0,0%	0,0%	0,0%	0,0%	0,0%	0,0%	0,0%	
% V FINE GRAVEL:	0,0%	0,1%	0,1%	0,0%	0,1%	0,1%	0,1%	
% V COARSE SAND:	0,0%	4,7%	4,0%	2,3%	7,2%	2,9%	8,1%	
% COARSE SAND:	0,8%	6,8%	6,6%	3,6%	9,3%	2,2%	11,4%	
% MEDIUM SAND:	3,0%	5,2%	5,0%	4,5%	7,0%	0,7%	8,4%	
% FINE SAND:	5,6%	8,9%	5,9%	8,7%	12,6%	2,3%	9,8%	
% V FINE SAND:	8,7%	12,1%	7,9%	13,6%	14,1%	6,5%	12,1%	
% V COARSE SILT:	9,5%	9,9%	8,4%	12,0%	9,4%	10,0%	9,7%	
% COARSE SILT:	12,4%	10,2%	11,3%	11,4%	7,7%	13,7%	8,4%	
% MEDIUM SILT:	19,7%	13,3%	17,0%	14,0%	9,4%	20,3%	9,5%	
% FINE SILT:	18,0%	12,1%	15,4%	12,6%	9,1%	18,2%	8,8%	
% V FINE SILT:	10,8%	8,4%	9,1%	8,7%	6,9%	11,5%	6,9%	
% CLAY:	11,4%	8,4%	9,3%	8,6%	7,2%	11,8%	6,7%	

		27-04 19-20	27-04 20-21	27-04 21-23	27-04 23-24	27-04 24-25	27-04 25-26	27-04 26-27
ANALYST AND DATE:								
SIEVING ERROR:								
SAMPLE TYPE:		Unimodal, Very Poorly Sorted	Unimodal, Poorly Sorted	Trimodal, Very Poorly Sorted	Unimodal, Poorly Sorted	Bimodal, Very Poorly Sorted	Bimodal, Very Poorly Sorted	Trimodal, Very Poorly Sorted
TEXTURAL GROUP:		Slightly Gravelly Sandy Mud	Slightly Gravelly Mud	Slightly Gravelly Sandy Mud	Slightly Gravelly Sandy Mud	Slightly Gravelly Sandy Mud	Slightly Gravelly Sandy Mud	Sandy Mud
SEDIMENT NAME:		Fine Gravelly Very Fine Sandy	Lightly Very Fine Gravelly Medium Silt	Fine Gravelly Very Fine Sandy	Fine Gravelly Very Fine Sandy	Fine Gravelly Very Fine Sandy	Fine Gravelly Very Fine Sandy	Medium Sandy Very Coarse Silt
METHOD OF MOMENTS Arithmetic (µm)	MEAN	104,7	42,08	157,7	53,43	53,01	78,66	161,4
	SORTING	221,2	157,3	311,8	177,1	142,8	182,3	195,9
	SKEWNESS	4,133	8,086	3,003	7,345	6,136	4,574	1,280
	KURTOSIS	23,95	74,92	12,43	60,94	52,20	30,37	3,837
METHOD OF MOMENTS Geometric (µm)	MEAN	24,66	11,61	30,33	15,82	13,56	17,31	47,56
	SORTING	5,939	4,000	7,147	4,250	4,797	5,633	6,781
	SKEWNESS	0,101	0,408	0,100	0,110	0,338	0,328	-0,384
	KURTOSIS	2,383	3,960	2,168	3,423	2,954	2,582	2,016
METHOD OF MOMENTS Logarithmic (φ)	MEAN	5,342	6,429	5,043	5,982	6,205	5,852	4,394
	SORTING	2,570	2,000	2,837	2,087	2,262	2,494	2,761
	SKEWNESS	-0,101	-0,408	-0,100	-0,110	-0,338	-0,328	0,384
	KURTOSIS	2,383	3,960	2,168	3,423	2,954	2,582	2,016
FOLK AND WARD METHOD (µm)	MEAN	24,64	11,06	30,19	15,26	12,64	16,86	48,34
	SORTING	6,257	3,703	7,775	3,966	4,894	5,871	7,045
	SKEWNESS	0,057	-0,043	0,056	-0,165	0,057	0,116	-0,167
	KURTOSIS	0,925	1,044	0,883	0,941	1,062	1,035	0,719
FOLK AND WARD METHOD (φ)	MEAN	5,343	6,499	5,050	6,034	6,306	5,891	4,371
	SORTING	2,645	1,889	2,959	1,988	2,291	2,554	2,817
	SKEWNESS	-0,057	0,043	-0,056	0,165	-0,057	-0,116	0,167
	KURTOSIS	0,925	1,044	0,883	0,941	1,062	1,035	0,719
FOLK AND WARD METHOD (Description)	MEAN:	Coarse Silt	Medium Silt	Coarse Silt	Medium Silt	Medium Silt	Coarse Silt	Very Coarse Silt
	SORTING:	Very Poorly Sorted	Poorly Sorted	Very Poorly Sorted	Poorly Sorted	Very Poorly Sorted	Very Poorly Sorted	Very Poorly Sorted
	SKEWNESS:	Symmetrical	Symmetrical	Symmetrical	Fine Skewed	Symmetrical	Coarse Skewed	Fine Skewed
	KURTOSIS:	Mesokurtic	Mesokurtic	Platykurtic	Mesokurtic	Mesokurtic	Mesokurtic	Platykurtic
MODE 1 (µm):	12,33	12,33	9,355	32,44	10,74	10,74	339,7	
MODE 2 (µm):			64,72		295,8	295,8	56,37	
MODE 3 (µm):			893,4				10,74	
MODE 1 (φ):	6,345	6,345	6,743	4,950	6,544	6,544	1,561	
MODE 2 (φ):			3,953		1,761	1,761	4,152	
MODE 3 (φ):			0,166				6,544	
D ₁₀ (µm):	2,407	1,975	2,299	2,236	1,840	1,976	3,016	
D ₂₀ (µm):	22,78	11,65	28,37	17,95	12,77	15,07	57,36	
D ₃₀ (µm):	291,6	55,53	492,8	75,70	94,32	245,3	460,4	
(D ₃₀ / D ₁₀) (µm):	121,1	28,11	214,3	33,85	51,25	124,2	152,6	
(D ₃₀ - D ₁₀) (µm):	289,2	53,55	490,5	73,46	92,48	243,3	457,4	
(D ₇₅ / D ₂₅) (µm):	13,42	5,624	20,24	7,037	8,215	9,941	27,64	
(D ₇₅ - D ₂₅) (µm):	83,05	21,90	125,8	35,47	32,07	44,42	272,7	
D ₁₀ (φ):	1,778	4,171	1,021	3,724	3,406	2,027	1,119	
D ₂₀ (φ):	5,456	6,424	5,140	5,800	6,291	6,053	4,124	
D ₃₀ (φ):	8,698	8,984	8,765	8,805	9,086	8,984	8,373	
(D ₃₀ / D ₁₀) (φ):	4,892	2,154	8,584	2,365	2,667	4,431	7,483	
(D ₃₀ - D ₁₀) (φ):	6,920	4,813	7,744	5,081	5,680	6,956	7,254	
(D ₇₅ / D ₂₅) (φ):	2,077	1,476	2,487	1,612	1,636	1,763	3,629	
(D ₇₅ - D ₂₅) (φ):	3,747	2,492	4,339	2,815	3,038	3,313	4,788	
% GRAVEL:	0,0%	0,0%	0,1%	0,0%	0,0%	0,0%	0,0%	
% SAND:	31,1%	8,5%	37,0%	13,7%	14,7%	21,3%	48,6%	
% MUD:	68,8%	91,5%	62,9%	86,2%	85,3%	78,7%	51,4%	
% V COARSE GRAVEL:	0,0%	0,0%	0,0%	0,0%	0,0%	0,0%	0,0%	
% COARSE GRAVEL:	0,0%	0,0%	0,0%	0,0%	0,0%	0,0%	0,0%	
% MEDIUM GRAVEL:	0,0%	0,0%	0,0%	0,0%	0,0%	0,0%	0,0%	
% FINE GRAVEL:	0,0%	0,0%	0,0%	0,0%	0,0%	0,0%	0,0%	
% V FINE GRAVEL:	0,0%	0,0%	0,1%	0,0%	0,0%	0,0%	0,0%	
% V COARSE SAND:	1,6%	1,0%	4,0%	1,4%	0,5%	0,9%	0,0%	
% COARSE SAND:	3,3%	0,4%	5,8%	0,3%	1,5%	2,6%	7,8%	
% MEDIUM SAND:	6,7%	1,3%	6,8%	1,2%	3,5%	6,3%	20,6%	
% FINE SAND:	8,3%	1,4%	9,2%	1,8%	2,8%	5,1%	11,1%	
% V FINE SAND:	11,2%	4,3%	11,2%	9,0%	6,4%	6,3%	9,1%	
% V COARSE SILT:	12,7%	12,4%	11,4%	20,0%	13,8%	12,6%	10,8%	
% COARSE SILT:	13,9%	19,8%	11,3%	19,8%	16,5%	15,2%	9,6%	
% MEDIUM SILT:	14,3%	21,4%	12,2%	15,7%	17,2%	16,1%	9,7%	
% FINE SILT:	11,8%	16,9%	11,2%	12,9%	15,4%	14,3%	8,6%	
% V FINE SILT:	8,3%	11,1%	8,7%	9,3%	11,6%	10,6%	6,5%	
% CLAY:	7,8%	9,9%	8,2%	8,5%	10,8%	9,9%	6,1%	

		27-04 27-28	27-04 28-29	27-04 29-30	27-04 30-31	27-04 31-32	27-04 32-33
ANALYST AND DATE:							
SIEVING ERROR:							
SAMPLE TYPE:		Bimodal, Very Poorly Sorted	Bimodal, Very Poorly Sorted	Bimodal, Very Poorly Sorted	Bimodal, Very Poorly Sorted	Bimodal, Very Poorly Sorted	Bimodal, Very Poorly Sorted
TEXTURAL GROUP:		Muddy Sand	Sandy Mud	Slightly Gravelly Sandy Mud	Slightly Gravelly Sandy Mud	Slightly Gravelly Sandy Mud	Sandy Mud
SEDIMENT NAME:		Very Coarse Silty Medium Sand	Very Fine Sandy Coarse Silt	Fine Gravelly Very Fine Sandy V	Very Fine Gravelly Very Fine Sandy	Very Fine Gravelly Medium Sandy M	Medium Sandy Medium Silt
METHOD OF MOMENTS Arithmetic (µm)	MEAN	246,5	67,83	101,3	64,08	88,75	128,9
	SORTING	213,5	132,9	175,7	154,7	208,7	191,7
	SKEWNESS	0,632	3,243	3,558	5,796	4,229	2,024
	KURTOSIS	2,586	14,74	22,09	47,50	25,13	7,701
METHOD OF MOMENTS Geometric (µm)	MEAN	108,5	18,72	28,57	17,82	18,43	32,84
	SORTING	5,539	5,080	5,683	4,858	5,693	6,505
	SKEWNESS	-1,049	0,189	-0,067	0,180	0,383	-0,046
	KURTOSIS	3,108	2,599	2,285	2,784	2,697	1,987
METHOD OF MOMENTS Logarithmic (φ)	MEAN	3,205	5,739	5,130	5,811	5,762	4,928
	SORTING	2,470	2,345	2,507	2,280	2,509	2,702
	SKEWNESS	1,049	-0,189	0,067	-0,180	-0,383	0,046
	KURTOSIS	3,108	2,599	2,285	2,784	2,697	1,987
FOLK AND WARD METHOD (µm)	MEAN	116,2	18,14	30,25	17,12	17,63	34,35
	SORTING	5,333	5,294	6,201	4,983	5,832	6,972
	SKEWNESS	-0,599	0,069	0,004	0,038	0,131	0,074
	KURTOSIS	0,925	1,078	0,908	1,045	1,098	0,731
FOLK AND WARD METHOD (φ)	MEAN	3,106	5,784	5,047	5,868	5,826	4,863
	SORTING	2,415	2,404	2,632	2,317	2,544	2,802
	SKEWNESS	0,599	-0,069	-0,004	-0,038	-0,131	-0,074
	KURTOSIS	0,925	1,078	0,908	1,045	1,098	0,731
FOLK AND WARD METHOD (Description)	MEAN:	Very Fine Sand	Coarse Silt	Coarse Silt	Coarse Silt	Coarse Silt	Very Coarse Silt
	SORTING:	Very Poorly Sorted	Very Poorly Sorted	Very Poorly Sorted	Very Poorly Sorted	Very Poorly Sorted	Very Poorly Sorted
	SKEWNESS:	Very Fine Skewed	Symmetrical	Symmetrical	Symmetrical	Coarse Skewed	Symmetrical
	KURTOSIS:	Mesokurtic	Mesokurtic	Mesokurtic	Mesokurtic	Mesokurtic	Platykurtic
MODE 1 (µm):	390,0	16,26	37,24	14,16	12,33	339,7	
MODE 2 (µm):	56,37	339,7	295,8	339,7	339,7	14,16	
MODE 3 (µm):							
MODE 1 (φ):	1,362	5,946	4,750	6,146	6,345	1,561	
MODE 2 (φ):	4,152	1,561	1,761	1,561	1,561	6,146	
MODE 3 (φ):							
D ₁₀ (µm):	7,153	2,303	2,709	2,286	2,131	2,773	
D ₂₀ (µm):	228,9	17,33	28,78	17,04	15,65	28,25	
D ₃₀ (µm):	544,2	216,5	316,2	137,5	287,2	408,5	
(D ₃₀ / D ₁₀) (µm):	76,08	94,04	116,7	60,17	134,7	147,3	
(D ₃₀ - D ₁₀) (µm):	537,0	214,2	313,5	135,2	285,0	405,7	
(D ₇₅ / D ₂₅) (µm):	10,49	8,448	12,89	8,420	9,094	26,07	
(D ₇₅ - D ₂₅) (µm):	355,9	45,34	95,87	44,37	44,36	198,0	
D ₁₀ (φ):	0,878	2,207	1,661	2,862	1,800	1,292	
D ₂₀ (φ):	2,127	5,850	5,119	5,875	5,998	5,146	
D ₃₀ (φ):	7,127	8,763	8,528	8,773	8,874	8,494	
(D ₃₀ / D ₁₀) (φ):	8,119	3,970	5,134	3,065	4,930	6,577	
(D ₃₀ - D ₁₀) (φ):	6,249	6,555	6,867	5,911	7,074	7,203	
(D ₇₅ / D ₂₅) (φ):	3,520	1,719	2,129	1,713	1,736	3,063	
(D ₇₅ - D ₂₅) (φ):	3,391	3,079	3,688	3,074	3,185	4,704	
% GRAVEL:	0,0%	0,0%	0,0%	0,0%	0,0%	0,0%	
% SAND:	68,6%	21,6%	33,5%	20,7%	21,5%	37,1%	
% MUD:	31,4%	78,4%	66,5%	79,3%	78,5%	62,9%	
% V COARSE GRAVEL:	0,0%	0,0%	0,0%	0,0%	0,0%	0,0%	
% COARSE GRAVEL:	0,0%	0,0%	0,0%	0,0%	0,0%	0,0%	
% MEDIUM GRAVEL:	0,0%	0,0%	0,0%	0,0%	0,0%	0,0%	
% FINE GRAVEL:	0,0%	0,0%	0,0%	0,0%	0,0%	0,0%	
% V FINE GRAVEL:	0,0%	0,0%	0,0%	0,0%	0,0%	0,0%	
% V COARSE SAND:	0,0%	0,1%	0,5%	0,6%	1,3%	0,3%	
% COARSE SAND:	13,5%	2,5%	3,2%	1,7%	3,4%	5,7%	
% MEDIUM SAND:	33,4%	6,3%	10,0%	4,0%	6,5%	15,3%	
% FINE SAND:	14,2%	4,8%	8,9%	4,5%	3,8%	9,3%	
% V FINE SAND:	7,6%	8,0%	10,9%	9,9%	6,5%	6,5%	
% V COARSE SILT:	8,3%	14,0%	14,7%	14,7%	12,5%	11,0%	
% COARSE SILT:	6,4%	17,1%	14,4%	16,7%	16,1%	13,4%	
% MEDIUM SILT:	6,0%	17,0%	12,9%	17,0%	17,2%	13,7%	
% FINE SILT:	4,6%	13,2%	10,2%	13,5%	14,1%	10,8%	
% V FINE SILT:	3,2%	8,9%	7,4%	9,1%	9,7%	7,3%	
% CLAY:	2,9%	8,2%	6,8%	8,3%	9,0%	6,6%	

Annexe 16 :

Analyses granulométriques de la carotte C29

Cette annexe regroupe les analyses granulométriques réalisées sur la carotte de référence C29, soit un total de 123 échantillons.

Ces analyses ont été réalisées au sein du laboratoire LEHNA-IPE.

		29-A1 00-01	29-A1 01-02	29-A1 02-03	29-A1 03-04	29-A1 04-05	29-A1 05-06	29-A1 06-07
	ANALYST AND DATE:							
	SIEVING ERROR:							
	SAMPLE TYPE:	Unimodal, Very Poorly Sorted	Unimodal, Very Poorly Sorted	Unimodal, Very Poorly Sorted	Unimodal, Very Poorly Sorted	Unimodal, Poorly Sorted	Unimodal, Poorly Sorted	Unimodal, Very Poorly Sorted
	TEXTURAL GROUP:	Sandy Mud	Sandy Mud	Sandy Mud	Sandy Mud	Muddy Sand	Slightly Gravelly Muddy Sand	Slightly Gravelly Sandy Mud
	SEDIMENT NAME:	Very Fine Sandy Very Coarse Silt	Very Fine Sandy Very Coarse Silt	Very Fine Sandy Very Coarse Silt	Very Fine Sandy Very Coarse Silt	Very Coarse Silty Very Fine Sand	Fine Gravelly Very Coarse Silty V	Fine Gravelly Very Fine Sandy Ve
METHOD OF MOMENTS	MEAN	62,63	67,63	83,03	70,00	86,31	100,8	82,70
	SORTING	71,60	77,83	85,15	74,80	82,25	135,0	148,8
Arithmetic (µm)	SKEWNESS	2,106	2,148	1,752	1,762	1,587	6,612	6,294
	KURTOSIS	8,582	8,874	6,879	6,779	6,262	66,18	56,45
METHOD OF MOMENTS	MEAN	30,12	31,94	41,97	33,43	46,14	55,60	32,96
	SORTING	4,045	4,168	4,068	4,250	3,920	3,623	4,535
Geometric (µm)	SKEWNESS	-0,591	-0,626	-0,827	-0,690	-0,974	-1,113	-0,458
	KURTOSIS	2,792	2,824	3,149	2,763	3,476	4,457	2,782
METHOD OF MOMENTS	MEAN	5,053	4,969	4,575	4,903	4,438	4,169	4,924
	SORTING	2,016	2,059	2,024	2,087	1,971	1,857	2,181
Logarithmic (φ)	SKEWNESS	0,591	0,626	0,827	0,690	0,974	1,113	0,458
	KURTOSIS	2,792	2,824	3,149	2,763	3,476	4,457	2,782
FOLK AND WARD METHOD	MEAN	31,10	32,96	43,91	34,56	48,64	59,55	33,31
(µm)	SORTING	4,125	4,247	4,070	4,326	3,855	3,329	4,525
	SKEWNESS	-0,234	-0,254	-0,322	-0,312	-0,362	-0,367	-0,259
	KURTOSIS	0,974	0,985	1,035	0,940	1,104	1,331	0,943
FOLK AND WARD METHOD	MEAN	5,007	4,923	4,509	4,855	4,362	4,070	4,908
(φ)	SORTING	2,044	2,086	2,025	2,113	1,947	1,735	2,178
	SKEWNESS	0,234	0,254	0,322	0,312	0,362	0,367	0,259
	KURTOSIS	0,974	0,985	1,035	0,940	1,104	1,331	0,943
FOLK AND WARD METHOD	MEAN:	Coarse Silt	Very Coarse Silt	Very Coarse Silt	Very Coarse Silt	Very Coarse Silt	Very Coarse Silt	Very Coarse Silt
(Description)	SORTING:	Very Poorly Sorted	Very Poorly Sorted	Very Poorly Sorted	Very Poorly Sorted	Poorly Sorted	Poorly Sorted	Very Poorly Sorted
	SKEWNESS:	Fine Skewed	Fine Skewed	Very Fine Skewed	Very Fine Skewed	Very Fine Skewed	Very Fine Skewed	Fine Skewed
	KURTOSIS:	Mesokurtic	Mesokurtic	Mesokurtic	Mesokurtic	Mesokurtic	Leptokurtic	Mesokurtic
	MODE 1 (µm):	64,72	74,31	97,96	85,32	97,96	97,96	85,32
	MODE 2 (µm):							
	MODE 3 (µm):							
	MODE 1 (φ):	3,953	3,754	3,355	3,554	3,355	3,355	3,554
	MODE 2 (φ):							
	MODE 3 (φ):							
	D ₁₀ (µm):	3,885	3,861	5,080	3,776	5,784	8,509	3,598
	D ₂₀ (µm):	38,04	41,30	57,44	46,33	64,61	74,42	43,01
	D ₃₀ (µm):	154,6	165,9	196,3	170,0	196,1	196,2	180,0
	(D ₃₀ / D ₁₀) (µm):	39,80	42,95	38,64	45,04	33,90	23,05	50,04
	(D ₃₀ - D ₁₀) (µm):	150,8	162,0	191,2	166,3	190,3	187,7	176,4
	(D ₇₅ / D ₂₅) (µm):	6,951	7,110	6,278	7,765	5,389	3,759	8,302
	(D ₇₅ - D ₂₅) (µm):	73,45	79,62	99,31	87,78	100,4	93,79	87,83
	D ₁₀ (φ):	2,693	2,592	2,349	2,556	2,350	2,350	2,474
	D ₂₀ (φ):	4,716	4,598	4,122	4,432	3,952	3,748	4,539
	D ₃₀ (φ):	8,008	8,017	7,621	8,049	7,434	6,877	8,119
	(D ₃₀ / D ₁₀) (φ):	2,974	3,093	3,244	3,149	3,163	2,926	3,282
	(D ₃₀ - D ₁₀) (φ):	5,315	5,425	5,272	5,493	5,083	4,527	5,645
	(D ₇₅ / D ₂₅) (φ):	1,790	1,825	1,860	1,893	1,805	1,644	1,919
	(D ₇₅ - D ₂₅) (φ):	2,797	2,830	2,650	2,957	2,430	1,910	3,053
	% GRAVEL:	0,0%	0,0%	0,0%	0,0%	0,0%	0,0%	0,0%
	% SAND:	34,8%	37,5%	47,3%	41,0%	51,2%	57,3%	39,5%
	% MUD:	65,2%	62,5%	52,7%	59,0%	48,8%	42,7%	60,5%
	% V COARSE GRAVEL:	0,0%	0,0%	0,0%	0,0%	0,0%	0,0%	0,0%
	% COARSE GRAVEL:	0,0%	0,0%	0,0%	0,0%	0,0%	0,0%	0,0%
	% MEDIUM GRAVEL:	0,0%	0,0%	0,0%	0,0%	0,0%	0,0%	0,0%
	% FINE GRAVEL:	0,0%	0,0%	0,0%	0,0%	0,0%	0,0%	0,0%
	% V FINE GRAVEL:	0,0%	0,0%	0,0%	0,0%	0,0%	0,0%	0,0%
	% V COARSE SAND:	0,0%	0,0%	0,0%	0,0%	0,0%	0,6%	0,7%
	% COARSE SAND:	0,0%	0,1%	0,2%	0,0%	0,1%	0,5%	0,8%
	% MEDIUM SAND:	3,0%	3,8%	5,1%	3,5%	4,9%	4,0%	3,6%
	% FINE SAND:	11,6%	12,6%	17,7%	14,6%	19,5%	20,8%	13,3%
	% V FINE SAND:	20,2%	21,0%	24,3%	22,9%	26,7%	31,4%	21,0%
	% V COARSE SILT:	20,6%	20,0%	18,5%	18,6%	18,4%	19,2%	18,1%
	% COARSE SILT:	15,4%	14,5%	11,9%	12,6%	10,7%	8,7%	13,2%
	% MEDIUM SILT:	11,1%	10,3%	8,3%	9,8%	7,3%	5,4%	10,4%
	% FINE SILT:	8,0%	7,6%	6,0%	7,7%	5,3%	3,8%	8,0%
	% V FINE SILT:	5,5%	5,4%	4,2%	5,6%	3,8%	2,8%	5,8%
	% CLAY:	4,5%	4,7%	3,7%	4,8%	3,4%	2,8%	5,0%

		29-A1 07-08	29-A1 08-09	29-A1 09-10	29-A1 10-11	29-A1 11-12	29-A1 12-13	29-A1 13-14
	ANALYST AND DATE:							
	SIEVING ERROR:							
	SAMPLE TYPE:	Unimodal, Very Poorly Sorted	Unimodal, Very Poorly Sorted	Unimodal, Very Poorly Sorted	Unimodal, Very Poorly Sorted	Unimodal, Very Poorly Sorted	Unimodal, Very Poorly Sorted	Unimodal, Poorly Sorted
	TEXTURAL GROUP:	Muddy Sand	Muddy Sand	Muddy Sand	Slightly Gravelly Muddy Sand	Muddy Sand	Slightly Gravelly Muddy Sand	Muddy Sand
	SEDIMENT NAME:	Very Coarse Silty Fine Sand	Very Coarse Silty Very Fine Sand	Very Coarse Silty Very Fine Sand	Very Fine Gravelly Very Coarse Silty	Very Coarse Silty Very Fine Sand	Very Fine Gravelly Very Coarse Silty	Very Coarse Silty Fine Sand
METHOD OF MOMENTS	MEAN	107,5	98,41	94,51	138,0	101,9	118,6	160,3
	SORTING	103,1	97,05	95,97	202,2	102,6	161,7	105,9
Arithmetic (µm)	SKEWNESS	1,408	1,467	1,509	4,516	1,581	4,849	0,722
	KURTOSIS	5,297	5,288	5,445	29,93	5,972	39,69	3,348
METHOD OF MOMENTS	MEAN	54,58	49,81	46,02	62,36	50,87	54,13	110,8
	SORTING	4,207	4,139	4,283	4,342	4,178	4,383	3,032
Geometric (µm)	SKEWNESS	-0,945	-0,889	-0,807	-0,788	-0,862	-0,758	-1,880
	KURTOSIS	3,315	3,258	3,001	3,474	3,212	3,171	7,203
METHOD OF MOMENTS	MEAN	4,196	4,327	4,442	4,003	4,297	4,207	3,174
	SORTING	2,073	2,049	2,099	2,118	2,063	2,132	1,600
Logarithmic (φ)	SKEWNESS	0,945	0,889	0,807	0,788	0,862	0,758	1,880
	KURTOSIS	3,315	3,258	3,001	3,474	3,212	3,171	7,203
FOLK AND WARD METHOD (µm)	MEAN	58,03	52,79	48,12	64,97	53,85	56,44	125,1
	SORTING	4,140	4,115	4,317	4,146	4,152	4,301	2,599
	SKEWNESS	-0,376	-0,330	-0,331	-0,326	-0,325	-0,322	-0,393
	KURTOSIS	1,030	1,037	0,984	1,099	1,020	1,015	1,460
FOLK AND WARD METHOD (φ)	MEAN	4,107	4,244	4,377	3,944	4,215	4,147	2,998
	SORTING	2,050	2,041	2,110	2,052	2,054	2,105	1,378
	SKEWNESS	0,376	0,330	0,331	0,326	0,325	0,322	0,393
	KURTOSIS	1,030	1,037	0,984	1,099	1,020	1,015	1,460
FOLK AND WARD METHOD (Description)	MEAN:	Very Coarse Silt	Very Coarse Silt	Very Coarse Silt	Very Fine Sand	Very Coarse Silt	Very Coarse Silt	Fine Sand
	SORTING:	Very Poorly Sorted	Very Poorly Sorted	Very Poorly Sorted	Very Poorly Sorted	Very Poorly Sorted	Very Poorly Sorted	Poorly Sorted
	SKEWNESS:	Very Fine Skewed	Very Fine Skewed	Very Fine Skewed	Very Fine Skewed	Very Fine Skewed	Very Fine Skewed	Very Fine Skewed
	KURTOSIS:	Mesokurtic	Mesokurtic	Mesokurtic	Mesokurtic	Mesokurtic	Mesokurtic	Leptokurtic
	MODE 1 (µm):	148,3	129,1	112,5	148,3	129,1	148,3	170,2
	MODE 2 (µm):							
	MODE 3 (µm):							
	MODE 1 (φ):	2,757	2,957	3,156	2,757	2,957	2,757	2,558
	MODE 2 (φ):							
	MODE 3 (φ):							
	D ₁₀ (µm):	6,148	5,876	5,085	7,172	6,004	5,985	27,63
	D ₂₀ (µm):	79,51	68,90	64,59	84,75	70,23	74,40	146,6
	D ₃₀ (µm):	249,3	233,9	228,7	286,8	242,3	265,0	305,2
	(D ₃₀ / D ₁₀) (µm):	40,54	39,81	44,98	39,99	40,35	44,28	11,05
	(D ₃₀ - D ₁₀) (µm):	243,1	228,1	223,6	279,7	236,3	259,0	277,6
	(D ₇₅ / D ₂₅) (µm):	6,494	6,365	7,239	6,017	6,606	6,960	2,726
	(D ₇₅ - D ₂₅) (µm):	134,9	121,7	119,8	144,2	126,5	137,7	141,1
	D ₁₀ (φ):	2,004	2,096	2,129	1,802	2,045	1,916	1,712
	D ₂₀ (φ):	3,653	3,859	3,952	3,561	3,832	3,749	2,771
	D ₃₀ (φ):	7,346	7,411	7,620	7,123	7,380	7,384	5,178
	(D ₃₀ / D ₁₀) (φ):	3,665	3,536	3,580	3,954	3,608	3,854	3,024
	(D ₃₀ - D ₁₀) (φ):	5,341	5,315	5,491	5,322	5,334	5,469	3,466
	(D ₇₅ / D ₂₅) (φ):	2,019	1,956	2,003	2,023	1,992	2,061	1,668
	(D ₇₅ - D ₂₅) (φ):	2,699	2,670	2,856	2,589	2,724	2,799	1,447
	% GRAVEL:	0,0%	0,0%	0,0%	0,0%	0,0%	0,0%	0,0%
	% SAND:	56,6%	52,8%	50,9%	58,7%	53,3%	54,7%	80,8%
	% MUD:	43,4%	47,2%	49,1%	41,2%	46,7%	45,3%	19,2%
	% V COARSE GRAVEL:	0,0%	0,0%	0,0%	0,0%	0,0%	0,0%	0,0%
	% COARSE GRAVEL:	0,0%	0,0%	0,0%	0,0%	0,0%	0,0%	0,0%
	% MEDIUM GRAVEL:	0,0%	0,0%	0,0%	0,0%	0,0%	0,0%	0,0%
	% FINE GRAVEL:	0,0%	0,0%	0,0%	0,0%	0,0%	0,0%	0,0%
	% V FINE GRAVEL:	0,0%	0,0%	0,0%	0,0%	0,0%	0,0%	0,0%
	% V COARSE SAND:	0,0%	0,0%	0,0%	1,5%	0,0%	0,7%	0,0%
	% COARSE SAND:	0,5%	0,3%	0,3%	1,6%	0,6%	1,1%	0,5%
	% MEDIUM SAND:	9,4%	8,1%	7,7%	10,2%	8,7%	9,6%	18,3%
	% FINE SAND:	24,5%	21,7%	20,7%	23,4%	21,9%	22,2%	39,8%
	% V FINE SAND:	22,2%	22,7%	22,3%	22,0%	22,1%	21,0%	22,2%
	% V COARSE SILT:	14,5%	16,5%	16,0%	14,8%	16,0%	15,2%	8,2%
	% COARSE SILT:	10,1%	10,9%	10,9%	9,4%	10,9%	10,5%	4,4%
	% MEDIUM SILT:	6,9%	7,4%	8,1%	6,3%	7,5%	7,3%	2,3%
	% FINE SILT:	5,1%	5,3%	6,1%	4,6%	5,3%	5,4%	1,7%
	% V FINE SILT:	3,6%	3,8%	4,3%	3,2%	3,7%	3,7%	1,3%
	% CLAY:	3,2%	3,3%	3,6%	2,9%	3,2%	3,2%	1,3%

		29-A1 14-15	29-A1 15-16	29-A1 16-17	29-A1 17-18	29-A1 18-19	29-A1 19-20	29-A1 20-21
	ANALYST AND DATE:							
	SIEVING ERROR:							
	SAMPLE TYPE:	Unimodal, Poorly Sorted	Unimodal, Poorly Sorted	Unimodal, Poorly Sorted	Unimodal, Very Poorly Sorted	Unimodal, Very Poorly Sorted	Unimodal, Poorly Sorted	Unimodal, Poorly Sorted
	TEXTURAL GROUP:	Muddy Sand	Muddy Sand	Muddy Sand	Slightly Gravelly Muddy Sand	Muddy Sand	Slightly Gravelly Muddy Sand	Muddy Sand
	SEDIMENT NAME:	Very Coarse Silty Fine Sand	Very Coarse Silty Fine Sand	Very Coarse Silty Fine Sand	Very Fine Gravelly Very Coarse Silty	Very Coarse Silty Fine Sand	Fine Gravelly Very Coarse Silty V	Very Coarse Silty Very Fine Sand
METHOD OF	MEAN	143,3	191,4	186,6	143,7	98,53	121,2	96,74
MOMENTS	SORTING	109,4	123,8	129,6	211,9	96,95	201,5	87,70
Arithmetic (µm)	SKEWNESS	0,887	0,472	0,563	4,384	1,256	5,254	1,263
	KURTOSIS	3,487	2,817	2,898	27,67	4,270	35,88	4,578
METHOD OF	MEAN	89,08	126,7	117,5	63,60	47,15	55,57	52,23
MOMENTS	SORTING	3,441	3,357	3,549	4,467	4,436	4,129	3,949
Geometric (µm)	SKEWNESS	-1,456	-1,862	-1,649	-0,793	-0,814	-0,797	-1,040
	KURTOSIS	5,183	6,512	5,592	3,417	2,899	3,751	3,595
METHOD OF	MEAN	3,489	2,980	3,090	3,975	4,407	4,170	4,259
MOMENTS	SORTING	1,783	1,747	1,827	2,159	2,149	2,046	1,982
Logarithmic (φ)	SKEWNESS	1,456	1,862	1,649	0,793	0,814	0,797	1,040
	KURTOSIS	5,183	6,512	5,592	3,417	2,899	3,751	3,595
FOLK AND	MEAN	98,94	141,3	128,4	66,14	49,45	57,48	55,73
WARD METHOD	SORTING	3,135	2,915	3,177	4,236	4,472	3,831	3,850
(µm)	SKEWNESS	-0,406	-0,501	-0,513	-0,361	-0,362	-0,357	-0,380
	KURTOSIS	1,236	1,653	1,397	1,073	0,939	1,165	1,100
FOLK AND	MEAN	3,337	2,824	2,962	3,918	4,338	4,121	4,165
WARD METHOD	SORTING	1,648	1,543	1,668	2,083	2,161	1,938	1,945
(φ)	SKEWNESS	0,406	0,501	0,513	0,361	0,362	0,357	0,380
	KURTOSIS	1,236	1,653	1,397	1,073	0,939	1,165	1,100
FOLK AND	MEAN:	Very Fine Sand	Fine Sand	Fine Sand	Very Fine Sand	Very Coarse Silt	Very Coarse Silt	Very Coarse Silt
WARD METHOD	SORTING:	Poorly Sorted	Poorly Sorted	Poorly Sorted	Very Poorly Sorted	Very Poorly Sorted	Poorly Sorted	Poorly Sorted
(Description)	SKEWNESS:	Very Fine Skewed	Very Fine Skewed	Very Fine Skewed	Very Fine Skewed	Very Fine Skewed	Very Fine Skewed	Very Fine Skewed
	KURTOSIS:	Leptokurtic	Very Leptokurtic	Leptokurtic	Mesokurtic	Mesokurtic	Leptokurtic	Mesokurtic
	MODE 1 (µm):	170,2	224,4	224,4	148,3	148,3	112,5	129,1
	MODE 2 (µm):							
	MODE 3 (µm):							
	MODE 1 (φ):	2,558	2,159	2,159	2,757	2,757	3,156	2,957
	MODE 2 (φ):							
	MODE 3 (φ):							
	D ₁₀ (µm):	16,71	23,76	19,52	6,914	4,854	6,876	6,468
	D ₂₀ (µm):	124,4	182,5	176,4	90,20	69,38	75,40	74,50
	D ₃₀ (µm):	296,5	359,1	362,1	290,4	237,6	226,7	219,3
	(D ₃₀ / D ₁₀) (µm):	17,74	15,11	18,55	42,00	48,95	32,97	33,90
	(D ₃₀ - D ₁₀) (µm):	279,8	335,3	342,6	283,5	232,7	219,8	212,8
	(D ₇₅ / D ₂₅) (µm):	3,852	2,689	3,357	6,408	8,131	5,069	5,431
	(D ₇₅ - D ₂₅) (µm):	153,7	169,1	188,6	152,1	131,7	113,8	115,9
	D ₁₀ (φ):	1,754	1,478	1,465	1,784	2,074	2,141	2,189
	D ₂₀ (φ):	3,007	2,454	2,503	3,471	3,849	3,729	3,747
	D ₃₀ (φ):	5,903	5,395	5,679	7,176	7,687	7,184	7,273
	(D ₃₀ / D ₁₀) (φ):	3,365	3,651	3,875	4,023	3,707	3,355	3,322
	(D ₃₀ - D ₁₀) (φ):	4,149	3,917	4,213	5,392	5,613	5,043	5,083
	(D ₇₅ / D ₂₅) (φ):	1,858	1,754	1,921	2,084	2,105	1,831	1,867
	(D ₇₅ - D ₂₅) (φ):	1,946	1,427	1,747	2,680	3,023	2,342	2,441
	% GRAVEL:	0,0%	0,0%	0,0%	0,0%	0,0%	0,0%	0,0%
	% SAND:	71,9%	81,7%	78,2%	59,7%	52,6%	56,3%	55,6%
	% MUD:	28,1%	18,3%	21,8%	40,2%	47,4%	43,6%	44,4%
	% V COARSE GRAVEL:	0,0%	0,0%	0,0%	0,0%	0,0%	0,0%	0,0%
	% COARSE GRAVEL:	0,0%	0,0%	0,0%	0,0%	0,0%	0,0%	0,0%
	% MEDIUM GRAVEL:	0,0%	0,0%	0,0%	0,0%	0,0%	0,0%	0,0%
	% FINE GRAVEL:	0,0%	0,0%	0,0%	0,0%	0,0%	0,0%	0,0%
	% V FINE GRAVEL:	0,0%	0,0%	0,0%	0,0%	0,0%	0,0%	0,0%
	% V COARSE SAND:	0,0%	0,0%	0,0%	1,8%	0,0%	1,7%	0,0%
	% COARSE SAND:	0,5%	1,4%	1,8%	1,6%	0,1%	0,8%	0,0%
	% MEDIUM SAND:	16,0%	28,3%	27,5%	10,5%	8,6%	5,4%	6,7%
	% FINE SAND:	33,3%	38,9%	35,8%	25,1%	22,9%	22,1%	23,4%
	% V FINE SAND:	22,1%	13,2%	13,1%	20,8%	21,0%	26,3%	25,5%
	% V COARSE SILT:	11,9%	6,2%	7,9%	13,6%	14,2%	16,8%	16,3%
	% COARSE SILT:	6,7%	4,3%	5,2%	9,3%	10,5%	9,6%	10,0%
	% MEDIUM SILT:	3,6%	2,7%	3,1%	6,4%	8,2%	6,3%	6,6%
	% FINE SILT:	2,5%	2,1%	2,3%	4,6%	6,3%	4,6%	4,8%
	% V FINE SILT:	1,8%	1,5%	1,6%	3,3%	4,5%	3,3%	3,5%
	% CLAY:	1,8%	1,4%	1,5%	3,0%	3,8%	3,1%	3,2%

		29-A1 21-22	29-A1 22-23	29-A1 23-24	29-A1 24-25	29-A1 25-26	29-A1 26-27	29-A1 27-28
	ANALYST AND DATE:							
	SIEVING ERROR:							
	SAMPLE TYPE:	Unimodal, Poorly Sorted	Unimodal, Poorly Sorted	Unimodal, Poorly Sorted	Unimodal, Very Poorly Sorted	Unimodal, Poorly Sorted	Unimodal, Poorly Sorted	Unimodal, Poorly Sorted
	TEXTURAL GROUP:	Muddy Sand	Muddy Sand	Muddy Sand	Muddy Sand	Muddy Sand	Muddy Sand	Muddy Sand
	SEDIMENT NAME:	Very Coarse Silty Fine Sand	Very Coarse Silty Fine Sand	Very Coarse Silty Fine Sand	Very Coarse Silty Very Fine Sand	Very Coarse Silty Fine Sand	Very Coarse Silty Fine Sand	Very Coarse Silty Very Fine Sand
METHOD OF MOMENTS	MEAN	102,6	118,4	130,7	82,84	149,2	136,6	96,92
	SORTING	91,94	89,71	92,43	77,05	89,21	88,82	78,98
Arithmetic (µm)	SKEWNESS	1,196	0,873	0,766	1,272	0,713	0,788	1,147
	KURTOSIS	4,439	3,553	3,359	4,553	3,465	3,539	4,499
METHOD OF MOMENTS	MEAN	54,71	72,53	84,57	43,31	111,7	97,01	57,40
	SORTING	4,047	3,558	3,335	4,053	2,657	2,878	3,641
Geometric (µm)	SKEWNESS	-1,040	-1,447	-1,624	-0,935	-2,223	-1,924	-1,308
	KURTOSIS	3,501	4,867	5,632	3,233	9,574	7,610	4,422
METHOD OF MOMENTS	MEAN	4,192	3,785	3,564	4,529	3,163	3,366	4,123
	SORTING	2,017	1,831	1,738	2,019	1,410	1,525	1,864
Logarithmic (φ)	SKEWNESS	1,040	1,447	1,624	0,935	2,223	1,924	1,308
	KURTOSIS	3,501	4,867	5,632	3,233	9,574	7,610	4,422
FOLK AND WARD METHOD (µm)	MEAN	57,96	79,88	94,11	45,51	127,3	110,3	62,69
	SORTING	3,958	3,271	2,991	4,028	2,179	2,450	3,415
	SKEWNESS	-0,413	-0,444	-0,439	-0,383	-0,302	-0,345	-0,414
	KURTOSIS	1,066	1,340	1,466	1,034	1,453	1,460	1,300
FOLK AND WARD METHOD (φ)	MEAN	4,109	3,646	3,409	4,458	2,973	3,180	3,996
	SORTING	1,985	1,710	1,581	2,010	1,123	1,292	1,772
	SKEWNESS	0,413	0,444	0,439	0,383	0,302	0,345	0,414
	KURTOSIS	1,066	1,340	1,466	1,034	1,453	1,460	1,300
FOLK AND WARD METHOD (Description)	MEAN:	Very Fine Silt	Very Fine Sand	Very Fine Sand	Very Coarse Silt	Fine Sand	Very Fine Sand	Very Fine Sand
	SORTING:	Poorly Sorted	Poorly Sorted	Poorly Sorted	Very Poorly Sorted	Poorly Sorted	Poorly Sorted	Poorly Sorted
	SKEWNESS:	Very Fine Skewed	Very Fine Skewed	Very Fine Skewed	Very Fine Skewed	Very Fine Skewed	Very Fine Skewed	Very Fine Skewed
	KURTOSIS:	Mesokurtic	Leptokurtic	Leptokurtic	Mesokurtic	Leptokurtic	Leptokurtic	Leptokurtic
	MODE 1 (µm):	129,1	148,3	148,3	112,5	148,3	148,3	112,5
	MODE 2 (µm):							
	MODE 3 (µm):							
	MODE 1 (φ):	2,957	2,757	2,757	3,156	2,757	2,757	3,156
	MODE 2 (φ):							
	MODE 3 (φ):							
	D ₁₀ (µm):	6,367	11,10	15,43	4,987	40,95	27,52	8,152
	D ₂₀ (µm):	81,41	104,4	118,2	62,80	136,7	123,6	81,42
	D ₃₀ (µm):	230,4	242,0	258,2	190,9	270,6	258,6	204,3
	(D ₃₀ / D ₁₀) (µm):	36,19	21,80	16,74	38,28	6,608	9,397	25,06
	(D ₃₀ - D ₁₀) (µm):	224,1	230,9	242,8	185,9	229,6	231,1	196,2
	(D ₇₅ / D ₂₅) (µm):	5,797	3,658	3,078	6,155	2,323	2,595	3,945
	(D ₇₅ - D ₂₅) (µm):	125,9	123,9	124,8	102,8	114,2	115,2	103,4
	D ₁₀ (φ):	2,118	2,047	1,954	2,389	1,886	1,951	2,291
	D ₂₀ (φ):	3,619	3,259	3,080	3,993	2,871	3,017	3,619
	D ₃₀ (φ):	7,295	6,493	6,019	7,648	4,610	5,183	6,939
	(D ₃₀ / D ₁₀) (φ):	3,445	3,172	3,081	3,201	2,445	2,657	3,029
	(D ₃₀ - D ₁₀) (φ):	5,178	4,446	4,065	5,258	2,724	3,232	4,648
	(D ₇₅ / D ₂₅) (φ):	1,933	1,733	1,666	1,866	1,524	1,569	1,694
	(D ₇₅ - D ₂₅) (φ):	2,535	1,871	1,622	2,622	1,216	1,376	1,980
	% GRAVEL:	0,0%	0,0%	0,0%	0,0%	0,0%	0,0%	0,0%
	% SAND:	58,1%	68,6%	74,1%	50,2%	84,5%	79,1%	60,3%
	% MUD:	41,9%	31,4%	25,9%	49,8%	15,5%	20,9%	39,7%
	% V COARSE GRAVEL:	0,0%	0,0%	0,0%	0,0%	0,0%	0,0%	0,0%
	% COARSE GRAVEL:	0,0%	0,0%	0,0%	0,0%	0,0%	0,0%	0,0%
	% MEDIUM GRAVEL:	0,0%	0,0%	0,0%	0,0%	0,0%	0,0%	0,0%
	% FINE GRAVEL:	0,0%	0,0%	0,0%	0,0%	0,0%	0,0%	0,0%
	% V FINE GRAVEL:	0,0%	0,0%	0,0%	0,0%	0,0%	0,0%	0,0%
	% V COARSE SAND:	0,0%	0,0%	0,0%	0,0%	0,0%	0,0%	0,0%
	% COARSE SAND:	0,1%	0,0%	0,0%	0,0%	0,0%	0,0%	0,0%
	% MEDIUM SAND:	7,7%	9,0%	11,1%	4,1%	13,3%	11,2%	5,0%
	% FINE SAND:	25,5%	32,0%	35,8%	20,1%	42,4%	38,1%	24,8%
	% V FINE SAND:	24,8%	27,6%	27,1%	25,9%	28,8%	29,8%	30,5%
	% V COARSE SILT:	14,3%	12,2%	10,1%	17,2%	7,3%	9,9%	16,6%
	% COARSE SILT:	9,3%	6,8%	5,8%	10,9%	3,2%	4,4%	8,2%
	% MEDIUM SILT:	6,7%	4,4%	3,6%	7,7%	1,7%	2,4%	5,1%
	% FINE SILT:	5,0%	3,3%	2,6%	5,8%	1,2%	1,6%	3,8%
	% V FINE SILT:	3,5%	2,4%	1,9%	4,3%	1,0%	1,3%	3,0%
	% CLAY:	3,1%	2,3%	1,8%	3,8%	1,1%	1,3%	2,9%

		29-A1 28-29	29-A1 29-30	29-A1 30-31	29-A1 31-32	29-A1 32-33	29-A1 33-34	29-A1 34-35
	ANALYST AND DATE:							
	SIEVING ERROR:							
	SAMPLE TYPE:	Unimodal, Poorly Sorted	Unimodal, Poorly Sorted	Unimodal, Poorly Sorted	Unimodal, Poorly Sorted	Unimodal, Poorly Sorted	Unimodal, Poorly Sorted	Unimodal, Poorly Sorted
	TEXTURAL GROUP:	Muddy Sand	Muddy Sand	Muddy Sand	Muddy Sand	Muddy Sand	Muddy Sand	Muddy Sand
	SEDIMENT NAME:	Very Coarse Silty Fine Sand	Very Coarse Silty Very Fine Sand	Very Coarse Silty Fine Sand	Very Coarse Silty Fine Sand	Very Coarse Silty Very Fine Sand	Very Coarse Silty Fine Sand	Very Coarse Silty Very Fine Sand
METHOD OF MOMENTS	MEAN	117,8	83,45	122,3	130,2	106,1	118,5	104,6
	SORTING	82,40	68,00	81,26	81,64	83,62	83,79	78,37
Arithmetic (µm)	SKEWNESS	0,814	1,403	0,876	0,870	1,093	0,883	0,979
	KURTOSIS	3,462	5,773	3,830	3,877	4,299	3,719	3,871
METHOD OF MOMENTS	MEAN	78,43	52,40	85,71	95,89	65,04	78,86	67,18
	SORTING	3,172	3,283	2,936	2,704	3,488	3,158	3,277
Geometric (µm)	SKEWNESS	-1,678	-1,339	-1,866	-2,092	-1,393	-1,653	-1,493
	KURTOSIS	6,062	4,890	7,154	8,813	4,807	5,980	5,288
METHOD OF MOMENTS	MEAN	3,672	4,254	3,544	3,382	3,942	3,665	3,896
	SORTING	1,665	1,715	1,554	1,435	1,803	1,659	1,713
Logarithmic (φ)	SKEWNESS	1,678	1,339	1,866	2,092	1,393	1,653	1,493
	KURTOSIS	6,062	4,890	7,154	8,813	4,807	5,980	5,288
FOLK AND WARD METHOD (µm)	MEAN	88,56	57,93	98,64	109,3	71,96	89,06	75,37
	SORTING	2,809	3,031	2,516	2,259	3,216	2,802	2,975
	SKEWNESS	-0,397	-0,342	-0,342	-0,289	-0,399	-0,388	-0,380
	KURTOSIS	1,449	1,324	1,534	1,463	1,342	1,447	1,374
FOLK AND WARD METHOD (φ)	MEAN	3,497	4,110	3,342	3,194	3,797	3,489	3,730
	SORTING	1,490	1,600	1,331	1,175	1,685	1,486	1,573
	SKEWNESS	0,397	0,342	0,342	0,289	0,399	0,388	0,380
	KURTOSIS	1,449	1,324	1,534	1,463	1,342	1,447	1,374
FOLK AND WARD METHOD (Description)	MEAN:	Very Fine Sand	Very Coarse Silt	Very Fine Sand	Very Fine Sand	Very Fine Sand	Very Fine Sand	Very Fine Sand
	SORTING:	Poorly Sorted	Poorly Sorted	Poorly Sorted	Poorly Sorted	Poorly Sorted	Poorly Sorted	Poorly Sorted
	SKEWNESS:	Very Fine Skewed	Very Fine Skewed	Very Fine Skewed	Fine Skewed	Very Fine Skewed	Very Fine Skewed	Very Fine Skewed
	KURTOSIS:	Leptokurtic	Leptokurtic	Very Leptokurtic	Leptokurtic	Leptokurtic	Leptokurtic	Leptokurtic
	MODE 1 (µm):	129,1	85,32	129,1	129,1	112,5	129,1	112,5
	MODE 2 (µm):							
	MODE 3 (µm):							
	MODE 1 (φ):	2,957	3,554	2,957	2,957	3,156	2,957	3,156
	MODE 2 (φ):							
	MODE 3 (φ):							
	D ₁₀ (µm):	17,06	10,12	23,30	34,96	10,48	17,05	13,06
	D ₂₀ (µm):	105,3	68,57	109,3	116,8	90,01	105,3	90,32
	D ₃₀ (µm):	231,6	173,7	232,9	240,5	220,7	233,3	212,6
	(D ₃₀ / D ₁₀) (µm):	13,58	17,15	9,999	6,877	21,07	13,68	16,28
	(D ₃₀ - D ₁₀) (µm):	214,6	163,5	209,6	205,5	210,2	216,3	199,6
	(D ₇₅ / D ₂₅) (µm):	2,979	3,477	2,604	2,414	3,623	2,979	3,316
	(D ₇₅ - D ₂₅) (µm):	109,9	82,58	103,0	102,4	109,2	110,2	103,3
	D ₁₀ (φ):	2,110	2,526	2,102	2,056	2,180	2,100	2,234
	D ₂₀ (φ):	3,247	3,866	3,194	3,097	3,474	3,248	3,469
	D ₃₀ (φ):	5,873	6,626	5,424	4,838	6,577	5,874	6,259
	(D ₃₀ / D ₁₀) (φ):	2,783	2,623	2,580	2,353	3,017	2,798	2,802
	(D ₃₀ - D ₁₀) (φ):	3,763	4,100	3,322	2,782	4,397	3,774	4,025
	(D ₇₅ / D ₂₅) (φ):	1,607	1,578	1,535	1,505	1,680	1,608	1,627
	(D ₇₅ - D ₂₅) (φ):	1,575	1,798	1,381	1,271	1,857	1,575	1,729
	% GRAVEL:	0,0%	0,0%	0,0%	0,0%	0,0%	0,0%	0,0%
	% SAND:	71,8%	54,1%	75,9%	80,1%	64,4%	71,8%	65,3%
	% MUD:	28,2%	45,9%	24,1%	19,9%	35,6%	28,2%	34,7%
	% V COARSE GRAVEL:	0,0%	0,0%	0,0%	0,0%	0,0%	0,0%	0,0%
	% COARSE GRAVEL:	0,0%	0,0%	0,0%	0,0%	0,0%	0,0%	0,0%
	% MEDIUM GRAVEL:	0,0%	0,0%	0,0%	0,0%	0,0%	0,0%	0,0%
	% FINE GRAVEL:	0,0%	0,0%	0,0%	0,0%	0,0%	0,0%	0,0%
	% V FINE GRAVEL:	0,0%	0,0%	0,0%	0,0%	0,0%	0,0%	0,0%
	% V COARSE SAND:	0,0%	0,0%	0,0%	0,0%	0,0%	0,0%	0,0%
	% COARSE SAND:	0,0%	0,0%	0,0%	0,0%	0,0%	0,0%	0,0%
	% MEDIUM SAND:	7,6%	2,8%	7,7%	8,8%	6,6%	7,8%	5,6%
	% FINE SAND:	33,0%	18,9%	34,2%	36,9%	27,5%	32,7%	27,9%
	% V FINE SAND:	31,2%	32,4%	33,9%	34,4%	30,3%	31,3%	31,8%
	% V COARSE SILT:	12,9%	22,3%	12,0%	10,7%	15,5%	13,0%	16,3%
	% COARSE SILT:	5,9%	10,0%	4,3%	3,4%	7,3%	5,7%	7,2%
	% MEDIUM SILT:	3,3%	5,2%	2,8%	2,0%	4,5%	3,4%	3,9%
	% FINE SILT:	2,4%	3,3%	2,0%	1,4%	3,3%	2,5%	2,9%
	% V FINE SILT:	1,8%	2,4%	1,5%	1,1%	2,5%	1,8%	2,2%
	% CLAY:	1,9%	2,6%	1,5%	1,3%	2,4%	1,8%	2,2%

		29-A1 35-36	29-A1 36-37	29-A1 37-38	29-A1 38-39	29-A1 39-40	29-A1 40-41	29-A1 41-42
	ANALYST AND DATE:							
	SIEVING ERROR:							
	SAMPLE TYPE:	Unimodal, Poorly Sorted	Unimodal, Poorly Sorted	Unimodal, Poorly Sorted	Unimodal, Poorly Sorted	Unimodal, Poorly Sorted	Unimodal, Poorly Sorted	Unimodal, Poorly Sorted
	TEXTURAL GROUP:	Muddy Sand	Muddy Sand	Sandy Mud	Slightly Gravelly Sandy Mud	Muddy Sand	Muddy Sand	Muddy Sand
	SEDIMENT NAME:	Very Coarse Silty Very Fine Sand	Very Coarse Silty Very Fine Sand	Very Fine Sandy Very Coarse Silt	Fine Gravelly Very Fine Sandy Vel	Very Coarse Silty Very Fine Sand	Very Coarse Silty Very Fine Sand	Very Coarse Silty Very Fine Sand
METHOD OF	MEAN	96,72	76,84	65,85	73,74	84,70	101,0	94,96
MOMENTS	SORTING	76,34	62,53	60,79	141,1	72,93	79,29	76,49
Arithmetic (µm)	SKEWNESS	1,042	1,146	1,699	7,833	1,128	0,972	1,083
	KURTOSIS	4,048	4,465	7,010	79,07	4,254	3,802	4,113
METHOD OF	MEAN	58,82	46,00	37,76	32,90	46,83	60,86	57,51
MOMENTS	SORTING	3,520	3,538	3,572	4,085	3,906	3,586	3,494
Geometric (µm)	SKEWNESS	-1,350	-1,236	-1,027	-0,601	-1,099	-1,349	-1,294
	KURTOSIS	4,583	4,163	3,739	3,199	3,612	4,518	4,482
METHOD OF	MEAN	4,088	4,442	4,727	4,926	4,416	4,038	4,120
MOMENTS	SORTING	1,816	1,823	1,837	2,030	1,966	1,842	1,805
Logarithmic (φ)	SKEWNESS	1,350	1,236	1,027	0,601	1,099	1,349	1,294
	KURTOSIS	4,583	4,163	3,739	3,199	3,612	4,518	4,482
FOLK AND	MEAN	64,73	49,18	39,92	33,57	49,37	66,45	63,16
WARD METHOD	SORTING	3,278	3,377	3,481	3,992	3,814	3,353	3,274
(µm)	SKEWNESS	-0,408	-0,414	-0,342	-0,306	-0,433	-0,429	-0,389
	KURTOSIS	1,317	1,265	1,200	1,021	1,124	1,294	1,259
FOLK AND	MEAN	3,949	4,346	4,647	4,897	4,340	3,911	3,985
WARD METHOD	SORTING	1,713	1,756	1,800	1,997	1,931	1,745	1,711
(φ)	SKEWNESS	0,408	0,414	0,342	0,306	0,433	0,429	0,389
	KURTOSIS	1,317	1,265	1,200	1,021	1,124	1,294	1,259
FOLK AND	MEAN:	Very Fine Sand	Very Coarse Silt	Very Coarse Silt	Very Coarse Silt	Very Coarse Silt	Very Fine Sand	Very Fine Sand
WARD METHOD	SORTING:	Poorly Sorted	Poorly Sorted	Poorly Sorted	Poorly Sorted	Poorly Sorted	Poorly Sorted	Poorly Sorted
(Description)	SKEWNESS:	Very Fine Skewed	Very Fine Skewed	Very Fine Skewed	Very Fine Skewed	Very Fine Skewed	Very Fine Skewed	Very Fine Skewed
	KURTOSIS:	Leptokurtic	Leptokurtic	Leptokurtic	Mesokurtic	Leptokurtic	Leptokurtic	Leptokurtic
	MODE 1 (µm):	112,5	85,32	64,72	74,31	112,5	112,5	112,5
	MODE 2 (µm):							
	MODE 3 (µm):							
	MODE 1 (φ):	3,156	3,554	3,953	3,754	3,156	3,156	3,156
	MODE 2 (φ):							
	MODE 3 (φ):							
	D ₁₀ (µm):	9,009	6,635	5,524	4,070	5,538	8,991	9,242
	D ₂₀ (µm):	82,29	64,70	50,36	43,50	69,72	87,01	79,42
	D ₃₀ (µm):	201,9	161,6	144,7	149,8	185,3	210,1	201,0
	(D ₃₀ / D ₁₀) (µm):	22,41	24,36	26,20	36,79	33,46	23,37	21,75
	(D ₃₀ - D ₁₀) (µm):	192,9	155,0	139,2	145,7	179,8	201,1	191,8
	(D ₇₅ / D ₂₅) (µm):	3,747	3,943	4,332	6,218	5,143	3,884	3,930
	(D ₇₅ - D ₂₅) (µm):	101,4	81,87	70,40	74,99	100,2	108,1	101,6
	D ₁₀ (φ):	2,308	2,629	2,788	2,739	2,432	2,251	2,315
	D ₂₀ (φ):	3,603	3,950	4,312	4,523	3,842	3,523	3,654
	D ₃₀ (φ):	6,794	7,236	7,500	7,941	7,496	6,797	6,758
	(D ₃₀ / D ₁₀) (φ):	2,943	2,752	2,690	2,899	3,083	3,020	2,919
	(D ₃₀ - D ₁₀) (φ):	4,486	4,606	4,712	5,201	5,064	4,547	4,443
	(D ₇₅ / D ₂₅) (φ):	1,668	1,621	1,613	1,757	1,786	1,704	1,687
	(D ₇₅ - D ₂₅) (φ):	1,906	1,979	2,115	2,636	2,363	1,958	1,974
	% GRAVEL:	0,0%	0,0%	0,0%	0,0%	0,0%	0,0%	0,0%
	% SAND:	61,0%	51,5%	41,1%	37,7%	53,9%	62,8%	59,3%
	% MUD:	39,0%	48,5%	58,9%	62,3%	46,1%	37,2%	40,7%
	% V COARSE GRAVEL:	0,0%	0,0%	0,0%	0,0%	0,0%	0,0%	0,0%
	% COARSE GRAVEL:	0,0%	0,0%	0,0%	0,0%	0,0%	0,0%	0,0%
	% MEDIUM GRAVEL:	0,0%	0,0%	0,0%	0,0%	0,0%	0,0%	0,0%
	% FINE GRAVEL:	0,0%	0,0%	0,0%	0,0%	0,0%	0,0%	0,0%
	% V FINE GRAVEL:	0,0%	0,0%	0,0%	0,0%	0,0%	0,0%	0,0%
	% V COARSE SAND:	0,0%	0,0%	0,0%	0,8%	0,0%	0,0%	0,0%
	% COARSE SAND:	0,0%	0,0%	0,0%	0,3%	0,0%	0,0%	0,0%
	% MEDIUM SAND:	4,6%	1,8%	1,7%	1,7%	3,4%	5,4%	4,6%
	% FINE SAND:	25,2%	17,5%	12,3%	11,8%	21,4%	27,0%	24,4%
	% V FINE SAND:	31,1%	32,3%	27,0%	23,3%	29,1%	30,3%	30,3%
	% V COARSE SILT:	16,9%	21,3%	25,2%	21,7%	17,1%	15,1%	17,6%
	% COARSE SILT:	8,1%	9,7%	13,4%	14,2%	9,4%	7,9%	9,0%
	% MEDIUM SILT:	4,9%	6,2%	7,5%	9,6%	6,8%	5,1%	5,2%
	% FINE SILT:	3,6%	4,6%	5,3%	7,1%	5,2%	3,6%	3,6%
	% V FINE SILT:	2,8%	3,4%	3,9%	5,1%	3,9%	2,8%	2,7%
	% CLAY:	2,7%	3,2%	3,7%	4,6%	3,6%	2,7%	2,6%

		29-A1 42-43	29-A1 43-44	29-A1 44-45	29-A1 45-46	29-A1 46-47	29-A1 47-48	29-A1 48-49
	ANALYST AND DATE:							
	SIEVING ERROR:							
	SAMPLE TYPE:	Unimodal, Poorly Sorted	Unimodal, Very Poorly Sorted	Unimodal, Very Poorly Sorted	Unimodal, Very Poorly Sorted	Unimodal, Very Poorly Sorted	Unimodal, Very Poorly Sorted	Unimodal, Very Poorly Sorted
	TEXTURAL GROUP:	Muddy Sand	Sandy Mud	Sandy Mud	Sandy Mud	Sandy Mud	Sandy Mud	Sandy Mud
	SEDIMENT NAME:	Very Coarse Silty Very Fine Sand	Very Fine Sandy Very Coarse Silt	Very Fine Sandy Very Coarse Silt	Very Fine Sandy Very Coarse Silt	Very Fine Sandy Very Coarse Silt	Very Fine Sandy Very Coarse Silt	Very Fine Sandy Very Coarse Silt
METHOD OF MOMENTS	MEAN	85,04	61,19	57,87	47,46	57,86	60,24	58,13
	SORTING	77,25	64,31	61,77	52,82	59,25	59,55	60,29
Arithmetic (µm)	SKEWNESS	1,315	1,712	1,805	1,796	1,720	1,452	1,656
	KURTOSIS	4,990	6,572	7,044	6,845	6,861	5,296	6,310
METHOD OF MOMENTS	MEAN	45,66	30,10	28,55	22,22	29,37	30,58	28,96
	SORTING	3,973	4,091	4,044	4,158	3,983	4,036	4,028
Geometric (µm)	SKEWNESS	-1,011	-0,687	-0,670	-0,505	-0,737	-0,765	-0,682
	KURTOSIS	3,432	2,798	2,808	2,446	2,895	2,880	2,779
METHOD OF MOMENTS	MEAN	4,453	5,054	5,130	5,492	5,089	5,031	5,110
	SORTING	1,990	2,033	2,016	2,056	1,994	2,013	2,010
Logarithmic (φ)	SKEWNESS	1,011	0,687	0,670	0,505	0,737	0,765	0,682
	KURTOSIS	3,432	2,798	2,808	2,446	2,895	2,880	2,779
FOLK AND WARD METHOD (µm)	MEAN	47,99	31,18	29,52	22,77	30,42	31,76	30,01
	SORTING	3,910	4,160	4,121	4,297	4,035	4,083	4,096
	SKEWNESS	-0,403	-0,289	-0,272	-0,235	-0,307	-0,326	-0,289
	KURTOSIS	1,083	0,953	0,968	0,873	0,977	0,961	0,942
FOLK AND WARD METHOD (φ)	MEAN	4,381	5,003	5,082	5,457	5,039	4,976	5,058
	SORTING	1,967	2,057	2,043	2,103	2,012	2,029	2,034
	SKEWNESS	0,403	0,289	0,272	0,235	0,307	0,326	0,289
	KURTOSIS	1,083	0,953	0,968	0,873	0,977	0,961	0,942
FOLK AND WARD METHOD (Description)	MEAN:	Very Coarse Silt	Coarse Silt	Coarse Silt	Coarse Silt	Coarse Silt	Very Coarse Silt	Coarse Silt
	SORTING:	Poorly Sorted	Very Poorly Sorted	Very Poorly Sorted	Very Poorly Sorted	Very Poorly Sorted	Very Poorly Sorted	Very Poorly Sorted
	SKEWNESS:	Very Fine Skewed	Fine Skewed	Fine Skewed	Fine Skewed	Very Fine Skewed	Very Fine Skewed	Fine Skewed
	KURTOSIS:	Mesokurtic	Mesokurtic	Mesokurtic	Platykurtic	Mesokurtic	Mesokurtic	Mesokurtic
	MODE 1 (µm):	112,5	85,32	74,31	64,72	74,31	85,32	74,31
	MODE 2 (µm):							
	MODE 3 (µm):							
	MODE 1 (φ):	3,156	3,554	3,754	3,953	3,754	3,554	3,754
	MODE 2 (φ):							
	MODE 3 (φ):							
	D ₁₀ (µm):	5,364	3,607	3,495	2,715	3,604	3,633	3,576
	D ₂₀ (µm):	66,68	40,13	37,25	28,35	39,54	42,12	38,54
	D ₃₀ (µm):	191,0	148,5	140,8	119,4	137,2	143,2	140,5
	(D ₃₀ / D ₁₀) (µm):	35,60	41,15	40,30	44,00	38,08	39,42	39,30
	(D ₃₀ - D ₁₀) (µm):	185,6	144,8	137,4	116,7	133,6	139,6	136,9
	(D ₇₅ / D ₂₅) (µm):	5,568	7,207	6,947	8,564	6,648	6,917	7,172
	(D ₇₅ - D ₂₅) (µm):	102,1	76,64	71,03	61,06	71,25	76,51	73,15
	D ₁₀ (φ):	2,389	2,752	2,828	3,066	2,865	2,804	2,831
	D ₂₀ (φ):	3,907	4,639	4,747	5,140	4,660	4,569	4,698
	D ₃₀ (φ):	7,543	8,115	8,160	8,525	8,116	8,105	8,128
	(D ₃₀ / D ₁₀) (φ):	3,158	2,949	2,886	2,781	2,832	2,891	2,871
	(D ₃₀ - D ₁₀) (φ):	5,154	5,363	5,333	5,459	5,251	5,301	5,296
	(D ₇₅ / D ₂₅) (φ):	1,824	1,816	1,779	1,804	1,764	1,801	1,799
	(D ₇₅ - D ₂₅) (φ):	2,477	2,849	2,796	3,098	2,733	2,790	2,842
	% GRAVEL:	0,0%	0,0%	0,0%	0,0%	0,0%	0,0%	0,0%
	% SAND:	52,2%	36,7%	34,2%	28,1%	35,2%	37,7%	35,3%
	% MUD:	47,8%	63,3%	65,8%	71,9%	64,8%	62,3%	64,7%
	% V COARSE GRAVEL:	0,0%	0,0%	0,0%	0,0%	0,0%	0,0%	0,0%
	% COARSE GRAVEL:	0,0%	0,0%	0,0%	0,0%	0,0%	0,0%	0,0%
	% MEDIUM GRAVEL:	0,0%	0,0%	0,0%	0,0%	0,0%	0,0%	0,0%
	% FINE GRAVEL:	0,0%	0,0%	0,0%	0,0%	0,0%	0,0%	0,0%
	% V FINE GRAVEL:	0,0%	0,0%	0,0%	0,0%	0,0%	0,0%	0,0%
	% V COARSE SAND:	0,0%	0,0%	0,0%	0,0%	0,0%	0,0%	0,0%
	% COARSE SAND:	0,0%	0,0%	0,0%	0,0%	0,0%	0,0%	0,0%
	% MEDIUM SAND:	4,1%	1,9%	1,7%	0,7%	1,3%	1,2%	1,4%
	% FINE SAND:	20,7%	12,5%	11,2%	8,3%	11,1%	12,6%	11,6%
	% V FINE SAND:	27,4%	22,3%	21,3%	19,0%	22,8%	23,9%	22,3%
	% V COARSE SILT:	17,3%	19,8%	20,7%	19,5%	21,4%	20,2%	20,2%
	% COARSE SILT:	10,2%	14,6%	15,6%	15,5%	14,9%	14,1%	14,8%
	% MEDIUM SILT:	7,2%	10,4%	10,7%	12,4%	10,2%	9,9%	10,8%
	% FINE SILT:	5,5%	7,7%	7,8%	10,1%	7,6%	7,5%	8,0%
	% V FINE SILT:	4,0%	5,7%	5,8%	7,7%	5,7%	5,6%	5,8%
	% CLAY:	3,6%	5,0%	5,2%	6,7%	5,1%	5,1%	5,0%

		29-A1 49-50	29-A1 50-51	29-A1 51-52	29-A1 52-53	29-A1 53-54	29-A1 54-55	29-A1 55-56
	ANALYST AND DATE:							
	SIEVING ERROR:							
	SAMPLE TYPE:	Unimodal, Poorly Sorted	Unimodal, Very Poorly Sorted	Unimodal, Very Poorly Sorted	Unimodal, Very Poorly Sorted	Unimodal, Poorly Sorted	Unimodal, Poorly Sorted	Unimodal, Poorly Sorted
	TEXTURAL GROUP:	Sandy Mud	Sandy Mud	Muddy Sand	Sandy Mud	Sandy Mud	Muddy Sand	Muddy Sand
	SEDIMENT NAME:	Very Fine Sandy Very Coarse Silt	Very Fine Sandy Very Coarse Silt	Very Coarse Silty Very Fine Sand	Very Fine Sandy Very Coarse Silt	Very Fine Sandy Very Coarse Silt	Very Coarse Silty Fine Sand	Very Coarse Silty Very Fine Sand
METHOD OF MOMENTS	MEAN	78,82	73,05	89,16	65,92	74,44	112,3	78,89
	SORTING	70,99	65,96	78,82	62,37	64,18	85,28	66,98
Arithmetic (µm)	SKEWNESS	1,172	1,126	1,046	1,384	1,227	0,785	1,066
	KURTOSIS	4,292	4,109	3,832	5,270	4,737	3,292	4,009
METHOD OF MOMENTS	MEAN	42,18	38,13	46,71	34,37	42,61	66,95	44,05
	SORTING	3,958	4,101	4,149	4,001	3,670	3,707	3,864
Geometric (µm)	SKEWNESS	-0,957	-0,931	-0,996	-0,859	-1,080	-1,375	-1,111
	KURTOSIS	3,266	3,100	3,247	3,037	3,706	4,424	3,652
METHOD OF MOMENTS	MEAN	4,567	4,713	4,420	4,863	4,553	3,901	4,505
	SORTING	1,985	2,036	2,053	2,000	1,876	1,890	1,950
Logarithmic (φ)	SKEWNESS	0,957	0,931	0,996	0,859	1,080	1,375	1,111
	KURTOSIS	3,266	3,100	3,247	3,037	3,706	4,424	3,652
FOLK AND WARD METHOD (µm)	MEAN	44,58	39,84	49,11	35,80	45,35	72,02	46,64
	SORTING	3,909	4,077	4,093	4,004	3,561	3,470	3,754
	SKEWNESS	-0,399	-0,427	-0,446	-0,378	-0,397	-0,485	-0,437
	KURTOSIS	1,021	0,984	1,009	0,982	1,118	1,289	1,114
FOLK AND WARD METHOD (φ)	MEAN	4,488	4,650	4,348	4,804	4,463	3,795	4,422
	SORTING	1,967	2,028	2,033	2,002	1,832	1,795	1,908
	SKEWNESS	0,399	0,427	0,446	0,378	0,397	0,485	0,437
	KURTOSIS	1,021	0,984	1,009	0,982	1,118	1,289	1,114
FOLK AND WARD METHOD (Description)	MEAN:	Very Coarse Silt	Very Coarse Silt	Very Coarse Silt	Very Coarse Silt	Very Coarse Silt	Very Fine Sand	Very Coarse Silt
	SORTING:	Poorly Sorted	Very Poorly Sorted	Very Poorly Sorted	Very Poorly Sorted	Poorly Sorted	Poorly Sorted	Poorly Sorted
	SKEWNESS:	Very Fine Skewed	Very Fine Skewed	Very Fine Skewed	Very Fine Skewed	Very Fine Skewed	Very Fine Skewed	Very Fine Skewed
	KURTOSIS:	Mesokurtic	Mesokurtic	Mesokurtic	Mesokurtic	Leptokurtic	Leptokurtic	Leptokurtic
	MODE 1 (µm):	112,5	97,96	129,1	85,32	97,96	129,1	97,96
	MODE 2 (µm):							
	MODE 3 (µm):							
	MODE 1 (φ):	3,156	3,355	2,957	3,554	3,355	2,957	3,355
	MODE 2 (φ):							
	MODE 3 (φ):							
	D ₁₀ (µm):	5,059	4,173	5,017	4,055	5,919	8,726	5,344
	D ₂₀ (µm):	61,95	58,34	72,80	49,71	60,50	100,9	65,67
	D ₃₀ (µm):	177,7	165,1	199,7	151,4	162,0	230,1	171,8
	(D ₃₀ / D ₁₀) (µm):	35,14	39,56	39,79	37,33	27,38	26,37	32,15
	(D ₃₀ - D ₁₀) (µm):	172,7	160,9	194,6	147,3	156,1	221,3	166,4
	(D ₇₅ / D ₂₅) (µm):	6,057	6,662	6,471	6,540	4,834	3,958	5,120
	(D ₇₅ - D ₂₅) (µm):	98,54	93,60	113,9	82,84	86,03	122,1	93,61
	D ₁₀ (φ):	2,492	2,599	2,324	2,724	2,626	2,120	2,541
	D ₂₀ (φ):	4,013	4,099	3,780	4,330	4,047	3,309	3,929
	D ₃₀ (φ):	7,627	7,905	7,639	7,946	7,400	6,840	7,548
	(D ₃₀ / D ₁₀) (φ):	3,060	3,042	3,286	2,917	2,819	3,227	2,970
	(D ₃₀ - D ₁₀) (φ):	5,135	5,306	5,314	5,222	4,775	4,721	5,007
	(D ₇₅ / D ₂₅) (φ):	1,843	1,860	1,931	1,808	1,709	1,759	1,759
	(D ₇₅ - D ₂₅) (φ):	2,599	2,736	2,694	2,709	2,273	1,985	2,356
	% GRAVEL:	0,0%	0,0%	0,0%	0,0%	0,0%	0,0%	0,0%
	% SAND:	49,7%	47,7%	54,7%	42,4%	48,7%	67,2%	51,8%
	% MUD:	50,3%	52,3%	45,3%	57,6%	51,3%	32,8%	48,2%
	% V COARSE GRAVEL:	0,0%	0,0%	0,0%	0,0%	0,0%	0,0%	0,0%
	% COARSE GRAVEL:	0,0%	0,0%	0,0%	0,0%	0,0%	0,0%	0,0%
	% MEDIUM GRAVEL:	0,0%	0,0%	0,0%	0,0%	0,0%	0,0%	0,0%
	% FINE GRAVEL:	0,0%	0,0%	0,0%	0,0%	0,0%	0,0%	0,0%
	% V FINE GRAVEL:	0,0%	0,0%	0,0%	0,0%	0,0%	0,0%	0,0%
	% V COARSE SAND:	0,0%	0,0%	0,0%	0,0%	0,0%	0,0%	0,0%
	% COARSE SAND:	0,0%	0,0%	0,0%	0,0%	0,0%	0,0%	0,0%
	% MEDIUM SAND:	2,8%	1,9%	4,5%	1,5%	1,9%	7,4%	2,2%
	% FINE SAND:	19,8%	17,9%	23,8%	14,3%	17,2%	31,9%	19,6%
	% V FINE SAND:	27,1%	28,0%	26,4%	26,5%	29,6%	27,9%	30,0%
	% V COARSE SILT:	17,1%	17,2%	14,3%	19,7%	20,1%	11,4%	18,0%
	% COARSE SILT:	11,4%	10,8%	9,7%	12,3%	11,4%	7,0%	10,1%
	% MEDIUM SILT:	7,9%	8,3%	7,4%	9,0%	7,5%	5,1%	7,0%
	% FINE SILT:	5,8%	6,5%	5,8%	6,9%	5,2%	3,9%	5,3%
	% V FINE SILT:	4,3%	5,0%	4,3%	5,1%	3,7%	2,8%	4,0%
	% CLAY:	3,7%	4,5%	3,8%	4,5%	3,4%	2,6%	3,8%

		29-A1 56-57	29-A1 57-58	29-A1 58-59	29-A1 59-60	29-A1 60-61	29-A1 61-62	29-A1 62-63
	ANALYST AND DATE:							
	SIEVING ERROR:							
	SAMPLE TYPE:	Unimodal, Poorly Sorted	Unimodal, Poorly Sorted	Unimodal, Poorly Sorted	Unimodal, Poorly Sorted	Unimodal, Poorly Sorted	Unimodal, Poorly Sorted	Unimodal, Poorly Sorted
	TEXTURAL GROUP:	Sandy Mud	Muddy Sand	Muddy Sand	Muddy Sand	Sandy Mud	Sandy Mud	Sandy Mud
	SEDIMENT NAME:	Very Fine Sandy Very Coarse Silt	Very Coarse Silty Very Fine Sand	Very Coarse Silty Very Fine Sand	Very Coarse Silty Very Fine Sand	Very Fine Sandy Very Coarse Silt	Very Fine Sandy Very Coarse Silt	Very Fine Sandy Very Coarse Silt
METHOD OF MOMENTS	MEAN	72,65	83,21	73,59	73,70	70,76	70,77	67,87
	SORTING	63,29	73,34	58,74	58,38	55,33	57,20	60,33
Arithmetic (µm)	SKEWNESS	1,313	1,107	1,086	1,139	0,944	1,191	1,296
	KURTOSIS	5,135	4,089	4,312	4,573	3,782	4,738	4,825
METHOD OF MOMENTS	MEAN	41,56	44,62	44,80	45,72	42,75	43,53	38,60
	SORTING	3,664	4,011	3,455	3,360	3,531	3,372	3,632
Geometric (µm)	SKEWNESS	-1,074	-1,007	-1,250	-1,285	-1,263	-1,237	-1,012
	KURTOSIS	3,692	3,319	4,242	4,447	4,139	4,323	3,626
METHOD OF MOMENTS	MEAN	4,589	4,486	4,480	4,451	4,548	4,522	4,695
	SORTING	1,873	2,004	1,789	1,749	1,820	1,754	1,861
Logarithmic (φ)	SKEWNESS	1,074	1,007	1,250	1,285	1,263	1,237	1,012
	KURTOSIS	3,692	3,319	4,242	4,447	4,139	4,323	3,626
FOLK AND WARD METHOD (µm)	MEAN	43,96	46,75	48,13	49,47	45,68	47,08	41,20
	SORTING	3,570	3,961	3,284	3,166	3,371	3,192	3,541
	SKEWNESS	-0,392	-0,433	-0,414	-0,398	-0,446	-0,385	-0,352
	KURTOSIS	1,144	1,036	1,241	1,268	1,248	1,238	1,093
FOLK AND WARD METHOD (φ)	MEAN	4,508	4,419	4,377	4,337	4,452	4,409	4,601
	SORTING	1,836	1,986	1,716	1,663	1,753	1,675	1,824
	SKEWNESS	0,392	0,433	0,414	0,398	0,446	0,385	0,352
	KURTOSIS	1,144	1,036	1,241	1,268	1,248	1,238	1,093
FOLK AND WARD METHOD (Description)	MEAN:	Very Coarse Silt	Very Coarse Silt	Very Coarse Silt	Very Coarse Silt	Very Coarse Silt	Very Coarse Silt	Very Coarse Silt
	SORTING:	Poorly Sorted	Poorly Sorted	Poorly Sorted	Poorly Sorted	Poorly Sorted	Poorly Sorted	Poorly Sorted
	SKEWNESS:	Very Fine Skewed	Very Fine Skewed	Very Fine Skewed	Very Fine Skewed	Very Fine Skewed	Very Fine Skewed	Very Fine Skewed
	KURTOSIS:	Leptokurtic	Mesokurtic	Leptokurtic	Leptokurtic	Leptokurtic	Leptokurtic	Mesokurtic
	MODE 1 (µm):	85,32	112,5	85,32	85,32	85,32	85,32	85,32
	MODE 2 (µm):							
	MODE 3 (µm):							
	MODE 1 (φ):	3,554	3,156	3,554	3,554	3,554	3,554	3,554
	MODE 2 (φ):							
	MODE 3 (φ):							
	D ₁₀ (µm):	5,683	5,080	6,925	7,649	6,067	7,290	5,660
	D ₂₀ (µm):	58,55	67,70	62,78	62,74	61,76	59,31	52,66
	D ₃₀ (µm):	157,9	185,3	153,5	152,6	146,9	148,3	151,4
	(D ₃₀ / D ₁₀) (µm):	27,79	36,47	22,17	19,95	24,22	20,35	26,75
	(D ₃₀ - D ₁₀) (µm):	152,2	180,2	146,6	144,9	140,9	141,0	145,7
	(D ₇₅ / D ₂₅) (µm):	4,687	5,972	3,923	3,712	3,979	3,846	4,964
	(D ₇₅ - D ₂₅) (µm):	82,34	103,3	78,57	76,46	76,62	74,62	79,03
	D ₁₀ (φ):	2,663	2,432	2,703	2,712	2,767	2,753	2,723
	D ₂₀ (φ):	4,094	3,885	3,993	3,995	4,017	4,075	4,247
	D ₃₀ (φ):	7,459	7,621	7,174	7,031	7,365	7,100	7,465
	(D ₃₀ / D ₁₀) (φ):	2,801	3,133	2,654	2,592	2,662	2,579	2,741
	(D ₃₀ - D ₁₀) (φ):	4,796	5,189	4,470	4,318	4,598	4,347	4,741
	(D ₇₅ / D ₂₅) (φ):	1,684	1,856	1,608	1,581	1,606	1,587	1,693
	(D ₇₅ - D ₂₅) (φ):	2,229	2,578	1,972	1,892	1,992	1,943	2,311
	% GRAVEL:	0,0%	0,0%	0,0%	0,0%	0,0%	0,0%	0,0%
	% SAND:	47,4%	52,7%	50,2%	50,2%	49,4%	47,7%	43,7%
	% MUD:	52,6%	47,3%	49,8%	49,8%	50,6%	52,3%	56,3%
	% V COARSE GRAVEL:	0,0%	0,0%	0,0%	0,0%	0,0%	0,0%	0,0%
	% COARSE GRAVEL:	0,0%	0,0%	0,0%	0,0%	0,0%	0,0%	0,0%
	% MEDIUM GRAVEL:	0,0%	0,0%	0,0%	0,0%	0,0%	0,0%	0,0%
	% FINE GRAVEL:	0,0%	0,0%	0,0%	0,0%	0,0%	0,0%	0,0%
	% V FINE GRAVEL:	0,0%	0,0%	0,0%	0,0%	0,0%	0,0%	0,0%
	% V COARSE SAND:	0,0%	0,0%	0,0%	0,0%	0,0%	0,0%	0,0%
	% COARSE SAND:	0,0%	0,0%	0,0%	0,0%	0,0%	0,0%	0,0%
	% MEDIUM SAND:	1,8%	3,3%	1,2%	1,2%	0,6%	1,1%	1,4%
	% FINE SAND:	16,0%	21,3%	16,3%	15,9%	15,3%	14,8%	14,7%
	% V FINE SAND:	29,6%	28,0%	32,7%	33,0%	33,5%	31,8%	27,6%
	% V COARSE SILT:	21,3%	16,2%	21,9%	22,8%	22,1%	23,6%	21,8%
	% COARSE SILT:	11,3%	9,9%	10,4%	10,6%	10,0%	11,6%	13,4%
	% MEDIUM SILT:	7,3%	7,5%	6,5%	6,3%	6,6%	6,6%	8,3%
	% FINE SILT:	5,3%	5,8%	4,5%	4,2%	4,7%	4,4%	5,4%
	% V FINE SILT:	3,9%	4,3%	3,3%	3,0%	3,6%	3,1%	3,8%
	% CLAY:	3,5%	3,7%	3,1%	2,9%	3,6%	3,1%	3,6%

		29-A1 63-64	29-A1 64-65	29-A1 65-66	29-A1 66-67	29-A1 67-68	29-A1 68-69	29-A1 69-70
	ANALYST AND DATE:							
	SIEVING ERROR:							
	SAMPLE TYPE:	Unimodal, Poorly Sorted	Unimodal, Poorly Sorted	Unimodal, Poorly Sorted	Unimodal, Very Poorly Sorted	Unimodal, Poorly Sorted	Unimodal, Poorly Sorted	Unimodal, Poorly Sorted
	TEXTURAL GROUP:	Muddy Sand	Muddy Sand	Muddy Sand	Sandy Mud	Muddy Sand	Muddy Sand	Sandy Mud
	SEDIMENT NAME:	Very Coarse Silty Very Fine Sand	Very Coarse Silty Very Fine Sand	Very Coarse Silty Very Fine Sand	Very Fine Sandy Very Coarse Silt	Very Coarse Silty Very Fine Sand	Very Coarse Silty Very Fine Sand	Very Fine Sandy Very Coarse Silt
METHOD OF MOMENTS	MEAN	81,15	79,17	90,65	63,45	86,38	74,14	54,85
	SORTING	66,47	63,94	66,86	58,53	64,09	56,49	48,56
Arithmetic (µm)	SKEWNESS	0,968	1,018	0,864	1,135	0,904	1,063	1,345
	KURTOSIS	3,754	3,925	3,636	4,030	3,753	4,290	5,151
METHOD OF MOMENTS	MEAN	46,74	47,42	57,61	32,76	55,22	47,67	31,83
	SORTING	3,717	3,514	3,337	4,068	3,285	3,206	3,497
Geometric (µm)	SKEWNESS	-1,138	-1,202	-1,436	-0,837	-1,418	-1,364	-0,965
	KURTOSIS	3,733	4,104	4,872	2,891	4,873	4,810	3,518
METHOD OF MOMENTS	MEAN	4,419	4,398	4,118	4,932	4,179	4,391	4,973
	SORTING	1,894	1,813	1,739	2,024	1,716	1,681	1,806
Logarithmic (φ)	SKEWNESS	1,138	1,202	1,436	0,837	1,418	1,364	0,965
	KURTOSIS	3,733	4,104	4,872	2,891	4,873	4,810	3,518
FOLK AND WARD METHOD	MEAN	49,59	51,14	62,59	34,17	60,12	52,20	33,76
(µm)	SORTING	3,590	3,347	3,093	4,078	3,046	2,978	3,425
	SKEWNESS	-0,452	-0,411	-0,443	-0,399	-0,425	-0,384	-0,343
	KURTOSIS	1,098	1,160	1,332	0,931	1,315	1,303	1,070
FOLK AND WARD METHOD	MEAN	4,334	4,289	3,998	4,871	4,056	4,260	4,889
(φ)	SORTING	1,844	1,743	1,629	2,028	1,607	1,574	1,776
	SKEWNESS	0,452	0,411	0,443	0,399	0,425	0,384	0,343
	KURTOSIS	1,098	1,160	1,332	0,931	1,315	1,303	1,070
FOLK AND WARD METHOD	MEAN:	Very Fine Coarse Silt	Very Coarse Silt	Very Fine Sand	Very Coarse Silt	Very Coarse Silt	Very Coarse Silt	Very Coarse Silt
(Description)	SORTING:	Poorly Sorted	Poorly Sorted	Poorly Sorted	Very Poorly Sorted	Poorly Sorted	Poorly Sorted	Poorly Sorted
	SKEWNESS:	Very Fine Skewed	Very Fine Skewed	Very Fine Skewed	Very Fine Skewed	Very Fine Skewed	Very Fine Skewed	Very Fine Skewed
	KURTOSIS:	Mesokurtic	Leptokurtic	Leptokurtic	Mesokurtic	Leptokurtic	Leptokurtic	Mesokurtic
	MODE 1 (µm):	97,96	97,96	112,5	85,32	97,96	85,32	64,72
	MODE 2 (µm):							
	MODE 3 (µm):							
	MODE 1 (φ):	3,355	3,355	3,156	3,554	3,355	3,554	3,953
	MODE 2 (φ):							
	MODE 3 (φ):							
	D ₁₀ (µm):	6,174	7,322	9,948	3,746	9,914	9,116	4,970
	D ₂₀ (µm):	70,03	67,17	81,21	49,03	76,64	63,88	42,81
	D ₃₀ (µm):	172,9	167,8	181,2	146,1	174,0	151,0	120,9
	(D ₃₀ / D ₁₀) (µm):	28,01	22,92	18,22	39,01	17,55	16,57	24,32
	(D ₃₀ - D ₁₀) (µm):	166,8	160,5	171,3	142,4	164,1	141,9	115,9
	(D ₇₅ / D ₂₅) (µm):	4,958	4,347	3,444	7,231	3,437	3,419	4,877
	(D ₇₅ - D ₂₅) (µm):	95,44	88,87	91,72	83,27	87,17	74,05	63,22
	D ₁₀ (φ):	2,532	2,575	2,464	2,775	2,523	2,727	3,048
	D ₂₀ (φ):	3,836	3,896	3,622	4,350	3,706	3,969	4,546
	D ₃₀ (φ):	7,340	7,094	6,651	8,061	6,656	6,777	7,652
	(D ₃₀ / D ₁₀) (φ):	2,897	2,755	2,699	2,905	2,639	2,485	2,510
	(D ₃₀ - D ₁₀) (φ):	4,808	4,518	4,187	5,286	4,134	4,050	4,604
	(D ₇₅ / D ₂₅) (φ):	1,754	1,681	1,604	1,847	1,589	1,545	1,626
	(D ₇₅ - D ₂₅) (φ):	2,310	2,120	1,784	2,854	1,781	1,774	2,286
	% GRAVEL:	0,0%	0,0%	0,0%	0,0%	0,0%	0,0%	0,0%
	% SAND:	54,3%	52,8%	61,5%	42,2%	59,1%	51,0%	35,1%
	% MUD:	45,7%	47,2%	38,5%	57,8%	40,9%	49,0%	64,9%
	% V COARSE GRAVEL:	0,0%	0,0%	0,0%	0,0%	0,0%	0,0%	0,0%
	% COARSE GRAVEL:	0,0%	0,0%	0,0%	0,0%	0,0%	0,0%	0,0%
	% MEDIUM GRAVEL:	0,0%	0,0%	0,0%	0,0%	0,0%	0,0%	0,0%
	% FINE GRAVEL:	0,0%	0,0%	0,0%	0,0%	0,0%	0,0%	0,0%
	% V FINE GRAVEL:	0,0%	0,0%	0,0%	0,0%	0,0%	0,0%	0,0%
	% V COARSE SAND:	0,0%	0,0%	0,0%	0,0%	0,0%	0,0%	0,0%
	% COARSE SAND:	0,0%	0,0%	0,0%	0,0%	0,0%	0,0%	0,0%
	% MEDIUM SAND:	2,1%	1,8%	2,5%	0,9%	2,0%	1,0%	0,4%
	% FINE SAND:	20,9%	19,6%	24,2%	14,2%	22,2%	16,0%	8,8%
	% V FINE SAND:	31,3%	31,5%	34,7%	27,1%	35,0%	34,1%	26,0%
	% V COARSE SILT:	16,7%	19,1%	16,5%	18,6%	18,2%	23,5%	25,0%
	% COARSE SILT:	9,8%	10,8%	8,3%	11,9%	8,7%	10,7%	15,8%
	% MEDIUM SILT:	7,2%	6,8%	5,3%	9,5%	5,5%	5,9%	9,8%
	% FINE SILT:	5,1%	4,4%	3,5%	7,4%	3,5%	3,7%	6,3%
	% V FINE SILT:	3,6%	3,1%	2,5%	5,6%	2,5%	2,6%	4,2%
	% CLAY:	3,2%	2,9%	2,5%	4,8%	2,4%	2,7%	3,9%

		29-A1 70-71	29-A1 71-72	29-A1 72-73	29-A1 73-74	29-A1 74-75	29-A2 00-01	29-A2 01-02
	ANALYST AND DATE:							
	SIEVING ERROR:							
	SAMPLE TYPE:	Unimodal, Poorly Sorted	Unimodal, Poorly Sorted	Unimodal, Very Poorly Sorted	Unimodal, Poorly Sorted	Unimodal, Poorly Sorted	Unimodal, Poorly Sorted	Unimodal, Poorly Sorted
	TEXTURAL GROUP:	Sandy Mud	Sandy Mud	Slightly Gravely Sandy Mud	Slightly Gravely Sandy Mud	Muddy Sand	Muddy Sand	Muddy Sand
	SEDIMENT NAME:	Very Fine Sandy Very Coarse Silt	Very Fine Sandy Very Coarse Silt	Fine Gravely Very Fine Sandy Vel	Fine Gravely Very Fine Sandy Vel	Very Coarse Silty Very Fine Sand	Very Coarse Silty Very Fine Sand	Very Coarse Silty Very Fine Sand
METHOD OF MOMENTS	MEAN	67,26	65,54	74,40	91,38	90,66	94,64	88,25
	SORTING	55,82	81,84	136,2	151,1	92,84	68,94	69,53
Arithmetic (µm)	SKEWNESS	1,266	5,753	7,401	6,432	4,198	0,817	1,065
	KURTOSIS	4,989	57,66	74,36	55,92	36,49	3,513	4,276
METHOD OF MOMENTS	MEAN	40,94	35,65	32,83	45,96	52,74	59,71	53,69
	SORTING	3,380	3,625	4,164	3,728	3,541	3,423	3,516
Geometric (µm)	SKEWNESS	-1,172	-0,912	-0,590	-0,854	-1,176	-1,479	-1,338
	KURTOSIS	4,160	3,733	3,098	4,070	4,333	4,888	4,514
METHOD OF MOMENTS	MEAN	4,610	4,810	4,929	4,443	4,245	4,066	4,219
	SORTING	1,757	1,858	2,058	1,898	1,824	1,775	1,814
Logarithmic (φ)	SKEWNESS	1,172	0,912	0,590	0,854	1,176	1,479	1,338
	KURTOSIS	4,160	3,733	3,098	4,070	4,333	4,888	4,514
FOLK AND WARD METHOD (µm)	MEAN	44,17	37,57	33,36	47,89	56,52	64,89	58,24
	SORTING	3,221	3,472	4,058	3,433	3,310	3,162	3,295
	SKEWNESS	-0,367	-0,338	-0,323	-0,352	-0,394	-0,459	-0,425
	KURTOSIS	1,197	1,144	0,991	1,245	1,245	1,438	1,307
FOLK AND WARD METHOD (φ)	MEAN	4,501	4,734	4,906	4,384	4,145	3,946	4,102
	SORTING	1,687	1,796	2,021	1,780	1,727	1,661	1,720
	SKEWNESS	0,367	0,338	0,323	0,352	0,394	0,459	0,425
	KURTOSIS	1,197	1,144	0,991	1,245	1,245	1,438	1,307
FOLK AND WARD METHOD (Description)	MEAN:	Very Coarse Silt	Very Coarse Silt	Very Coarse Silt	Very Coarse Silt	Very Coarse Silt	Very Fine Sand	Very Coarse Silt
	SORTING:	Poorly Sorted	Poorly Sorted	Very Poorly Sorted	Poorly Sorted	Poorly Sorted	Poorly Sorted	Poorly Sorted
	SKEWNESS:	Very Fine Skewed	Very Fine Skewed	Very Fine Skewed	Very Fine Skewed	Very Fine Skewed	Very Fine Skewed	Very Fine Skewed
	KURTOSIS:	Leptokurtic	Leptokurtic	Mesokurtic	Leptokurtic	Leptokurtic	Leptokurtic	Leptokurtic
	MODE 1 (µm):	74,31	74,31	74,31	85,32	97,96	112,5	97,96
	MODE 2 (µm):							
	MODE 3 (µm):							
	MODE 1 (φ):	3,754	3,754	3,754	3,554	3,355	3,156	3,355
	MODE 2 (φ):							
	MODE 3 (φ):							
	D ₁₀ (µm):	6,914	5,357	3,934	6,850	8,316	9,217	8,113
	D ₂₀ (µm):	55,19	47,31	44,42	60,67	72,62	85,24	75,97
	D ₃₀ (µm):	142,8	135,7	149,6	166,9	183,0	188,8	182,1
	(D ₃₀ / D ₁₀) (µm):	20,65	25,33	38,04	24,37	22,00	20,49	22,44
	(D ₃₀ - D ₁₀) (µm):	135,8	130,4	145,7	160,1	174,7	179,6	173,9
	(D ₇₅ / D ₂₅) (µm):	4,041	4,608	6,632	4,162	3,983	3,247	3,753
	(D ₇₅ - D ₂₅) (µm):	72,21	68,12	77,21	80,94	92,45	93,02	92,43
	D ₁₀ (φ):	2,808	2,881	2,741	2,583	2,450	2,405	2,458
	D ₂₀ (φ):	4,179	4,402	4,493	4,043	3,784	3,552	3,718
	D ₃₀ (φ):	7,176	7,544	7,990	7,190	6,910	6,762	6,945
	(D ₃₀ / D ₁₀) (φ):	2,555	2,618	2,915	2,784	2,820	2,812	2,826
	(D ₃₀ - D ₁₀) (φ):	4,368	4,663	5,249	4,607	4,460	4,357	4,488
	(D ₇₅ / D ₂₅) (φ):	1,596	1,626	1,789	1,637	1,661	1,587	1,638
	(D ₇₅ - D ₂₅) (φ):	2,015	2,204	2,729	2,057	1,994	1,699	1,908
	% GRAVEL:	0,0%	0,0%	0,0%	0,0%	0,0%	0,0%	0,0%
	% SAND:	44,7%	38,8%	38,7%	48,7%	56,2%	63,9%	58,2%
	% MUD:	55,3%	61,2%	61,3%	51,3%	43,8%	36,1%	41,8%
	% V COARSE GRAVEL:	0,0%	0,0%	0,0%	0,0%	0,0%	0,0%	0,0%
	% COARSE GRAVEL:	0,0%	0,0%	0,0%	0,0%	0,0%	0,0%	0,0%
	% MEDIUM GRAVEL:	0,0%	0,0%	0,0%	0,0%	0,0%	0,0%	0,0%
	% FINE GRAVEL:	0,0%	0,0%	0,0%	0,0%	0,0%	0,0%	0,0%
	% V FINE GRAVEL:	0,0%	0,0%	0,0%	0,0%	0,0%	0,0%	0,0%
	% V COARSE SAND:	0,0%	0,1%	0,6%	0,8%	0,1%	0,0%	0,0%
	% COARSE SAND:	0,0%	0,5%	0,7%	1,1%	0,5%	0,0%	0,0%
	% MEDIUM SAND:	0,9%	1,1%	1,7%	2,0%	3,0%	3,0%	3,0%
	% FINE SAND:	13,4%	10,5%	11,6%	14,7%	20,7%	25,9%	22,4%
	% V FINE SAND:	30,4%	26,6%	24,1%	30,0%	31,7%	35,0%	32,9%
	% V COARSE SILT:	24,2%	24,8%	20,7%	22,3%	18,7%	15,4%	18,0%
	% COARSE SILT:	12,9%	14,6%	13,5%	11,3%	9,6%	6,8%	8,5%
	% MEDIUM SILT:	7,3%	8,5%	9,8%	6,8%	6,0%	5,0%	5,5%
	% FINE SILT:	4,6%	5,5%	7,3%	4,5%	4,0%	3,6%	3,9%
	% V FINE SILT:	3,2%	3,9%	5,3%	3,3%	2,9%	2,8%	3,0%
	% CLAY:	3,2%	3,8%	4,7%	3,2%	2,7%	2,6%	2,9%

		29-A2 02-03	29-A2 03-04	29-A2 04-05	29-A2 05-06	29-A2 06-07	29-A2 07-08	29-A2 08-09
	ANALYST AND DATE:							
	SIEVING ERROR:							
	SAMPLE TYPE:	Unimodal, Poorly Sorted	Unimodal, Poorly Sorted	Unimodal, Poorly Sorted	Unimodal, Poorly Sorted	Unimodal, Poorly Sorted	Unimodal, Poorly Sorted	Unimodal, Poorly Sorted
	TEXTURAL GROUP:	Muddy Sand	Sandy Mud	Sandy Mud	Sandy Mud	Sandy Mud	Sandy Mud	Sandy Mud
	SEDIMENT NAME:	Very Coarse Silty Very Fine Sand	Very Fine Sandy Very Coarse Silt	Very Fine Sandy Very Coarse Silt	Very Fine Sandy Very Coarse Silt	Very Fine Sandy Very Coarse Silt	Very Fine Sandy Very Coarse Silt	Very Fine Sandy Very Coarse Silt
METHOD OF MOMENTS	MEAN	95,22	69,13	71,29	64,67	64,52	66,66	58,95
	SORTING	69,67	60,42	59,24	57,47	60,32	59,43	57,52
Arithmetic (µm)	SKEWNESS	0,862	1,141	1,337	1,832	1,461	1,661	2,018
	KURTOSIS	3,599	4,287	5,529	9,016	5,802	7,497	9,542
METHOD OF MOMENTS	MEAN	60,76	38,11	42,94	37,97	34,48	38,51	32,65
	SORTING	3,346	3,840	3,467	3,531	3,899	3,605	3,671
Geometric (µm)	SKEWNESS	-1,494	-0,994	-1,206	-1,125	-0,900	-1,094	-0,926
	KURTOSIS	5,082	3,314	4,158	3,950	3,152	3,822	3,457
METHOD OF MOMENTS	MEAN	4,041	4,714	4,541	4,719	4,858	4,699	4,937
	SORTING	1,742	1,941	1,794	1,820	1,963	1,850	1,876
Logarithmic (φ)	SKEWNESS	1,494	0,994	1,206	1,125	0,900	1,094	0,926
	KURTOSIS	5,082	3,314	4,158	3,950	3,152	3,822	3,457
FOLK AND WARD METHOD (µm)	MEAN	66,77	39,83	46,01	40,26	35,75	40,67	34,14
	SORTING	3,069	3,798	3,305	3,395	3,884	3,488	3,615
	SKEWNESS	-0,433	-0,421	-0,396	-0,387	-0,388	-0,387	-0,340
	KURTOSIS	1,410	1,044	1,253	1,229	1,015	1,197	1,123
FOLK AND WARD METHOD (φ)	MEAN	3,905	4,650	4,442	4,634	4,806	4,620	4,872
	SORTING	1,618	1,925	1,725	1,763	1,958	1,803	1,854
	SKEWNESS	0,433	0,421	0,396	0,387	0,388	0,387	0,340
	KURTOSIS	1,410	1,044	1,253	1,229	1,015	1,197	1,123
FOLK AND WARD METHOD (Description)	MEAN:	Very Fine Sand	Very Coarse Silt	Very Coarse Silt	Very Coarse Silt	Very Coarse Silt	Very Coarse Silt	Very Coarse Silt
	SORTING:	Poorly Sorted	Poorly Sorted	Poorly Sorted	Poorly Sorted	Poorly Sorted	Poorly Sorted	Poorly Sorted
	SKEWNESS:	Very Fine Skewed	Very Fine Skewed	Very Fine Skewed	Very Fine Skewed	Very Fine Skewed	Very Fine Skewed	Very Fine Skewed
	KURTOSIS:	Leptokurtic	Mesokurtic	Leptokurtic	Leptokurtic	Mesokurtic	Leptokurtic	Leptokurtic
	MODE 1 (µm):	112,5	85,32	85,32	74,31	85,32	74,31	64,72
	MODE 2 (µm):							
	MODE 3 (µm):							
	MODE 1 (φ):	3,156	3,554	3,554	3,754	3,554	3,754	3,953
	MODE 2 (φ):							
	MODE 3 (φ):							
	D ₁₀ (µm):	10,41	4,655	6,575	5,549	4,197	5,398	4,536
	D ₂₀ (µm):	84,80	56,33	59,30	52,28	49,75	53,41	43,94
	D ₃₀ (µm):	190,9	152,7	149,9	136,2	145,5	143,0	130,8
	(D ₃₀ / D ₁₀) (µm):	18,33	32,80	22,79	24,55	34,67	26,48	28,84
	(D ₃₀ - D ₁₀) (µm):	180,4	148,0	143,3	130,7	141,3	137,6	126,3
	(D ₇₅ / D ₂₅) (µm):	3,257	5,607	3,913	4,091	5,985	4,336	4,867
	(D ₇₅ - D ₂₅) (µm):	93,47	84,07	75,13	68,35	78,46	72,33	65,31
	D ₁₀ (φ):	2,389	2,711	2,738	2,876	2,781	2,806	2,934
	D ₂₀ (φ):	3,560	4,150	4,076	4,258	4,329	4,227	4,508
	D ₃₀ (φ):	6,586	7,747	7,249	7,494	7,896	7,533	7,784
	(D ₃₀ / D ₁₀) (φ):	2,756	2,857	2,647	2,606	2,840	2,685	2,653
	(D ₃₀ - D ₁₀) (φ):	4,196	5,036	4,511	4,618	5,116	4,727	4,850
	(D ₇₅ / D ₂₅) (φ):	1,589	1,756	1,595	1,586	1,757	1,620	1,633
	(D ₇₅ - D ₂₅) (φ):	1,703	2,487	1,968	2,033	2,581	2,116	2,283
	% GRAVEL:	0,0%	0,0%	0,0%	0,0%	0,0%	0,0%	0,0%
	% SAND:	63,5%	46,1%	47,7%	42,1%	41,7%	43,3%	36,0%
	% MUD:	36,5%	53,9%	52,3%	57,9%	58,3%	56,7%	64,0%
	% V COARSE GRAVEL:	0,0%	0,0%	0,0%	0,0%	0,0%	0,0%	0,0%
	% COARSE GRAVEL:	0,0%	0,0%	0,0%	0,0%	0,0%	0,0%	0,0%
	% MEDIUM GRAVEL:	0,0%	0,0%	0,0%	0,0%	0,0%	0,0%	0,0%
	% FINE GRAVEL:	0,0%	0,0%	0,0%	0,0%	0,0%	0,0%	0,0%
	% V FINE GRAVEL:	0,0%	0,0%	0,0%	0,0%	0,0%	0,0%	0,0%
	% V COARSE SAND:	0,0%	0,0%	0,0%	0,0%	0,0%	0,0%	0,0%
	% COARSE SAND:	0,0%	0,0%	0,0%	0,0%	0,0%	0,0%	0,0%
	% MEDIUM SAND:	3,3%	1,2%	1,4%	1,2%	1,4%	1,4%	1,3%
	% FINE SAND:	25,8%	15,6%	14,7%	11,4%	13,1%	12,6%	9,8%
	% V FINE SAND:	34,5%	29,4%	31,6%	29,5%	27,2%	29,2%	24,9%
	% V COARSE SILT:	16,1%	19,9%	23,5%	25,6%	21,3%	24,3%	25,3%
	% COARSE SILT:	7,3%	11,1%	11,0%	12,5%	12,1%	12,1%	14,9%
	% MEDIUM SILT:	4,8%	8,1%	6,6%	7,2%	8,7%	7,3%	8,7%
	% FINE SILT:	3,3%	6,2%	4,6%	5,1%	6,8%	5,3%	6,2%
	% V FINE SILT:	2,5%	4,6%	3,4%	3,9%	5,0%	4,0%	4,5%
	% CLAY:	2,5%	4,0%	3,3%	3,7%	4,4%	3,8%	4,3%

		29-A2 09-10	29-A2 10-11	29-A2 11-12	29-A2 12-13	29-A2 13-14	29-A2 14-15	29-A2 15-16
	ANALYST AND DATE:							
	SIEVING ERROR:							
	SAMPLE TYPE:	Unimodal, Very Poorly Sorted	Unimodal, Poorly Sorted	Unimodal, Poorly Sorted	Unimodal, Very Poorly Sorted	Unimodal, Poorly Sorted	Unimodal, Poorly Sorted	Unimodal, Very Poorly Sorted
	TEXTURAL GROUP:	Sandy Mud	Muddy Sand	Muddy Sand	Muddy Sand	Muddy Sand	Muddy Sand	Sandy Mud
	SEDIMENT NAME:	Very Fine Sandy Very Coarse Silt	Very Coarse Silty Very Fine Sand	Very Coarse Silty Very Fine Sand	Very Coarse Silty Very Fine Sand	Very Coarse Silty Fine Sand	Very Coarse Silty Very Fine Sand	Very Fine Sandy Very Coarse Silt
METHOD OF MOMENTS	MEAN	77,83	91,23	91,79	83,90	127,3	116,1	71,15
	SORTING	77,44	78,09	78,23	79,40	85,55	85,43	71,90
Arithmetic (µm)	SKEWNESS	1,467	1,379	1,283	1,205	0,899	1,169	1,888
	KURTOSIS	5,414	5,380	4,874	4,252	3,896	4,927	8,325
METHOD OF MOMENTS	MEAN	38,24	54,16	54,08	41,59	88,71	77,17	36,54
	SORTING	4,268	3,525	3,568	4,325	2,962	3,125	4,030
Geometric (µm)	SKEWNESS	-0,815	-1,224	-1,212	-0,875	-1,854	-1,624	-0,859
	KURTOSIS	2,940	4,384	4,304	2,983	7,147	6,045	3,156
METHOD OF MOMENTS	MEAN	4,709	4,207	4,209	4,588	3,495	3,696	4,775
	SORTING	2,093	1,818	1,835	2,113	1,567	1,644	2,011
Logarithmic (φ)	SKEWNESS	0,815	1,224	1,212	0,875	1,854	1,624	0,859
	KURTOSIS	2,940	4,384	4,304	2,983	7,147	6,045	3,156
FOLK AND WARD METHOD (µm)	MEAN	39,76	59,22	59,21	43,38	101,2	86,68	37,95
	SORTING	4,306	3,316	3,368	4,335	2,537	2,765	4,022
	SKEWNESS	-0,359	-0,355	-0,359	-0,402	-0,349	-0,358	-0,357
	KURTOSIS	0,972	1,243	1,221	0,962	1,507	1,447	1,039
FOLK AND WARD METHOD (φ)	MEAN	4,653	4,078	4,078	4,527	3,305	3,528	4,720
	SORTING	2,106	1,729	1,752	2,116	1,343	1,467	2,008
	SKEWNESS	0,359	0,355	0,359	0,402	0,349	0,358	0,357
	KURTOSIS	0,972	1,243	1,221	0,962	1,507	1,447	1,039
FOLK AND WARD METHOD (Description)	MEAN:	Very Coarse Silt	Very Coarse Silt	Very Coarse Silt	Very Coarse Silt	Very Fine Sand	Very Fine Sand	Very Coarse Silt
	SORTING:	Very Poorly Sorted	Poorly Sorted	Poorly Sorted	Very Poorly Sorted	Poorly Sorted	Poorly Sorted	Very Poorly Sorted
	SKEWNESS:	Very Fine Skewed	Very Fine Skewed	Very Fine Skewed	Very Fine Skewed	Very Fine Skewed	Very Fine Skewed	Very Fine Skewed
	KURTOSIS:	Mesokurtic	Leptokurtic	Leptokurtic	Mesokurtic	Very Leptokurtic	Leptokurtic	Mesokurtic
	MODE 1 (µm):	97,96	97,96	112,5	112,5	129,1	129,1	85,32
	MODE 2 (µm):							
	MODE 3 (µm):							
	MODE 1 (φ):	3,355	3,355	3,156	3,156	2,957	2,957	3,554
	MODE 2 (φ):							
	MODE 3 (φ):							
	D ₁₀ (µm):	4,085	8,779	8,547	4,255	23,34	17,27	4,302
	D ₂₀ (µm):	55,20	72,95	73,42	63,13	113,8	100,6	51,51
	D ₃₀ (µm):	184,6	196,5	199,2	196,2	242,8	229,7	163,0
	(D ₃₀ / D ₁₀) (µm):	45,19	22,39	23,31	46,11	10,40	13,30	37,88
	(D ₃₀ - D ₁₀) (µm):	180,5	187,8	190,7	191,9	219,5	212,4	158,7
	(D ₇₅ / D ₂₅) (µm):	7,292	4,048	4,203	7,450	2,637	2,933	6,094
	(D ₇₅ - D ₂₅) (µm):	99,54	97,15	100,0	110,1	108,1	105,1	84,70
	D ₁₀ (φ):	2,438	2,347	2,328	2,350	2,042	2,122	2,617
	D ₂₀ (φ):	4,179	3,777	3,768	3,986	3,136	3,313	4,279
	D ₃₀ (φ):	7,935	6,832	6,870	7,877	5,421	5,856	7,861
	(D ₃₀ / D ₁₀) (φ):	3,255	2,911	2,952	3,352	2,655	2,759	3,003
	(D ₃₀ - D ₁₀) (φ):	5,498	4,485	4,543	5,527	3,379	3,734	5,243
	(D ₇₅ / D ₂₅) (φ):	1,920	1,683	1,707	1,974	1,555	1,586	1,789
	(D ₇₅ - D ₂₅) (φ):	2,866	2,017	2,071	2,897	1,399	1,552	2,607
	% GRAVEL:	0,0%	0,0%	0,0%	0,0%	0,0%	0,0%	0,0%
	% SAND:	46,3%	56,1%	56,1%	50,3%	76,6%	70,9%	43,3%
	% MUD:	53,7%	43,9%	43,9%	49,7%	23,4%	29,1%	56,7%
	% V COARSE GRAVEL:	0,0%	0,0%	0,0%	0,0%	0,0%	0,0%	0,0%
	% COARSE GRAVEL:	0,0%	0,0%	0,0%	0,0%	0,0%	0,0%	0,0%
	% MEDIUM GRAVEL:	0,0%	0,0%	0,0%	0,0%	0,0%	0,0%	0,0%
	% FINE GRAVEL:	0,0%	0,0%	0,0%	0,0%	0,0%	0,0%	0,0%
	% V FINE GRAVEL:	0,0%	0,0%	0,0%	0,0%	0,0%	0,0%	0,0%
	% V COARSE SAND:	0,0%	0,0%	0,0%	0,0%	0,0%	0,0%	0,0%
	% COARSE SAND:	0,0%	0,0%	0,0%	0,0%	0,0%	0,1%	0,1%
	% MEDIUM SAND:	3,9%	4,6%	4,8%	4,5%	9,1%	7,4%	2,8%
	% FINE SAND:	18,2%	21,7%	22,3%	21,2%	35,3%	30,5%	14,7%
	% V FINE SAND:	24,2%	29,7%	29,0%	24,6%	32,2%	32,8%	25,7%
	% V COARSE SILT:	17,3%	19,3%	18,9%	15,4%	11,1%	13,9%	20,3%
	% COARSE SILT:	11,6%	9,8%	10,0%	10,5%	4,7%	5,9%	12,3%
	% MEDIUM SILT:	8,5%	5,6%	5,6%	8,1%	2,7%	3,5%	8,5%
	% FINE SILT:	6,7%	3,8%	3,8%	6,5%	1,8%	2,3%	6,4%
	% V FINE SILT:	5,1%	2,7%	2,8%	4,9%	1,4%	1,7%	4,8%
	% CLAY:	4,6%	2,7%	2,8%	4,4%	1,5%	1,8%	4,4%

		29-A2 16-17	29-A2 17-18	29-A2 18-19	29-A2 19-20	29-A2 21-22	29-A2 22-23	29-A2 23-24
	ANALYST AND DATE:							
	SIEVING ERROR:							
	SAMPLE TYPE:	Unimodal, Poorly Sorted	Unimodal, Poorly Sorted	Unimodal, Poorly Sorted	Unimodal, Moderately Sorted	Unimodal, Poorly Sorted	Unimodal, Poorly Sorted	Unimodal, Poorly Sorted
	TEXTURAL GROUP:	Sandy Mud	Muddy Sand	Muddy Sand	Sand	Muddy Sand	Muddy Sand	Muddy Sand
	SEDIMENT NAME:	Very Fine Sandy Very Coarse Silt	Very Coarse Silty Fine Sand	Very Coarse Silty Fine Sand	Moderately Sorted Fine Sand	Very Coarse Silty Fine Sand	Very Coarse Silty Fine Sand	Very Coarse Silty Fine Sand
METHOD OF MOMENTS	MEAN	62,78	165,3	159,2	171,1	129,5	132,9	125,1
	SORTING	60,32	106,6	93,32	89,48	90,96	85,18	85,80
Arithmetic (µm)	SKEWNESS	2,559	0,721	0,544	0,582	0,729	0,836	0,906
	KURTOSIS	14,56	3,385	3,197	3,343	3,361	3,783	3,887
METHOD OF MOMENTS	MEAN	36,68	116,4	116,0	137,3	82,64	95,79	85,56
	SORTING	3,480	2,944	2,881	2,338	3,442	2,803	3,051
Geometric (µm)	SKEWNESS	-1,078	-1,961	-2,255	-2,660	-1,617	-1,975	-1,807
	KURTOSIS	3,994	7,711	8,892	13,11	5,400	7,983	6,892
METHOD OF MOMENTS	MEAN	4,769	3,102	3,108	2,864	3,597	3,384	3,547
	SORTING	1,799	1,558	1,527	1,225	1,783	1,487	1,609
Logarithmic (φ)	SKEWNESS	1,078	1,961	2,255	2,660	1,617	1,975	1,807
	KURTOSIS	3,994	7,711	8,892	13,11	5,400	7,983	6,892
FOLK AND WARD METHOD (µm)	MEAN	38,75	132,3	137,9	154,2	91,35	108,9	97,01
	SORTING	3,324	2,486	2,325	1,910	3,099	2,364	2,614
	SKEWNESS	-0,366	-0,373	-0,361	-0,247	-0,474	-0,330	-0,364
	KURTOSIS	1,231	1,482	1,757	1,435	1,541	1,473	1,473
FOLK AND WARD METHOD (φ)	MEAN	4,689	2,918	2,858	2,697	3,452	3,198	3,366
	SORTING	1,733	1,314	1,217	0,934	1,632	1,241	1,386
	SKEWNESS	0,366	0,373	0,361	0,247	0,474	0,330	0,364
	KURTOSIS	1,231	1,482	1,757	1,435	1,541	1,473	1,473
FOLK AND WARD METHOD (Description)	MEAN:	Very Coarse Silt	Fine Sand	Fine Sand	Fine Sand	Very Fine Sand	Very Fine Sand	Very Fine Sand
	SORTING:	Poorly Sorted	Poorly Sorted	Poorly Sorted	Moderately Sorted	Poorly Sorted	Poorly Sorted	Poorly Sorted
	SKEWNESS:	Very Fine Skewed	Very Fine Skewed	Very Fine Skewed	Fine Skewed	Very Fine Skewed	Very Fine Skewed	Very Fine Skewed
	KURTOSIS:	Leptokurtic	Leptokurtic	Very Leptokurtic	Leptokurtic	Very Leptokurtic	Leptokurtic	Leptokurtic
	MODE 1 (µm):	64,72	170,2	170,2	170,2	148,3	148,3	129,1
	MODE 2 (µm):							
	MODE 3 (µm):							
	MODE 1 (φ):	3,953	2,558	2,558	2,558	2,757	2,757	2,957
	MODE 2 (φ):							
	MODE 3 (φ):							
	D ₁₀ (µm):	5,737	31,02	34,96	69,22	13,12	28,80	20,43
	D ₂₀ (µm):	49,29	151,2	149,1	159,5	118,9	120,4	111,6
	D ₃₀ (µm):	130,4	310,5	285,6	293,4	253,4	248,1	240,6
	(D ₃₀ / D ₁₀) (µm):	22,73	10,01	8,168	4,238	19,32	8,615	11,78
	(D ₃₀ - D ₁₀) (µm):	124,7	279,5	250,6	224,2	240,2	219,3	220,2
	(D ₇₅ / D ₂₅) (µm):	4,020	2,591	2,243	2,044	3,013	2,491	2,736
	(D ₇₅ - D ₂₅) (µm):	64,17	139,7	118,9	114,1	122,3	107,8	109,2
	D ₁₀ (φ):	2,939	1,687	1,808	1,769	1,981	2,011	2,055
	D ₂₀ (φ):	4,342	2,726	2,746	2,648	3,072	3,054	3,163
	D ₃₀ (φ):	7,446	5,011	4,838	3,853	6,252	5,118	5,614
	(D ₃₀ / D ₁₀) (φ):	2,533	2,970	2,676	2,178	3,157	2,545	2,731
	(D ₃₀ - D ₁₀) (φ):	4,507	3,323	3,030	2,083	4,272	3,107	3,558
	(D ₇₅ / D ₂₅) (φ):	1,565	1,643	1,525	1,477	1,649	1,533	1,572
	(D ₇₅ - D ₂₅) (φ):	2,007	1,373	1,166	1,031	1,591	1,317	1,452
	% GRAVEL:	0,0%	0,0%	0,0%	0,0%	0,0%	0,0%	0,0%
	% SAND:	39,3%	82,6%	85,8%	91,2%	74,4%	79,4%	75,2%
	% MUD:	60,7%	17,4%	14,2%	8,8%	25,6%	20,6%	24,8%
	% V COARSE GRAVEL:	0,0%	0,0%	0,0%	0,0%	0,0%	0,0%	0,0%
	% COARSE GRAVEL:	0,0%	0,0%	0,0%	0,0%	0,0%	0,0%	0,0%
	% MEDIUM GRAVEL:	0,0%	0,0%	0,0%	0,0%	0,0%	0,0%	0,0%
	% FINE GRAVEL:	0,0%	0,0%	0,0%	0,0%	0,0%	0,0%	0,0%
	% V FINE GRAVEL:	0,0%	0,0%	0,0%	0,0%	0,0%	0,0%	0,0%
	% V COARSE SAND:	0,0%	0,0%	0,0%	0,0%	0,0%	0,0%	0,0%
	% COARSE SAND:	0,1%	0,6%	0,1%	0,1%	0,0%	0,0%	0,0%
	% MEDIUM SAND:	1,4%	19,3%	16,1%	17,9%	10,4%	9,7%	8,8%
	% FINE SAND:	9,6%	40,8%	45,3%	49,3%	36,7%	37,9%	34,6%
	% V FINE SAND:	28,2%	22,0%	24,3%	24,0%	27,2%	31,8%	31,7%
	% V COARSE SILT:	26,9%	7,3%	4,8%	3,3%	9,1%	10,0%	11,3%
	% COARSE SILT:	13,5%	4,0%	3,2%	2,3%	5,5%	4,3%	5,2%
	% MEDIUM SILT:	7,6%	2,1%	2,0%	1,0%	3,8%	2,3%	3,2%
	% FINE SILT:	5,2%	1,6%	1,7%	0,8%	3,0%	1,5%	1,9%
	% V FINE SILT:	3,7%	1,1%	1,3%	0,6%	2,2%	1,2%	1,4%
	% CLAY:	3,7%	1,2%	1,3%	0,7%	2,0%	1,3%	1,7%

		29-A2 24-25	29-A2 25-26	29-A2 26-27	29-A2 27-28	29-A2 28-29	29-A2 29-30	29-A2 30-31
	ANALYST AND DATE:							
	SIEVING ERROR:							
	SAMPLE TYPE:	Unimodal, Poorly Sorted	Unimodal, Poorly Sorted	Unimodal, Poorly Sorted	Unimodal, Poorly Sorted	Unimodal, Poorly Sorted	Unimodal, Poorly Sorted	Unimodal, Poorly Sorted
	TEXTURAL GROUP:	Muddy Sand	Muddy Sand	Sandy Mud	Sandy Mud	Muddy Sand	Muddy Sand	Muddy Sand
	SEDIMENT NAME:	Very Coarse Silty Fine Sand	Very Coarse Silty Very Fine Sand	Very Fine Sandy Very Coarse Silt	Very Fine Sandy Very Coarse Silt	Very Coarse Silty Very Fine Sand	Very Coarse Silty Very Fine Sand	Very Coarse Silty Fine Sand
METHOD OF MOMENTS	MEAN	117,5	110,8	65,25	48,43	80,91	87,93	136,1
	SORTING	87,48	85,58	62,53	50,47	69,08	72,57	108,6
Arithmetic (µm)	SKEWNESS	0,969	1,278	2,830	2,372	1,351	1,407	0,875
	KURTOSIS	4,009	5,223	16,63	13,01	5,195	6,216	3,414
METHOD OF MOMENTS	MEAN	74,17	71,52	39,17	25,60	48,07	53,07	78,45
	SORTING	3,407	3,237	3,397	3,772	3,528	3,520	3,839
Geometric (µm)	SKEWNESS	-1,507	-1,545	-1,214	-0,746	-1,239	-1,332	-1,307
	KURTOSIS	5,140	5,752	4,538	2,958	4,464	4,680	4,282
METHOD OF MOMENTS	MEAN	3,753	3,805	4,674	5,288	4,379	4,236	3,672
	SORTING	1,769	1,695	1,764	1,915	1,819	1,816	1,941
Logarithmic (φ)	SKEWNESS	1,507	1,545	1,214	0,746	1,239	1,332	1,307
	KURTOSIS	5,140	5,752	4,538	2,958	4,464	4,680	4,282
FOLK AND WARD METHOD (µm)	MEAN	81,92	79,99	42,28	26,27	52,57	57,66	85,54
	SORTING	3,102	2,883	3,162	3,798	3,323	3,279	3,599
	SKEWNESS	-0,428	-0,351	-0,359	-0,329	-0,354	-0,402	-0,454
	KURTOSIS	1,451	1,396	1,380	1,000	1,240	1,283	1,215
FOLK AND WARD METHOD (φ)	MEAN	3,610	3,644	4,564	5,250	4,250	4,116	3,547
	SORTING	1,633	1,527	1,661	1,925	1,732	1,713	1,847
	SKEWNESS	0,428	0,351	0,359	0,329	0,354	0,402	0,454
	KURTOSIS	1,451	1,396	1,380	1,000	1,240	1,283	1,215
FOLK AND WARD METHOD (Description)	MEAN:	Very Fine Sand	Very Fine Sand	Very Coarse Silt	Coarse Silt	Very Coarse Silt	Very Coarse Silt	Very Fine Sand
	SORTING:	Poorly Sorted	Poorly Sorted	Poorly Sorted	Poorly Sorted	Poorly Sorted	Poorly Sorted	Poorly Sorted
	SKEWNESS:	Very Fine Skewed	Very Fine Skewed	Very Fine Skewed	Very Fine Skewed	Very Fine Skewed	Very Fine Skewed	Very Fine Skewed
	KURTOSIS:	Leptokurtic	Leptokurtic	Leptokurtic	Mesokurtic	Leptokurtic	Leptokurtic	Leptokurtic
	MODE 1 (µm):	129,1	112,5	64,72	56,37	85,32	97,96	170,2
	MODE 2 (µm):							
	MODE 3 (µm):							
	MODE 1 (φ):	2,957	3,156	3,953	4,152	3,554	3,355	2,558
	MODE 2 (φ):							
	MODE 3 (φ):							
	D ₁₀ (µm):	12,13	15,08	6,725	3,374	8,126	8,775	10,00
	D ₂₀ (µm):	103,6	93,69	51,64	34,70	64,68	73,75	117,6
	D ₃₀ (µm):	235,6	224,5	131,5	110,1	174,4	182,1	288,7
	(D ₃₀ / D ₁₀) (µm):	19,42	14,89	19,55	32,62	21,46	20,76	28,87
	(D ₃₀ - D ₁₀) (µm):	223,5	209,4	124,8	106,7	166,3	173,4	278,7
	(D ₇₅ / D ₂₅) (µm):	3,210	3,151	3,455	5,927	4,079	3,834	4,478
	(D ₇₅ - D ₂₅) (µm):	113,8	104,2	61,42	56,59	86,53	91,75	156,4
	D ₁₀ (φ):	2,086	2,155	2,927	3,184	2,520	2,457	1,792
	D ₂₀ (φ):	3,271	3,416	4,275	4,849	3,951	3,761	3,088
	D ₃₀ (φ):	6,365	6,051	7,216	8,211	6,943	6,832	6,644
	(D ₃₀ / D ₁₀) (φ):	3,052	2,808	2,465	2,579	2,756	2,781	3,707
	(D ₃₀ - D ₁₀) (φ):	4,280	3,896	4,289	5,028	4,424	4,376	4,851
	(D ₇₅ / D ₂₅) (φ):	1,648	1,611	1,506	1,662	1,649	1,644	1,935
	(D ₇₅ - D ₂₅) (φ):	1,682	1,656	1,788	2,567	2,028	1,939	2,163
	% GRAVEL:	0,0%	0,0%	0,0%	0,0%	0,0%	0,0%	0,0%
	% SAND:	70,3%	67,4%	40,7%	28,2%	51,4%	56,9%	68,9%
	% MUD:	29,7%	32,6%	59,3%	71,8%	48,6%	43,1%	31,1%
	% V COARSE GRAVEL:	0,0%	0,0%	0,0%	0,0%	0,0%	0,0%	0,0%
	% COARSE GRAVEL:	0,0%	0,0%	0,0%	0,0%	0,0%	0,0%	0,0%
	% MEDIUM GRAVEL:	0,0%	0,0%	0,0%	0,0%	0,0%	0,0%	0,0%
	% FINE GRAVEL:	0,0%	0,0%	0,0%	0,0%	0,0%	0,0%	0,0%
	% V FINE GRAVEL:	0,0%	0,0%	0,0%	0,0%	0,0%	0,0%	0,0%
	% V COARSE SAND:	0,0%	0,0%	0,0%	0,0%	0,0%	0,0%	0,0%
	% COARSE SAND:	0,0%	0,1%	0,2%	0,0%	0,0%	0,1%	0,3%
	% MEDIUM SAND:	8,2%	7,0%	1,6%	0,7%	2,9%	3,3%	15,0%
	% FINE SAND:	31,7%	27,9%	9,6%	6,5%	18,5%	21,3%	32,1%
	% V FINE SAND:	30,3%	32,4%	29,3%	21,0%	30,0%	32,3%	21,5%
	% V COARSE SILT:	12,1%	15,7%	28,8%	25,1%	21,4%	18,7%	11,1%
	% COARSE SILT:	6,0%	6,7%	12,9%	16,6%	11,2%	9,2%	6,7%
	% MEDIUM SILT:	4,2%	4,0%	6,5%	10,6%	6,3%	5,9%	4,8%
	% FINE SILT:	3,1%	2,4%	4,2%	8,1%	3,7%	3,6%	3,6%
	% V FINE SILT:	2,3%	1,8%	3,2%	6,1%	2,7%	2,6%	2,6%
	% CLAY:	2,0%	2,1%	3,7%	5,4%	3,2%	3,0%	2,3%

		29-A2 31-32	29-A2 32-33	29-A2 33-34	29-A2 34-35	29-A2 35-36	29-A2 36-37	29-A2 37-38
	ANALYST AND DATE:							
	SIEVING ERROR:							
	SAMPLE TYPE:	Unimodal, Moderately Sorted	Unimodal, Moderately Sorted	Unimodal, Moderately Well Sorted	Unimodal, Moderately Sorted	Unimodal, Moderately Sorted	Unimodal, Poorly Sorted	Unimodal, Poorly Sorted
	TEXTURAL GROUP:	Sand	Sand	Sand	Sand	Muddy Sand	Muddy Sand	Muddy Sand
	SEDIMENT NAME:	Moderately Sorted Fine Sand	Moderately Sorted Fine Sand	Moderately Well Sorted Fine Sand	Moderately Sorted Fine Sand	Very Coarse Silty Fine Sand	Very Coarse Silty Fine Sand	Very Coarse Silty Fine Sand
METHOD OF MOMENTS	MEAN	212,1	228,6	240,4	223,0	162,1	159,0	134,9
	SORTING	107,7	111,9	104,2	107,6	88,68	89,06	77,82
Arithmetic (µm)	SKEWNESS	0,462	0,460	0,426	0,544	0,683	0,596	0,711
	KURTOSIS	3,172	3,161	3,405	3,268	3,541	3,404	3,527
METHOD OF MOMENTS	MEAN	170,4	187,5	206,2	186,1	127,7	120,6	103,5
	SORTING	2,368	2,261	2,051	2,154	2,431	2,665	2,536
Geometric (µm)	SKEWNESS	-2,802	-2,941	-3,479	-3,063	-2,583	-2,445	-2,338
	KURTOSIS	13,94	15,39	20,66	17,44	12,45	10,39	10,55
METHOD OF MOMENTS	MEAN	2,553	2,415	2,278	2,426	2,969	3,051	3,272
	SORTING	1,244	1,177	1,036	1,107	1,281	1,414	1,343
Logarithmic (φ)	SKEWNESS	2,802	2,941	3,479	3,063	2,583	2,445	2,338
	KURTOSIS	13,94	15,39	20,66	17,44	12,45	10,39	10,55
FOLK AND WARD METHOD (µm)	MEAN	192,9	209,6	225,0	204,0	144,3	141,3	117,6
	SORTING	1,911	1,840	1,555	1,686	1,986	2,130	2,083
	SKEWNESS	-0,274	-0,242	-0,098	-0,144	-0,251	-0,307	-0,277
	KURTOSIS	1,534	1,461	1,063	1,123	1,486	1,687	1,476
FOLK AND WARD METHOD (φ)	MEAN	2,374	2,254	2,152	2,293	2,792	2,823	3,088
	SORTING	0,935	0,880	0,637	0,754	0,990	1,091	1,058
	SKEWNESS	0,274	0,242	0,098	0,144	0,251	0,307	0,277
	KURTOSIS	1,534	1,461	1,063	1,123	1,486	1,687	1,476
FOLK AND WARD METHOD (Description)	MEAN:	Fine Sand	Fine Sand	Fine Sand	Fine Sand	Fine Sand	Fine Sand	Very Fine Sand
	SORTING:	Moderately Sorted	Moderately Sorted	Moderately Well Sorted	Moderately Sorted	Moderately Sorted	Poorly Sorted	Poorly Sorted
	SKEWNESS:	Fine Skewed	Fine Skewed	Symmetrical	Fine Skewed	Fine Skewed	Very Fine Skewed	Fine Skewed
	KURTOSIS:	Very Leptokurtic	Leptokurtic	Mesokurtic	Leptokurtic	Leptokurtic	Very Leptokurtic	Leptokurtic
	MODE 1 (µm):	224,4	224,4	224,4	224,4	170,2	170,2	129,1
	MODE 2 (µm):							
	MODE 3 (µm):							
	MODE 1 (φ):	2,159	2,159	2,159	2,159	2,558	2,558	2,957
	MODE 2 (φ):							
	MODE 3 (φ):							
	D ₁₀ (µm):	87,44	103,1	125,9	103,1	61,93	52,59	42,85
	D ₂₀ (µm):	200,0	215,1	228,0	208,4	149,3	148,0	123,9
	D ₃₀ (µm):	357,7	382,3	381,3	370,5	282,4	278,5	239,8
	(D ₃₀ / D ₁₀) (µm):	4,091	3,708	3,029	3,593	4,559	5,296	5,596
	(D ₃₀ - D ₁₀) (µm):	270,3	279,2	255,4	267,3	220,4	225,9	197,0
	(D ₇₅ / D ₂₅) (µm):	1,985	1,951	1,784	1,946	2,098	2,123	2,205
	(D ₇₅ - D ₂₅) (µm):	137,1	144,2	132,7	139,4	111,0	111,1	97,72
	D ₁₀ (φ):	1,483	1,387	1,391	1,433	1,824	1,844	2,060
	D ₂₀ (φ):	2,322	2,217	2,133	2,263	2,743	2,756	3,013
	D ₃₀ (φ):	3,516	3,278	2,990	3,278	4,013	4,249	4,544
	(D ₃₀ / D ₁₀) (φ):	2,371	2,363	2,150	2,288	2,200	2,304	2,206
	(D ₃₀ - D ₁₀) (φ):	2,033	1,891	1,599	1,845	2,189	2,405	2,484
	(D ₇₅ / D ₂₅) (φ):	1,533	1,549	1,484	1,533	1,478	1,482	1,459
	(D ₇₅ - D ₂₅) (φ):	0,989	0,964	0,835	0,961	1,069	1,086	1,141
	% GRAVEL:	0,0%	0,0%	0,0%	0,0%	0,0%	0,0%	0,0%
	% SAND:	92,6%	94,1%	95,9%	95,2%	89,9%	88,3%	84,0%
	% MUD:	7,4%	5,9%	4,1%	4,8%	10,1%	11,7%	16,0%
	% V COARSE GRAVEL:	0,0%	0,0%	0,0%	0,0%	0,0%	0,0%	0,0%
	% COARSE GRAVEL:	0,0%	0,0%	0,0%	0,0%	0,0%	0,0%	0,0%
	% MEDIUM GRAVEL:	0,0%	0,0%	0,0%	0,0%	0,0%	0,0%	0,0%
	% FINE GRAVEL:	0,0%	0,0%	0,0%	0,0%	0,0%	0,0%	0,0%
	% V FINE GRAVEL:	0,0%	0,0%	0,0%	0,0%	0,0%	0,0%	0,0%
	% V COARSE SAND:	0,0%	0,0%	0,0%	0,0%	0,0%	0,0%	0,0%
	% COARSE SAND:	1,1%	1,8%	1,6%	1,5%	0,1%	0,1%	0,0%
	% MEDIUM SAND:	31,4%	36,0%	39,8%	33,8%	15,5%	15,0%	8,6%
	% FINE SAND:	47,6%	46,5%	48,8%	48,1%	46,9%	46,7%	40,8%
	% V FINE SAND:	12,5%	9,8%	5,7%	11,8%	27,3%	26,5%	34,6%
	% V COARSE SILT:	2,4%	1,7%	1,2%	1,4%	4,0%	3,8%	8,0%
	% COARSE SILT:	2,1%	1,8%	1,2%	1,4%	2,5%	2,7%	3,2%
	% MEDIUM SILT:	1,0%	0,9%	0,5%	0,7%	1,4%	1,7%	2,0%
	% FINE SILT:	0,7%	0,6%	0,5%	0,5%	0,8%	1,4%	0,9%
	% V FINE SILT:	0,5%	0,4%	0,3%	0,3%	0,6%	1,1%	0,8%
	% CLAY:	0,7%	0,5%	0,4%	0,5%	0,9%	1,1%	1,1%

		29-A2 38-39	29-A2 39-40	29-A2 40-41	29-A2 41-42	29-A2 42-43	29-A2 43-44	29-A2 44-45
	ANALYST AND DATE:							
	SIEVING ERROR:							
	SAMPLE TYPE:	Unimodal, Poorly Sorted	Unimodal, Poorly Sorted	Unimodal, Poorly Sorted	Unimodal, Poorly Sorted	Unimodal, Poorly Sorted	Unimodal, Poorly Sorted	Unimodal, Poorly Sorted
	TEXTURAL GROUP:	Muddy Sand	Sandy Mud	Sandy Mud	Sandy Mud	Sandy Mud	Sandy Mud	Muddy Sand
	SEDIMENT NAME:	Very Coarse Silty Fine Sand	Very Fine Sandy Very Coarse Silt	Very Fine Sandy Very Coarse Silt	Very Fine Sandy Very Coarse Silt	Very Fine Sandy Very Coarse Silt	Very Fine Sandy Very Coarse Silt	Very Coarse Silty Very Fine Sand
METHOD OF MOMENTS	MEAN	137,3	59,44	64,24	52,37	63,14	73,78	88,93
	SORTING	79,37	79,50	55,34	53,72	62,11	68,75	101,5
Arithmetic (µm)	SKEWNESS	0,702	5,542	1,788	2,404	1,919	1,767	5,417
	KURTOSIS	3,455	52,29	8,914	12,98	8,589	7,305	50,37
METHOD OF MOMENTS	MEAN	105,5	29,56	39,22	28,44	34,30	42,41	53,30
	SORTING	2,519	3,928	3,362	3,710	3,753	3,581	3,313
Geometric (µm)	SKEWNESS	-2,317	-0,728	-1,220	-0,880	-0,902	-1,110	-1,233
	KURTOSIS	10,57	3,122	4,452	3,422	3,381	4,177	5,054
METHOD OF MOMENTS	MEAN	3,245	5,080	4,672	5,136	4,866	4,559	4,230
	SORTING	1,333	1,974	1,749	1,891	1,908	1,840	1,728
Logarithmic (φ)	SKEWNESS	2,317	0,728	1,220	0,880	0,902	1,110	1,233
	KURTOSIS	10,57	3,122	4,452	3,422	3,381	4,177	5,054
FOLK AND WARD METHOD (µm)	MEAN	119,2	30,27	42,53	30,07	35,99	45,99	57,89
	SORTING	2,081	3,896	3,167	3,637	3,703	3,409	2,984
	SKEWNESS	-0,273	-0,330	-0,357	-0,318	-0,337	-0,319	-0,334
	KURTOSIS	1,436	1,040	1,253	1,092	1,089	1,217	1,347
FOLK AND WARD METHOD (φ)	MEAN	3,068	5,046	4,556	5,055	4,796	4,443	4,110
	SORTING	1,057	1,962	1,663	1,863	1,889	1,769	1,577
	SKEWNESS	0,273	0,330	0,357	0,318	0,337	0,319	0,334
	KURTOSIS	1,436	1,040	1,253	1,092	1,089	1,217	1,347
FOLK AND WARD METHOD (Description)	MEAN:	Very Fine Sand	Coarse Silt	Very Coarse Silt	Coarse Silt	Very Coarse Silt	Very Coarse Silt	Very Coarse Silt
	SORTING:	Poorly Sorted	Poorly Sorted	Poorly Sorted	Poorly Sorted	Poorly Sorted	Poorly Sorted	Poorly Sorted
	SKEWNESS:	Fine Skewed	Very Fine Skewed	Very Fine Skewed	Very Fine Skewed	Very Fine Skewed	Very Fine Skewed	Very Fine Skewed
	KURTOSIS:	Leptokurtic	Mesokurtic	Leptokurtic	Mesokurtic	Mesokurtic	Leptokurtic	Leptokurtic
	MODE 1 (µm):	148,3	64,72	74,31	56,37	74,31	74,31	85,32
	MODE 2 (µm):							
	MODE 3 (µm):							
	MODE 1 (φ):	2,757	3,953	3,754	4,152	3,754	3,754	3,554
	MODE 2 (φ):							
	MODE 3 (φ):							
	D ₁₀ (µm):	42,92	3,692	7,070	4,060	4,680	7,070	10,77
	D ₂₀ (µm):	126,0	40,00	52,17	37,75	46,46	55,64	68,45
	D ₃₀ (µm):	245,4	129,2	134,3	116,9	141,8	161,9	172,2
	(D ₃₀ / D ₁₀) (µm):	5,719	34,99	18,99	28,80	30,30	22,90	15,99
	(D ₃₀ - D ₁₀) (µm):	202,5	125,5	127,2	112,9	137,1	154,8	161,4
	(D ₇₅ / D ₂₅) (µm):	2,228	5,840	3,804	5,158	5,229	4,286	3,357
	(D ₇₅ - D ₂₅) (µm):	100,5	65,24	65,97	58,75	71,84	78,23	80,11
	D ₁₀ (φ):	2,027	2,953	2,897	3,096	2,818	2,627	2,538
	D ₂₀ (φ):	2,989	4,644	4,261	4,727	4,428	4,168	3,869
	D ₃₀ (φ):	4,542	8,081	7,144	7,944	7,739	7,144	6,537
	(D ₃₀ / D ₁₀) (φ):	2,241	2,737	2,466	2,566	2,746	2,720	2,576
	(D ₃₀ - D ₁₀) (φ):	2,516	5,129	4,247	4,848	4,921	4,517	3,999
	(D ₇₅ / D ₂₅) (φ):	1,471	1,694	1,554	1,626	1,683	1,638	1,558
	(D ₇₅ - D ₂₅) (φ):	1,156	2,546	1,927	2,367	2,387	2,100	1,747
	% GRAVEL:	0,0%	0,0%	0,0%	0,0%	0,0%	0,0%	0,0%
	% SAND:	84,1%	33,7%	41,8%	30,9%	38,9%	45,3%	54,2%
	% MUD:	15,9%	66,3%	58,2%	69,1%	61,1%	54,7%	45,8%
	% V COARSE GRAVEL:	0,0%	0,0%	0,0%	0,0%	0,0%	0,0%	0,0%
	% COARSE GRAVEL:	0,0%	0,0%	0,0%	0,0%	0,0%	0,0%	0,0%
	% MEDIUM GRAVEL:	0,0%	0,0%	0,0%	0,0%	0,0%	0,0%	0,0%
	% FINE GRAVEL:	0,0%	0,0%	0,0%	0,0%	0,0%	0,0%	0,0%
	% V FINE GRAVEL:	0,0%	0,0%	0,0%	0,0%	0,0%	0,0%	0,0%
	% V COARSE SAND:	0,0%	0,1%	0,0%	0,0%	0,0%	0,0%	0,2%
	% COARSE SAND:	0,0%	0,5%	0,0%	0,0%	0,0%	0,0%	0,7%
	% MEDIUM SAND:	9,4%	1,1%	1,0%	0,9%	1,7%	2,8%	2,5%
	% FINE SAND:	41,2%	9,0%	11,2%	7,5%	11,6%	14,7%	17,5%
	% V FINE SAND:	33,6%	22,9%	29,6%	22,4%	25,5%	27,8%	33,2%
	% V COARSE SILT:	8,1%	23,9%	26,5%	25,3%	23,4%	23,5%	22,6%
	% COARSE SILT:	3,3%	15,1%	13,5%	16,9%	14,1%	13,1%	9,9%
	% MEDIUM SILT:	1,9%	9,6%	7,4%	10,6%	8,9%	7,3%	5,4%
	% FINE SILT:	0,9%	7,2%	4,3%	6,6%	6,2%	4,2%	3,0%
	% V FINE SILT:	0,7%	5,4%	3,0%	4,6%	4,4%	2,9%	2,1%
	% CLAY:	1,1%	5,1%	3,5%	5,1%	4,2%	3,6%	2,7%

Annexe 17 :

Mesure de la densité et de la teneur en eau de la carotte C29

Cette annexe présente les mesures de densité et teneur en eau réalisées tous les 5 cm sur la carotte de référence C29, soit pour un total de 24 échantillons.

Ces mesures ont été réalisées au sein du laboratoire LEHNA-IPE.

Site Casier Girardon
 Carotte C29
 Echantillonnage 1 cm tous les 5 cm

Numéro échantillons	Section carotte	Profondeur TOP réelle (cm)	Profondeur cumulée	Masse du bouchon (g)	Masse totale (bouchon + sédiments) avant séchage (g)	Masse totale (bouchon + sédiments) après séchage (g)	Masse sédiments sec (g)	Volume bouchon (cm3)	Masse volumique (g.cm-3)	Teneur en eau (%)
1	29A/1	0-1 cm	0	0,403	17,067	15,798	15,395	14	1,100	7,62
2		5-6 cm	5	0,417	17,718	16,392	15,975	14	1,141	7,66
3		10-11 cm	10	0,396	17,800	16,605	16,209	14	1,158	6,87
4		15-16 cm	15	0,405	18,698	17,476	17,071	14	1,219	6,68
5		20-21 cm	20	0,421	19,220	18,168	17,747	14	1,268	5,60
6		25-26 cm	25	0,408	19,802	19,134	18,726	14	1,338	3,44
7		30-35 cm	30	0,413	18,580	17,686	17,273	14	1,234	4,92
8		35-36 cm	35	0,413	19,368	18,51	18,097	14	1,293	4,53
9		40-41 cm	40	0,402	18,369	17,086	16,684	14	1,192	7,14
10		45-46 cm	45	0,409	19,002	16,722	16,313	14	1,165	12,26
11		50-51 cm	50	0,419	19,108	17,584	17,165	14	1,226	8,15
12		55-56 cm	55	0,411	19,685	17,982	17,571	14	1,255	8,84
13		60-61 cm	60	0,397	18,632	17,153	16,756	14	1,197	8,11
14		65-66 cm	65	0,411	19,074	17,731	17,32	14	1,237	7,20
15		70-71 cm	70	0,418	18,604	17,338	16,92	14	1,209	6,96
16	29A/2	0-1 cm	75	0,404	19,261	19,037	18,633	14	1,331	1,19
17		5-6 cm	80	0,414	17,031	16,74	16,326	14	1,166	1,75
18		10-11 cm	85	0,411	17,735	17,16	16,749	14	1,196	3,32
19		15-16 cm	90	0,397	18,783	18,59	18,193	14	1,300	1,05
20		20-21 cm	95	0,416	18,957	18,807	18,391	14	1,314	0,81
21		25-26 cm	100	0,413	17,429	17,19	16,777	14	1,198	1,40
22		30-31 cm	105	0,411	19,863	19,737	19,326	14	1,380	0,65
23		35-36 cm	110	0,409	20,424	20,309	19,9	14	1,421	0,57
24		40-41 cm	115	0,39	18,692	18,432	18,042	14	1,289	1,42
moyenne									1,24	4,92

Annexe 18 :

Résultats d'analyses en PCB, COT, dioxines/furannes des carottes de référence.

Cette annexe regroupe les résultats d'analyses en PCB, COT, dioxines et furannes de 20 échantillons de la carotte de référence C27 et de 20 échantillons de la carotte de référence C29, soit un total de 40 analyses.

Elles ont été réalisées par le laboratoire EUROFINs.

ENTPE ECOLE NAT. DES TRAVAUX
PUBLICS DE L'ETAT
Mr Yves PERRODIN
2, rue Maurice Audin
69120 VAULX EN VELIN

RAPPORT D'ANALYSE

N° de rapport d'analyse : AR-12-LK-007622-01

Version du : 18/01/2012

Page 1/9

Dossier N° : 12E000663

Date de réception : 09/01/2012

Référence Dossier : Demande d'analyse

N° Ech	Matrice	Référence échantillon	Observations
001	Sol	1 - Girardon - 29/1 ; 0-01	
002	Sol	2 - Girardon - 29/1 ; 06-07	
003	Sol	3 - Girardon - 29/1 ; 12-13	
004	Sol	4 - Girardon - 29/1 ; 18-19	
005	Sol	5 - Girardon - 29/1 ; 24-25	
006	Sol	6 - Girardon - 29/1 ; 30-31	
007	Sol	7 - Girardon - 29/1 ; 36-37	
008	Sol	8 - Girardon - 29/1 ; 42-43	
009	Sol	9 - Girardon - 29/1 ; 48-49	
010	Sol	10 - Girardon - 29/1 ; 54-55	
011	Sol	11 - Girardon - 29/1 ; 60-61	
012	Sol	12 - Girardon - 29/1 ; 66-67	
013	Sol	13 - Girardon - 29/1 ; 72-73	
014	Sol	14 - Girardon - 29/2 ; 03-04	
015	Sol	15 - Girardon - 29/2 ; 09-10	
016	Sol	16 - Girardon - 29/2 ; 15-16	
017	Sol	17 - Girardon - 29/2 ; 21-22	
018	Sol	18 - Girardon - 29/2 ; 27-28	
019	Sol	19 - Girardon - 29/2 ; 33-34	
020	Sol	20 - Girardon - 29/2 ; 39-40	
021	Sol	21 - Girardon - 27/1 ; 0-02	
022	Sol	22 - Girardon - 27/1 ; 15-17	
023	Sol	23 - Girardon - 27/1 ; 30-32	
024	Sol	24 - Girardon - 27/1 ; 45-47	
025	Sol	25 - Girardon - 27/1 ; 60-62	
026	Sol	26 - Girardon - 27/2 ; 06-08	
027	Sol	27 - Girardon - 27/2 ; 21-23	
028	Sol	28 - Girardon - 27/2 ; 35-37	
029	Sol	29 - Girardon - 27/2 ; 40-42	
030	Sol	30 - Girardon - 27/2 ; 50-52	
031	Sol	31 - Girardon - 27/2 ; 55-57	
032	Sol	32 - Girardon - 27/2 ; 61-63	
033	Sol	33 - Girardon - 27/3 ; 06-08	
034	Sol	34 - Girardon - 27/3 ; 21-23	
035	Sol	35 - Girardon - 27/3 ; 36-38	
036	Sol	36 - Girardon - 27/3 ; 45-47	

RAPPORT D'ANALYSE

N° de rapport d'analyse : AR-12-LK-007622-01

Version du : 18/01/2012

Page 2/9

Dossier N° : 12E000663

Date de réception : 09/01/2012

Référence Dossier : Demande d'analyse

037	Sol	37 - Girardon - 27/3 ; 51-53
038	Sol	38 - Girardon - 27/3 ; 66-68
039	Sol	39 - Girardon - 27/4 ; 06-08
040	Sol	40 - Girardon - 27/4 ; 21-23

NB : Méthodes de calcul de l'incertitude : (A) : Eurachem
(B) : XP T 90-220**Conservation de vos échantillons**

Les échantillons seront conservés sous conditions contrôlées pendant 6 semaines pour les sols et pendant 4 semaines pour les eaux et l'air, à compter de la date de réception des échantillons au laboratoire. Sans avis contraire, ils seront détruits après cette période sans aucune communication de notre part. Si vous désirez que les échantillons soient conservés plus longtemps, veuillez retourner ce document signé au plus tard une semaine avant la date d'issue.

Conservation Supplémentaire : x 6 semaines supplémentaires (LS0PX)

Nom :

Signature :

Date :

RAPPORT D'ANALYSE

N° de rapport d'analyse : AR-12-LK-007622-01

Version du : 18/01/2012

Page 3/9

Dossier N° : 12E000663

Date de réception : 09/01/2012

Référence Dossier : Demande d'analyse

N° Echantillon	001	002	003	004	005	006
Date de prélèvement :	09/01/2012	09/01/2012	09/01/2012	09/01/2012	09/01/2012	09/01/2012
Début d'analyse :	09/01/2012	09/01/2012	09/01/2012	09/01/2012	09/01/2012	09/01/2012

Préparation Physico-Chimique

XXS06 : Séchage à 40°C

 Analyse réalisée sur le site de Saverne
 Accrédité Cofrac N°1-1488
 NF ISO 11464

*	-	*	-	*	-	*	-
---	---	---	---	---	---	---	---

XXS07 : Refus Pondéral à 2 mm

 Analyse réalisée sur le site de Saverne
 Accrédité Cofrac N°1-1488
 NF ISO 11464

% P.B.	001	002	003	004	005	006	
*	<1.00	*	<1.00	*	<1.00	*	<1.00

Indices de pollution

LS08X : Carbone organique total (COT) par combustion sèche

 Analyse réalisée sur le site de Saverne
 Accrédité Cofrac N°1-1488
 Combustion sèche - NF ISO 10694

mg/kg MS	001	002	003	004	005	006					
*	22700 ±10% (B)	*	15200 ±10% (B)	*	12700 ±10% (B)	*	11700 ±10% (B)	*	5980 ±10% (B)	*	5340 ±10% (B)

RAPPORT D'ANALYSE

N° de rapport d'analyse : AR-12-LK-007622-01

Version du : 18/01/2012

Page 4/9

Dossier N° : 12E000663

Date de réception : 09/01/2012

Référence Dossier : Demande d'analyse

N° Echantillon	007	008	009	010	011	012
Date de prélèvement :	09/01/2012	09/01/2012	09/01/2012	09/01/2012	09/01/2012	09/01/2012
Début d'analyse :	09/01/2012	09/01/2012	09/01/2012	09/01/2012	09/01/2012	09/01/2012

Préparation Physico-Chimique

XXS06 : Séchage à 40°C

 Analyse réalisée sur le site de Saverne
 Accrédité Cofrac N°1-1488
 NF ISO 11464

*	-	*	-	*	-	*	-
---	---	---	---	---	---	---	---

XXS07 : Refus Pondéral à 2 mm

 Analyse réalisée sur le site de Saverne
 Accrédité Cofrac N°1-1488
 NF ISO 11464

% P.B.	007	008	009	010	011	012	
*	<1.00	*	<1.00	*	<1.00	*	<1.00

Indices de pollution

LS08X : Carbone organique total (COT) par combustion sèche

 Analyse réalisée sur le site de Saverne
 Accrédité Cofrac N°1-1488
 Combustion sèche - NF ISO 10694

mg/kg MS	007	008	009	010	011	012					
*	6710 ±10% (B)	*	10400 ±10% (B)	*	41700 ±10% (B)	*	6310 ±10% (B)	*	5870 ±10% (B)	*	9830 ±10% (B)

RAPPORT D'ANALYSE

N° de rapport d'analyse : AR-12-LK-007622-01

Version du : 18/01/2012

Page 5/9

Dossier N° : 12E000663

Date de réception : 09/01/2012

Référence Dossier : Demande d'analyse

N° Echantillon	013	014	015	016	017	018
Date de prélèvement :	09/01/2012	09/01/2012	09/01/2012	09/01/2012	09/01/2012	09/01/2012
Début d'analyse :	09/01/2012	09/01/2012	09/01/2012	09/01/2012	09/01/2012	09/01/2012

Préparation Physico-Chimique

XXS06 : Séchage à 40°C

 Analyse réalisée sur le site de Saverne
 Accrédité Cofrac N°1-1488
 NF ISO 11464

*	-	*	-	*	-	*	-
---	---	---	---	---	---	---	---

XXS07 : Refus Pondéral à 2 mm

 Analyse réalisée sur le site de Saverne
 Accrédité Cofrac N°1-1488
 NF ISO 11464

% P.B.	013	014	015	016	017	018	
*	<1.00	*	<1.00	*	<1.00	*	<1.00

Indices de pollution

LS08X : Carbone organique total (COT) par combustion sèche

 Analyse réalisée sur le site de Saverne
 Accrédité Cofrac N°1-1488
 Combustion sèche - NF ISO 10694

mg/kg MS	013	014	015	016	017	018					
*	10900 ±10% (B)	*	11000 ±10% (B)	*	9010 ±10% (B)	*	7630 ±10% (B)	*	7400 ±10% (B)	*	14600 ±10% (B)

RAPPORT D'ANALYSE

N° de rapport d'analyse : AR-12-LK-007622-01

Version du : 18/01/2012

Page 6/9

Dossier N° : 12E000663

Date de réception : 09/01/2012

Référence Dossier : Demande d'analyse

N° Echantillon	019	020	021	022	023	024
Date de prélèvement :	09/01/2012	09/01/2012	09/01/2012	09/01/2012	09/01/2012	09/01/2012
Début d'analyse :	09/01/2012	09/01/2012	09/01/2012	09/01/2012	09/01/2012	09/01/2012

Préparation Physico-Chimique

XXS06 : Séchage à 40°C

 Analyse réalisée sur le site de Saverne
 Accrédité Cofrac N°1-1488
 NF ISO 11464

*	-	*	-	*	-	*	-
---	---	---	---	---	---	---	---

XXS07 : Refus Pondéral à 2 mm

 Analyse réalisée sur le site de Saverne
 Accrédité Cofrac N°1-1488
 NF ISO 11464

% P.B.	019	020	021	022	023	024
*	<1.00	* <1.00	* <1.00	* <1.00	* <1.00	* <1.00

Indices de pollution

LS08X : Carbone organique total (COT) par combustion sèche

 Analyse réalisée sur le site de Saverne
 Accrédité Cofrac N°1-1488
 Combustion sèche - NF ISO 10694

mg/kg MS	019	020	021	022	023	024
*	2910 ±10% (B)	* 10500 ±10% (B)	* 24400 ±10% (B)	* 15000 ±10% (B)	* 12900 ±10% (B)	* 7420 ±10% (B)

RAPPORT D'ANALYSE

N° de rapport d'analyse : AR-12-LK-007622-01 Version du : 18/01/2012

Page 7/9

Dossier N° : 12E000663

Date de réception : 09/01/2012

Référence Dossier : Demande d'analyse

N° Echantillon	025	026	027	028	029	030
Date de prélèvement :						
Début d'analyse :	09/01/2012	09/01/2012	09/01/2012	09/01/2012	09/01/2012	09/01/2012

Préparation Physico-Chimique

XXS06 : Séchage à 40°C

 Analyse réalisée sur le site de Saverne
 Accrédité Cofrac N°1-1488
 NF ISO 11464

*	-	*	-	*	-	*	-
---	---	---	---	---	---	---	---

XXS07 : Refus Pondéral à 2 mm

 Analyse réalisée sur le site de Saverne
 Accrédité Cofrac N°1-1488
 NF ISO 11464

% P.B.	025	026	027	028	029	030
*	<1.00	* <1.00	* <1.00	* <1.00	* <1.00	* <1.00

Indices de pollution

LS08X : Carbone organique total (COT) par combustion sèche

 Analyse réalisée sur le site de Saverne
 Accrédité Cofrac N°1-1488
 Combustion sèche - NF ISO 10694

mg/kg MS	025	026	027	028	029	030
*	9030 ±10% (B)	* 9630 ±10% (B)	* 14700 ±10% (B)	* 16900 ±10% (B)	* 20500 ±10% (B)	* 17500 ±10% (B)

RAPPORT D'ANALYSE

N° de rapport d'analyse : AR-12-LK-007622-01

Version du : 18/01/2012

Page 8/9

Dossier N° : 12E000663

Date de réception : 09/01/2012

Référence Dossier : Demande d'analyse

N° Echantillon	031	032	033	034	035	036
Date de prélèvement :	09/01/2012	09/01/2012	09/01/2012	09/01/2012	09/01/2012	09/01/2012
Début d'analyse :	09/01/2012	09/01/2012	09/01/2012	09/01/2012	09/01/2012	09/01/2012

Préparation Physico-Chimique

XXS06 : Séchage à 40°C

 Analyse réalisée sur le site de Saverne
 Accrédité Cofrac N°1-1488
 NF ISO 11464

*	-	*	-	*	-	*	-
---	---	---	---	---	---	---	---

XXS07 : Refus Pondéral à 2 mm

 Analyse réalisée sur le site de Saverne
 Accrédité Cofrac N°1-1488
 NF ISO 11464

% P.B.	031	032	033	034	035	036	
*	<1.00	*	<1.00	*	<1.00	*	<1.00

Indices de pollution

LS08X : Carbone organique total (COT) par combustion sèche

 Analyse réalisée sur le site de Saverne
 Accrédité Cofrac N°1-1488
 Combustion sèche - NF ISO 10694

mg/kg MS	031	032	033	034	035	036					
*	11100 ±10% (B)	*	12200 ±10% (B)	*	2870 ±10% (B)	*	12600 ±10% (B)	*	36900 ±10% (B)	*	15600 ±10% (B)

RAPPORT D'ANALYSE

N° de rapport d'analyse : AR-12-LK-007622-01

Version du : 18/01/2012

Page 9/9

Dossier N° : 12E000663

Date de réception : 09/01/2012

Référence Dossier : Demande d'analyse

N° Echantillon	037	038	039	040
Date de prélèvement :				
Début d'analyse :	09/01/2012	09/01/2012	09/01/2012	09/01/2012

Préparation Physico-Chimique

XXS06 : Séchage à 40°C

 Analyse réalisée sur le site de Saverne
 Accrédité Cofrac N°1-1488
 NF ISO 11464

*	-	*	-	*	-	*	-
---	---	---	---	---	---	---	---

XXS07 : Refus Ponderal à 2 mm

 Analyse réalisée sur le site de Saverne
 Accrédité Cofrac N°1-1488
 NF ISO 11464

% P.B.	037	038	039	040
*	<1.00	<1.00	<1.00	<1.00

Indices de pollution

LS08X : Carbone organique total (COT) par combustion sèche

 Analyse réalisée sur le site de Saverne
 Accrédité Cofrac N°1-1488
 Combustion sèche - NF ISO 10694

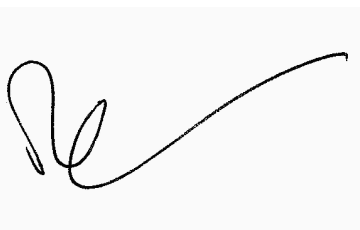
mg/kg MS	037	038	039	040
*	89000 ±10% (B)	24900 ±10% (B)	64300 ±10% (B)	32000 ±10% (B)

La reproduction de ce document n'est autorisée que sous sa forme intégrale. Il comporte 9 page(s). Le présent rapport ne concerne que les objets soumis à l'essai. L'accréditation du COFRAC atteste de la compétence du laboratoire pour les seuls essais couverts par l'accréditation qui sont identifiés par *.

Laboratoire agréé par le ministère chargé de l'environnement : portée disponible sur <http://www.labeau.ecologie.gouv.fr>

Laboratoire agréé pour la réalisation des prélèvements et des analyses terrains et/ou des analyses des paramètres du contrôle sanitaire des eaux – portée détaillée de l'agrément disponible sur demande.

Laboratoire agréé par le ministre chargé des installations classées par arrêté du JO du 07/01/2011. Mention des types d'analyses pour lesquels l'agrément a été délivré sur www.eurofins.fr ou disponible sur demande.



Rui Ventura
 Responsable Département
 Environnement

Référence Dossier EUROFINS: 12E000666

Devis de référence :
FLD&2011052201
Demande d'analyse

Référence Dossier Client :

Matrice : Sols

					Référence EUROFINS: 12E000666-001	12E000666-002	12E000666-003	
					Référence Client : 1 - Girardon - 29/1 ; 0-01 2 - Girardon - 29/1 ; 06-07 3 - Girardon - 29/1 ; 12-13			
Méthodes	Paramètres	Unités	N° CAS	Incertitude				
Analyses ss-traitées: PCB ~ dioxin-like / 12 WHO	PCB 105	ng/kg dw	32598-14-4		1080	452	355	
	PCB 114	ng/kg dw	74472-37-0		42,1	15,9	17,3	
	PCB 118	ng/kg dw	31508-00-6		2160	1040	805	
	PCB 123	ng/kg dw	65510-44-3		17,9	13,6	11,6	
	PCB 126	ng/kg dw	57465-28-8		12,8	9	9,07	
	PCB 156	ng/kg dw	38380-08-4		904	305	263	
	PCB 157	ng/kg dw	69782-90-7		170	48,6	42,9	
	PCB 167	ng/kg dw	52663-72-6		335	139	127	
	PCB 169	ng/kg dw	32774-16-6		<3.59	<2.22	<3.11	
	PCB 189	ng/kg dw	39635-31-9		124	61,9	54,4	
	PCB 77	ng/kg dw	32598-13-3		125	73,8	68,5	
	PCB 81	ng/kg dw	70362-50-4		1,87	1,18	1,36	
		WHO(1998)-PCB TEQ excl. LOQ	ng/kg dw			2,19	1,25	1,2
		WHO(1998)-PCB TEQ incl. LOQ	ng/kg dw			2,23	1,27	1,23
Analyses sous-traitées: PCB ~ 7 Indicator (HR)	PCB 101	ng/kg dw	37680-73-2		1850	1160	891	
	PCB 118	ng/kg dw	31508-00-6		2160	1040	805	
	PCB 138	ng/kg dw	35065-28-2		6080	3620	3580	
	PCB 153	ng/kg dw	35065-27-1		6720	4440	4190	
	PCB 180	ng/kg dw	35065-29-3		6350	3700	3470	
	PCB 28	ng/kg dw	7012-37-5		263	241	233	
	PCB 52	ng/kg dw	35693-99-3		535	333	228	
		Total 7 Indicator PCB excl. LOQ	ng/kg dw			24000	14500	13400
	Total 7 Indicator PCB incl. LOQ	ng/kg dw			24000	14500	13400	
Analyse sous-traitée: Matière sèche 105°C	Analyse sous-traitée: Matière sèche à 105°C	%			70,9	69,8	80,4	
Analyse sous-traitée : dioxines et furannes PCDD/F	2,3,7,8-TCDD	ng/kg dw	1746-01-6		<0.27	<0.17	<0.23	
	1,2,3,7,8-PeCDD	ng/kg dw	40321-76-4		<0.36	0,32	<0.31	
	1,2,3,4,7,8-HxCDD	ng/kg dw	39227-28-6		<0.72	<0.44	<0.62	
	1,2,3,6,7,8-HxCDD	ng/kg dw	57653-85-7		0,95	0,99	0,82	
	1,2,3,7,8,9-HxCDD	ng/kg dw	19408-74-3		0,79	0,62	<0.62	
	1,2,3,4,6,7,8-HpCDD	ng/kg dw	35822-46-9		20,9	19,3	15,7	
	OCDD	ng/kg dw			155	157	124	
	2,3,7,8-TCDF	ng/kg dw	51207-31-9		1,56	1,7	1,32	
	1,2,3,7,8-PeCDF	ng/kg dw	57117-41-6		0,74	1,05	0,73	
	2,3,4,7,8-PeCDF	ng/kg dw	57117-31-4		1,67	1,97	1,36	
	1,2,3,4,7,8-HxCDF	ng/kg dw	70648-26-9		2,57	4,61	2,99	
	1,2,3,6,7,8-HxCDF	ng/kg dw	57117-44-9		2,59	3,48	2,62	
	1,2,3,7,8,9-HxCDF	ng/kg dw	72918-21-9		0,93	1,74	<1.08	
	2,3,4,6,7,8-HxCDF	ng/kg dw	60851-34-5		1,07	1,21	0,95	
	1,2,3,4,6,7,8-HpCDF	ng/kg dw	67562-39-4		13,4	22,7	14,9	
	1,2,3,4,7,8,9-HpCDF	ng/kg dw	55673-89-7		2,33	4,52	2,75	
	OCDF	ng/kg dw			29,2	68,9	40,9	
		WHO(1998)-PCDD/F TEQ excl. LOQ	ng/kg dw			2,31	3,28	1,94
		WHO(1998)-PCDD/F TEQ incl. LOQ	ng/kg dw			3,01	3,49	2,71
		WHO(2005)-PCDD/F TEQ excl. LOQ	ng/kg dw			1,99	2,91	1,68
	WHO(2005)-PCDD/F TEQ incl. LOQ	ng/kg dw			2,69	3,12	2,46	
	I-TEQ (NATO/CCMS) excl. LOQ	ng/kg dw			2,47	3,33	2,08	
	I-TEQ (NATO/CCMS) incl. LOQ	ng/kg dw			2,99	3,54	2,71	

Référence EUOFINS:		12E000666-004	12E000666-005	12E000666-006	12E000666-007	12E000666-008	12E000666-009
Référence Client :		4 - Girardon - 29/1 ; 18-19	5 - Girardon - 29/1 ; 24-25	6 - Girardon - 29/1 ; 30-31	7 - Girardon - 29/1 ; 36-37	8 - Girardon - 29/1 ; 42-43	9 - Girardon - 29/1 ; 48-49
Paramètres	Unités						
PCB 105	ng/kg dw	438	437	246	278	678	1150
PCB 114	ng/kg dw	19,6	19,5	17,2	13	31,6	40,2
PCB 118	ng/kg dw	931	1030	597	805	1540	2390
PCB 123	ng/kg dw	17,4	20,3	14,8	18,2	36,8	42,8
PCB 126	ng/kg dw	10,2	8,46	8,2	6,3	18,6	26,9
PCB 156	ng/kg dw	348	379	249	474	490	916
PCB 157	ng/kg dw	57,3	70,9	45,6	57,2	98,7	140
PCB 167	ng/kg dw	182	209	141	250	261	444
PCB 169	ng/kg dw	<2.88	<2.30	<2.40	<2.32	2,44	3,04
PCB 189	ng/kg dw	81,5	85,6	72,7	127	129	227
PCB 77	ng/kg dw	92,7	68,4	71,3	64,6	134	257
PCB 81	ng/kg dw	1,6	1,24	1,48	1,44	2,73	5,42
WHO(1998)-PCB TEQ excl. LOQ	ng/kg dw	1,39	1,25	1,08	1,03	2,45	3,68
WHO(1998)-PCB TEQ incl. LOQ	ng/kg dw	1,42	1,27	1,1	1,06	2,45	3,68
PCB 101	ng/kg dw	1080	1200	1050	1460	2720	4460
PCB 118	ng/kg dw	931	1030	597	805	1540	2390
PCB 138	ng/kg dw	5260	5540	4290	5920	7740	11800
PCB 153	ng/kg dw	6090	6040	4610	6810	8560	15700
PCB 180	ng/kg dw	5290	5720	5060	8430	8010	13500
PCB 28	ng/kg dw	358	284	316	209	422	401
PCB 52	ng/kg dw	290	433	364	432	897	980
Total 7 Indicator PCB excl. LOQ	ng/kg dw	19300	20200	16300	24100	29900	49200
Total 7 Indicator PCB incl. LOQ	ng/kg dw	19300	20200	16300	24100	29900	49200
Analyse sous-traitée: Matière sèche à 105°C	%	76,4	80,6	77,9	85	79,7	75,4
2,3,7,8-TCDD	ng/kg dw	<0.22	<0.17	<0.18	<0.17	<0.17	<0.16
1,2,3,7,8-PeCDD	ng/kg dw	0,35	0,3	0,26	0,32	0,54	0,6
1,2,3,4,7,8-HxCDD	ng/kg dw	<0.58	<0.46	<0.48	<0.46	0,74	0,84
1,2,3,6,7,8-HxCDD	ng/kg dw	1,32	1,12	1,33	2,58	2,34	3,26
1,2,3,7,8,9-HxCDD	ng/kg dw	0,76	0,64	0,78	0,95	1,35	1,9
1,2,3,4,6,7,8-HpCDD	ng/kg dw	25,2	22,9	29,9	87	47,1	72,2
OCDD	ng/kg dw	214	201	265	730	411	654
2,3,7,8-TCDF	ng/kg dw	2,2	1,23	1,35	0,97	3,31	4,62
1,2,3,7,8-PeCDF	ng/kg dw	1,27	0,62	0,9	0,88	2,13	1,59
2,3,4,7,8-PeCDF	ng/kg dw	2,38	1,44	1,84	1,71	2,65	3,46
1,2,3,4,7,8-HxCDF	ng/kg dw	6,48	2,53	3,29	11,8	12,1	5,34
1,2,3,6,7,8-HxCDF	ng/kg dw	5,63	2,88	4,53	10,4	9,66	8,44
1,2,3,7,8,9-HxCDF	ng/kg dw	2,33	0,89	1,26	6,94	4,08	<0.35
2,3,4,6,7,8-HxCDF	ng/kg dw	1,53	0,88	1,16	2,71	3,11	2,64
1,2,3,4,6,7,8-HpCDF	ng/kg dw	28,4	12,4	18,8	164	58,6	41,3
1,2,3,4,7,8,9-HpCDF	ng/kg dw	5,21	2,48	3,3	48,4	9,73	4,58
OCDF	ng/kg dw	50,2	32,7	58,8	1230	106	114
WHO(1998)-PCDD/F TEQ excl. LOQ	ng/kg dw	4,25	2,47	3,15	8,04	6,84	6,37
WHO(1998)-PCDD/F TEQ incl. LOQ	ng/kg dw	4,52	2,69	3,38	8,26	7,01	6,56
WHO(2005)-PCDD/F TEQ excl. LOQ	ng/kg dw	3,8	2,21	2,83	8,07	6,37	5,8
WHO(2005)-PCDD/F TEQ incl. LOQ	ng/kg dw	4,07	2,43	3,06	8,29	6,54	5,99
I-TEQ (NATO/CCMS) excl. LOQ	ng/kg dw	4,31	2,53	3,31	9,64	7,04	6,76
I-TEQ (NATO/CCMS) incl. LOQ	ng/kg dw	4,58	2,75	3,54	9,86	7,21	6,95

Référence EUROFINS:		12E000666-010	12E000666-011	12E000666-012	12E000666-013	12E000666-014	12E000666-015
Référence Client :		10 - Girardon - 29/1 ; 54-55	11 - Girardon - 29/1 ; 60-61	12 - Girardon - 29/1 ; 66-67	13 - Girardon - 29/1 ; 72-73	14 - Girardon - 29/2 ; 03-04	15 - Girardon - 29/2 ; 09-10
Paramètres	Unités						
PCB 105	ng/kg dw	1020	1310	2890	3780	3510	2010
PCB 114	ng/kg dw	30,9	29,9	66,9	120	115	47,7
PCB 118	ng/kg dw	2150	2870	6300	7600	7430	4110
PCB 123	ng/kg dw	50,4	79,6	161	151	154	178
PCB 126	ng/kg dw	18,5	27,6	35,6	53,5	40,5	47,8
PCB 156	ng/kg dw	930	1390	2250	2970	2590	2110
PCB 157	ng/kg dw	139	208	322	477	429	296
PCB 167	ng/kg dw	483	714	1090	1450	1350	1120
PCB 169	ng/kg dw	2,72	2,49	3,19	3,44	5,52	7,34
PCB 189	ng/kg dw	267	334	481	669	564	625
PCB 77	ng/kg dw	249	414	658	968	822	1020
PCB 81	ng/kg dw	6,72	5,63	15,2	18,5	13,9	27,3
WHO(1998)-PCB TEQ excl. LOQ	ng/kg dw	2,8	4,11	5,97	8,5	6,94	6,88
WHO(1998)-PCB TEQ incl. LOQ	ng/kg dw	2,8	4,11	5,97	8,5	6,94	6,88
PCB 101	ng/kg dw	4520	6310	12800	15600	15900	10500
PCB 118	ng/kg dw	2150	2870	6300	7600	7430	4110
PCB 138	ng/kg dw	12800	21700	32900	36800	34200	32500
PCB 153	ng/kg dw	16800	27900	46100	46400	42000	45500
PCB 180	ng/kg dw	15800	22000	30700	40200	35700	42700
PCB 28	ng/kg dw	427	444	732	767	752	673
PCB 52	ng/kg dw	1010	1470	3040	3150	3660	2330
Total 7 Indicator PCB excl. LOQ	ng/kg dw	53400	82700	133000	151000	140000	138000
Total 7 Indicator PCB incl. LOQ	ng/kg dw	53400	82700	133000	151000	140000	138000
Analyse sous-traitée: Matière sèche à 105°C	%	76,6	76,3	82,4	76,3	68,5	76,5
2,3,7,8-TCDD	ng/kg dw	<0.17	<0.17	<0.16	0,31	<0.22	0,28
1,2,3,7,8-PeCDD	ng/kg dw	0,56	0,71	0,87	1,46	0,77	1,69
1,2,3,4,7,8-HxCDD	ng/kg dw	0,65	0,87	1,09	1,5	1,23	3,51
1,2,3,6,7,8-HxCDD	ng/kg dw	2,49	3,79	3,48	5,66	5,3	10,8
1,2,3,7,8,9-HxCDD	ng/kg dw	1,48	1,85	2,13	3,34	3	6,48
1,2,3,4,6,7,8-HpCDD	ng/kg dw	55,4	86,5	66,9	99,1	105	219
OCDD	ng/kg dw	461	807	533	755	777	1780
2,3,7,8-TCDF	ng/kg dw	3,87	5,13	4,72	6,03	3,71	10,2
1,2,3,7,8-PeCDF	ng/kg dw	1,61	2,16	2	2,34	2,37	16,4
2,3,4,7,8-PeCDF	ng/kg dw	4,04	4,93	5,41	6,28	6,07	31,5
1,2,3,4,7,8-HxCDF	ng/kg dw	7,07	6,67	6,26	6,93	11,9	227
1,2,3,6,7,8-HxCDF	ng/kg dw	8,66	4,08	3,45	3,46	6,96	153
1,2,3,7,8,9-HxCDF	ng/kg dw	2,43	<2.09	<1.38	<1.41	<4.37	<132
2,3,4,6,7,8-HxCDF	ng/kg dw	2,99	2,49	2,25	3,16	4,77	60,7
1,2,3,4,6,7,8-HpCDF	ng/kg dw	37,4	46,1	26,4	28	97,5	2580
1,2,3,4,7,8,9-HpCDF	ng/kg dw	6,49	10,3	3,91	4,44	24,8	635
OCDF	ng/kg dw	104	268	74,6	105	541	13400
WHO(1998)-PCDD/F TEQ excl. LOQ	ng/kg dw	6,67	7,31	7,04	9,43	10	101
WHO(1998)-PCDD/F TEQ incl. LOQ	ng/kg dw	6,84	7,69	7,34	9,58	10,7	115
WHO(2005)-PCDD/F TEQ excl. LOQ	ng/kg dw	5,94	6,49	6,04	8,3	9,02	97,9
WHO(2005)-PCDD/F TEQ incl. LOQ	ng/kg dw	6,12	6,88	6,34	8,45	9,67	111
I-TEQ (NATO/CCMS) excl. LOQ	ng/kg dw	6,9	7,92	7,16	9,48	10,8	114
I-TEQ (NATO/CCMS) incl. LOQ	ng/kg dw	7,07	8,3	7,45	9,62	11,5	128

Référence EUOFINS:		12E000666-016	12E000666-017	12E000666-018	12E000666-019	12E000666-020	12E000666-021
Référence Client :		16 - Girardon - 29/2 ; 15-16	17 - Girardon - 29/2 ; 21-22	18 - Girardon - 29/2 ; 27-28	19 - Girardon - 29/2 ; 33-34	20 - Girardon - 29/2 ; 39-40	21 - Girardon - 27/1 ; 0-02
Paramètres	Unités						
PCB 105	ng/kg dw	1690	1050	1120	1040	1210	793
PCB 114	ng/kg dw	53,9	32,8	49,8	48,7	46	26,1
PCB 118	ng/kg dw	2780	2630	2260	48,7	46	26,1
PCB 123	ng/kg dw	111	70,4	90,6	33,7	80	49,6
PCB 126	ng/kg dw	32,9	17,5	30,8	4,17	28,8	16
PCB 156	ng/kg dw	1240	1170	1650	618	1050	789
PCB 157	ng/kg dw	171	253	237	151	182	100
PCB 167	ng/kg dw	645	585	898	253	569	377
PCB 169	ng/kg dw	2,45	<3.92	4,27	<2.36	3,83	<2.19
PCB 189	ng/kg dw	346	223	506	29,3	296	147
PCB 77	ng/kg dw	1350	235	380	61,7	669	125
PCB 81	ng/kg dw	23,6	5,46	6,79	0,75	4,33	3,17
WHO(1998)-PCB TEQ excl. LOQ	ng/kg dw	4,68	2,91	4,54	1,21	4,05	2,39
WHO(1998)-PCB TEQ incl. LOQ	ng/kg dw	4,68	2,95	4,54	1,23	4,05	2,41
PCB 101	ng/kg dw	5700	3790	6030	2640	5160	2860
PCB 118	ng/kg dw	2780	2630	2260	2610	2600	2210
PCB 138	ng/kg dw	19700	16400	30900	5250	17100	10400
PCB 153	ng/kg dw	28800	16600	36100	4880	20300	14800
PCB 180	ng/kg dw	25300	15500	35300	1900	21600	10100
PCB 28	ng/kg dw	607	377	783	188	442	343
PCB 52	ng/kg dw	1460	1030	2110	374	1440	559
Total 7 Indicator PCB excl. LOQ	ng/kg dw	84300	56300	114000	17800	68700	41300
Total 7 Indicator PCB incl. LOQ	ng/kg dw	84300	56300	114000	17800	68700	41300
Analyse sous-traitée: Matière sèche à 105°C	%	75,5	73,8	72,3	85,6	78,6	76,7
2,3,7,8-TCDD	ng/kg dw	0,31	<0.29	0,5	<0.18	0,42	<0.16
1,2,3,7,8-PeCDD	ng/kg dw	0,86	0,64	1,96	<0.24	1,3	0,41
1,2,3,4,7,8-HxCDD	ng/kg dw	0,82	<0.78	1,76	<0.47	1,43	0,47
1,2,3,6,7,8-HxCDD	ng/kg dw	3,48	3,06	9,63	0,5	6,91	1,46
1,2,3,7,8,9-HxCDD	ng/kg dw	2,12	1,59	4,55	<0.47	3,18	0,9
1,2,3,4,6,7,8-HpCDD	ng/kg dw	80,1	80,7	234	7,95	189	30
OCDD	ng/kg dw	741	736	2010	53,2	1700	233
2,3,7,8-TCDF	ng/kg dw	4,79	3,49	6,88	0,67	3,3	2,59
1,2,3,7,8-PeCDF	ng/kg dw	1,78	1,34	2,41	<0.43	2,44	1,38
2,3,4,7,8-PeCDF	ng/kg dw	5,51	5,57	5,78	0,55	5,09	2,86
1,2,3,4,7,8-HxCDF	ng/kg dw	7,8	7,25	12,3	1,15	5,96	4,49
1,2,3,6,7,8-HxCDF	ng/kg dw	4,09	3,95	5,94	0,69	4,28	2,62
1,2,3,7,8,9-HxCDF	ng/kg dw	<2.13	<2.60	<3.28	<0.77	<1.91	<1.54
2,3,4,6,7,8-HxCDF	ng/kg dw	3,07	2,95	4,61	0,64	3,46	2,13
1,2,3,4,6,7,8-HpCDF	ng/kg dw	31,9	54,5	72,5	7,19	37,5	20,7
1,2,3,4,7,8,9-HpCDF	ng/kg dw	5,84	10,4	13,4	1,65	4,92	5,28
OCDF	ng/kg dw	96	243	321	27,7	197	78,6
WHO(1998)-PCDD/F TEQ excl. LOQ	ng/kg dw	7,9	7,28	13,5	0,82	9,75	3,96
WHO(1998)-PCDD/F TEQ incl. LOQ	ng/kg dw	8,11	7,91	13,8	1,42	9,94	4,28
WHO(2005)-PCDD/F TEQ excl. LOQ	ng/kg dw	6,93	6,33	12,7	0,72	9,06	3,43
WHO(2005)-PCDD/F TEQ incl. LOQ	ng/kg dw	7,14	6,96	13,1	1,32	9,25	3,75
I-TEQ (NATO/CCMS) excl. LOQ	ng/kg dw	8,22	7,84	14,6	0,89	10,8	4,04
I-TEQ (NATO/CCMS) incl. LOQ	ng/kg dw	8,44	8,47	14,9	1,38	11	4,36

Paramètres	Unités	Référence EUOFINS: 12E000666-022	12E000666-023	12E000666-024	12E000666-025	12E000666-026	12E000666-027
		Référence Client : 22 - Girardon - 27/1 ; 15-17	23 - Girardon - 27/1 ; 30-32	24 - Girardon - 27/1 ; 45-47	25 - Girardon - 27/1 ; 60-62	26 - Girardon - 27/2 ; 06-08	27 - Girardon - 27/2 ; 21-23
PCB 105	ng/kg dw	850	754	3610	1410	6410	12400
PCB 114	ng/kg dw	57,3	30,9	165	45,8	140	240
PCB 118	ng/kg dw	2180	1590	10000	3060	11900	24600
PCB 123	ng/kg dw	49,9	21,8	113	59,1	244	570
PCB 126	ng/kg dw	63,5	14,3	56,8	36,5	65,2	141
PCB 156	ng/kg dw	913	536	1550	1050	2600	4530
PCB 157	ng/kg dw	227	93,7	328	261	516	1080
PCB 167	ng/kg dw	358	281	698	682	1230	2360
PCB 169	ng/kg dw	145	3,13	3,91	3,58	4,34	12,9
PCB 189	ng/kg dw	549	119	182	283	457	707
PCB 77	ng/kg dw	169	230	504	398	1270	2900
PCB 81	ng/kg dw	19,5	3,18	8,46	5,96	16,9	16,6
WHO(1998)-PCB TEQ excl. LOQ	ng/kg dw	8,78	2,07	8,19	4,89	10,2	21,3
WHO(1998)-PCB TEQ incl. LOQ	ng/kg dw	8,78	2,07	8,19	4,89	10,2	21,3
PCB 101	ng/kg dw	2180	1810	13100	4840	21000	46400
PCB 118	ng/kg dw	2180	1590	10000	3060	11900	24600
PCB 138	ng/kg dw	8580	7350	18400	14500	26900	50200
PCB 153	ng/kg dw	12300	8780	17300	16600	37600	51600
PCB 180	ng/kg dw	11400	7630	10300	16400	73800	42700
PCB 28	ng/kg dw	420	341	693	445	1620	2900
PCB 52	ng/kg dw	529	486	4920	1520	12100	29300
Total 7 Indicator PCB excl. LOQ	ng/kg dw	37600	28000	74700	57400	185000	248000
Total 7 Indicator PCB incl. LOQ	ng/kg dw	37600	28000	74700	57400	185000	248000
Analyse sous-traitée: Matière sèche à 105°C	%	80,3	79,6	82	80,4	81,1	76,4
2,3,7,8-TCDD	ng/kg dw	<8.41	<0.17	0,22	0,22	1,1	0,98
1,2,3,7,8-PeCDD	ng/kg dw	<11.2	0,97	1,45	2,26	6,19	6,03
1,2,3,4,7,8-HxCDD	ng/kg dw	<22.4	1,33	1,39	<0.46	<1.48	<8.84
1,2,3,6,7,8-HxCDD	ng/kg dw	23,8	3,1	4,02	3,25	4,9	12,7
1,2,3,7,8,9-HxCDD	ng/kg dw	<22.4	1,9	2,47	2,43	5,95	6,91
1,2,3,4,6,7,8-HpCDD	ng/kg dw	699	62	86,4	127	248	464
OCDD	ng/kg dw	9330	614	737	955	2060	4050
2,3,7,8-TCDF	ng/kg dw	40,1	3,84	3,86	6,52	12,2	21,6
1,2,3,7,8-PeCDF	ng/kg dw	274	4,21	2,8	2,01	5,8	13,4
2,3,4,7,8-PeCDF	ng/kg dw	374	9,52	7,09	7,61	24,1	21,1
1,2,3,4,7,8-HxCDF	ng/kg dw	3520	42,5	17,6	7,22	17,4	36,5
1,2,3,6,7,8-HxCDF	ng/kg dw	2760	36,7	13,5	4,9	7,51	15
1,2,3,7,8,9-HxCDF	ng/kg dw	<2470	5,45	1,86	<0.38	<0.39	0,63
2,3,4,6,7,8-HxCDF	ng/kg dw	896	15,1	7,96	4,35	5,44	5,93
1,2,3,4,6,7,8-HpCDF	ng/kg dw	57700	647	219	54,5	42,3	69,2
1,2,3,4,7,8,9-HpCDF	ng/kg dw	14300	149	52,3	12,1	6,14	11,5
OCDF	ng/kg dw	244000	4520	1030	332	202	310
WHO(1998)-PCDD/F TEQ excl. LOQ	ng/kg dw	1680	26	14,4	11,3	28,2	34,1
WHO(1998)-PCDD/F TEQ incl. LOQ	ng/kg dw	1950	26,2	14,4	11,4	28,3	34,9
WHO(2005)-PCDD/F TEQ excl. LOQ	ng/kg dw	1650	25,1	13,3	10	23,7	30,4
WHO(2005)-PCDD/F TEQ incl. LOQ	ng/kg dw	1920	25,2	13,3	10,1	23,9	31,3
I-TEQ (NATO/CCMS) excl. LOQ	ng/kg dw	1910	30,2	15,2	11,3	27,1	35
I-TEQ (NATO/CCMS) incl. LOQ	ng/kg dw	2170	30,3	15,2	11,4	27,3	35,8

Paramètres	Unités	Référence EUOFINS: 12E000666-028	12E000666-029	12E000666-030	12E000666-031	12E000666-032	12E000666-033
		Référence Client : 28 - Girardon - 27/2 ; 35-37	29 - Girardon - 27/2 ; 40-42	30 - Girardon - 27/2 ; 50-52	31 - Girardon - 27/2 ; 55-57	32 - Girardon - 27/2 ; 61-63	33 - Girardon - 27/3 ; 06-08
PCB 105	ng/kg dw	23600	6420	8060	6760	11000	1180
PCB 114	ng/kg dw	475	107	172	163	319	19,3
PCB 118	ng/kg dw	475	107	18200	163	25100	19,3
PCB 123	ng/kg dw	908	280	321	249	462	69,2
PCB 126	ng/kg dw	241	93,3	156	100	161	19,5
PCB 156	ng/kg dw	9590	3530	5780	2640	4240	522
PCB 157	ng/kg dw	1940	772	1260	748	1230	206
PCB 167	ng/kg dw	5250	2090	3570	1500	2710	396
PCB 169	ng/kg dw	<81.0	6,53	11,4	5,93	9,85	<2.38
PCB 189	ng/kg dw	1540	779	1400	493	857	99,4
PCB 77	ng/kg dw	5070	1710	2890	1600	2260	336
PCB 81	ng/kg dw	39	16,4	17,6	15,2	31,9	3,45
WHO(1998)-PCB TEQ excl. LOQ	ng/kg dw	38,2	14,1	22,4	14	23,1	2,82
WHO(1998)-PCB TEQ incl. LOQ	ng/kg dw	39	14,1	22,4	14	23,1	2,85
PCB 101	ng/kg dw	88300	33500	51800	29500	52200	9470
PCB 118	ng/kg dw	49900	15200	18200	12300	25100	3250
PCB 138	ng/kg dw	120000	43200	75800	34300	64800	8690
PCB 153	ng/kg dw	141000	47100	74000	37200	66600	9440
PCB 180	ng/kg dw	101000	43400	76900	33500	56400	6520
PCB 28	ng/kg dw	16300	2820	2590	2950	5640	677
PCB 52	ng/kg dw	63300	19600	27000	18300	26100	5630
Total 7 Indicator PCB excl. LOQ	ng/kg dw	579000	205000	326000	168000	297000	43700
Total 7 Indicator PCB incl. LOQ	ng/kg dw	579000	205000	326000	168000	297000	43700
Analyse sous-traitée: Matière sèche à 105°C	%	74,1	84,5	78,8	74,3	68,4	84,9
2,3,7,8-TCDD	ng/kg dw	1,12	0,33	1,03	0,57	0,81	0,48
1,2,3,7,8-PeCDD	ng/kg dw	5,87	2,15	5,46	5,08	1,61	0,31
1,2,3,4,7,8-HxCDD	ng/kg dw	<6.55	<4.45	4	2,14	2,27	<0.48
1,2,3,6,7,8-HxCDD	ng/kg dw	9,44	4,4	19,9	8,8	10,4	1,45
1,2,3,7,8,9-HxCDD	ng/kg dw	11,4	2,23	9,76	5,08	5,55	0,68
1,2,3,4,6,7,8-HpCDD	ng/kg dw	656	155	671	290	373	54,2
OCDD	ng/kg dw	6800	1660	6720	2780	3680	460
2,3,7,8-TCDF	ng/kg dw	27	10,5	21,3	11,7	15,9	3,75
1,2,3,7,8-PeCDF	ng/kg dw	9,09	4,85	12,4	5,59	5	1,71
2,3,4,7,8-PeCDF	ng/kg dw	23,5	7,88	12,1	6	6,8	1,55
1,2,3,4,7,8-HxCDF	ng/kg dw	17	15,9	24,6	10,4	28,9	5,8
1,2,3,6,7,8-HxCDF	ng/kg dw	10,1	4,63	8,38	3,24	3,06	0,81
1,2,3,7,8,9-HxCDF	ng/kg dw	<0.37	<0.73	<2.46	<2.59	<1.35	<0.59
2,3,4,6,7,8-HxCDF	ng/kg dw	7,64	3,22	4,83	2,08	1,74	<0.40
1,2,3,4,6,7,8-HpCDF	ng/kg dw	67,9	46	77,3	31,2	33,9	6,64
1,2,3,4,7,8,9-HpCDF	ng/kg dw	9,94	9,91	11,5	3,9	4,67	1,12
OCDF	ng/kg dw	518	597	692	192	149	24,2
WHO(1998)-PCDD/F TEQ excl. LOQ	ng/kg dw	35,5	13,1	30,8	16,8	17,4	3,58
WHO(1998)-PCDD/F TEQ incl. LOQ	ng/kg dw	36,2	13,6	31	17,1	17,5	3,72
WHO(2005)-PCDD/F TEQ excl. LOQ	ng/kg dw	32,1	11,9	29,6	16,1	16,7	3,33
WHO(2005)-PCDD/F TEQ incl. LOQ	ng/kg dw	32,8	12,4	29,8	16,4	16,8	3,47
I-TEQ (NATO/CCMS) excl. LOQ	ng/kg dw	39,2	14	34,7	17	20	3,86
I-TEQ (NATO/CCMS) incl. LOQ	ng/kg dw	39,9	14,6	34,9	17,2	20,1	4

Référence EUROFINS:		12E000666-034	12E000666-035	12E000666-036	12E000666-037	12E000666-038	12E000666-039
Référence Client :		34 - Girardon - 27/3 ; 21-23	35 - Girardon - 27/3 ; 36-38	36 - Girardon - 27/3 ; 45-47	37 - Girardon - 27/3 ; 51-53	38 - Girardon - 27/3 ; 66-68	39 - Girardon - 27/4 ; 06-08
Paramètres	Unités						
PCB 105	ng/kg dw	14800	30800	25900	29200	2900	9620
PCB 114	ng/kg dw	547	610	714	1060	106	348
PCB 118	ng/kg dw	35300	610	714	1060	106	25400
PCB 123	ng/kg dw	670	1240	850	1020	116	355
PCB 126	ng/kg dw	259	172	188	214	49,2	143
PCB 156	ng/kg dw	11600	10100	8770	9900	1110	4700
PCB 157	ng/kg dw	3370	2870	2280	2610	329	1200
PCB 167	ng/kg dw	5490	4620	4660	5330	825	2700
PCB 169	ng/kg dw	47,5	9,38	14,7	17,4	3,06	45,7
PCB 189	ng/kg dw	1550	956	1190	1300	211	747
PCB 77	ng/kg dw	7310	1940	1300	1620	325	915
PCB 81	ng/kg dw	10,7	27,7	15,1	26,4	5,79	14,2
WHO(1998)-PCB TEQ excl. LOQ	ng/kg dw	40,1	33,8	34,1	38	6,84	21,6
WHO(1998)-PCB TEQ incl. LOQ	ng/kg dw	40,1	33,8	34,1	38	6,84	21,6
PCB 101	ng/kg dw	68100	83800	101000	98700	15600	46600
PCB 118	ng/kg dw	35300	62000	62900	62400	7570	25400
PCB 138	ng/kg dw	87900	86600	94500	91300	16200	52000
PCB 153	ng/kg dw	77500	71500	87900	80800	19900	56700
PCB 180	ng/kg dw	72300	54600	65200	67300	15700	48000
PCB 28	ng/kg dw	2200	2760	1200	1370	624	1310
PCB 52	ng/kg dw	24600	67200	60100	67300	7500	19400
Total 7 Indicator PCB excl. LOQ	ng/kg dw	368000	428000	472000	469000	83100	249000
Total 7 Indicator PCB incl. LOQ	ng/kg dw	368000	428000	472000	469000	83100	249000
Analyse sous-traitée: Matière sèche à 105°C	%	79,1	71,3	69,6	66,6	82	70,1
2,3,7,8-TCDD	ng/kg dw	1,3	2,12	2,84	13,4	5,28	13,7
1,2,3,7,8-PeCDD	ng/kg dw	1,97	3,57	4,32	6,23	5,58	24
1,2,3,4,7,8-HxCDD	ng/kg dw	4,98	2,36	1,66	2,21	0,67	4,93
1,2,3,6,7,8-HxCDD	ng/kg dw	19,6	19,3	12,4	16,9	5,23	18,4
1,2,3,7,8,9-HxCDD	ng/kg dw	12	9,98	6,17	7,47	4,31	22,7
1,2,3,4,6,7,8-HpCDD	ng/kg dw	626	318	272	379	94,5	173
OCDD	ng/kg dw	3590	1530	2490	3390	855	1170
2,3,7,8-TCDF	ng/kg dw	19,4	27,5	24,8	25,8	11,4	45,2
1,2,3,7,8-PeCDF	ng/kg dw	12,2	8,7	21,9	9,45	7,39	27,5
2,3,4,7,8-PeCDF	ng/kg dw	13,2	11,6	16,4	13,1	5,96	17,8
1,2,3,4,7,8-HxCDF	ng/kg dw	48,7	53,1	109	156	22,7	52
1,2,3,6,7,8-HxCDF	ng/kg dw	7,96	7,24	23,4	14,7	3,75	10,2
1,2,3,7,8,9-HxCDF	ng/kg dw	<3.98	<4.25	<15.7	<7.76	<2.07	<6.43
2,3,4,6,7,8-HxCDF	ng/kg dw	4,56	2,77	7,13	4,71	1,55	3,12
1,2,3,4,6,7,8-HpCDF	ng/kg dw	63,1	112	341	202	31,1	70,1
1,2,3,4,7,8,9-HpCDF	ng/kg dw	10,2	49	135	125	7,26	16,5
OCDF	ng/kg dw	179	343	2540	746	106	405
WHO(1998)-PCDD/F TEQ excl. LOQ	ng/kg dw	29,6	29,1	42,9	56,9	20,6	66,4
WHO(1998)-PCDD/F TEQ incl. LOQ	ng/kg dw	30	29,5	44,5	57,6	20,8	67
WHO(2005)-PCDD/F TEQ excl. LOQ	ng/kg dw	27,4	27	40,2	54,9	19,4	62,6
WHO(2005)-PCDD/F TEQ incl. LOQ	ng/kg dw	27,8	27,4	41,8	55,6	19,7	63,2
I-TEQ (NATO/CCMS) excl. LOQ	ng/kg dw	32	29	45,3	57,5	18,7	55,8
I-TEQ (NATO/CCMS) incl. LOQ	ng/kg dw	32,4	29,4	46,9	58,2	18,9	56,5

Référence EUROFINS: 12E000666-040

Référence Client : 40 - Girardon - 27/4 ; 21-23

Paramètres	Unités	
PCB 105	ng/kg dw	3140
PCB 114	ng/kg dw	106
PCB 118	ng/kg dw	11400
PCB 123	ng/kg dw	101
PCB 126	ng/kg dw	33,6
PCB 156	ng/kg dw	1590
PCB 157	ng/kg dw	414
PCB 167	ng/kg dw	765
PCB 169	ng/kg dw	2,82
PCB 189	ng/kg dw	200
PCB 77	ng/kg dw	473
PCB 81	ng/kg dw	2,17
WHO(1998)-PCB TEQ excl. LOQ	ng/kg dw	5,99
WHO(1998)-PCB TEQ incl. LOQ	ng/kg dw	5,99
PCB 101	ng/kg dw	18600
PCB 118	ng/kg dw	11400
PCB 138	ng/kg dw	15100
PCB 153	ng/kg dw	19300
PCB 180	ng/kg dw	13100
PCB 28	ng/kg dw	576
PCB 52	ng/kg dw	7740
Total 7 Indicator PCB excl. LOQ	ng/kg dw	85800
Total 7 Indicator PCB incl. LOQ	ng/kg dw	85800
Analyse sous-traitée: Matière sèche à 105°C	%	72,6
2,3,7,8-TCDD	ng/kg dw	4,28
1,2,3,7,8-PeCDD	ng/kg dw	5,45
1,2,3,4,7,8-HxCDD	ng/kg dw	0,93
1,2,3,6,7,8-HxCDD	ng/kg dw	4,69
1,2,3,7,8,9-HxCDD	ng/kg dw	6,31
1,2,3,4,6,7,8-HpCDD	ng/kg dw	43,2
OCDD	ng/kg dw	344
2,3,7,8-TCDF	ng/kg dw	20,2
1,2,3,7,8-PeCDF	ng/kg dw	10,8
2,3,4,7,8-PeCDF	ng/kg dw	7,37
1,2,3,4,7,8-HxCDF	ng/kg dw	15
1,2,3,6,7,8-HxCDF	ng/kg dw	3,21
1,2,3,7,8,9-HxCDF	ng/kg dw	<2.55
2,3,4,6,7,8-HxCDF	ng/kg dw	1,19
1,2,3,4,6,7,8-HpCDF	ng/kg dw	32,4
1,2,3,4,7,8,9-HpCDF	ng/kg dw	5,6
OCDF	ng/kg dw	200
WHO(1998)-PCDD/F TEQ excl. LOQ	ng/kg dw	20
WHO(1998)-PCDD/F TEQ incl. LOQ	ng/kg dw	20,2
WHO(2005)-PCDD/F TEQ excl. LOQ	ng/kg dw	18,4
WHO(2005)-PCDD/F TEQ incl. LOQ	ng/kg dw	18,6
I-TEQ (NATO/CCMS) excl. LOQ	ng/kg dw	17,7
I-TEQ (NATO/CCMS) incl. LOQ	ng/kg dw	18

Annexe 19 :

Résultats des 20 mesures de radionucléides sur carotte C29

Cette annexe présente les résultats des **20 mesures de radionucléides** réalisées par le laboratoire **LSCE** (Laboratoire des Sciences du Climat et de l'Environnement) sur les échantillons de **la carotte de référence C29** (remplissage récent du casier).

Les 20 échantillons de la carotte de référence C27 ont été analysés de façon sommaire, et aucun signal n'a été détecté. Les analyses n'ont donc pas été retenues. Cette absence de signal est compatible avec les dates de remplissage supposées sur cette partie du casier (postérieures aux Essais Nucléaires Aériens de 1964 et antérieures à l'accident de Tchernobyl en 1986).

label	top	bas	delta T	analysed weight (g)	spectrum	detector	géométrie	counting time (s)	Pb210xs < 2,0 s	Pb-210	####	Th-234	#####
Girardon											pente	#####	
Girardon A2 0-1cm 04/04/12 mip	0	1	218	18,01	A2 gir00a2m	mip11	mip10	91741	11 +- 3,9	52 +- 4	4	42 +- 4	4
Girardon A1 3-4cm 11/04/12 mip	3	4	225	14,74	A1 gir03a1m	mip11	mip10	93368	28 +- 4,7	70 +- 4	4	41 +- 4	4
Girardon A2 6-7cm 04/05/12 mip	6	7	248	14,1	a2 gir06a2m	mip11	mip10	230596	29 +- 3,2	75 +- 3	3	57 +- 3	3
Girardon A-1 9-10cm 16/04/12mip	9	10	230	17,24	A1 gir09a1m	mip11	mip10	99862	23 +- 4,2	65 +- 4	4	42 +- 4	4
Girardon A2 12-13cm 03/04/12 mip	12	13	217	16,34	A2 gir12a2m	mip11	mip10	96234	16 +- 4,1	59 +- 4	4	63 +- 4	4
Girardon A-1 15-16 19/04/12 mip	15	16	233	18,34	A1 gir15a1m	mip11	mip10	96132	11 +- 3,8	55 +- 4	4	35 +- 3	3
Girardon A2 18-19cm 03/05/12 mip	18	19	247	19,6	a2 gir18a2m	mip11	mip10	94192	19 +- 3,5	51 +- 3	3	43 +- 3	3
Girardon A-1 21-22 17/04/12 mip	21	22	231	16,24	A1 gir21a1m	mip11	mip10	84922	14 +- 4,2	53 +- 4	4	35 +- 3	3
Girardon A2 24-25cm 10/04/12 mip	24	25	224	17,17	A2 gir24a2m	mip11	mip10	89469	14 +- 4,3	57 +- 4	4	64 +- 4	4
Girardon A1 27-28cm 04/05/12 ggp	27	28	248	15,6	a1 gir27a1g	ggp10	ggp10	231962	< 4,5	37 +- 2	2	36 +- 2	2
Girardon A2 30-31cm 05/04/12 mip	30	31	219	16,55	A2 gir30a2m	mip11	mip10	91616	14 +- 4,2	62 +- 4	4	88 +- 4	4
Girardon A1 33-34cm 12/04/12mip	33	34	226	17,74	A1 gir33a1m	mip11	mip10	99443	< 7,6	41 +- 4	4	47 +- 3	3
Girardon A2 36-.37cm 11/05/12 ggp	35	36	sableux 255	17,6	a2 gir35a2g	ggp10	ggp10	230172	11 +- 2,2	45 +- 2	2	77 +- 2	2
Girardon A1 39-40cm 07/05/12mip	39	40	251	14,0	a1 gir39a1m	mip11	mip10	174384	14 +- 3,4	55 +- 3	3	53 +- 3	3
Girardon A-2 42-43 18/04/12 mip	42	43	232	15,4	a2 gir42a2m	mip11	mip10	86300	22 +- 4,8	66 +- 5	5	47 +- 4	4
Girardon A1 45-46cm 11/05/12 mip	45	46	254	13,4	a1 gir45a1m	mip11	mip10	230475	27 +- 3,3	69 +- 3	3	49 +- 3	3
Girardon a1 51-52cm 23/04/12 mip	51	52	237	18,4	a1 gir51a1m	mip11	mip10	91400	14 +- 4,2	61 +- 4	4	59 +- 4	4
Girardon A1 57-58cm 07/05/12 ggp	57	58	251	13,6	a1 gir57a1g	ggp10	ggp10	171980	20 +- 3,3	74 +- 3	3	73 +- 3	3
Girardon a1 63-64cm 24/04/12 mip	63	64	238	15,1	a1 gir63a1m	mip11	mip10	94054	18 +- 4,7	61 +- 5	5	50 +- 4	4
Girardon A1 69-70cm 25/04/12 mip	69	70	239	14,6	a1 gir69a1m	mip11	mip10	96333	25 +- 4,7	66 +- 4	4	49 +- 4	4

label	Ra-226 < 2,0 σ	Ra-228 < 2,0 σ	Th-228 #####	Kbq	K (%) < 2,0 σ	Cs-137 < 2,0 σ	Be7 #####	Cs134 < 2,0 σ	Am241 (432.2 ans 14.4 ans Pu) #####
Girardon	#####								
Girardon A2 0-1cm 04/04/12 mip	41 +- 0,8	33 +- 1	33 +- 0,6	416 +- 1,24 +- 10	56 +- 1,0	< 69	< 0,8	< 0,7	
Girardon A1 3-4cm 11/04/12 mip	43 +- 0,9	39 +- 1	39 +- 0,8	442 +- 1,32 +- 11	6 +- 0,5	< 74	< 0,9	< 0,7	
Girardon A2 6-7cm 04/05/12 mip	47 +- 0,6	38 +- 1	36 +- 0,5	408 +- 1,22 +- 7	12 +- 0,4	< 72	< 0,6	< 0,5	
Girardon A-1 9-10cm 16/04/12mip	42 +- 0,8	40 +- 1	38 +- 0,7	435 +- 1,30 +- 10	6 +- 0,4	< 74	< 0,8	< 0,7	
Girardon A2 12-13cm 03/04/12 mip	43 +- 0,8	32 +- 1	33 +- 0,7	407 +- 1,22 +- 10	4 +- 0,4	< 66	< 0,9	< 0,7	
Girardon A-1 15-16 19/04/12 mip	44 +- 0,8	42 +- 1	41 +- 0,7	396 +- 1,18 +- 9	4 +- 0,4	< 72	< 0,8	< 0,6	
Girardon A2 18-19cm 03/05/12 mip	32 +- 0,7	26 +- 1	25 +- 0,5	384 +- 1,15 +- 9	2 +- 0,3	< 82	< 0,7	< 0,6	
Girardon A-1 21-22 17/04/12 mip	39 +- 0,8	33 +- 1	34 +- 0,7	419 +- 1,25 +- 11	7 +- 0,5	< 82	< 0,9	< 0,7	
Girardon A2 24-25cm 10/04/12 mip	43 +- 0,8	34 +- 1	32 +- 0,7	438 +- 1,31 +- 11	2 +- 0,3	< 71	< 0,9	< 0,7	
Girardon A1 27-28cm 04/05/12 ggp	34 +- 0,4	37 +- 1	37 +- 0,5	425 +- 1,27 +- 7	5 +- 0,3	< 80	< 0,5	< 0,6	
Girardon A2 30-31cm 05/04/12 mip	48 +- 0,8	28 +- 1	29 +- 0,6	414 +- 1,24 +- 10	3 +- 0,4	< 68	< 0,8	< 0,7	
Girardon A1 33-34cm 12/04/12mip	42 +- 0,7	33 +- 1	32 +- 0,6	406 +- 1,21 +- 10	5 +- 0,4	< 69	< 0,7	< 0,6	
Girardon A2 36-.37cm 11/05/12 ggp	34 +- 0,4	31 +- 1	31 +- 0,4	452 +- 1,35 +- 6	3 +- 0,2	< 75	< 0,5	< 0,5	
Girardon A1 39-40cm 07/05/12mip	42 +- 0,6	33 +- 1	31 +- 0,5	408 +- 1,22 +- 8	9 +- 0,4	< 85	< 0,7	< 0,5	
Girardon A-2 42-43 18/04/12 mip	44 +- 0,9	33 +- 1	32 +- 0,7	397 +- 1,19 +- 11	5 +- 0,4	< 84	< 1,0	< 0,7	
Girardon A1 45-46cm 11/05/12 mip	43 +- 0,6	38 +- 1	36 +- 0,5	420 +- 1,25 +- 7	15 +- 0,4	< 79	< 0,6	< 0,5	
Girardon a1 51-52cm 23/04/12 mip	47 +- 0,8	33 +- 1	32 +- 0,6	397 +- 1,19 +- 10	17 +- 0,6	< 80	< 0,9	< 0,6	
Girardon A1 57-58cm 07/05/12 ggp	54 +- 0,7	41 +- 1	40 +- 0,6	429 +- 1,28 +- 8	24 +- 0,5	< 118	< 0,7	< 0,8	
Girardon a1 63-64cm 24/04/12 mip	44 +- 0,9	34 +- 1	33 +- 0,7	401 +- 1,20 +- 11	35 +- 0,8	< 99	< 1,0	< 0,7	
Girardon A1 69-70cm 25/04/12 mip	42 +- 0,9	32 +- 1	32 +- 0,7	390 +- 1,17 +- 11	52 +- 1,0	< 101	< 1,0	< 1,9	

Annexe 20 :

Résultats d'analyses en métaux des carottes de référence

Sont présentés dans cette annexe les résultats des analyses en métaux des carottes de référence C27 (20 échantillons) et C29 (20 échantillons), soit un total de 40 analyses.

Elles ont été réalisées par le laboratoire SADEF.



SADEF

**RAPPORT D'ANALYSE
DE TERRE**

INSAVALOR S.A.

BP 2132

69603 VILLEURBANNE CEDEX

PARCELLE

29-A1/01/00-01

Coord. :
Culture : Non précisé
Type sol : Non précisé

EXPLOITATION

INSAVALOR S.A.

BP 2132

69603 VILLEURBANNE CEDEX

ECHANTILLON TERRE

Dossier : LAB12-5116

Numéro Labo. : T-03439-12

Date prélèvement : 02/04/2012
Date réception : 03/05/2012
Date début analyses : 03/05/2012
Date fin analyses : 25/06/2012
Date édition : 25/06/2012

Ce rapport annule et remplace le rapport partiel édité le 15/06/12

CARACTERISATION
PHYSIQUE /

	Résultats	Unités	Méthodes
* Refus à 2 mm	0.0	%	NF ISO 11464

ELEMENTS
TOTAUX

	Résultats	Unités	Méthodes
* Aluminium Total	43.6	o/o	NFX 31-147 & Dosage ICP-AES

ELEMENTS
TRACES

	Résultats	Unités	Méthodes
* Fer Total	21.3 +/- 1.6	o/o	NFX 31-147 & Dosage ICP-AES
[8] Etain (Sn)	<10	mg/Kg	Attaque HClO4 + HF + dosage ICP AES
* Cuivre Total NFX 31-147 & Dosage ICP-AES	C 30.7 +/- 4.5	mg/Kg	Val limite : 100
* Mercure Total Méthode interne MA7-82 rev 5	C 0.15 +/- 0.03	mg/Kg	Val limite : 1
* Zinc Total NFX 31-147 & Dosage ICP-AES	C 116 +/- 11	mg/Kg	Val limite : 300
* Nickel Total NFX 31-147 & Dosage ICP-AES	C 28.5 +/- 4.5	mg/Kg	Val limite : 50
* Chrome Total NFX 31-147 & Dosage ICP-AES	C 52.6 +/- 10.9	mg/Kg	Val limite : 150
* Plomb Total NFX 31-147 & Dosage ICP-AES	C 32.7 +/- 7.6	mg/Kg	Val limite : 100

ACCREDITATION
COFRAC N°1-0751
Portée disponible sur
www.cofrac.fr

SADEF

Rue de la Station - F 68700 Aspach le Bas - www.sadef.fr
Tel : +33 (0)3 89 62 72 30 - Fax : +33 (0)3 89 62 72 39 - Email : pole@sadef.fr

L'accréditation de la section Laboratoire du COFRAC atteste de la compétence technique des laboratoires pour les seuls essais couverts par l'accréditation, essais identifiés par une étoile (*). Ce rapport d'analyse concerne seulement l'échantillon soumis aux analyses. Ce rapport ne doit pas être reproduit sans l'approbation du laboratoire d'essai. La reproduction de ce rapport d'essai n'est autorisée que sous sa forme intégrale.

Ce rapport comporte : 2 page(s)
Rapport d'analyses n° : T-03439-12Version n°1
Page 1/2

PARCELLE	
29-A1/01/00-01	
Coord. :	
Culture :	Non précisé
Type sol :	Non précisé

EXPLOITATION	
INSAVALOR S.A.	
BP 2132	
69603	VILLEURBANNE CEDEX

ECHANTILLON TERRE	
Dossier : LAB12-5116	
Numéro Labo. : T-03439-12	
Date prélèvement :	02/04/2012
Date réception :	03/05/2012
Date début analyses :	03/05/2012
Date fin analyses :	25/06/2012
Date édition :	25/06/2012

Ce rapport annule et remplace le rapport partiel édité le 15/06/12

* Cadmium Total NFX 31-147 & Dosage AAS	C	0.43	+/- 0.12	mg/Kg		Val limite : 2
* Arsenic		142		mg/Kg	NF ISO 11466 & Dosage AAS - Four	
Fer Mehra Jackson		7598		mg/kg	Merha Jackson	

* : Analyses SADEF réalisées sous accréditation.

[1,2,3...] : Analyses sous-traitées. Les bulletins d'analyses des laboratoires soustraitants sont à votre disposition.

[8] CNRS 69

Sylvie LHOTE
Responsable Département TERRE

Les résultats sont exprimés par rapport à la terre fine sèche à 2mm (préparation NF ISO 11464).
Les résultats de granulométrie sans décarbonatation sont bouclés à 1000 sur la partie minérale (Ag+Lim+Sb = 1000)
Les résultats de granulométrie avec décarbonatation sont bouclés à 1000 sur la partie minérale (Ag+Lim+Sb+Carbonates = 1000)
Texte ayant servi de base à la déclaration de conformité : Arrêté du 08 janvier 1993 pour la modalité GENERAL.
La conformité, donnée sans prise en compte des incertitudes sur les résultats, ne porte que sur les analyses demandées. L'accréditation ne couvre que les déclarations de conformité concernant un essai ou un ensemble d'essais eux-mêmes couverts par l'accréditation. En cas d'avis et d'interprétations, ceux-ci sont hors champ d'accréditation.



ACCREDITATION
COFRAC N°1-0751
Portée disponible sur
www.cofrac.fr

SADEF

Rue de la Station - F 68700 Aspach le Bas - www.sadef.fr
Tel : +33 (0)3 89 62 72 30 - Fax : +33 (0)3 89 62 72 39 - Email : pole@sadef.fr

L'accréditation de la section Laboratoire du COFRAC atteste de la compétence technique des laboratoires pour les seuls essais couverts par l'accréditation, essais identifiés par une étoile (*). Ce rapport d'analyse concerne seulement l'échantillon soumis aux analyses. Ce rapport ne doit pas être reproduit sans l'approbation du laboratoire d'essai. La reproduction de ce rapport d'essai n'est autorisée que sous sa forme intégrale.

Ce rapport comporte : 2 page(s)
Rapport d'analyses n° : T-03439-12

Version n°1
Page 2/2



SADEF



RAPPORT D'ANALYSE DE TERRE

INSAVALOR S.A.

BP 2132

69603 VILLEURBANNE CEDEX

PARCELLE

29-A1/10/54-55

Coord. :
Culture : Non précisé
Type sol : Non précisé

EXPLOITATION

INSAVALOR S.A.

BP 2132

69603 VILLEURBANNE CEDEX

ECHANTILLON TERRE

Dossier : LAB12-5116

Numéro Labo. : T-03448-12

Date prélèvement : 02/04/2012
Date réception : 03/05/2012
Date début analyses : 03/05/2012
Date fin analyses : 25/06/2012
Date édition : 25/06/2012

Ce rapport annule et remplace le rapport partiel édité le 15/06/12

CARACTERISATION PHYSIQUE /

	Résultats	Unités	Méthodes
* Refus à 2 mm	0.0	%	NF ISO 11464

ELEMENTS TOTAUX

	Résultats	Unités	Méthodes
* Aluminium Total	32.6	o/oo	NFX 31-147 & Dosage ICP-AES

ELEMENTS TRACES

	Résultats	Unités	Méthodes
* Fer Total	13.4 +/- 1.2	o/oo	NFX 31-147 & Dosage ICP-AES
[8] Etain (Sn)	<10	mg/Kg	Attaque HClO4 + HF + dosage ICP AES
* Cuivre Total NFX 31-147 & Dosage ICP-AES	C 19.8 +/- 3.6	mg/Kg	Val limite : 100
* Mercure Total Méthode interne MA7-82 rev 5	C 0.12 +/- 0.03	mg/Kg	Val limite : 1
* Zinc Total NFX 31-147 & Dosage ICP-AES	C 75.3 +/- 8.7	mg/Kg	Val limite : 300
* Nickel Total NFX 31-147 & Dosage ICP-AES	C 22.2 +/- 3.9	mg/Kg	Val limite : 50
* Chrome Total NFX 31-147 & Dosage ICP-AES	C 42.0 +/- 9.3	mg/Kg	Val limite : 150
* Plomb Total NFX 31-147 & Dosage ICP-AES	C 28.6 +/- 6.9	mg/Kg	Val limite : 100



ACCREDITATION
COFRAC N°1-0751
Portée disponible sur
www.cofrac.fr

SADEF

Rue de la Station - F 68700 Aspach le Bas - www.sadef.fr
Tel : +33 (0)3 89 62 72 30 - Fax : +33 (0)3 89 62 72 39 - Email : pole@sadef.fr

L'accréditation de la section Laboratoire du COFRAC atteste de la compétence technique des laboratoires pour les seuls essais couverts par l'accréditation, essais identifiés par une étoile (*). Ce rapport d'analyse concerne seulement l'échantillon soumis aux analyses. Ce rapport ne doit pas être reproduit sans l'approbation du laboratoire d'essai. La reproduction de ce rapport d'essai n'est autorisée que sous sa forme intégrale.

Ce rapport comporte : 2 page(s)
Rapport d'analyses n° : T-03448-12

Version n°1
Page 1/2

PARCELLE	
29-A1/10/54-55	
Coord. :	
Culture :	Non précisé
Type sol :	Non précisé

EXPLOITATION	
INSAVALOR S.A.	
BP 2132	
69603	VILLEURBANNE CEDEX

ECHANTILLON TERRE	
Dossier : LAB12-5116	
Numéro Labo. : T-03448-12	
Date prélèvement :	02/04/2012
Date réception :	03/05/2012
Date début analyses :	03/05/2012
Date fin analyses :	25/06/2012
Date édition :	25/06/2012

Ce rapport annule et remplace le rapport partiel édité le 15/06/12

* Cadmium Total NFX 31-147 & Dosage AAS	C	0.45	+/- 0.12	mg/Kg		Val limite : 2
* Arsenic		72.9		mg/Kg	NF ISO 11466 & Dosage AAS - Four	
Fer Mehra Jackson		4216		mg/kg	Merha Jackson	

* : Analyses SADEF réalisées sous accréditation.

[1,2,3...] : Analyses sous-traitées. Les bulletins d'analyses des laboratoires soustraitants sont à votre disposition.

[8] CNRS 69

Sylvie LHOTE

Responsable Département TERRE



Les résultats sont exprimés par rapport à la terre fine sèche à 2mm (préparation NF ISO 11464).
 Les résultats de granulométrie sans décarbonatation sont bouclés à 1000 sur la partie minérale (Ag+Lim+Sb = 1000)
 Les résultats de granulométrie avec décarbonatation sont bouclés à 1000 sur la partie minérale (Ag+Lim+Sb+Carbonates = 1000)
 Texte ayant servi de base à la déclaration de conformité : Arrêté du 08 janvier 1993 pour la modalité GENERAL.
 La conformité, donnée sans prise en compte des incertitudes sur les résultats, ne porte que sur les analyses demandées. L'accréditation ne couvre que les déclarations de conformité concernant un essai ou un ensemble d'essais eux-mêmes couverts par l'accréditation. En cas d'avis et d'interprétations, ceux-ci sont hors champ d'accréditation.



ACCREDITATION
COFRAC N°1-0751
Portée disponible sur
www.cofrac.fr

SADEF

Rue de la Station - F 68700 Aspach le Bas - www.sadef.fr
Tel : +33 (0)3 89 62 72 30 - Fax : +33 (0)3 89 62 72 39 - Email : pole@sadef.fr

L'accréditation de la section Laboratoire du COFRAC atteste de la compétence technique des laboratoires pour les seuls essais couverts par l'accréditation, essais identifiés par une étoile (*). Ce rapport d'analyse concerne seulement l'échantillon soumis aux analyses. Ce rapport ne doit pas être reproduit sans l'approbation du laboratoire d'essai. La reproduction de ce rapport d'essai n'est autorisée que sous sa forme intégrale.

Ce rapport comporte : 2 page(s)
Rapport d'analyses n° : T-03448-12

Version n°1
Page 2/2



SADEF



RAPPORT D'ANALYSE DE TERRE

INSAVALOR S.A.

BP 2132

69603 VILLEURBANNE CEDEX

PARCELLE

29-A1/11/60-61

Coord. :
Culture : Non précisé
Type sol : Non précisé

EXPLOITATION

INSAVALOR S.A.

BP 2132

69603 VILLEURBANNE CEDEX

ECHANTILLON TERRE

Dossier : LAB12-5116

Numéro Labo. : T-03449-12

Date prélèvement : 02/04/2012
Date réception : 03/05/2012
Date début analyses : 03/05/2012
Date fin analyses : 25/06/2012
Date édition : 25/06/2012

Ce rapport annule et remplace le rapport partiel édité le 15/06/12

CARACTERISATION PHYSIQUE /

	Résultats	Unités	Méthodes
* Refus à 2 mm	0.0	%	NF ISO 11464

ELEMENTS TOTAUX

	Résultats	Unités	Méthodes
* Aluminium Total	37.1	o/oo	NFX 31-147 & Dosage ICP-AES

ELEMENTS TRACES

	Résultats	Unités	Méthodes
* Fer Total	18.2 +/- 1.5	o/oo	NFX 31-147 & Dosage ICP-AES
[8] Etain (Sn)	<10	mg/Kg	Attaque HClO4 + HF + dosage ICP AES
* Cuivre Total NFX 31-147 & Dosage ICP-AES	C 41.1 +/- 5.3	mg/Kg	Val limite : 100
* Mercure Total Méthode interne MA7-82 rev 5	C 0.23 +/- 0.05	mg/Kg	Val limite : 1
* Zinc Total NFX 31-147 & Dosage ICP-AES	C 122 +/- 11	mg/Kg	Val limite : 300
* Nickel Total NFX 31-147 & Dosage ICP-AES	C 32.1 +/- 4.8	mg/Kg	Val limite : 50
* Chrome Total NFX 31-147 & Dosage ICP-AES	C 55.2 +/- 11.3	mg/Kg	Val limite : 150
* Plomb Total NFX 31-147 & Dosage ICP-AES	C 47.1 +/- 9.6	mg/Kg	Val limite : 100



ACCREDITATION
COFRAC N°1-0751
Portée disponible sur
www.cofrac.fr

SADEF

Rue de la Station - F 68700 Aspach le Bas - www.sadef.fr
Tel : +33 (0)3 89 62 72 30 - Fax : +33 (0)3 89 62 72 39 - Email : pole@sadef.fr

L'accréditation de la section Laboratoire du COFRAC atteste de la compétence technique des laboratoires pour les seuls essais couverts par l'accréditation, essais identifiés par une étoile (*). Ce rapport d'analyse concerne seulement l'échantillon soumis aux analyses. Ce rapport ne doit pas être reproduit sans l'approbation du laboratoire d'essai. La reproduction de ce rapport d'essai n'est autorisée que sous sa forme intégrale.

Ce rapport comporte : 2 page(s)
Rapport d'analyses n° : T-03449-12

Version n°1
Page 1/2

PARCELLE	
29-A1/11/60-61	
Coord. :	
Culture :	Non précisé
Type sol :	Non précisé

EXPLOITATION	
INSAVALOR S.A.	
BP 2132	
69603	VILLEURBANNE CEDEX

ECHANTILLON TERRE	
Dossier : LAB12-5116	
Numéro Labo. : T-03449-12	
Date prélèvement :	02/04/2012
Date réception :	03/05/2012
Date début analyses :	03/05/2012
Date fin analyses :	25/06/2012
Date édition :	25/06/2012

Ce rapport annule et remplace le rapport partiel édité le 15/06/12

* Cadmium Total NFX 31-147 & Dosage AAS	C	0.81	+/- 0.17	mg/Kg		Val limite : 2
* Arsenic		107		mg/Kg	NF ISO 11466 & Dosage AAS - Four	
Fer Mehra Jackson		6517		mg/kg	Mehra Jackson	

* : Analyses SADEF réalisées sous accréditation.

[1,2,3...] : Analyses sous-traitées. Les bulletins d'analyses des laboratoires soustraitants sont à votre disposition.

[8] CNRS 69

Sylvie LHOTE

Responsable Département TERRE

Les résultats sont exprimés par rapport à la terre fine sèche à 2mm (préparation NF ISO 11464).
 Les résultats de granulométrie sans décarbonatation sont bouclés à 1000 sur la partie minérale (Ag+Lim+Sb = 1000)
 Les résultats de granulométrie avec décarbonatation sont bouclés à 1000 sur la partie minérale (Ag+Lim+Sb+Carbonates = 1000)
 Texte ayant servi de base à la déclaration de conformité : Arrêté du 08 janvier 1993 pour la modalité GENERAL.
 La conformité, donnée sans prise en compte des incertitudes sur les résultats, ne porte que sur les analyses demandées. L'accréditation ne couvre que les déclarations de conformité concernant un essai ou un ensemble d'essais eux-mêmes couverts par l'accréditation. En cas d'avis et d'interprétations, ceux-ci sont hors champ d'accréditation.



ACCREDITATION
 COFRAC N°1-0751
 Portée disponible sur
 www.cofrac.fr

SADEF

Rue de la Station - F 68700 Aspach le Bas - www.sadef.fr
 Tel : +33 (0)3 89 62 72 30 - Fax : +33 (0)3 89 62 72 39 - Email : pole@sadef.fr

L'accréditation de la section Laboratoire du COFRAC atteste de la compétence technique des laboratoires pour les seuls essais couverts par l'accréditation, essais identifiés par une étoile (*). Ce rapport d'analyse concerne seulement l'échantillon soumis aux analyses. Ce rapport ne doit pas être reproduit sans l'approbation du laboratoire d'essai. La reproduction de ce rapport d'essai n'est autorisée que sous sa forme intégrale.

Ce rapport comporte : 2 page(s)
 Rapport d'analyses n° : T-03449-12

Version n°1
 Page 2/2